

no. 11

électronique pour labo et loisirs

ICU

un 'mini' microprocesseur

stentor

plus de 70W avec une alimentation de 12V

alimentation de laboratoire robuste

elelator

10 décodage

2e année

avril 1979

ELEKTOR sarl

B.P. 59; 45, Grand' Rue; Le Doulieu; 59940 Estaires

Tel.: (20) 43.86.61

Heures d'ouverture: 8h30 - 12h45 et 13h30 - 16h45,

du lundi au vendredi

Banque: Crédit Lyonnais Bailleul Compte no.:

6660.70030X CCF Lille 7-163-54R

Veuillez libeller tous vos chèques à l'ordre de Elektor sarl

Elektor parait mensuellement

Le numéro 13/14 (juillet/août) est un numéro double

ABONNEMENTS: Elektor sarl

	France	Etranger
Abonnement 1979 complet (11 numéros)	80 FF	100 FF
Abonnement à partir de mai 1979	52 FF	65 FF
Les anciens numéros sont disponibles au prix	indiqué sur l	а

Les anciens numéros sont disponibles au prix indiqué sur l couverture du numéro demandé (cf bon de commande)

Changement d'adresse: Veuillez nous le communiquer au moins six semaines à l'avance. Mentionnez nouvelle et ancienne adresse, en joignant si possible une étiquette ayant servi à vous envoyer l'un des derniers numéros

ASSISTANT-DIRECTEUR COMMERCIAL: G.J.J. Kieft

REDACTION-FRANCE

Bernard Develter

EDITEUR

W. van der Horst

REDACTEURS TECHNIQUES

 J. Barendrecht
 A. Nachtmann

 G.H.K. Dam
 J. Oudelaar

 P. Holmes
 A.C. Pauptit

 E Krempelsauer
 K.S.M. Walraven

 G. Nachbar
 P. de Winter

Questions techniques par téléphone uniquement le lundi entre 13h30 et 16h45.

Les questions par écrit seront adressées au département QT. Prière de joindre une enveloppe adressée à vous même et un timbre ou un coupon-réponse international.

DIRECTEUR ARTISTIQUE: F. v. Rooij

Toute correspondance sera adressée au département concerné à l'aide des initiales suivantes:

QT = question technique PUB = publicité
RE = rédaction (propositions d'articles, etc.)

ABO = abonnements EPS = circuits imprimés Elektor

TARIF DE PUBLICITE: Un tarif national pour les publicités insérées dans l'édition française de Elektor et un tarif international pour les publicités insérées dans les éditions néerlandaise, allemande et anglaise peuvent être obtenus sur simple demande.

DROITS D'AUTEUR

Dessins, photographies, projets de toute nature et spécialement de circuits imprimés, ainsi que les articles publiés dans Elektor bénéficient du droit d'auteur et ne peuvent être en tout ou en partie ni reproduits ni imités sans la permission écrite préalable de la Société éditrice ni à fortiori contrefaits.

Certains circuits, dispositifs, composants, etc. décrits dans cette revue peuvent bénéficier des droits propres aux brevets; la Société éditrice n'accepte aucune responsabilité du fait de l'absence de mention à ce sujet.

Conformément à l'art. 30 de la Loi sur les Brevets, les circuits et schémas publiés dans Elektor ne peuvent être réalisés que dans des buts privés ou scientifiques et non-commerciaux.

L'utilisation des schémas n'implique aucune responsabilité de la part de la Société éditrice.

La Société éditrice n'est pas tenue de renvoyer des articles qui lui parviennent sans demande de sa part et qu'elle n'accepte pas pour publication.

Si la Société éditrice accepte pour publication un article qui lui est envoyé, elle est en droit de l'amender et/ou de la faire amender à ses frais; la Société éditrice est de même en droit de traduire et/ou de faire traduire un article et de l'utiliser pour ses autres éditions et activités contre la rémunération en usage chez elle.

DROIT DE REPRODUCTION:

© Elektor sarl

Elektuur B.V. 6190 AB Beek (L), Pays Bas Elektor Verlag GmbH, 5133 Gangelt, RFA Elektor Publishers Ltd, Canterbury CT1 1PE, Kent, U.K. Distribution en France: NMPP Elektor sarl au capital de 100000F RC-B 313.388.688 SIRET-313.388.688.000 19 APE 5112 ISSN0181-7450

imprimé aux Pays Bas

Qu'est-ce qu'un TUN? Qu'est un 10 n? Qu'est le EPS? Qu'est le service QT? Pourquoi le tort d'Elektor?

Types de semi-conducteurs

Il existe souvent de grandes similitudes de caractéristiques entre bon nombre de transistors de dénominations différentes. C'est pourquoi, Elektor présente de nouvelles abréviations pour les semiconducteurs usuels:

'TUP' ou 'TUN' (Transistor Universel respectivement de type PNP ou NPN) représente tout transistor basse fréquence au silicium présentant les caractéristiques suivantes:

UCEO, max	20 V
C, max	100 mA
hfe, min	100
Ptot, max	100 mW
fT, min	100 MHz

Voici quelques types version TUN: les familles des BC 107, BC 108, BC 109; 2N3856A, 2N3859, 2N3860, 2N3904, 2N3947, 2N4124. Maintenant, quelques types TUP: les familles des BC 177, BC 178, la famille du BC 179, à l'exception des BC 159 et BC 179; 2N2412, 2N3251, 2N3906, 2N4126, 2N4291.

 'DUS' et 'DUG' (Diode Universelle, respectivement au Silicium et au Germanium) représente toute diode présentant les caractéristiques suivantes:

	DUS	DUG
UR, max	25 V	20 V
IF, max	100 mA	35 mA
IR, max	1 μA	100 µA
Ptot, max	250 mW	250 mW
CD, max	5 pF	10 pF

Voici quelques types version 'DUS': BA 127, BA 217, BA 128, BA 221, BA 222, BA 317, BA 318, BAX 13, BAY 61, 1N914, 1N4143. Et quelques types version 'DUG': OA 85, OA 91, OA 95, AA 116.

 BC 107B, BC 237B, BC 547B représentent des transistors silicium d'une même famille, aux caractéristiques presque similaires, mais de meilleure qualité. En général, dans une même famille, tout type peut s'utiliser indifférement à la place d'un autre type.

Familles BC 107 (-8, -9)

BC 107 (-8, -9), BC 147 (-8, -9), BC 207 (-8, -9), BC 237 (-8, -9), BC 317 (-8, -9), BC 347 (-8, -9), BC 547 (-8, -9), BC 171 (-2, -3), BC 182 (-3, -4), BC 382 (-3, -4), BC 437 (-8, -9), BC 414

Familles BC 177 (-8, -9)

BC 177 (-8, -9), BC 157 (-8, -9), BC 204 (-5, -6), BC 307 (-8, -9), BC 320 (-1, -2), BC 350 (-1, -2), BC 557 (-8, -9), BC 251 (-2, -3), BC 212 (-3, -4), BC 512 (-3, -4), BC 261 (-2, -3), BC 416.

 '741' peut se lire indifféremment µA 741, LM 741, MCS 41, MIC 741, RM 741, SN 72741, etc.

Valeur des résistances et capacités

En donnant la valeur de composants, les virgules et les multiples de zéro sont, autant que possible, omis. Les virgules sont remplacées par l'une des abréviations suivantes, toutes utilisées sur le plan international:

P.,	*** ***************************	Dillor.	
p	(pico)	=	10-1
n	(nano-)	$\dot{x}=\dot{x}$	10-4
μ	(micro-)	r = 1	10-6
m	(milli-)	=	10-3
k	(kilo-)	=	10^{3}
M	(mega-)	=	106
G	(giga-)	=	109
Ou	elaues exen	nnles	

Valeurs de résistances: $2k7 = 2.7 k\Omega = 2700 \Omega$ $470 = 470 \Omega$

Sauf indication contraire, les résistances utilisées dans les schémas sont des 1/4 watt, carbone, de tolérance 5% max. Valeurs de capacités: 4p7 = 4, 7 pF = 0,000 000 000 0047 F 10 n = 0,01 µF = 10⁻⁸ F La tension en continu des condensateurs autres qu'électrolytiques est supposée être d'au moins 60 V; une bonne règle est de choisir une valeur de tension double de celle d'alimentation.

Points de mesure

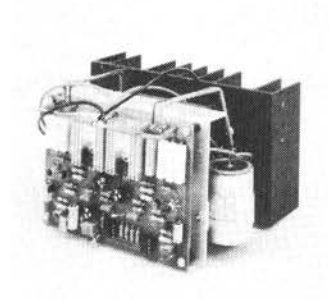
Sauf indication contraire, les tensions indiquées doivent être mesurées avec un voltmètre de résistance interne de $20~\text{k}\,\Omega/\text{V}$.

Tension secteur

Les circuits sont calculés pour 220 V, sinus, 50 Hz.

Services aux lecteurs:

- EPS De nombreuses réalisations d'Elektor sont accompagnées d'un modèle de circuit imprimé. La plupart du temps, ces circuits imprimés peuvent être fournis percés, prêts à être montés. Chaque mois, Elektor publie la liste des circuits imprimés disponibles sous le vocable EPS (de l'anglais Elektor Print Service, service de circuits imprimés Elektor)
- **Questions Techniques** Vous pouvez poser des questions techniques relatives aux articles publiés dans Elektor, à votre choix par écrit ou par téléphone. Dans ce dernier cas, vous pouvez téléphoner le lundi, de 14h.00 à 16h.30. Les lettres contenant des questions techniques doivent être adressées au Département QT; veuillez bien joindre une enveloppe affranchie, adressée à vous-même. Les lettres émanant d'un pays autre que la France doivent être accompagnées d'un coupon-réponse international.
- Le tort d'Elektor
 Toute modification importante, complément, correction et/ou amélioration à des réalisations d'Elektor est annoncée sous la rubrique 'Le Tort d'Elektor'.



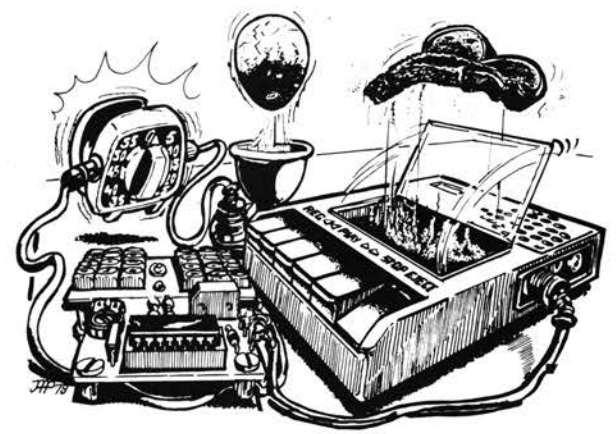
Dans l'liade, l'épopée d'homère, Stentor est le nom d'un homme ayant une voix, plus forte que celle de cinquante guerrriers. Aujourd'hui grâce à l'électronique, **Stentor** sera le nom d'un amplificateur cinquante fois plus puissant qu'un récepteur à transistors! Pouvant être alimenté par une batterie de 12 V, cet amplificateur sera idéal pour les défilés de kermesse ou pour tout autre manifestation en plein air.

p. 5-16



Une alimentation de laboratoire robuste, continuement réglable et bien protégée contre d'éventuelles erreurs est une des pièces maitresses du laboratoire de l'électronicien amateur. Le circuit simple et bon marché décrit ici devrait pouvir fournir des années de service sans ennuis.

p. 5-34



En se familiarisant avec l'ICU (Industrial Control Unit) MC 14500B de Motorola qui est en fait un 'mini' micro-processeur 1 bit, les lecteurs qui ont eu des déboires avec leurs 'grands frères', les microprocesseurs, auront l'occasion de se réconcilier avec ce genre de circuits. L'utilisation de l'ICU ne nécessite pas de connaissance approfondies en microinformatique et, pratiquement, permettra d'aboutir à de petits automatismes très intéressants.



Les lignes à retard électroniques constituent l'une des plus importantes techniques de traitement du son. Elles permettent, entre autres, de produire des effets de réverbération, d'écho, de vibrato, de phasing, de flanging et de coeur, elles seront également utilisées dans les systèmes de renforcement du son, les équipements de commande du niveau sonore et les circuits de traitement de la parole.

p. 5-21

sommaire

selektor Festival international du son: les enceintes acoustiques françaises.	5-12
clap-switch	5-13
stentor	5-16
lignes à retard	5-21
convertisseur digital-analogique pour micro- processeurs Générer des signaux analogiques uniquement par software devient chose très aisée en réalisant ce convertisseur qui offre les avantages d'être simple et d'un prix de revient bas puisqu'il ne met en oeuvre que quelques circuits intégrés CMOS bon marché.	5-31
charges purement résistives	5-32
manches de commande	5-33
alimentation de laboratoire robuste	5-34
assistentor Ce compresseur utilisé concuremment avec un amplificateur de puissance, le Stentor par exemple, permettra d'assurer un vacarme maximal tout en respectant les critères d'intelligibilité.	5-40
le tort d'Elektor	5-43
I'ICU, un 'mini' microprocesseur	5-44
générateur sinusoïdal à fréquences discrètes Le générateur sinusoïdal à fréquence unique décrit ici délivre une tension sinusoïdale dont la distortion harmonique est inférieure à 0,0025% et dont l'amplitude est stable à moins de 1% près. Cet appareil constituera donc une aide précieuse lors de nombreuses mesures.	5-52
marché	5-59

supplément de 12 pages: Cours de Basic 3ème partie 5-04 — elektor mai 1979 eps

eps circuits imprimés

De nombreux circuits décrits dans Elektor sont accompagnés par un dessin de circuit imprimé. Pour œux qui ne se sentent pas aptes ou qui n'ont pas le temps de réaliser eux-mêmes leurs circuits imprimés, nous leur proposons ces circuits gravés et percés. La plaque-support est faite en matière de qualité supérieure et le prix de vente dépend des frais d'élaboration et de la technologie employée (simple ou double-face, trous métallisés, pastilles étamées, matériaux de base). Ces circuits imprimés EPS sont disponibles chez de nombreux revendeurs de composants. (cf liste des points de vente EPS + ESS) Il est également possible de les commander auprès d'Elektor en joignant 3,75 FF pour les frais de port et d'emballage. Ces circuits vous seront expédiés par retour du courrier ou, en cas de rupture de stock, dans un délai d'environ 3 semaines.

Le paiement doit être effectué à la commande, pour la France, le paiement peut être réalisé:

- par chèque adressé à Elektor Sarl
 par virement bancaire sur le compte
- no 6660.70030 X du Crédit Lyonnais • par chèque ou virement postal sur le compte CCP Lille 7-163-54R

Pour la Belgique, nous n'acceptons pour l'instant que le paiement par Eurochèque ou virement bancaire.

Exemple:			
Carte CPU	(F1)	9851	100,00
1	2	3	4
3: numéro d	s des artic u circuit i	les associés mprimé comprise.	

6031	38,40
9369	12,85
ACCESS 100 (100 ft)	28,40
	18,—
751 MATERIAL CO.	32,75
	25,30
	12,50
	12,50
	68,— 23,50
9040-2	23,50
8	89/8007
	17,—
	18,15
	10,40
	35,—
TO 17 TO 17 TO 18	14,65
	55.—
	55,—
	00.75
4523 \$	32,75
9851	100,-
9866	11,75
	24.05
9076	34,05
9076-2	30,25
	77,25
9817-2)	26,65
9857	36,50
9860	20,—
4084	200
9863	150,—
	9369 9398 9398 9453 9465 9743 9827 9846-1 9846-2 8 1471 1473 9343 9401 9423 9512-A 9689 9499-1 9499-2 9831 4523 9851 9866 8RE 1978 9076-2 9444 9817 9857

carte Hex I/O (F1, F2) module une octave (piano)	9893 9914	200,— 39,50
filtres + préampli (piano) alimentation (piano) générateur de notes	9981 9979	70,— 24,50
universel	9915	88,75
F4: NOVEMBRE-DECEMB		
Jeu de billes carte RAM 4 k	9753 9885	31,25
alimentation pour SC/MP	9906	175,— 43,50
chambre de réverbération	9913-1	51,50
circuit d'extension mini-fréquencemètre	9913-2 9927	17,50
modulateur UHF-VHF	9967	32,— 16,—
version de base TV-scope:		1.00
ampli d'entrée circuit principal	9968-1	21,—
mélangeur vidéo	9968-2 9968-3	41,25 20,25
circuit de synchro	9968-4	20,25
alimentation compteur de vitesse	9968-5	15,65
pour bicyclette	78041	14,25
F5/6: EDITION SPECIALE Réducteur dynamique		
de bruit Adapteur BLU	1234 9641	14,95 15,45
Chasse au lièvre	9764	51,85
Fréquencemètre 1/4 GHz: Base de temps et		CHIVICOL.
commandes	9887-1	120,—
Compteur et affichage	9887-2	105,—
Ampli d'entrée BF Ampli d'entrée HF	9887-3 9887-4	18,25 17,50
Interface cassette	9905	30,75
Consonant	9945	75,
Chambre de réverberation analogique	9973	61,50
F7:JANVIER 1979		40.00
simulateur RIAA détecteur de métaux	4039	10,60
sensible	9750	27,15
minuterie longue durée Preconsonant	9902 9954	14,25 25,—
clavier ASCII	9965	76,25
TV-scope-version améliorée	0060 1	E0
plaque mémoire circuit de déclenchement	9969-1 9969-2	50,— 19,90
base de temps entrée	9969-3	19,90
buffer pour bus de données un sablier qui caquette	9972 9985	16,— 24,25
	0000	24,20
F8: FEVRIER 1979 digicarillon mini récepteur ondes	9325	33,45
courtes Luminant:	9920	20,50
détecteur et commande	9949-1	27,15
commande de l'affichage affichage	9949-2 9949-3	35,90
Elekterminal	9966	15,— 130,—
spiroscope	9970	29,85
voltmètre numérique universel	79005	29,35
adapteur pour millivolt- mètre alternatif	79035	21,25
		2012
F9: MARS 1979		
dispositifs d'affichage à LEDs:		
voltmètre avec affichage		
circulaire 32 diodes	9392-1	17,75
voltmètre pour 16 diodes affichage rectiligne 16	9392-3	12,50
diodes	9392-4	11,25
compte-tours thermomètre:	9460	17,—
convertisseur température	/	

convertisseur température/

comptage et affichage

tension

9755-1

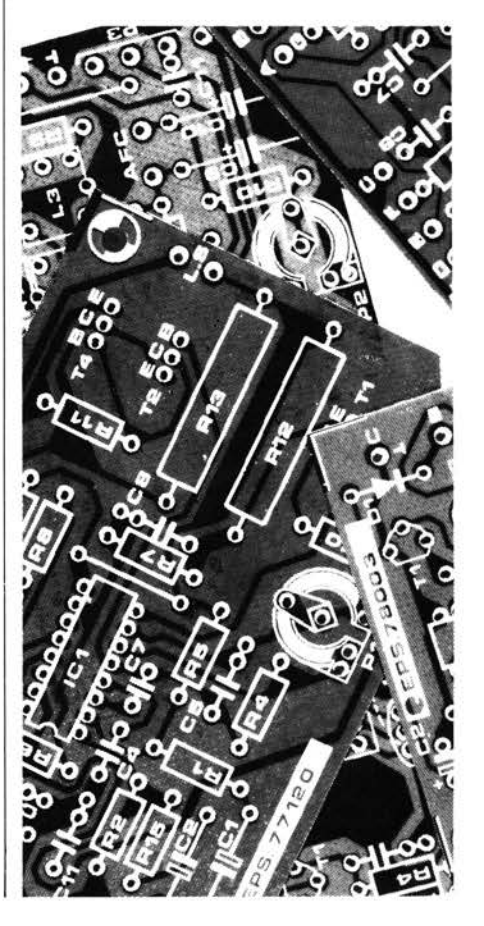
9755-2

26,05

28,80

9950-1	31,25
9950-2	27,50
9950-3	15,—
9952	20,65
9144	21,25
9413	12,50
9427	15,—
9448	24,75
9448-1	12,50
9500	40,-
9825-1	29,75
9825-2	27,50
9911	40,50
79006	22,50
	9950-1 9950-2 9950-3 9952 9144 9413 9427 9448 9448-1 9500 9825-1 9825-2

F11: MAI 1979		
générateur sinusoïdal à		
fréquences discrêtes	9948	27,50
clap switch	79026	15,50
alimentation de labora-		
toire robuste	79034	24,—
stentor	79070	37,—
assistentor	79071	24,—

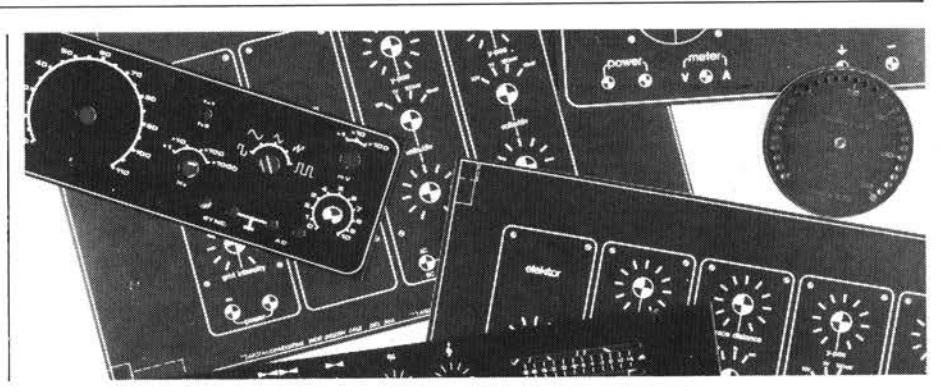


eps faces avant

*	affichage à LEDs cir-		
	culaire	9392-2	29,25
*	générateur de fonctions	9453-6	24,90
*	Consonant	9945-F	55,—
* *	TV-scope, version de		
	base	9968-F	23,10
* *	TV-scope, version amé-		
	liorée	9969-F	23,10
NO	DUVEAU		
* *	alimentation de labo-		



= face avant en métal laqué noir mat = face avant en PVC adhésif



ess software service

DISQUES ESS

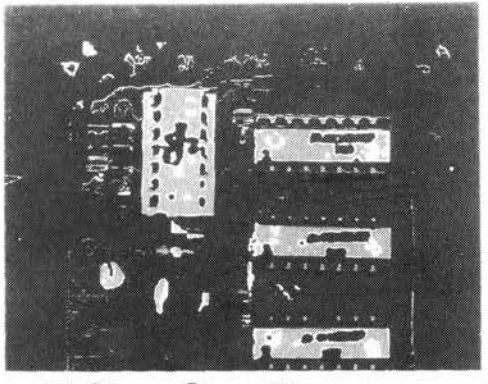
Testeur de réflexes Horloge digitale Mastermind Sirène à la Kojak RAM diagnostic Le SC/MP chante Noël

ESS001 12,50

ESS002 15,—



Service livres d'Elektor







Ce livre donne une introduction par petits pas de la théorie de base et de l'application de l'électronique digitale.

Ecrit dans un style propre à Elektor, on n'a pas besoin d'apprendre des formules sèches et abstraites, mais à leur place on trouve des explications claires des fondements des systèmes digitaux, appuyées pas des expériences destinées à renforcer cette connaissance fraichement acquise.

Pour cette raison DIGIT 1 est accompagné d'une plaquette expérimentale pour faciliter la construction pratique des schémas.

Prix 50,- F, circuit imprimé compris.

par H. Ritz



CLAVIER ASCII COMPLET

Prix exceptionnel Modèle 756 Clavier ASCII complet

- Prévu pour des applications professionnelles à microprocesseur.
- C'est le seul clavier qui puisse répondre à tous les besoins actuels et futurs.
- 128 caractères, 8-bit ASCII code.
- Codeur MOS, trois états.
- Notices d'application pour répétition automatique, keyboard numérique, sortie en série.
- Majuscules avec touche de blocage.
- Inversion de polarité.
- Dimensions de 305 x 140 x 32 mm.
- * Sorties MOS/DTL/TTL-compatibles
- Nouveaux composants, garantis qualité 'OEM'.
- * Alimentation +5 V et -12 V.
- Un emplacement est prévu pour un petit convertisseur cont/cont permettant à l'ensemble d'être alimenté par une seule tension de 5 V.

Carter Associates

P.O. Box 11262 VLAEBERG South Africa postal code 8018

- Les données logiques sont disponibles en positif ou en négatif ainsi qu'une sortie de synchronisation.
- Blocage Alpha.
- * Touches supplémentaires en option.
- Fourni avec connecteur en plaqué or et une documentation complète.
- CI (trous métallisés) robuste, conforme à la norme militaire G-10.
- Niveau continu et impulsion de synchronisation prévue pour faciliter l'interface avec n'importe quel système à microprocesseur à 8-bit ou terminal.
- Largeur d'impulsion de synchro: 1 ms.

PRIX

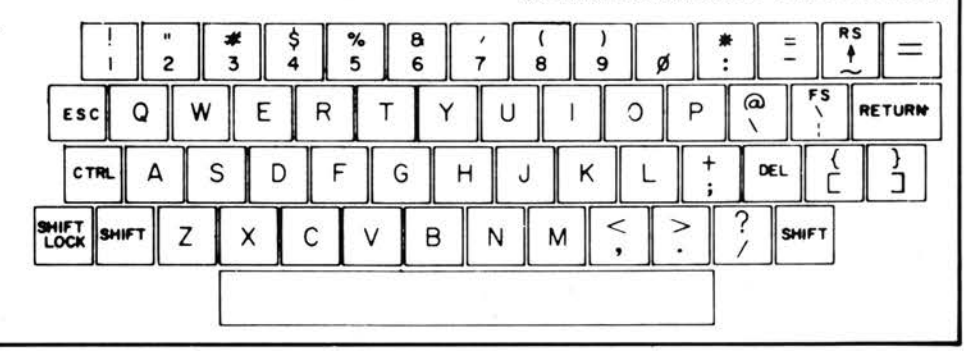
* Clavier complet, monté prêt à l'emploi

En option:

- * Matrice de contacts pour clavier
- numérique 65 FF
 * Coffret plastique 92 FF
- * Support de montage (livré attaché au
- clavier pour stabilité mécanique) 64 FF
 * Convertisseur cont/cont 38 FF

Les prix s'entendent frais de port et d'emballage (par avion dans n'importe quel pays).

Expédition contre chèque ou mandat joint à la commande. (pour les chèques sans garantie bancaire, compter 15 jours de délai).



A MARSEILLE

composants électroniques * microprocesseurs * micro-informatique

LOGIQUE: TTL, LS, C-Mos, ECL.

MOS LSI : MK 50398N, AY-1-1320, AY-1-0212, AY.

5.2376 . .

LINEAIRE: \$042P, TL 084, XR 2206, UA 758, UAA

180, LM 318, LM 723, LM 733, LM 3089,

LM 317K . . .

FILTRES CERAMIQUE - TRANSFOS MOYENNES FREQUENCES VK 200 - MANDRINS - FERRITE -

VARICAPS . . .

APPLE II - PROTEUS - P.E.T.

C.P.U. : 6800, 8085, Z80, 6502, SC/MP.

PERIPHERIQUES: 6821, 6840, 6845, 6850; 8251,

8255, 8257, 8259, 8275, 8279 . . .

INTERFACES : 8T26, 8T28, 8212, 8T95-96-97-

98 . . .

MEMOIRES : 6810, 2102, 2111, 2708, 2716 . . .

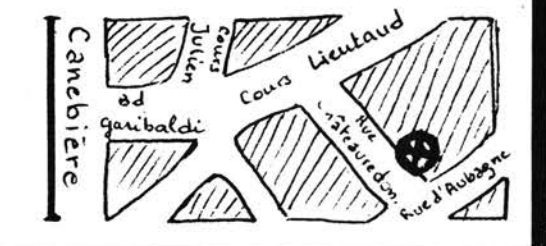
CONNECTIQUE - CABLES PLATS SERTIS SUR

DEMANDE . . .

Résistances, Condensateurs, Potentiomètres, Connecteurs, Supports, Transistors, Triacs, Visserie, Haut-Parleurs

EUROPE ELECTRONIQUE

2 Rue Châteauredon (1e) Tél: (91) 54 78 18



38,40

25,30

24,90

32,75

150,— 36,50

200,— 26,65 20,— 77,25

43,50 175,— 32.—

24,25 27,15 76,25

18,-

23.75 47.00

22.50

27,50

37,25

37.00 24,00 30,25

15 00

8,— 10,—

50,— 20,—

22,— 7,— 5,—

9 20,-

le jeu 260.75

l'ens. 21 15,50 23,50

48,-

68

UN fournisseur pour vos composants

TROIS moyens faciles pour nous joindre . . 43





dans ELEKTOR

ELEKTOR Nº 2

ELEKTOR Nº 3

ELEKTOR Nº 5/6

ELEKTOR Nº 8

ELEKTOR Nº 9

ELEKTOR Nº 10

Clignoteur

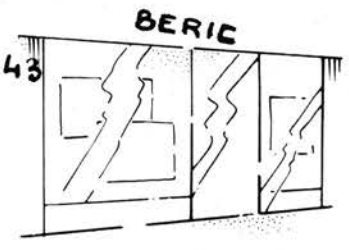
9920

9144

9427 9203

79006

9967 9906



Venez nous voir (du Mardi au Samedi de 9 H à 12 H 30 et de 13 H 30 à 19 H)

242 --

90.-

176 --

KITS composants et circuits imprimés suivant des réalisations publiés

Constitution des kits: TOUS les composants à monter sur le circuit imprimé ainsi que les inter, inverseur, commutateur, et notice technique complémentaire à l'article ELEKTOR, si nécessaire, sans transfo ni boftier (sauf mention spéciale), ni circuit imprimé EPS (en option).

ELEKTOR Nº 1 c
6031 Récept. BLU (avec galva)
9453 Générateur de fonct (avec transfo)
94545 Alim (avec 2 galva) et transfo)
9846-1 RAM E/S
9846-2 SC/MP avec notice
Face avant géné. de fonc.

9401 Equin mono + alim (sans transfo) 9851 Carte CPU (sans connecteur) avec 2 x MM5204Q program. 9831 + 4523 Photo Kirlian sans bob ni transfo.

ELEKTOR Nº 3
9076 TUP-TUN testeur avec transfo
9076-2 Face avant pour dito
9863 Carte ext mémoire avec MM 52040 program
9857 Carte BUS jeu de 3 connect. adapt.
9893 Carte Hex I/O.
9817-2 Voltmètre à leds
9860 Voltmètre de crête.
9444 Table de mixage avec pot et transfo

OH N° 4
Modulateur TV UHF/VHF
Alim syst. à µP sans connect.
Carte RAM 4 K sans connect.
Mini Fréquencemètre avec transfo

Interface cassette .

Consonant (avec alim)

Elekterminal
Luminant
Voltmètre numérique universal
Adaptateur pour millivoltmètre alternatif

 9952
 Fer à souder à température régulée
 63,00

 9392-34
 Dispositif d'affichage 16 LEDs
 70,00

 9392-1-2
 Dispositif d'affichage 32 LEDs
 116,00

 9460
 Compte tours
 21,00
 Fer à souder à température régulée 63.00

Tête de Turc

ELEKTOR Nº 7
9985 Sablier (avec H.P.)
9750 Détecteur de métaux (avec écouteur)
9965 Clavier ASCII
9954 Préconsonant

Ecrivez-nous (carte dans ELEKTOR)

HORLOGE DIGITALE A QUARTZ ET AFFICHEURS **CRISTAUX LIQUIDES 16 MM A PILE - ALIMENTATION** 4,5 A 9 V Ref: NHR 164 (Afficheurs voir ci contre)

KIT KOMPLET: afficheur NHR 164 H (ou T ou TN à préciser) + circuits MOS + circ. imprimé + divers. Dimensions: 95 x 60 x 20 mm P.U. 285 F 45 F 385 F P.U.

HORLOGES DIGITALES SECTEUR

AFFICHEURS L.E.D.

avec alarme (fonction réveil)
TMS3874LK- Horloges digitales secteur avec alarme. Heures et minutes (bloc de 4 digits de 13 mm filtre incorporé multiplex) battement des secondes commande directe possible d'un triac pour

allumage d'un appareil sur secteur.

Cablage simplifié par boitier 18 broches attaque directe des afficheurs LED à CATHODE COMMUNE. Livré avec notice en français.

Kit complet sans boitier, ni alarme. Prix: 137F
BUZ- Module alarme pour horloge. Dims: 22x16x16 mm. Prix: 15 F
BTMS- Boitier pour horloge TMS3B74NLK. Dims: 135 x 100 x 45 mm 35F
HRPC 6: HORLOGE-REVEIL-CALENDRIER SUR 4 ANS, 6 chiffres, 24 heures. Heures, HRPC 6: HORLOGE-REVEIL-CALENDRIER SUR 4 ANS, 6 chiffres, 24 heures. Heures, minutes et secondes sur 6 digits, fonction réveil avec répétition calendrier jours/ mois programmé sur 4 ans (exposition de la date à la demande ou automatiquement: date durant 2 secondes, heure durant 8 secondes). Fonction programmateur d'une durée max. de 9 h5 mn. oscillateur incorporé prenant le relais en cas de coupure de secteur. Fonctionnement autonome sur batterie par adjonction simple d'un quartz 100, 800 kHz. Circuit CMOS 28 broches avec notice en français.

HPU. 63 FHRPC 6, luré avec support et 6 afficheurs:

8 mm TIL 313

9 mm FND 357

11 mm NR 440

P.U. 135 F
13 mm TIL 322 (= FND 500)

P.U. 171 F
20 mm FND 800

20 mm FND 800

Kit complet (sans boftier) avec TIL 322

Quartz 100, 800 Khz pour base de temps, batterie ou piles pour HPRC6 80 F

BUZ Module alarme

BTO. Kit base de temps à quartz pour horloge 50 Hz (donne également les fréquences étalons: 3200-1600-800-400-200-100 et 50 Hz) permet le fonctionnement sur batterie

- [발발경기 기계 기계 전 기계 보기 기계 전 2개 (제 2022년	
Choix de composants proposé par BERIC pour	les montages ELEKTOR:
	SC/MP II
Radiateur pour TDA 2020 13,-	TBA 120
	*L 074 25,—
	TL 084
	· UAA 170
	XR 2206
FX 209	95H90
	7750 ou 7760 AFFICHEURS 12,—
	TUP ou TUN les 10 10,—
LM 317K	DUS ou DUG les 10 3,50
LM 323K	MM 5204Q Le jeu de 3 program ELBUG 290,-
LM 324 8,—	TIL 111 10.—
MM 2112	AY-5-2376
MM 5058 = AM 2533 = AM 2833 58,—	SAD 1024 172 —
MK 50398N	uA 78HG 80.00
TIP 122 12,00	_F 557
E 420	
40411	TDA 1034 29,00

OFFRE SPECIALE!

Kit composants pour Digit 1 avec alim	90	90 F
BOOK 75	20	20.5

Clignoteur 52,00
Préampli pour tête de lecture dynamique, version
stéréo, équ. capa tantale 340,00
Base de temps pour fréquencemêtre 205,00 ELEKTOR No 11 Stentor + Transfo
Assistentor
Alim de labo + transfo, sans galva, version 5 A 325 00 oscillateur à quartz 1 MHz, matériel prole jeu: 79034 Galvanomètre, cadre mobile, classe 2,5 pour 79034 170,00
Clap Switch + transducteur 74,00
Générateur sinusoidal à fréqu. discrètes 194,00 fessionnel, alim 5 V, jusqu'à épuisement du stock: Selfs miniatures 0,15 μH/0,22 μH/1 μH/10 μH/22 μH/100 μH/470 μH Filtres céramiques CDA 10,7 MA Cond. Ajust. pour C1: 12/100 pF Cond. Ajust. pour C1: 12/100 pr.
Ainsi que condensateurs, résistances, potentiomètres
Quartz 2 MHz, 4,433 MHz (nombreuses fréquences disponibles) 1 MHz
Patentiamètres rectiligne stéréo 2 x 47 k log.
SFD 455
Condensateur variable 500 pF digit INTRODUCTION AUX CIRCUITS INTEGRES LOGIQUES PAR L'EXPERIENCE LIVRET 60 PAGES + CIRCUIT IMPRIME D'EXPERIMENTATION 50 F Sélecteur DIP 8 Bits
Mandrins blindé KASCHKE
Double inverseurs à poussoir Mandrins blinde KASCHKE
Double inverseurs à poussoir
Digitast
Digitast LED
Ainsi que interrupteurs, inverseurs et commutateurs.
Connecteur M/F pour SC/MP adapt.
Coffret pour générateurs de fonction 9453 (Non percé ni serigraphié)
Coffret pour fréquencemètre 9887 (Non percé ni serigraphié) REMISES PAR QUANTITES. Nous consulter EXPEDITION RAPIDE

Votre nouvelle revue vous pose un problème de rangement?

Spécialement conçu pour recevoir vos numéros d'Elektor ce classeur plastifié de couleur verte les conservera en bon état.

Chaque numéro est facile à enlever pour des études ultérieures.

Voici la solution: le classeur d'Elektor.



Son prix est de 27,00F

ACCESSOIRES POUR ENCEINTES COINS CHROMES

AM 20, pièce 2,10 • AM 21, pièce 2,10 AM 22, pièce 4,— • AM 23, pièce 4,— AM 25, pièce 1,40 Cache-jack fem. p. chas. F 1100 1,60 F

Pieds caoutch. φ 30 mm, haut, 13 mm

Nylon spécial pour enceintes Couleur champagne, en 1,20 de large le m 48,— F Marron en 1,20 le m 58.— F Noir pailleté argent 1,20 le m 58,— F

- OUTILLAGE 'SAFICO' •
- APPAREILS DE MESURE •

Voc - Centrad - Novotest

 TRANSFO. D'ALIMENTATION • **TOUS MODELES**

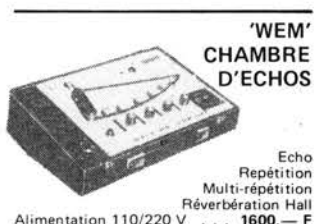
VU-METRES •

Indicateur de balance 0 central 150 µA. D. du cadran: 40 x 15 mm 10,— F

TABLE DE MIXAGE 'MF 5' POUR DISCOTHEQUE



- 1 micro d'ordre sur flexible.
 Entrées prévues pour 1 micro de salle.
 2 platines PU têtes magnétiques.
 1 platine de magnétophones stéréo préécoute sur voles PU et magnétophone. (doc. spéciale s/demande contre 0,80 F) PRIX 1600,— F



RESSORT DE REVERBERATION

➤ HAMMOND « 152,— F

MODULES CABLES POUR TABLES DE MIXAGE

Préampl 44 F • Correcteur 28 F Mélangeur 27 F • Vumètre 24 F PA correct. 75 F • Mélang. V.mèt. 64 F

TETES MAGNETIQUES

Woelke - Bogen - Photovox - Nortronics Pour magnétophones: cartouches, cassettes, bandes de 6,35 MONO - STEREO - 2 ET 4 PISTES PLEINE PISTE

TETES POUR CINEMA

8 mm - SUPER 8 et 16 mm Nous consulter

CHAMBRE DE REVERBERATION **EFFETS SPECIAUX**

(Décrit dans ➤ E.P. < de fév. 1977)
• 7 transistors • Ampli et préampli incorporés • Entrées et sorties 10 mV • Dim.:
430 x 170 x 50 mm • Poids: 2 kg • Alimentation par piles.



Réverbération réglable en temps et en amplitude. S'adapte immédiatement sans modifica-

tion à l'entrée d'un ampli. EN KIT, COMPLET . . .

EN ORDRE DE MARCHE Nouveau modèle avec alim, secteu 110/220 V

AFFAIRES EXCE	PTIONNELLES
POUR ETUDIANTS, ECOLE	S, TRAVAUX PRATIQUES
RESISTANCES BOBINEES: 3 W - 6 W - 10 W RESISTANCES: 1/2 W et 1 W agglo. 5 et 109 RESISTANCES COUCHE 5% - 1/2 W - Tres v CONDENSATEURS PAPIER 'COGETO' - To	%, les 100 par 20 valeurs 10 F valeurs, par 10 de chaque 1,40 F outes valeurs de 4700 à 470.000 pF,
le 100 en 10 valeurs CONDENS. CREAM. DE PRECISON de 1 pF CONDENS. MICA DE PRECISION - Tolérand CONDENS. CERAM DISQUES, de 22 pF à 0 CONDENS. CHIMIQUES - Sortie radiale 100	a 0,1 μF, par 50 en 10 valeurs
CONDENS. CHIMIQUES - 10 µF, 50 µF, 10 CONDENS. TANTALE - Goutte 1 µF - 2,2 - CONDENS. TROPICAL - Sous tube verre sert	0 μF, les 50
Résistances couche métallique 2% 1/3 W par 10 de même valeur:	. par 100 de même valeur: 15,—,
SUPPORTS CI	PHOTOCOUPLEUR
8 broches	TIL 111
14 broches	en a constant a consta
16 broches	DIODE L.E.D.
24 broches	avec lentille de Fresnel incorporée
40 broches	1922 Rouge 14,—
	1922 G Verte
REGULATEURS POSITIFS ET	1922 A Ambre
NEGATIFS 1 A	DIODES L.E.D. 3 mm
MC 7805 - 7808 - 7812 - 7815 -	TIL 209 A Rouge 1,80
7818 - 7824	TIL 211 Verte 2,70
MC 7905 - 7908 - 7912 - 7915 -	TIL 212 Jaune 3,—
7918 - 7924 12,—	
50/	DIODES L.E.D. 5 mm
SEMI CONDUCTEURS ET	TIL 220 Rouge
TRANSISTORS	TIL 222 Verte 3,—
BD 241 8,—	TIL 224 Jaune 3,40
BD 242 8,—	TRIACS
FX 209 Modulateur Delta 140,—	6 Amp./400 V 6.—
MM 2833-5058 68,—	8 Amp./400 V 9.—
	8 Amp./400 V
CIRCUITS intégré TTL National	16 Amp./400 V 14,—
7400 - 7401 - 7402 - 7403 - 7408 - 7409 -	Diac 32 V 1,60
7410 - 7411 - 7420 - 7440 - 7450 - 7451 -	
7453 - 7454 1,80	TRANSISTORS DE PUISSANCE
7404 - 7405 - 7460	MOTOROLA
7425 - 7426 - 7427 - 7430 - 7432 2,— 7437 - 7438 2,40	MJ 802
7416 - 7417 - 7472 - 7473 - 7474 - 7476 -	MJ 901
7486 - 74121 2.60	MJ 2500
7406 - 7407 2,70	MJ 2501
7413 - 7470 3.40	MJ 2841
7475 - 7490 - 7492 - 7493 4,60	MJ 2955
74123 - 7442 4,90	MJ 3000
7495 5,50	MJ 3001

5 50 6,20 7,60 8,30

13,20

4,50 7,60 10,— 3,50 9,40

6,60 42,— 48,— 8,70 5,20

44,— 10,— 222.—

152.-

8.80

40

MM 5058 MK 50398 . . SAD 1024 . . TL 084 XR 2206 95H90 . . MM 5387 MM 5377

MJ 802										-	
MJ 901											
MJ 1001											
MJ 2500	١.	÷		1							
MJ 2501	٠.		100		e.				4		
MJ 2841				1							
MJ 2955	١.								1		10
MJ 3000											
MJ 3001											
MJE 110											
MJE 280											
MJE 290											

CIRC	U	17	rs	1	N'	т	E	G	R	E	S	CI	M	0	s				
4001	à	4	00	7															3,-
4008		41	02	2	ે														10,-
4008 4009		10	0 -	1	9		3	0		3	3 -	4	19		5	0			7,5
4011																			
4013		16	6 -	2	7									ì					6,5
4014		1!	5 -	1	7		1	8		2	0 .	2	1		2	8	. :	29	12,-
4023	-	5	1 -	5	2		5	3		6	6					٠.		×	9,-
4034																			
4035																			
PONT	rs		RE	D	R	E	S	s	E	U	R	s							
W 02		1	A		20	X) 1	V											5,70
W 06		1	A		60)() 1	V		1				Š					8,9
KBP	02		1	.5	A	1	. :	20	X) 1	1								6,3
KBP	OE	; .	1	5	A	1	- 6	30	X) 1	1				0				8.8
B 80																			
B 250																			
D 00																			15

						•	•	CI	•	6						
Orgue éle																
SAA 100	4	-1	0	0	5	÷								4		40,-
SAJ 110																30
TDA 047	0			٠				-			1					28
AY 1/02	12	2											Ü			105,-
AY 1/13	20	ì	6	0	ô	3	8		ě	0	ä	5	8	0	8	99
25002 .			Ċ.	Ĵ.	Ċ		Ţ,	Ĭ.			0	٥		ů	â	16
74 S 124		Ī		4	Š	ď		٩	Ü	Ö	Ä	•	Ť.	ं	૾૽ૼ	65
TL 074	ं	Ů	Ů	Ů	ं	Ů	•	•		•	٠	•		•	3	20,-
							•	*	•	•	•	•	•	•	٠	
Semicono																
CA 3060	b	100		e C		*		٠	e.		(*)				20	24,-
CA 3086														4		8,-
FX 209														140	×	108,-
LM 317																35,-
LM 323		÷						٠								76
LM 324	1				ં				0					0		8
MM 2112																24
		15			8	-2				15						

B 80 50/30 - 5 A - 80 V 15,

OPTO ELECTRONIQUE AFFICHEURS 7,62 mm Rouges	
TIL 312 Anode commune	12,-
TIL 313 Cathode commune	12,-
TIL 327 Polarité ±	13,-
AFFICHEURS 12,7 mm Rouges	12

LM 336 Z MM 80 C 97 N MM 80 C 98 N DS 75492 N

74123 - 7442 7495 7483 - 7491 - 7596 - 74107 74175 - 74196 7441 - 7446 - 7447 - 7448 - 7485 7445 - 74192 - 74193 74184 - 74185 74181 - 74185

LM 391 N 80 LM 723 CN LM 317 K LM 337 K LM 331 N

National semi conducteur LM 387 N LM 301 AN . . . LM 307 N

LM 308 N . LM 741 CN LM 358 N . LM 324 N . LM 3080 N LM 377 N . LM 378 N .

LM 379 S . . . LM 383 T . . LM 391 N 60 LM 391 N 80

LM 555 CN LM 322 N LM 556 CN

MA 1003 MA 1012 C . . MM 5387 AAN

CI INTEGRES DIVERS

MAGNETI	C-FRA	NCE	=
TIL 704 Polarité ±	pour 702 .	14	١,
TIL 703 Polarité ±		14	1,
TIL 702 Cathode of	ommune	13	

11, Pl. de la Nation - 75011 Paris ouvert de 9 h 30 à 12 h et de 14 à 19 h Tél: 379 39 88

CREDIT

Nous consulter RER et Métro: Nation **FERME LE LUNDI**

MM 5377 7,—
SIEMENS
UAA 170 23,—
UAA 180 23,—
SAS 560 27,—
SAS 570 27.—

EXPEDITIONS: 10% à la commande, le solde contre remboursement

MODULES ENFICHABLES POUR MAGNETOPHONE

PA enregistrement				į.		65 F
PA lecture						78 F
Oscillateur mono		1				90 F
Oscillateur pour stéréo						120 F
Alimentation						

PLATINES NUES

FOOR MAGNETOFFICIAL
Cartouche 8 pistes, lecteur 250 F
Enregistrement, lecture 420 F
Cassette lecteur seul 160 F
Cassette enregistrement, lecture 210 F
Platine 'Lenco' cassette sans tête à charge-
ment frontal. Prix 400 F

CHAMBRE DE REVERBERATION

Fonctionnant sur secteur; spécialement étudiée pour orchestres, sonorisateur et haute fidélité

Décrit dans le H.P. du 15-3-78

Entrées Micro: 600 Ω symétrique 0.8 mV

- asymétric 220 k/ Ω , de 0,8 à
- Ligne: asymétric 2 4 volts Sortie: 250 mV Présentation 'Rack'
- Indicateur de saturation à l'entrée du ressort
 Ecoute réglable du 'Direct'
 Dim.: 480 x 250 x 50 mm

AVEC
LE NOUVEAU CAPTEUR
'HAMMOND'
Modèle 9 F 3 ressorts
EN KIT: 850 F EN ETAT DE MARCHE:

H.P. TOURNANTS SPACE SOUND

Médium 50 W 2 vitesses 800 F Aigu: 2 trompettes Puis. 100 W 1100 F Puis. 50 W 1042 F 800 F



SPACE SOUND BASS - 2 moteurs - 2 vi-tesses. Pour HP de 31 cm 700 F Pour HP de 38 cm 1080 F

TABLE DE MIXAGE MINI 5



5 ENTREES

Fil fin émaillé et sous soie mono brin et Litze pour bobinages — Self de choke — Self de filtrage — Filtre passe haut et passe bas.

PEDALIERS

POTS FERRITES miniatures et subminiatures pour matérial professionnel.

Télécommunications - Marine - Aviation - Matériel mèdical - Radio

amateurs. Gammes couvertes de 50 kHz à 200 MHz.

- Perles et tores en ferrites.

 Démultiplicateurs et boutons démultipliés professionnels de JACKSON et GROSSMANN.
- Condensateurs variables miniatures.
- Trimers miniatures de JACKSON pour HF à isolement élevé pour émetteur.
 Galvanomètres de tableau de précision et indicateurs BERTRAM.

PIANO-CLAVECIN-ORGUE 5 OCTAVES

'MF 50 S' COMPLET **FN KIT** 2900 F

Claviers



ODULES SEPARES	ORGUE SEUL, 5 OCTAVES: en valise Avec ensemble oscillateur ci-dessus	
EN	Valise gainée	,— F
	Boîte de timbres piano avec clés	F
	Ensemble oscillateur/diviseur. Alimentation 1 A 930 Clavier 5 octaves, 2 contacts, avec 61 plaquettes percussion piano	, F

PIECES DETACHEES POUR ORGUES

2 octa 3 octa 4 octa 5 octa 7½ oc Boite 'S 12'	aves	1½ octar Tirette d Clé doub Vibrato Repeat . Percussie	ve ve ve v'harmonie MODULES MODULES on avec clés	70,— F 8,— F 70,— F 80,— F 120,— F
	ur les réalisations, tous les circuits nés vendus au prix ELEKTOR.		Pour stylo émetteur, pa	stille 12.— F
	COMPLETS livrés sans circuit	Nº 4	Mini fréquencemètre	12,- 1
Nº 3	Testeur avec transfo . 92.— F			285,— F
	Piano 5 octaves:	Nº 5/6	Réducteur dynamique d	
	Modules oscillateur avec CI		bruit mono	43,— F
	329,— F		Interface cassette	145,— F
	Plaquette 1 octave avec CI 288,— F		Consonant	
	Module filtre et pré ampli		analogique	510,— F
	avec CI 420,— F		riequencemetre 1/4 Gr	940,— F
	Alimentation avec	Nº 7	Détecteur de métaux	90.— F
	transfo avec CI 198,— F		Préconsonant	40.— F
	Appareil complet prix en	Nº 8	Mini Récepteur O.C .	95,— F
	une seule fois: 3000,— F		Luminant	325,- F
	Voltmetre a LED 115,— F		Voltmètre numérique	155,- F
	Voltmètre crète 25,— F Table de mixage stéréo		Digicarillon	65,— F

BON A DECOUPER POUR RECEVOIR

UN CATALOGUE 'KITS'. La plus complète documentation française (300 pages)

270,— F

ENVOI: Franco 22 F en T.P. - Au magazin 15 F.

Do you understand English?

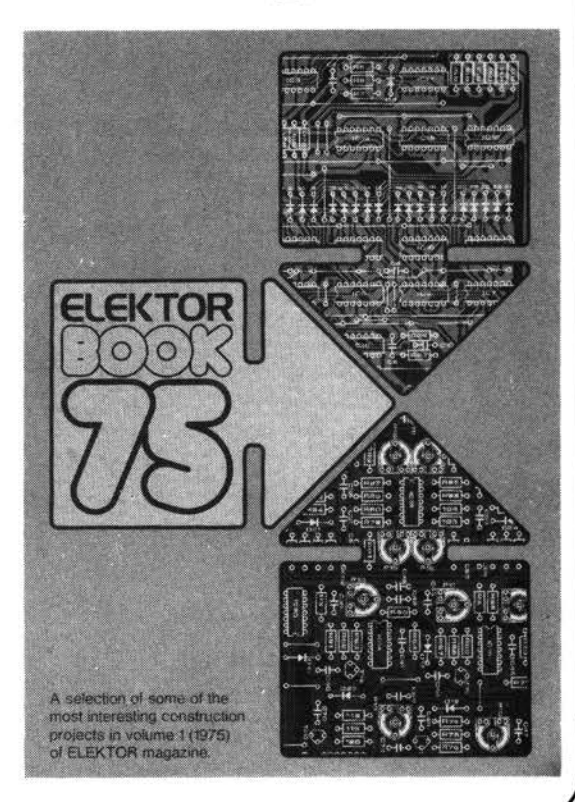
Si vous ne connaissez pas l'anglais technique, alors voici une excellente occasion de l'apprendre.

Si vous possédez déjà quelques notions en anglais technique, vous apprécierez beaucoup l'Elektor Book 75'.

Il présente une sélection des projets de construction les plus intéressants présentés dans l'édition anglaise de Elektor en 1975. Outre les schémas d'horloges, les montages BF, les jeux TV et autres circuits divers, ce livre contient une section 'caractéristiques' qui apporte des indications utiles sur le brochage et les performances de nombreux semiconducteurs.

Avec plus de 100 pages, ce livre intéressera autant le bricoleur débutant que l'électronicien professionnel.

Ce livre est disponible auprès de Elektor, B.P. 59, 59940 Estaires, au prix de 30 F.



COMPAREZ NOS PRIX COMPOSANTS UTILISÉS

dans les réalisations Elektor

quartz 1 Mhz

LED 5 ou 3 mm Les 10 touches digitast

mini switch 8 bits:

OFFRES SPECIALES POUR MAI

SCAMP II .			٠		٠	٠			٠		99,— F
S 566 B				٠		٠				٠	25,— F
TL 084											
AY-3-1015	١,										49,50 F
AY-3-8500											

ELEKTRONIKLADEN ELEKTRONIKLADEN

16	aı	19	а	u	U	ш	9	L	-1	C	•	u	,,					
es	10)													•	·	į.	8,— F
es	10)				è									•			8,— F
																		85,— F
																		79,90 F
5 r	ca																	8,50 F
01	3	,	•															49,50 F
																		67,80 F
																		18,— F
																		18,— F
	es .es .39 .5 r .01 .251 .70	es 10 es 10 398 5 rca 1013 2513 70 .	es 10 es 10 398 5 rca 1013 . 2513 .	es 10 . es 10 . 398 5 rca . 1013 2513	es 10 es 10 398 5 rca 1013 2513	es 10 es 10 398 5 rca 1013 2513	es 10 es 10 398 5 rca 1013 2513	es 10	ses 10									

NOUVEAUTÉS:

96364 pour elekterminal: nous consulter	190,— F
mcm 6844 8t 26 8 t 28 8 t 97, etc. prix: nous consulter	
condensateur tantale 470 µF 3 volts	6,— F
clavier entièrement codé ASCII en kit . Now	
toutes les revues Elektor depuis le no 1 au magasin demandez notre catalogue bla	anc contro
5 F en timbres	

135 bis, bd du MONTPARNASSE METRO: VAVIN - MONTPARNASSE - RASPAIL

METRO: VAVIN - MONTPARNASSE - RASPAIL TEL.: 320 37 02 — TELEX: 203 643 F ELADENF - 75006 PARIS AUTOBUS: 91 PARKING SOUTERRAIN.

43,- F

11,50 F

4,50 F



VENTE PAR CORRESPONDANCE

- Paiement à la commande: ajouter 15 F pour frais. Franco au dessus de 300 F
- Contre Remboursement: + 22,00 F

14, boulevard CARNOT **59800 LILLE**

Magasin de vente ouvert de 9h30 à 12h30 et de 15h à 19h, du mardi matin au samedi soir. Tél.: (20) 55.98.98.

COFFRETS SPECIAUX pour les montages ELEKTOR:

는 이 등에 가장 전에 가장 있다면 기계를 가장 하는 것이 되었다. 그런 것이 되었다면 하는 것이 되었다면 하는 것이 되었다면 보고 있다면 하는데	
- Géné de fonctions	77,00
 Face avant 9453–6 	24,90
- CONSONANT	113,00
Face avant 9945→F	55,00
- Fréquencemètre 1/4 GHz,	
avec face avant percée et séri-	
graphiée	145,00
 Alimentation de labo avec 	CCHIDOL DOCKION
face avant percée	130,00
NOUVEAU	
- STENTOR 75W/4	310,00
150W/2	450,00
- Assistentor	101,00
 Alimentation de labo . 	
(79034) avec galva et	
transfo. 2,5A	375,00 470,00

Composants garantis de premier choix aux normes ELEKTOR: TUN Les 10 (BC237b) . . . 10,00 TUP Les 10 (BC307b) . . . 10,00 DUS Les 10 (1N4148) ... 3,50 DUG Les 10 9,00 DUS Les 50 15,00 2N2905 les 10 20,00 2N1711 les 10 15,00 Touche TKC MM9 4,50 Touche TKC par 100 pièces: 3,50 8,00 CP 643 (FET HF/50 Ω) . . . 85,00 MRF 238 avec notice 85.00 54,00 tube BRIMAR D7 201 GH, avec son blindage 441,00

LINEAIRE: LM 741 . MC 1741 2,50

TDA 2020AD2	36,00
TL074	23,00
XR 4212	19,50
- MC 6800 P	79,90
- MCM 68A 10P	39,80
- MC 6820P	59,00
- MCM6830 L7 MINIBUG	151,80
- 8T97 et 8T86	13,00
- 8T28	19 00

Cette annonce corrige et complète les

Voir **ELEKTOR** éditions précédentes.

KITS proposés par SELECTRONIC

Ces kits sont élaborés à partir des schémas parus dans ELEKTOR sur la base des circuits EPS. Les kits sont fournis avec le circuit imprimé, les accessoires et l'article original ELEKTOR, ainsi que les éventuelles corrections.

B.F.:

_	PRECO (9389 + 9399) .	179,90
-	EQUIN (9401) 25 W	135,00

- Micro Electret + Préampli (9866) 49,90
- VU-mètre à LED + crêtemètre (9817 + 9860) . . . 149,50
- VU-mètre seul (LED plates)
- 115,90 - Luminant (9949) 209,00 Table de mixage (9444)
- stéréo 5 entrées 309,90 - Consonant préampli Hi-Fi 383,50
- (9945) + alim Préconsonant RIAA (9954) 56,50
- Reverbération Analogique (9973) 449,00
- Ampli 20 W TDA 2020 (9144) avec radiateur . . 79,50

MICROPROCESSEUR SC/MP

_	SC/MP (9846-2)	241,50
	RAM E/S (9846-2)	
	CPU (9851) avec EPROM	CONTRACTOR SPECIAL
	ELBUG et connecteur	855,80
*	Ext Mém (9863) +	A-0.00

- ELBUG 544,20 Hex. E/S (9893) 636,20 4 K RAM (9885) 1054,20 Interf. K7 (9905) 151,80
- Alimentation (9906) . . . 247,80 Système complet comprenant les kits avec carte RIIS

10:	KILS avec cart	C	D	U	J							
+	connecteurs .			٠	٠			×	٠	34	95,0	0
_	Clavier ASCII	(9	96	35	5)				4	39,0	0
_	Elekterminal		(99	6	6)		a	vec	me	5 -

moires programmées . . . 949,00

DIVERS Magnáticous (0007)

_	Magnetiseur (9827)	49,50
-	Sablier qui caquette	
	(9985)	89,00
_	Spiroscope (9970)	129,00
_	Compte-tours auto	
	(9460)	42,50
-	Aff. LED 270° (9392)	93,50
_	Compte-tours complet +	

face avant 159,00 Biofeedback (9825) . . . 199,50Ioniseur (9823) 105,40

- Géné de fonctions complet avec Face avant + Alim. + boutons etc. (9953) 249,90
- Alimentation stabilisée avec LM 317K (9465), sans transfo 114,50
- TV-SCOPE (9968) bicourbe 439,00
- TV-SCOPE LUXE Bicourbe (9968-9969) 819,50
- Modulator UHF (9967) Avec QUARTZ 70,00
- Compteur Fréquencemètre 1/4 GHz (9887-1 à 4) . . 942,90
- Mini Fréquencemètre . . 275,00 Voltmètre Digital
- (79005) 198,00 Adapteur Alternatif (79035) 69,90
- Sonde HF (9427) 45,00
- Préampli HF 9413 36,00 Base de temps + alim.
 - (9948) 225,00

MUSIQUE:

- Les instruments sont Equipés des claviers Kimber Allen, à contacts plaqués-or
- Clavier 3 Octaves Kimber-Allen (avec contacts) 510,00
- Clavier 5 Octaves Kimber-Allen (avec contacts) 795,00
- PIANO électronique. Le kit complet comprenant les EPS, le clavier 5 oct. et ses contacts . . . 2349,00

FORMANT. Synthétiseur

-	VCO (9723-1)	10			٠	•	٠		499,00
_	VCF (9724-1)								205,00
_	24 dB VCF (99								339,00
_	ADSR (9725)		•						138,50
_	Dual VCA (97)	26							185,00
	(0707)								175,00
_	Noise (9728)							0	110,00
-	0011 (0700)								129,00

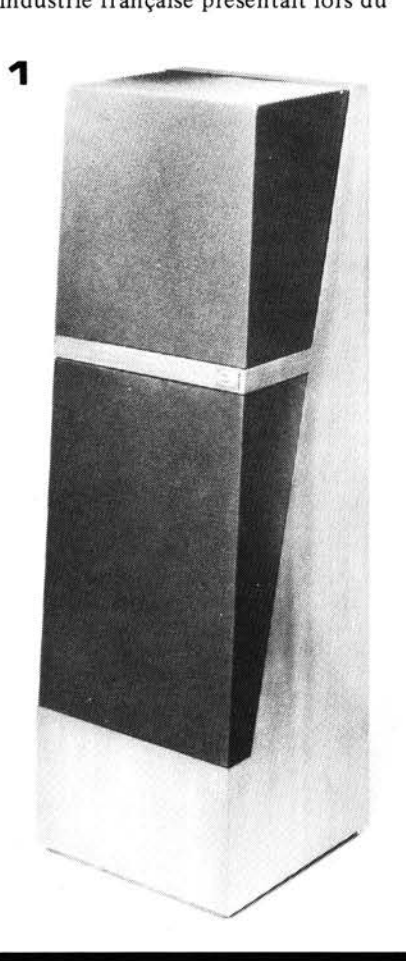
- Alim. (9721-3) 349,00Le kit complet 3 octaves avec faces avant 3295,00
- FORMANT avec clavier . 3795,00

SELEKTOR

Festival international du son

Les enceintes acoustiques françaises

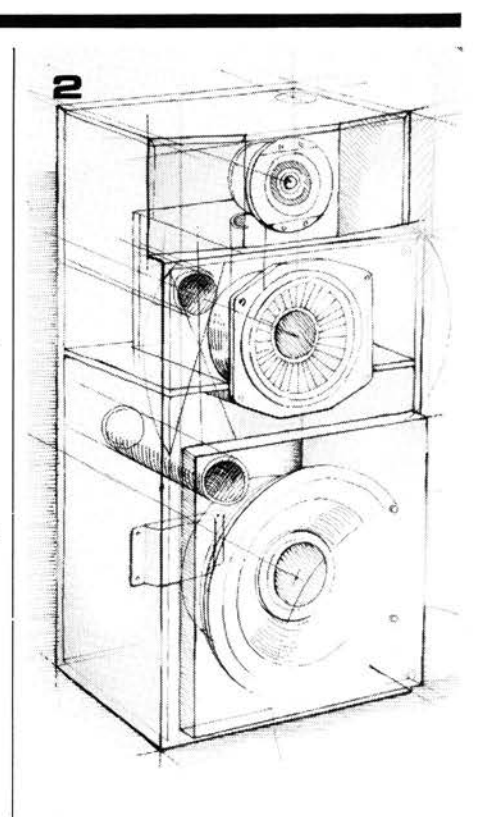
Chaque année la part que prennent les constructeurs français sur le marché de la haute fidélité tend à devenir plus importante. Mais quelle est leur situation par rapport aux constructeurs étrangers? En examinant les chiffres donnés par le SIERE on s'apperçoit que 6% du marché de la haute fidélité qui en 1977 étaient réservés aux étrangers ont basculé au profit des industriels français en 1978. Voilà qui est bon signe, mais, chose bizarre, ce sont les exportations de récepteurs (tuners, ampli-tuners, combinés compacts) qui ont bénéficié de la plus importante augmentation des exportations (42% en un an); pourtant la plupart de ces appareils ne présente aucune évolution technologique révolutionnaire et sont même bien souvent fabriqués en Pologne ou dans quelque pays de l'Asie du Sud Est. Le marché des enceintes acoustiques, qui a évolué de 15% entre 1977 et 1978, tend, quant à lui, à rester stable au niveau des importations et exportations. Bien qu'étant un domaine où l'évaluation objective des performances est assez difficile, il semblerait pourtant que c'est dans ce secteur particulier que l'industrie française présentait lors du



Festival international du son les produits les plus originaux et dignes du marché international.

La société Elipson, qui occupe l'une des premières places parmi les constructeurs de matériel acoustique français, fait une fois de plus preuve d'originalité. Outre la présentation pour la première fois de son ensemble électronique préamplificateur et amplificateur de puissance 2 x 125 Watts de très haute qualité, la nouvelle série d'enceintes en 'colonne' 1603 et 1604 (photo 1) a étonné le public. Equipées d'un tweeter à dôme hémisphérique de 25 mm, d'un haut-parleur médium de 13 cm et d'un haut-parleur grave de 25 ou 30 cm associé à une charge de type bass reflex, ces enceintes acoustiques qui acceptent des puissances de 90 Watts, respectivement 130 Watts, sont d'une pureté exceptionnelle et diffusent les basses avec une souplesse remarquable. De plus la 1604 est équipée d'un indicateur de puissance réelle appliquée à l'enceinte et de deux correcteurs (médium et aigu). Ces deux colonnes d'une esthétique très agréable et présentant une répartition spaciale très homogène sont prêtes à conquérir le public qui était réservé aux constructeurs anglais (B & W, AR . . .). Cabasse, le constructeur d'enceintes acoustiques se permettant d'exporter 40% de sa production, présentait aussi des nouveautés attrayantes avec en particulier une nouvelle enceinte acoustique asservie d'un très petit volume (49 x 29 x 25 cm), l'Eider 3 VTA. La réalisation de cette enceinte hors du commun a été rendue possible par l'utilisation d'un nouveau haut-parleur grave de 21 cm à très grand déplacement et à haut rendement. Cette enceinte est équipée de deux amplificateurs de puissance (40 W pour les basses et 20 W pour le médium), d'un filtre actif et d'un système d'asservissement double du haut parleur grave, les médiums et les aigus étant reproduits par des hautparleurs à dômes de très haute qualité équipant également les enceintes de haut de gamme. Le système d'asservissement utilisé et la conception du nouveau haut-parleur de 21 cm permettent d'obtenir une enceinte acoustique à la qualité de reproduction et au rendements surprenants pour une telle taille.

Avec un style quelque peu différent et un son un peu plus coloré bien que très agréable à écouter, la société Siare présentait des enceintes acoustiques de très haute qualité, la série 200 (photo 2). Le haut de gamme (Delta 200 et Galaxie 200) offre des performances étonnantes qui sont le fruit de 35 ans de recherche dans le domaine de l'électroacoustique. Avec son tweeter à ogive permettant d'assurer la liaison à partir de 2500 Hz ainsi que la nouvelle technologie du filtre F1000 et du haut-parleur 19TSP.



la fréquence de coupure des fréquences grave-médium dans la Galaxie 200 est ramenée à 150 Hz. Le filtre monolithique très rapide en régime transitoire présente un très faible taux de distorsion à forte puissance. Enfin le hautparleur grave 31 TE de 30 cm associé à un système bass reflex à double chambre permet d'aboutir à d'excellents résultats dans l'extrême grave.

clap-switch

interrupteur sensible aux claquements

Imaginez que vous êtes assis dans votre salle de séjour, en compagnie de quelques bons amis, lorsque vous remarquez que le soir s'approche et que la lumière du jour commence à faiblir. Soudain vous claquez des mains et - hop! - la lumière s'allume! Non seulement vous vous êtes épargné la peine de quitter le confort de votre fauteuil, mais surtout vous avez 'ébloui' tous vos hôtes grâce aux pouvoirs magiques de votre science de l'électronique. Cet article décrit comment parvenir à ce résultat impressionnant en construisant un petit interrupteur 'quiobéit-quand-on-claque-des-mains', et qui devrait coûter moins de 100 F.

On peut trouver de nombreuses applications intéressantes à un interrupteur que l'on commande simplement en claquant des mains; le problème que l'on rencontre généralement avec ce genre de dispositif est sa sensibilité qui provoque des déclenchements intempestifs. La plupart de ces interrupteurs sont conçus simplement pour détecter un signal sonore bref et sec. Ce signal est capté par un microphone, puis appliqué à un circuit de déclenchement qui à son tour fournit une impulsion de commande. Un tel dispositif présente un inconvénient évident: n'importe quel bruit rapide et sec déclenchera également l'interrupteur. C'est pourquoi le circuit décrit ci-dessous fonctionne suivant une méthode différente. Outre une amplitude assez forte, la forme d'onde que l'on obtient en claquant des mains se caractérise par un temps de montée très court, c'est-à-dire que le signal contient des composantes de fréquence ultrasonore. L'utilisation d'un interrupteur sensible aux ultrasons rend le circuit capable d'une bien meilleure discrimination entre vraies et fausses commandes. Avec le circuit que nous allons décrire, seuls des sons contenant une proportion considérable d'ultrasons - comme par exemple celui que l'on obtient en agitant un trousseau de clés parviendront à déclencher l'interrupteur.

Le principe

Le schéma de base du circuit est illustré par le synoptique de la figure 1. Les composantes de fréquence ultrasonore produites par le claquement des mains sont captées par un transducteur approprié. Après amplification et filtrage, elles sont appliquées à un monostable à seuil de déclenchement bas. Cela permet d'obtenir un signal de temps de montée suffisamment court pour pouvoir déclencher à son tour une bascule. Comme un 4013 contient deux bascules, la seconde bascule du circuit nous offre la possibilité de déclencher l'interrupteur par deux claquements de mains. Cela signifie que l'on peut soit 'programmer' l'interrupteur (deux

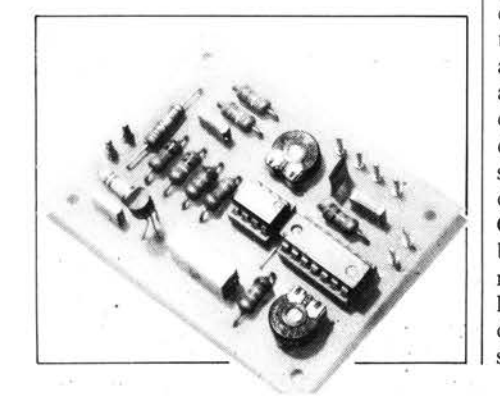
claquements signifiant par exemple: allumer la lumière), soit simplement réduire encore plus la probabilité de faux déclenchement, puisqu'un signal sonore externe possédant un contenu ultrasonore riche devrait de plus être répétitif pour pouvoir agir sur l'interrupteur.

Le schéma

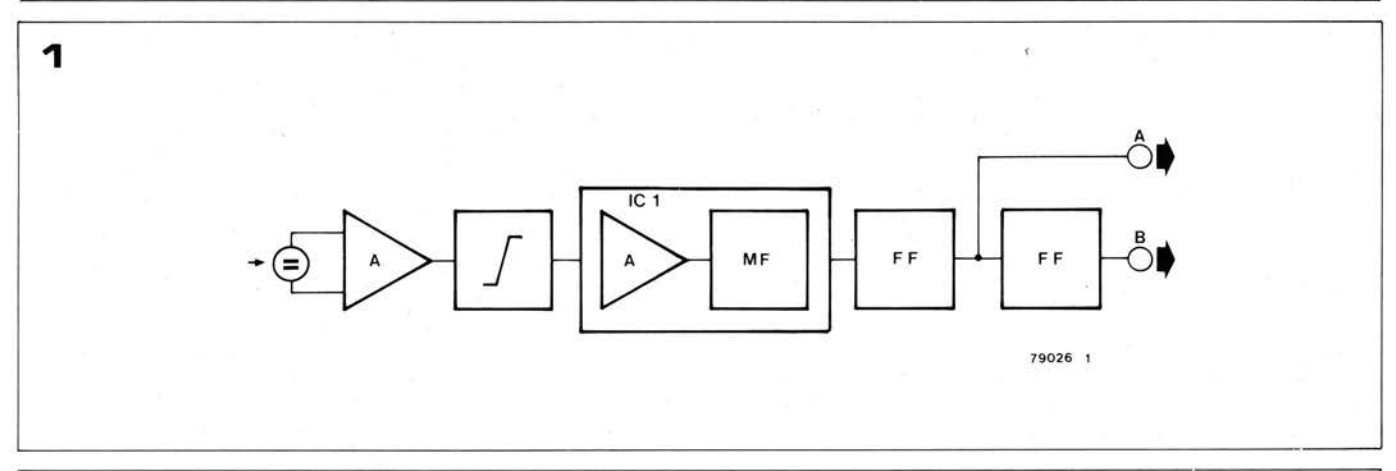
La figure 2 donne le schéma complet du clap-switch. En pratique, n'importe quel transducteur ultrasonore couramment disponible, y compris le microphone à électret sensible aux ultrasons, pourra convenir. L'amplificateur d'entrée est constitué par un BC109C (T1), tandis que C3, C4, R4, et R5 composent un filtre actif passe-haut. L'ampli-op 709 fonctionne à la fois en amplificateur et en monostable. On pourrait en principe utiliser aussi un 741, mais dans ce cas la sensibilité du circuit serait réduite dans des proportions assez importantes. La constante de temps du monostable est d'environ 70 ms, ce qui autorise l'emploi de condensateurs type MKM ou MKH (la plus forte valeur disponible dans cette série est de 1 µF), et surtout ce qui est suffisamment long pour éviter que le monostable ne soit déclenché par des signaux de réverbération. Ce point illustre un autre avantage de l'approche ultrasonore, car les temps de réverbération des ultrasons sont bien plus courts que ceux des signaux du spectre audible, et par conséquent ils seront toujours situés à l'intérieur de la période du monostable.

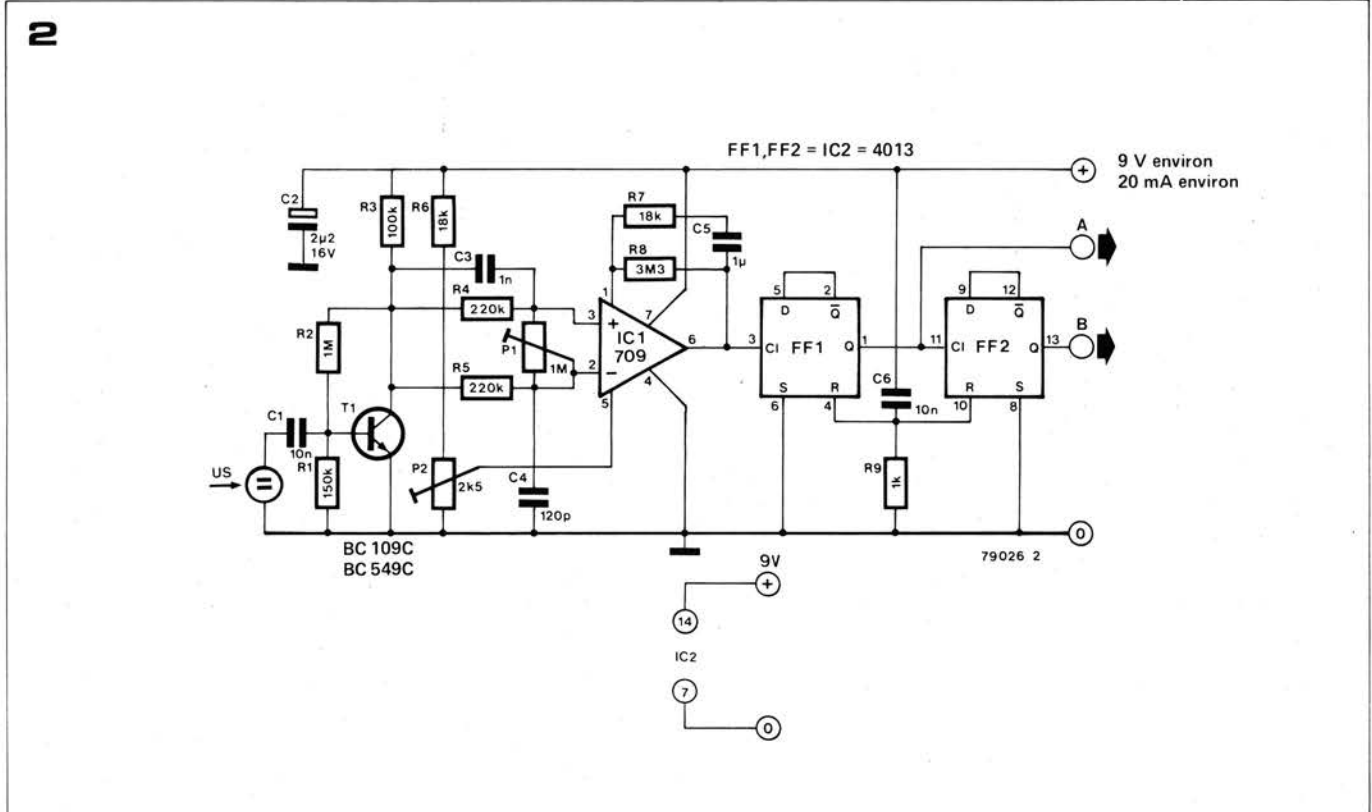
Construction et réglage

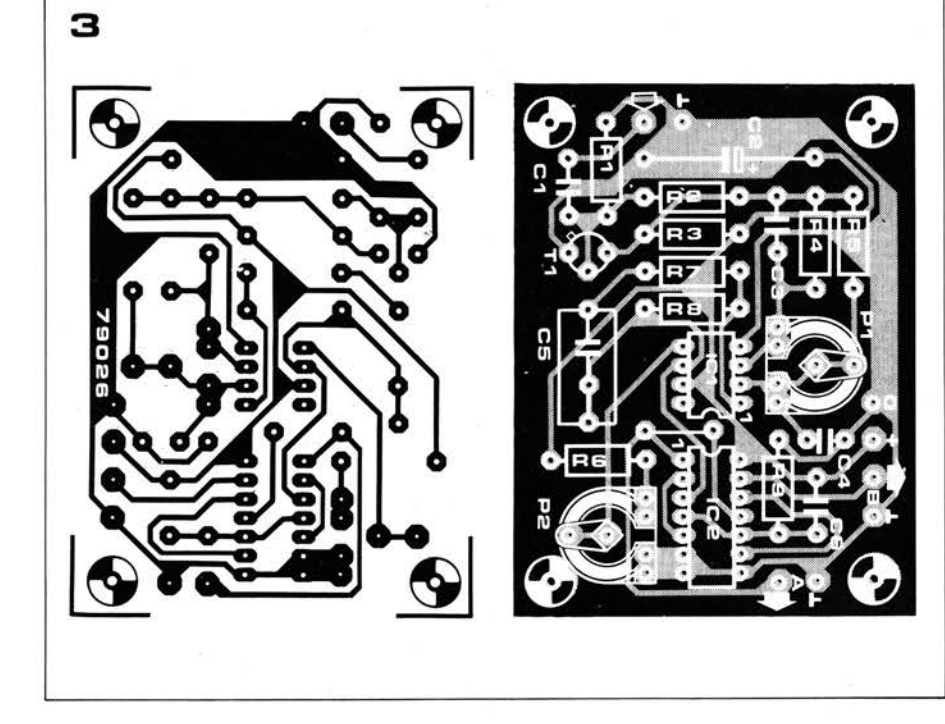
En ce qui concerne la construction, un simple coup d'oeil à la carte de circuit imprimé représentée sur la figure 3 nous montre que l'on peut facilement loger ce circuit à l'intérieur de la plupart des types d'équipements que l'on peut souhaiter mettre en marche ou arrêter de cette façon. Le courant consommé est suffisamment faible — environ 20 mA — pour que l'on puisse alimenter le circuit par une pile. Toutefois, si l'on préfère utiliser une alimentation secteur, cette dernière n'a pas besoin d'être stabilisée, et un



5-14 - elektor mai 1979



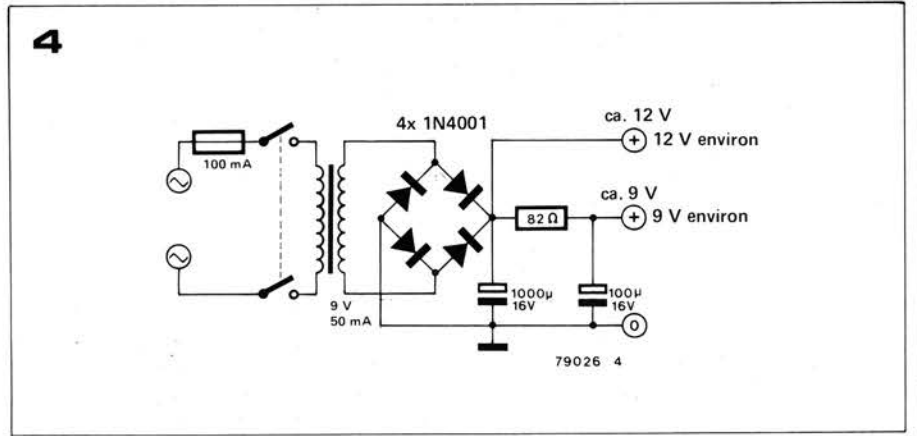


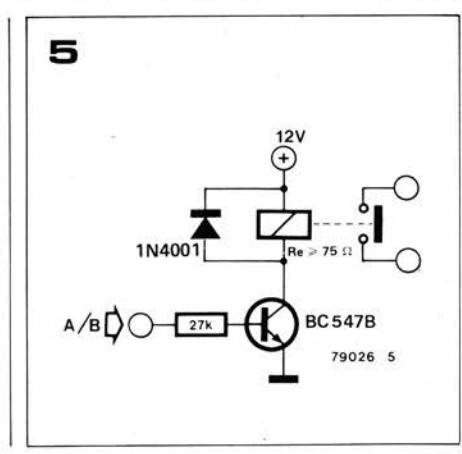


circuit simple comme celui de la figure 4 fera l'affaire. Il faudra cependant prendre la précaution de bien blinder l'alimentation par rapport au circuit, afin d'éviter toute interférence dûe au secteur.

La figure 5 montre comment, à l'aide d'un relais, on pourra utiliser l'une des sorties A ou B pour commander des appareils électriques comme l'éclairage d'une pièce, etc. Avant d'utiliser l'interrupteur, il faut d'abord régler à un niveau convenable la sensibilité du circuit d'entrée. Cette opération se fera de la façon suivante:

- Après la mise sous tension, on forcera la sortie de IC1 (broche 6) à prendre la valeur logique '0' à l'aide de P2.
- On tournera ensuite le curseur de P1 à fond vers R5, ce qui donne au circuit son maximum de sensibilité.
- 3. On réduira ensuite progressivement la sensibilité jusqu'au moment où le circuit répond toujours au claquement des mains, mais non aux bruits moins violents. Pour parvenir





Liste des composants Résistances: R1 = 150 kR2 = 1 MR3 = 100 kR4, R5 = 220 k R6, R7 = 18 kR8 = 3M3R9 = 1 kCondensateurs: C1, C6 = 10 n $C2 = 2\mu 2/16 \text{ V}$ C3 = 1 nC4 = 120 p $C5 = 1 \mu (MKM)$ Semiconducteurs: T1 = BC 109C, BC 549C IC1 = 709IC2 = 4013Divers: P1 = ajust 1 M P2 = ajust 2k5

94 Ħ US N1...N4 = IC1 = 4011 79026 6

à ce résultat, on augmentera le seuil du trigger en plaçant P2 sur une position située à peine au-delà de celle qui rend haute la sortie de IC1, puis en réglant P1 sur la position correspondant à la sensibilité souhaitée.

Transducteur ultrasonore (voir texte)

Générateur de claquements

Pour ceux des lecteurs qui trouveraient que leurs mains sont trop souvent occupées pour les faire claquer, le circuit de la figure 6 apporte la réponse. Composé d'un simple 4011 et d'un transducteur ultrasonore, ce circuit constitue essentiellement un émetteur à ultrasons miniature produisant, lorsqu'on le déclenche, une rafale de signaux de 5 ms, à laquelle l'interrupteur décrit ci-dessus répondra. Le générateur de claquements à ultrasons possède de plus l'avantage d'augmenter considérablement la distance à laquelle on peut commander l'interrupteur. La portée de cet interrupteur est d'environ 5 à 6 mètres

Figure 1. Synoptique de l'interrupteur 'sensible aux claquements'.

Figure 2. Schéma complet du clap-switch à ultrasons. L'ampli-op 709, économique et très courant, constitue le monostable.

Figure 3. Cliché du circuit imprimé et implantation des composants du clapswitch (EPS 79026).

Figure 4. Un circuit d'alimentation simple pour le clap-switch. Afin d'éviter toute interférence dûe au secteur, cette alimentation devra être soigneusement blindée, par exemple à l'aide de morceaux de stratifié de cuivre. Le blindage devra naturellement être relié à la terre.

Figure 5. Ce circuit montre comment utiliser l'interrupteur à claquement pour commander, à l'aide d'un relais, par exemple l'éclairage d'une pièce.

Figure 6. Schéma d'un générateur de claquements à ultrasons permettant de commander le clap-switch jusqu'à une distance de 15 mètres.

lorsqu'il répond à un simple claquement des mains; cette portée passe à environ 15 mètres avec le circuit de la figure 6 (en supposant que l'appareil soit pointé vers l'interrupteur).

Le circuit (N3/N4) est un multivibrateur astable muni d'une porte de commande, et oscillant à une fréquence d'environ 30 kHz lorsqu'il est déclenché par le monostable constitué par N1/N2. Chaque fois que l'on appuie sur le bouton de démarrage (S1), ce circuit engendre une rafale de signaux longue d'environ 5 ms. Si l'on considère la consommation très faible de courant (de l'ordre de 100 μA), ce qui suggère de réaliser l'alimentation en connectant en série quelques piles miniatures, et le fait que ce circuit ne comprend qu'une poignée de composants, nous pourrons conclure qu'il se prête parfaitement à la miniaturisation. On peut régler la fréquence du multivibrateur astable au moyen de P1, et l'on déterminera expérimentalement la fréquence à laquelle l'interrupteur à ultrasons est le plus sensible.

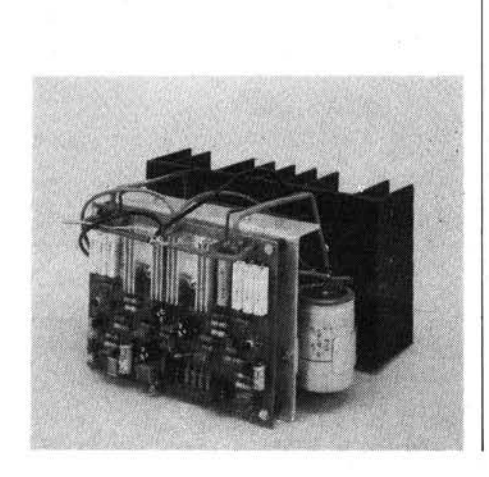
stentor

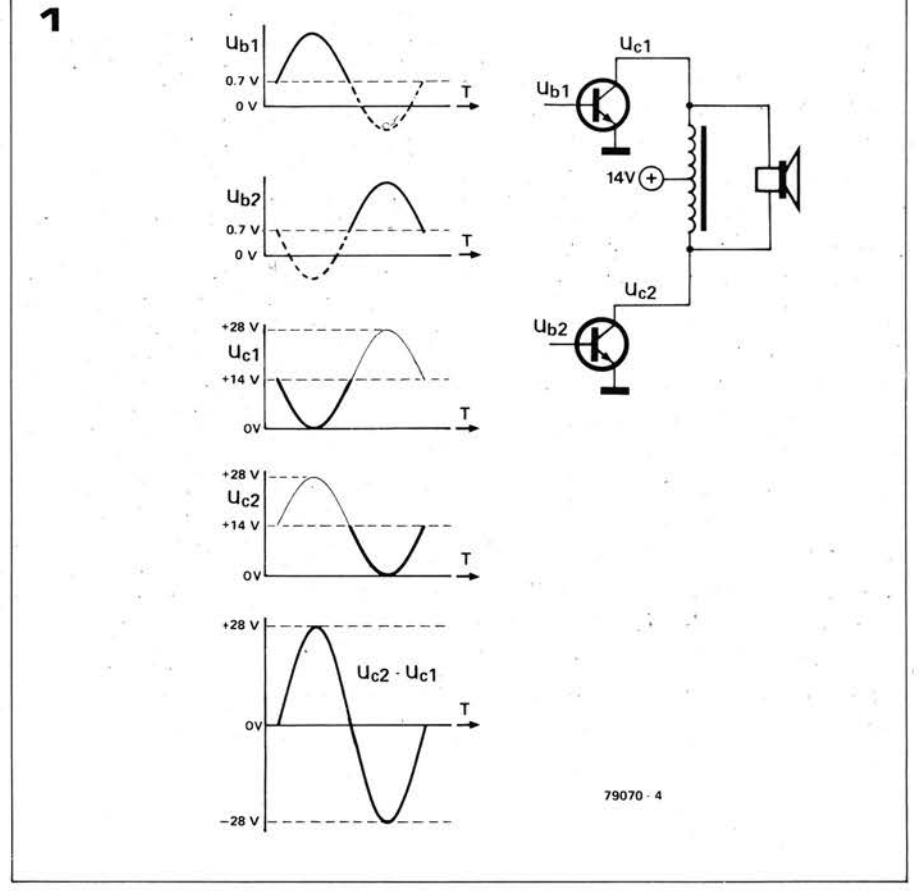
Un amplificateur homérique

Dans l'liade, l'épopée d'Homère, Stentor est le nom d'un homme ayant une voix, plus forte que celle de cinquante guerriers. Aujourd'hui grâce à l'électronique, Stentor sera le nom d'un amplificateur, cinquante fois plus puissant qu'un récepteur à transistors! L'alimentation sera celle, disponible à bord des voitures; l'ensemble restera ainsi portable, voire mobile, et pourra aussi bien servir lors d'un défilé de carnaval ou d'une manifestation quelconque, que sur une scène.

Il n'existe pas seulement un besoin d'amplis de grande puissance, mais encore faut-il que ces amplificateurs puissent facilement être déplacés. Surtout à notre époque les démonstrations en tous genres et autres manifestations, créent un besoin d'amplis mobiles, (alimentés par batteries) permettant de communiquer, si possible d'une façon compréhensible, mais toujours de la manière la plus forte possible, soit certaines convictions, soit une ambiance de fête, et dans ce cas, sous forme de musique appropriée. Le même souhait est également exprimé par des groupes ou formations pop, voulant remplacer leurs amplis à tubes, peu robustes sur le plan mécanique, par des versions à transistors, sans vouloir, pour autant, changer à cette occasion, ni la puissance

de sortie, ni le "comportement des tubes" de leur vieux ampli. Pour l'usage qui sera fait de cet ampli, nous pouvons considérer qu'une distorsion importante sera moins désastreuse qu'un mauvais comportement en diaphonie, par exemple. Un autre point important est que cet amplificateur doit être réalisable avec des composants usuels et donc facilement disponibles dans le commerce. Déterminons d'abord théoriquement la puissance de sortie maximale, d'après la tension de la batterie et quelques principes couramment utilisés en audiofréquence. En prenant le schéma classique d'un étage de sortie (à symétrie complémentaire, par exemple), la puissance de sortie peut facilement se calculer à l'aide d'une formule simple, si l'on néglige certaines pertes. Mais attention, ce genre de formule n'est





valable que si l'on présente à l'entrée un signal sinusoïdal.

La puissance de sortie maximale est alors:

$$P = \frac{U^2}{8 \cdot R_I}$$

P = puissance sinusoïdale U = tension d'alimentation R_L = impédance du haut-parleur

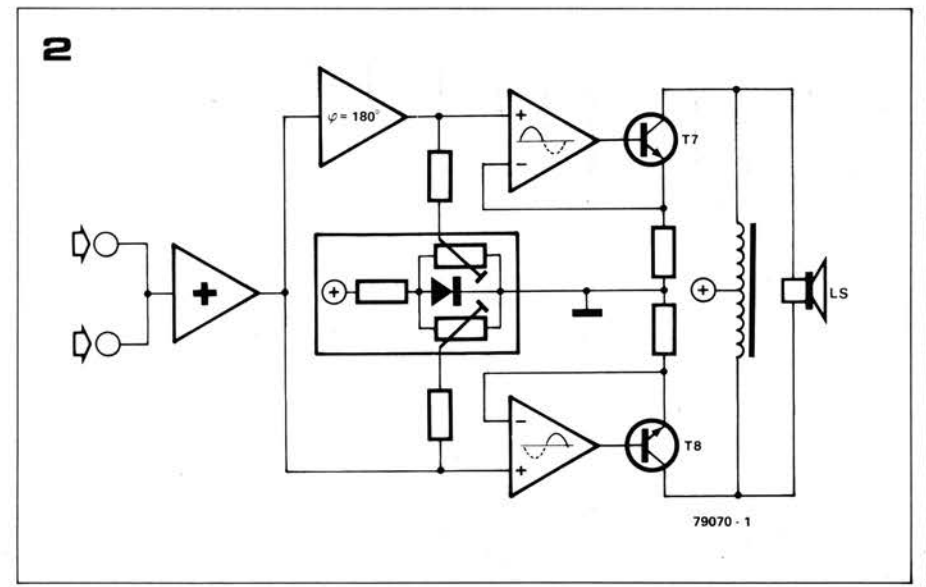
Donc, à 12 V, avec un haut-parleur de 4Ω , cela donne 4.5 W, ce qui est évidemment insignifiant pour une installation "public address". Une première solution pour y remédier serait d'utiliser, ce qu'on appelle un

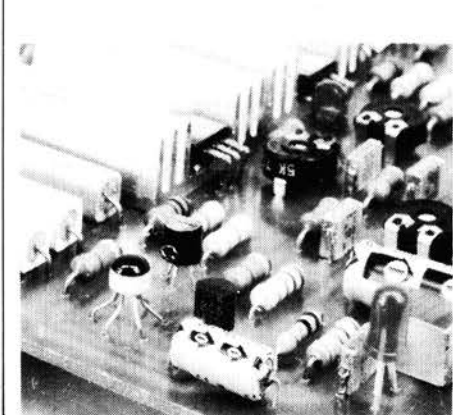
montage "en pont", où l'on utilise deux amplificateurs de puissance identiques, dont l'un sera attaqué par un signal en opposition de phase par rapport à l'autre. De cette manière, le haut-parleur, branché entre les deux étages de sortie, reçoit un signal deux fois plus important que celui délivré par un amplificateur de type classique. Il en résulte une puissance de sortie quatre fois plus importante. Avec $12\ V$ et $4\ \Omega$ on obtiendrait donc théoriquement $18\ W$.

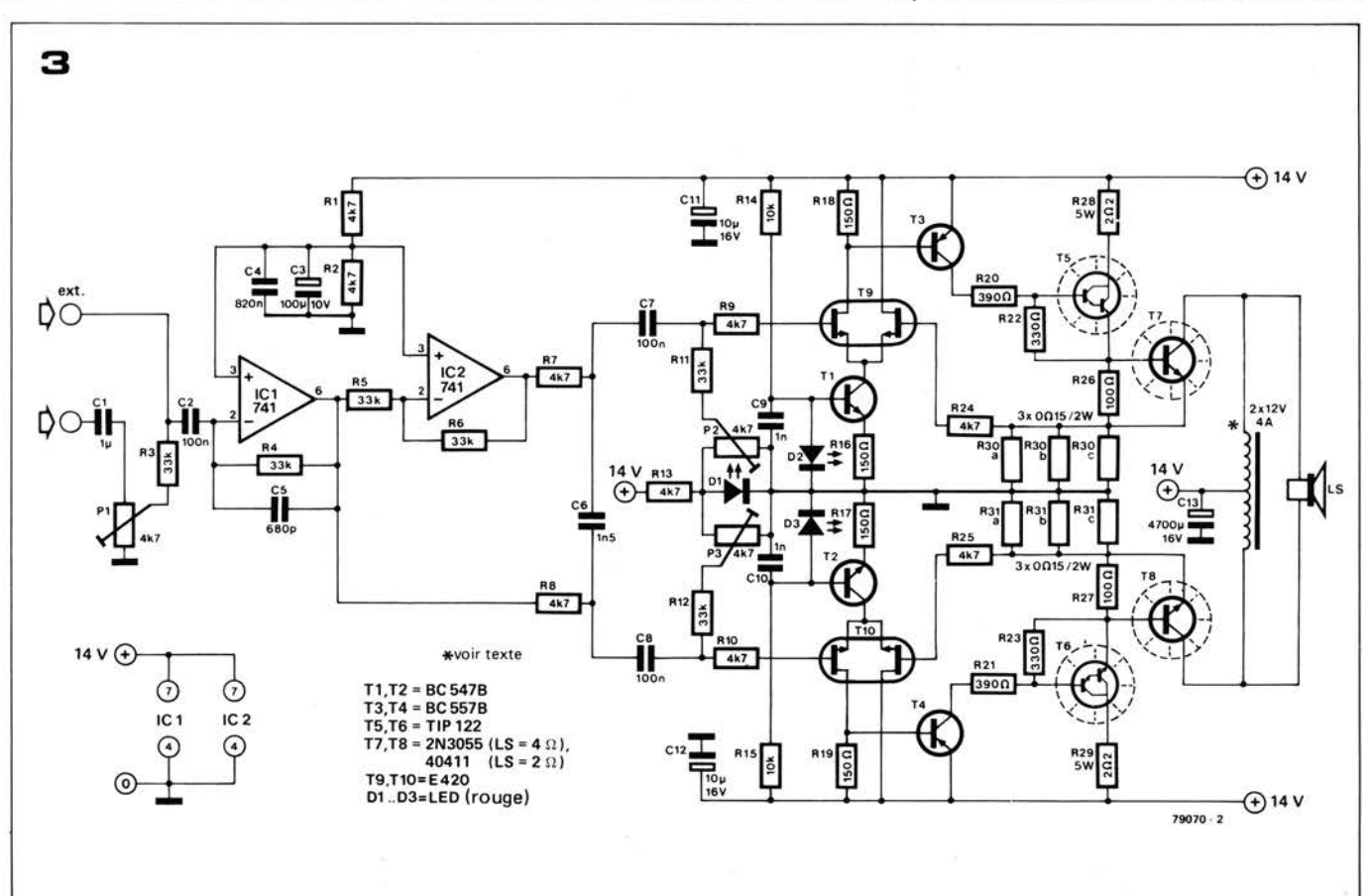
Il y a encore une autre solution. En fait, il s'agit également d'un ampli "en pont", mais en plus, un transformateur a été branché en parallèle avec le hautparleur. Or, ce transformateur est un Figure 1. Cette figure illustre comment la tension de sortie est doublée en couplant l'étage de sortie à un transformateur.

Figure 2. Schéma synoptique du Stentor.

Figure 3. Schéma complet du Stentor. Les LEDs D2 et D3 servent à la stabilisation de la tension de base des transistors T1 et T2 et ne s'allumeront pas, ou à peine, tout comme D1, servant à la stabilisation du courant de repos. Le réglage du courant de repos est très simple. En insérant un ampèremètre dans la ligne d'alimentation, les curseurs des potentiomètres P2 et P3 à la masse, on règle d'abord le courant de repos avec P2 à 0,5 A, puis on l'augmente à 1 A avec P3.







5-18 — elektor mai 1979 stentor

Liste des composants:

Résistances:

R1,R2,R7,R8,R9,R10,R13, R24,R25 = 4k7 R3,R4,R5,R6,R11,R12 = 33 k R14,R15 = 10 k R16,R17,R18,R19 = 150 Ω R20,R21 = 390 Ω R22,R23 = 330 Ω R26,R27 = 100 Ω

 $R28,R29 = 2\Omega2$

R30a . . . R30c,R31a . . . R31c =

0,15 Ω/2 W

P1,P2,P3 = 4k7 potentiomètre ajustable

Condensateurs:

C1 = 1 μ (non-électrolytique) C2,C7,C8 = 100 n C3 = 100 μ /10 V C4 = 820 n C5 = 680 p C6 = 1n5 C9,C10 = 1 n C11,C12 = 10 μ /16 V C13 = 4700 μ /16 V

Semi-conducteurs:

T1,T2 = BC547B T3,T4 = BC557B T5,T6 = TIP 122 T7,T8 = 2N3055 (LS = 4Ω), $40411 \text{ (LS = } 2 \Omega)$ T9,T10 = E 420 (FET double) IC1,IC2 = 741 D1,D2,D3 = LED rouge

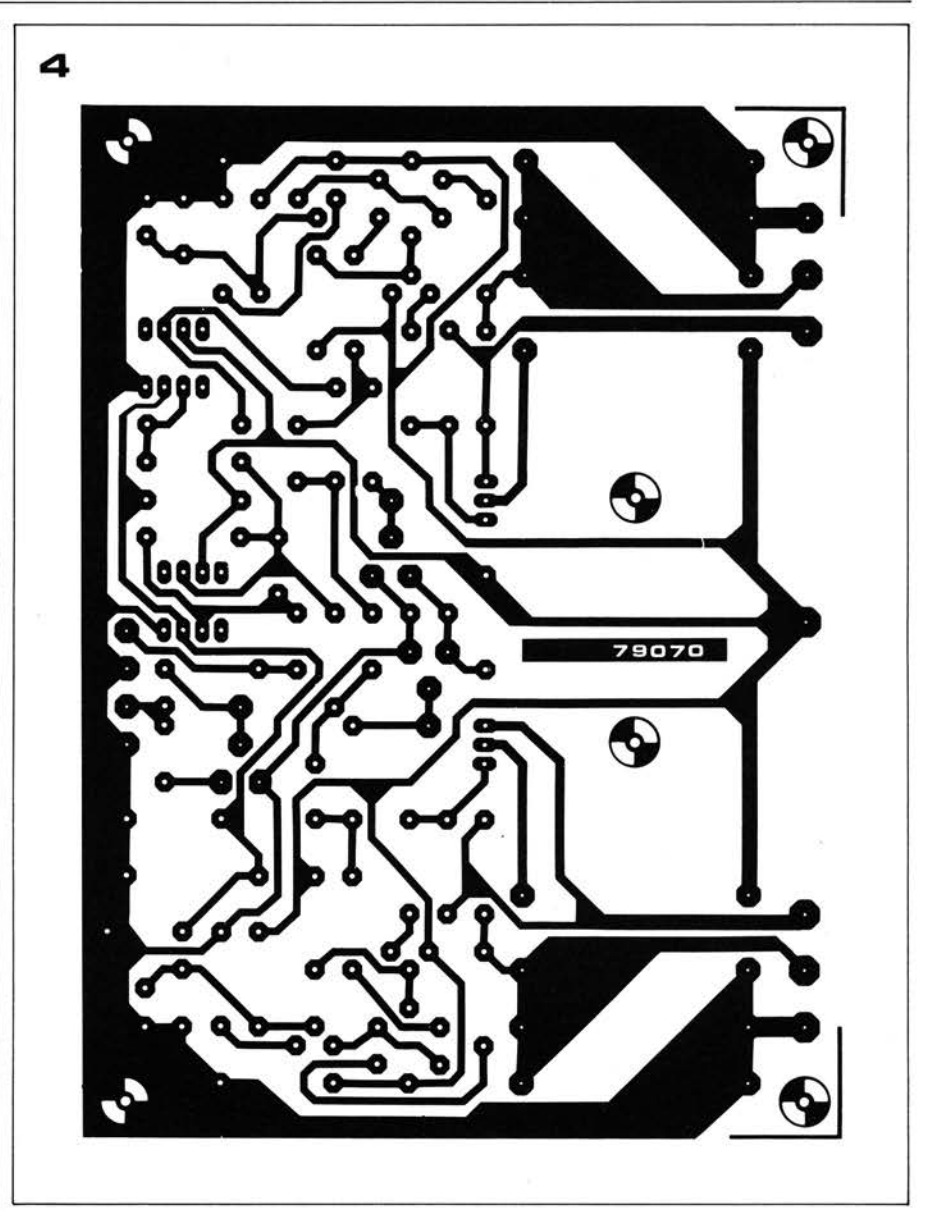
Divers:

Transfo 2 x 12 V/4 A (LS = 4 Ω), 2 x 12 V/8 A (LS = 2 Ω) LS = haut-parleur 4 Ω /175 W ou 2 Ω /150 W (evt. 2 x 4 Ω /75 W Dissipateur (±250 cm², ailettes d'environ 5 cm) 2 x dissipateur pour TIP 122

type à deux enroulements identiques, comme par exemple un transfo d'alimentation à point milieu. Ce point milieu sera raccordé à l'alimentation. Ainsi grâce au transformateur la tension sur le haut-parleur est non pas doublée mais quadruplée par rapport à un amplificateur de type classique (fig. 4). Théoriquement une puissance de 16 x 4.5 W = 72 W est maintenant disponible en utilisant un haut-parleur de 4 Ω . Si l'alimentation est suffisamment robuste. on pourra même diminuer la charge, $R_L = 2 \Omega$ par exemple, afin d'obtenir (toujours théoriquement) une puissance de 144 W. C'est ainsi que l'on peut sortir du chapeau du magicien, une bonne douzaine de Watts par Volt. Malheureusement, la consommation est alors beaucoup plus importante qu'une douzaine d'Ampères par Volt; les réserves déjà faites concernant l'alimentation sont donc justifiées. D'autre part, la tension d'alimentation peut aller jusqu'à 14 V.

Schéma synoptique

La figure 1 nous donne le schéma synoptique du Stentor. On constatera



que la deuxième solution (avec transfo) a été retenue. Le signal d'entrée arrive à l'étage mélangeur, permettant ainsi d'appliquer plusieurs signaux, et de les amplifier en même temps (dans des proportions de mélange ajustables) par le Stentor (voir figure 5). L'amplificateur final se compose de deux étages de sortie identiques. L'un des deux reçoit directement le signal de l'étage mélangeur; l'autre sera attaqué à travers le déphaseur. Les deux amplificateurs sont donc attaqués par un signal de même forme et de même amplitude mais en opposition de phase. Les étages finals ne sont autres que des amplificateurs différentiels, attaquant des sources de courant (T7/T8). Un réglage du courant de repos a été prévu afin d'ajuster T7/T8 au bord de la conduction, au moment où le signal d'entrée est nul. Ainsi le moindre changement de tension provoquera déjà un changement de courant à travers T7/T8. Avec les deux potentiomètres ajustables il est possible d'ajouter une tension de polarisation comprise entre 0 et 1,4 V au signal d'entrée. Les problèmes de diaphonie seront ainsi limités au minimum.

Initialement, au repos, les deux extrémités du transformateur sont au potentiel positif de l'alimentation. Pendant une demi période du signal, l'un des transistors de sortie, T7 par exemple, est conducteur, un courant circule au travers du bobinage supérieur et la tension au collecteur de T7 chute. De plus cette variation du courant dans le bobinage supérieur entraine une tension induite aux bornes du bobinage inférieur, tension induite qui a une polarité opposée par rapport à celle du bobinage supérieur. Il en résulte que quand la tension à l'extrémité du bobinage supérieur chute de +14 V à 0 V, la tension à l'extrémité du bobinage inférieur passe à +28 V. Durant la seconde demi période du signal d'entrée, le processus est inversé. T8 conduit (et T7 se bloque) faisant chuter la tension du bobinage inférieur et induisant une tension opposée sur le bobinage supérieur. Ainsi la tension appliquée au haut-parleur est le double de la tension d'alimentation et bien que la tension ne tombe jamais en dessous de 0 V car le courant s'inverse à chaque demi période le haut-parleur reçoit effectivement une tension alternative

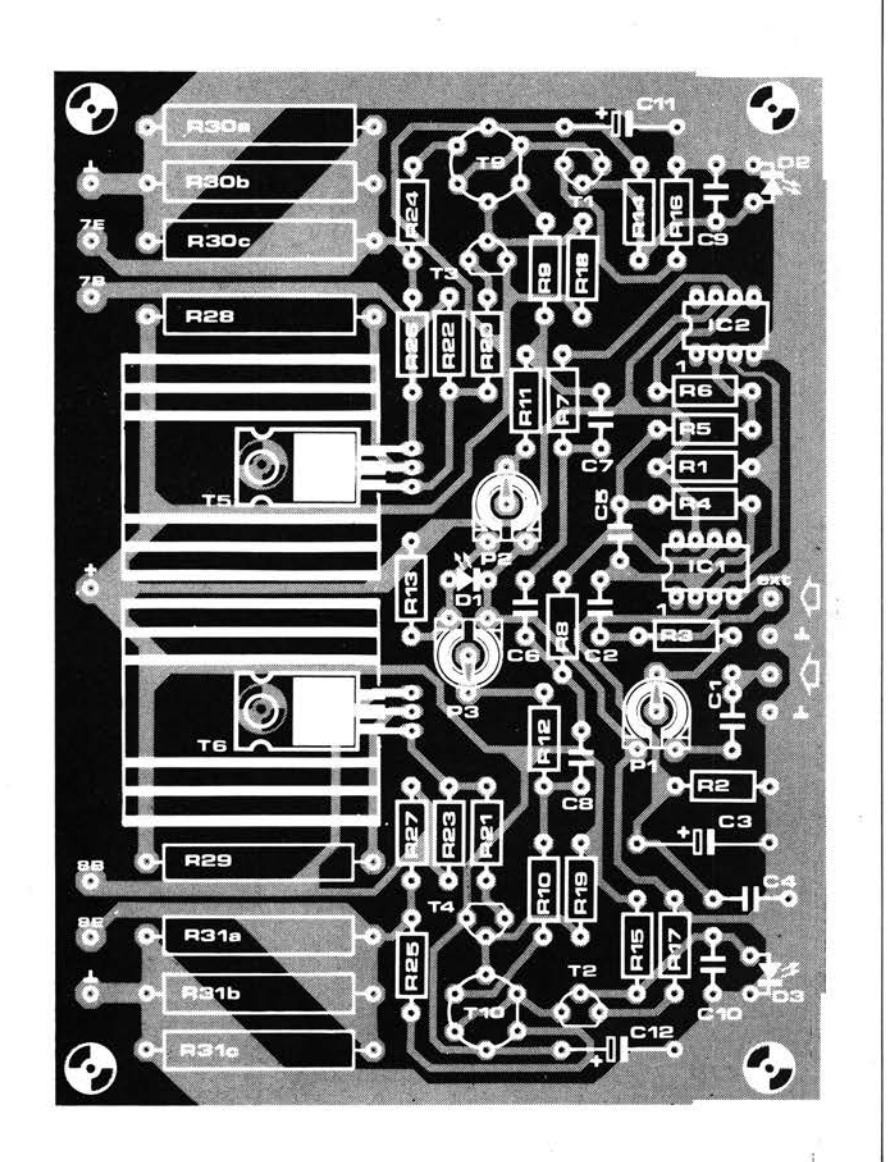
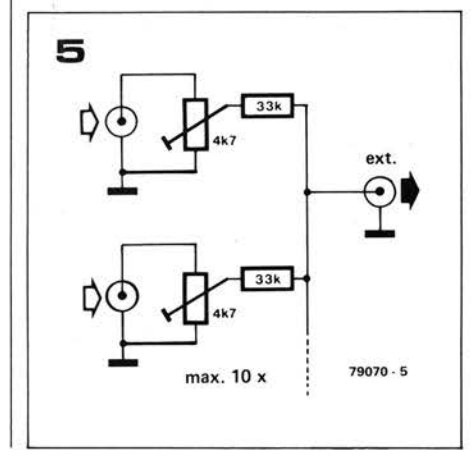


Figure 4. Circuit imprimé et implantation des composants. Les transistors de puissance et le transfo ne peuvent être montés sur le circuit imprimé. T7 et T8 doivent être montés sur un radiateur suffisamment dimensioné et doivent en être isolés.

Figure 5. Cette figure illustre comment plusieurs signaux d'entrée peuvent être sommés à l'entrée du Stentor. Si l'on ne dispose que d'un seul signal d'entrée, P1 peut servir comme réglage de volume.

Figure 6. Schéma de câblage du Stentor. Le câblage se fera avec un maximum de soins. Des conducteurs épais et rigides sont nécessaires. Il est fortement recommandé de respecter ce schéma de câblage.

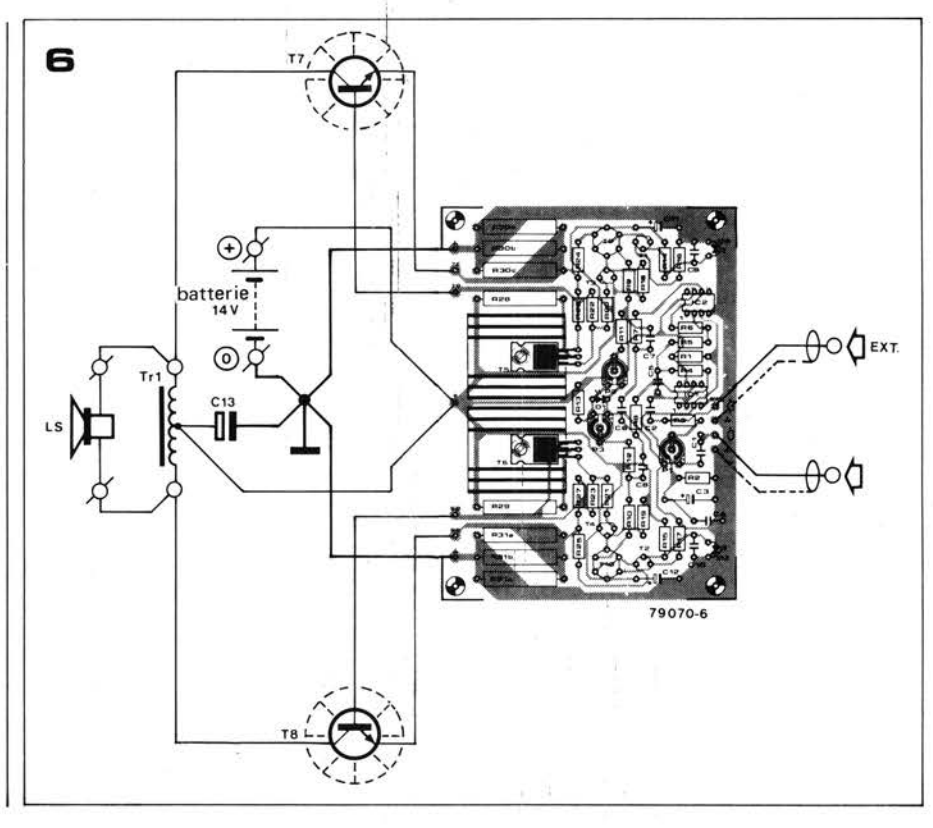


oscillant entre +28 V et -28 V.

La figure 2 montre le schéma complet

Le circuit

du Stentor. Bien que le principe de fonctionnement puisse nous paraître clair, examinons les quelques détails nécessitant des remarques. Etudions donc pas à pas le schéma théorique: L'étage mélangeur est d'une conception classique; le niveau d'amplification est fixé par le rapport R4/R3. Une tension de référence, égale à la moitié de la tension d'alimentation, est disponible à travers R1 et R2 à l'entrée non inverseuse de IC1. En l'absence d'un signal d'entrée, il y aura donc à la sortie d'IC1 la moitié de la tension d'alimentation. Tout signal alternatif à l'entrée de IC1 se présentera à la sortie, ajouté de la moitié de la tension d'alimentation. IC2 a exactement la même fonction que IC1. Le signal d'entrée sera appliqué aux deux amplificateurs opérationnels à l'entrée inverseuse; le signal sera donc déphasé de 180° par chaque ampli-op.



Les deux étages de sortie sont identiques et se composent d'un ampli différentiel (T9,T10), ajusté à l'aide d'une source de courant (T1,T2 et les composants s'y rapportant), attaquant l'étage de puissance, construit autour de T3, T5 et T7 (T4, T6 et T8). Comme source de courant on utilise une LED rouge, afin d'obtenir une bonne stabilisation de la tension de base. (Il faut que la LED soit rouge, car la tension aux bornes d'une LED rouge est différente de celle d'une verte, par exemple!) Le courant collecteur de T1 traverse les deux moitiés du double FET T9, le partage étant déterminé par la polarisation du FET. Le signal d'attaque arrive à travers R9 sur la porte gauche de T9. La tension sur la porte droite de T9 est, pour ainsi dire, identique à celle aux bornes de R30, donc proportionnelle au courant de sortie. En négligeant la différence entre les deux tensions de porte, nous pouvons donc voir que le courant de collecteur de T7 est à peu près proportionnel à la tension d'entrée de la porte de gauche. Une tension continue d'environ 1,4 V est prélevée à travers R13 et D1 sur l'alimentation. Avec P2 (P3) une partie de ce courant peut être ajouté au signal, de sorte qu'en l'absence de signal à l'entrée, l'étage final soit déjà polarisé, évitant ainsi les problèmes de diaphonie.

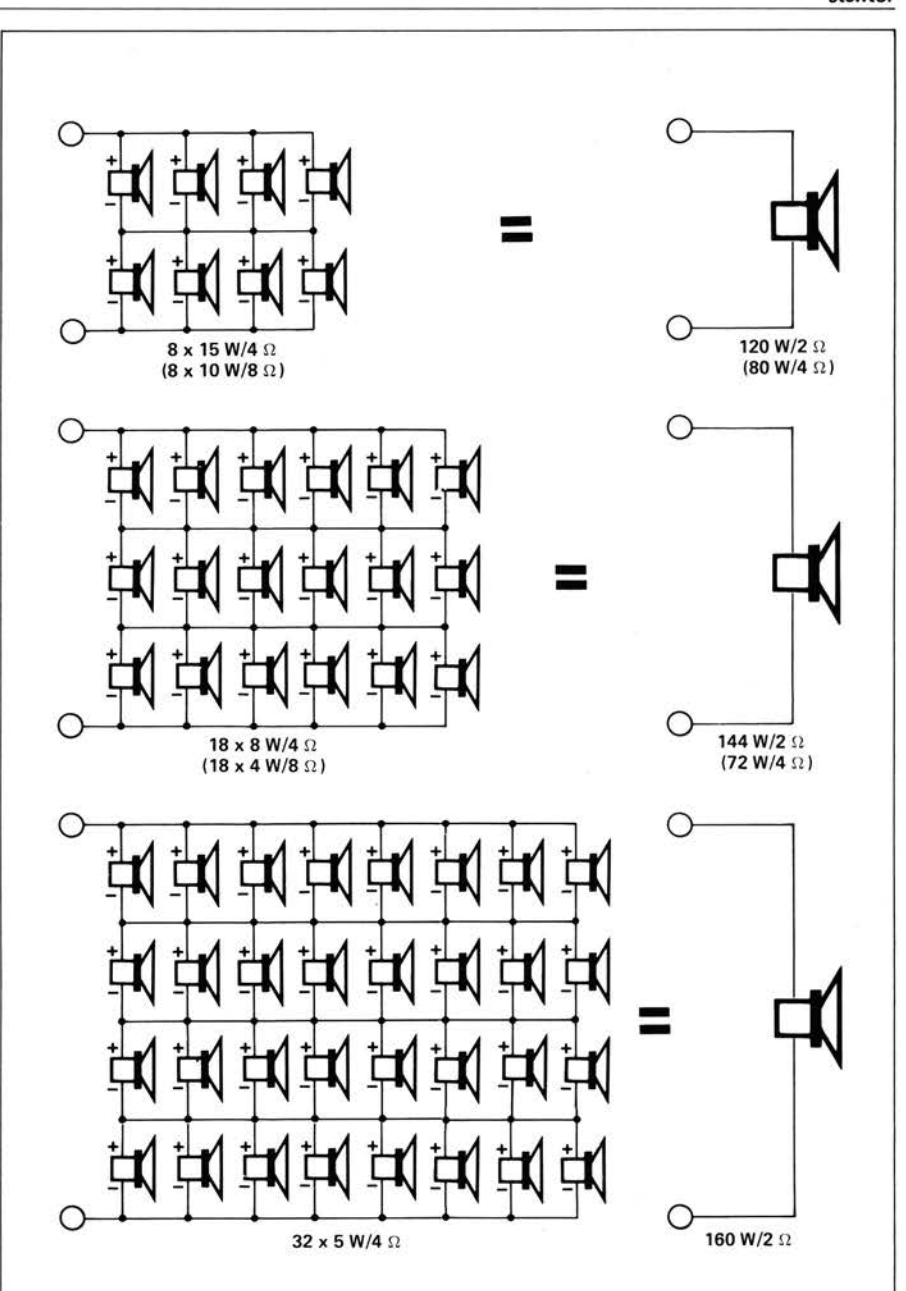
Réalisation

Le circuit imprimé et l'implantation des composants sont présentés Figure 4. Le câblage du circuit ne pose pas de problème particulier, mais le choix de certains composants est lié à l'impédance du haut-parleur (c.à.d. la puissance de sortie). C'est ainsi qu'il faudra par exemple prendre pour une charge de 2 Ω , un transistor 40411, plus cher que le 2N3055, utilisable avec une charge de 4 Ω . Aussi, le transfo doit pouvoir supporter 4 A sur 4Ω et 8 A sur 2Ω . Enfin, la puissance de R30/R31 dépend de la charge. Un type de 1 W est nécessaire sur 4 Ω , alors qu'il faudra choisir un type de 5 W sur 2Ω .

Dans tous les cas il faudra isoler parfaitement l'enroulement primaire du transfo. Etant donnés les rapports de transformation, de très hautes tensions peuvent se trouver aux bornes de cet enroulement.

En conclusion

Comme cela avait déjà été signalé en début d'article, il ne faudra surtout pas s'attendre à des qualités hifi de la part du Stentor. La distorsion totale est d'environ 10%, mais il s'agit de distorsion du genre le moins agressif. La parole sera à peine déformée par cette distorsion. (10% de distorsion est d'ailleurs très peu pour un mégaphone!) Il est vrai que Stentor n'est pas ce qu'on trouve de mieux pour un orchestre pop, mais son comportement est bien moins agressif que celui d'un appareillage



Le dernier maillon de la chaine

Après avoir examiné comment le Stentor arrive à fournir une telle puissance, il serait peut être utile de voir brièvement quel genre de haut parleur utiliser avec un tel amplificateur. encore une augmentation de l'efficacité C'est bien un haut parleur (et non un bas parleur ou un haut musicien) qui est nécessaire et il serait regrettable de gaspiller du temps et de l'argent en voulant utiliser un seul haut-parleur qui devrait "encaisser" toute la fougue du Stentor. Une solution moins couteuse et plus efficace est de connecter plusieurs haut-parleurs en série-parallèle. La plupart des fabricants proposent des haut-parleurs de petit

diamètre coutant moins de 50FF pièce et admettant une puissance maximale comprise entre 5 et 15 W. En montant ces haut-parleurs côte à côte sur un panneau ou l'un au dessus de l'autre sur une colonne, on obtient grâce aux effets de focalisation. Il faudra faire attention à ce que tous les haut-parleurs soient connectés en phase. Ceci peut être vérifié simplement en posant brièvement les fils d'entrée de la batterie de haut-parleurs sur les cosses d'une pile. Les membranes doivent alors toutes bouger dans la même direction. Si l'une d'entre elles évolue dans le sens inverse, il faudra alors intervertir ses connexions.

conventionnel à transistor. D'autre part, la distorsion donnera un cachet spécial au bruit assourdissant ("new-Stentorwave?", "il faut l'avoir entendu, ce nouveau sound!"). Ceci est particulièrement vrai pour les jeunes musiciens, qui attachent plus d'importance à une puissance de sortie maximale avec un prix de revient minimum et une facilité de dépannage qu'à une qualité hifi.

lignes à retard

Utilisée aussi bien par les musiciens amateurs ou professionnels que par les studios d'enregistrement, la ligne à retard électronique constitue l'une des plus importantes techniques de traitement du son. Les effets de réverbération, d'écho, de vibrato, de phasing, de flanging et de choeur ne sont que quelquesuns des effets spéciaux que l'on peut obtenir en retardant un signal audio. Cependant, les applications des lignes à retard ne sont pas limitées aux seuls effets audio: les systèmes de renforcement du son, les équipements de commande du niveau sonore, les circuits de traitement de la parole utilisent tous, sous une forme ou une autre, des lignes à retard. Dans cet article, nous allons étudier de près cet appareil, aussi bien de l'intérieur que de l'extérieur; puis nous examinerons quelques-uns des services les moins connus qu'il peut rendre.

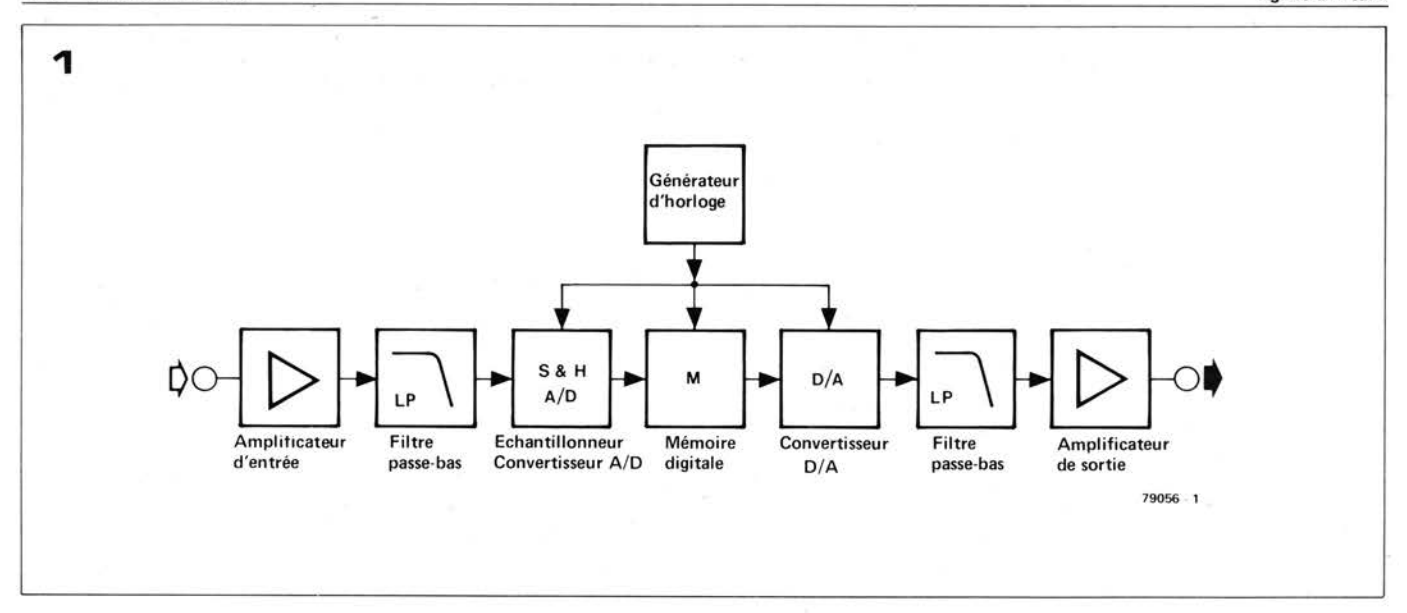
Chacun sait que la vitesse du son en air libre est d'environ 350 m/s: cela signifie que, même pour des distances relativement courtes, le son met un temps appréciable pour atteindre un auditeur (de l'ordre de 25 à 30 ms pour parcourir 10 m). Lorsqu'on écoute de la musique peu importe qu'elle soit reproduite par un système stéréophonique domestique ou par un véritable orchestre dans une salle de concert - le signal reçu par les oreilles est un mélange de son direct et de son retardé. Le premier va directement de la source sonore à l'auditeur. tandis que le dernier est d'abord réfléchi par les murs, le plafond, l'ameublement, etc., de sorte qu'il devra parcourir une distance plus grande. Le fait est que l'oreille humaine est très sensible aux différences de temps mis par un signal pour lui parvenir, ainsi qu'au niveau du son réfléchi qu'il contient. Un signal privé de réverbération naturelle, comme le signal de sortie d'un générateur BF branché sur un écouteur, se distinguera par sa sonorité "artificielle" et sera souvent considéré comme relativement désagréable, car il provoque une certaine fatigue chez l'auditeur.

Les techniques d'enregistrement consistant à placer le microphone très près de la source ont pour effet de priver lemorceau de musique de réverbération naturelle; il en résulte des sons "morts", "plats", dénués de toute ambiance. C'est pour cette raison que les studios doivent introduire une certaine réverbération artificielle, afin de rétablir la plénitude naturelle et le "corps" de la musique. Bien des salles de concert, dont l'acoustique naturelle est médiocre, peuvent être améliorées par l'emploi de lignes à retard qui permettent de commander électroniquement leurs caractéristiques de réverbération. En faisant varier la durée et le niveau de cette réverbération, on peut adapter l'acoustique de la salle au type de musique que l'on y joue - temps de réverbération long pour des oeuvres orchestrales, temps plus court pour la musique de chambre.

Outre la simulation des caractéristiques de réflexion sonore d'un environnement acoustique particulier, les lignes à retard

peuvent également servir à traiter le signal musical suivant toute une variété de procédés permettant d'obtenir une vaste gamme d'effets souvent spectaculaires. On peut exploiter certaines réponses psychoacoustiques du cerveau pour convaincre l'auditeur qu'il écoute non pas une, mais plusieurs voix - c'està-dire un choeur. On peut aussi obtenir des effets de phasing/flanging et "d'espace", ce dernier produisant un son de caractéristiques très artificielles, proches de la science-fiction, dont il n'existe pas d'équivalent exact dans la vie réelle. On peut trouver d'autres applications des lignes à retard dans les équipements de traitement du signal où elles servent à laisser aux circuits de commande un temps suffisant pour qu'ils puissent éliminer les surcharges de signal, les pics, etc., avant de les appliquer à l'étage suivant; dans les systèmes de public-address, les lignes à retard permettent d'améliorer de façon considérable l'intelligibilité des signaux de parole.

Pendant de nombreuses années on a utilisé des lignes à retard de type électromécanique - la plus connue étant la "chambre d'écho". C'est simplement une enceinte de conception spéciale dont on peut faire varier la réponse acoustique à l'aide de rideaux, de carreaux, etc., permettant d'altérer les propriétés absorbantes des surfaces réfléchissantes. Le signal dont on veut obtenir un écho est reproduit par des haut-parleurs, puis capté par des microphones disposés avec soin. L'ensemble constitue une prouesse assez onéreuse, limitée par la taille de la chambre utilisée. Les effets de réverbération et d'écho ont été également obtenus par des dispositifs électromécaniques populaires basés sur des lignes à ressort ou des lames métalliques. Dans ce type de ligne à retard, le signal acoustique est appliqué par un transducteur, par exemple à un ressort hélicoidal. Il se propage ensuite le long des spires du ressort jusqu'à ce qu'il soit capté à l'autre extrémité par un second transducteur qui le reconvertit en un signal électrique. Malheureusement, ces types d'appareils souffrent de nom5-22 - elektor mai 1979



breuses limitations. Tout d'abord la gamme de leurs applications possibles est très réduite, ne comportant que les effets d'écho et de réverbération. Ensuite, ils sont extrêmement sensibles aux vibrations externes (microphonie). et de plus ils ont tendance à montrer des modes de résonance propres, de sorte que leur réponse en fréquence n'est pas parfaitement plate. On rencontre des problèmes semblables de sensibilité intrinsèque aux perturbations mécaniques avec les machines d'écho et de réverbération à bande magnétique utilisant plusieurs têtes de lecture mutuellement décalées pour appliquer au signal audio un retard variable. Les spécifications demandées à la partie mécanique de tels appareils sont excessivement sévères, ce qui signifie naturellement que leur prix est en général très élevé.

Par bonheur, les derniers progrès des composants ont permis de développer des lignes à retard entièrement électroniques qui non seulement sont plus fiables, engendrent des sons sans coloration et de bonne qualité sonore, et sont considérablement moins chères, mais encore qui permettent d'obtenir une large gamme d'effets spéciaux liés au temps.

Les lignes à retard électroniques

Contrairement aux lignes à retard électromécaniques, le signal audio n'est pas transmis de façon continue à travers la ligne à retard, mais il est échantillonné à une fréquence qui doit être au moins deux fois plus élevée que la plus haute des fréquences du signal. Les échantillons traversent alors, à la cadence d'une horloge, une sorte de registre à décalage, et le signal d'origine est reconstitué à la sortie movennant un filtre passe-bas qui supprime les composantes de la fréquence d'horloge. On peut faire une distinction fondamentale entre deux types de lignes à retard électroniques. Il existe d'une part des lignes à retard digitales qui utilisent soit

Figure 1. Synoptique d'une ligne à retard digitale pour signaux audio. La largeur de bande du signal d'entrée analogique est d'abord limitée par un filtre passe-bas; le signal est ensuite converti en un signal digital par le convertisseur A-D, puis il progresse à travers un registre à décalage digital, ou une RAM, à une cadence déterminée par un générateur d'horloge. A la sortie de la mémoire digitale, le signal échantillonné et retardé est reconverti en une onde de forme analogique avant de traverser un second filtre passe-bas qui élimine les composantes de la fréquence d'horloge.

Figure 2. Une ligne à retard analogique pour signaux audio utilisant un registre à décalage du type "en chaîne de seaux" (bucket-brigade). Les niveaux des charges représentant la valeur instantanée de la forme d'onde analogique échantillonnée sont transmis de condensateur en condensateur, comme des seaux d'eau circulant le long d'une chaîne de pompiers.

Photo 1. L'EMT 250, une unité de réverbération électronique professionelle. Cette unité, qui utilise des lignes à retard digitales et une mémoire à accès aléatoire (de 128 K) commandée par microprocesseur, assure 19 fonctions de retard différentes qui, sous la commande du programme, peuvent simuler une large gamme d'effets dont le phasing, le choeur, l'écho et bien sûr, la réverbération.

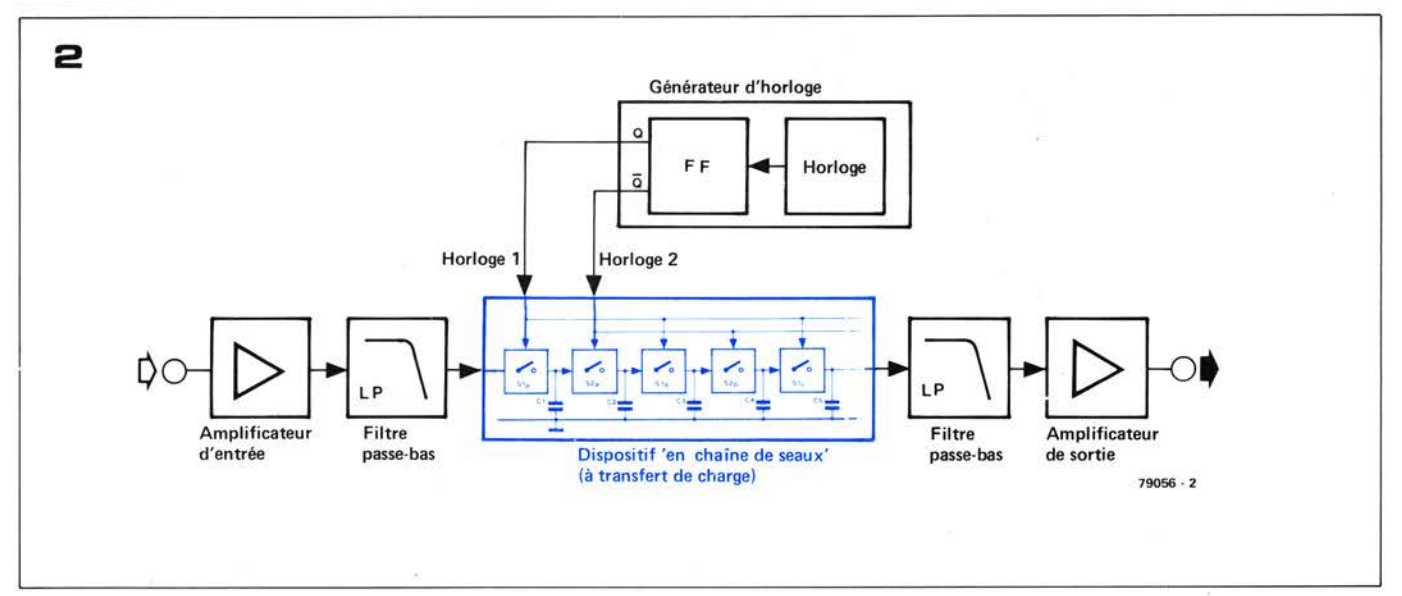
une mémoire à accès aléatoire (RAM) et une logique de commande spéciale, soit des registres à décalage digitaux (dans les deux cas, la mémoire digitale doit être précédée et suivie de convertisseurs analogique-digital et digitalanalogique), et d'autre part des lignes à retard analogiques qui utilisent des mémoires analogiques constituées de batteries de dispositifs à transfert de charge (ou CCD = Charge Coupled Device).

La figure 1 montre le synoptique d'une ligne à retard digitale. Un générateur d'horloge commande les convertisseurs A-D et D-A ainsi que la cadence à laquelle le signal échantillonné entre et sort du registre à décalage. Deux méthodes principales conviennent à la conversion A-D: la modulation delta et la modulation par impulsions codées. Le modulateur delta possède une simple sortie sous la forme d'un train d'impulsions; ce train donne de façon continue une indication permettant de savoir si le signal d'entrée analogique est en train d'augmenter ou de diminuer. Dans le premier cas la sortie du modulateur est haute, tandis que dans le second cas la sortie du modulateur sera un "0" logique. Si le signal d'entrée était constant, la sortie du modulateur serait 01010101 . . . L'unité de réverbération digitale

décrite dans le numéro d'Elektor de Novembre/Décembre 1978 (no. 4) utilisait exactement ce type de modulateur.

Dans le cas de la modulation par impulsions codées, le signal analogique est converti en suites d'impulsions, ou mots, qui représentent sous forme binaire la valeur instantanée des échantillons. On peut assimiler le processus à celui qui consiste à comparer le signal analogique à une tension de référence dont la forme d'onde serait celle d'un escalier qui monte. La sortie du comparateur change d'état dès que la tension de référence dépasse celle du signal analogique. La hauteur de l'escalier, c'est-àdire le nombre de marches qu'il contient, est une mesure de l'amplitude du signal analogique. Le nombre de bits de

elektor mai 1979 - 5-23



chaque mot binaire (c'est-à-dire le nombre de sorties du convertisseur A-D) détermine la résolution ou la précision de la conversion. Plus le nombre de bits est grand, plus grand est le nombre de marches de l'escalier, et donc plus petite est l'erreur introduite par le fait que la variation minimum du niveau du signal que le convertisseur prendra en compte est égale à la hauteur d'une marche. Pour obtenir une résolution satisfaisante. on utilise généralement un code d'au moins 12 bits, ce qui signifie que l'escalier comprend $2^{12} = 4096$ marches. Si les marches ont toutes la même hauteur, on dit que le code est linéaire, c'est-à-dire qu'il y a une relation linéaire entre l'entrée analogique et la sortie codée en binaire du convertisseur. Si, au contraire, la hauteur des marches n'est pas constante, on dit que le code est "pondéré", tandis qu'il est également possible que l'escalier possède plusieurs "volées" de marches, la hauteur des marches variant d'une volée à l'autre. Dans ce cas, le caractéristique de conversion possède plusieurs "coudes". Il existe de plus une technique complexe connue sous le nom de "codage à virgule flottante" que l'on peut employer pour améliorer la dynamique du convertisseur. C'est ainsi qu'il est possible, par exemple, de faire varier le gain (ou l'atténuation) du convertisseur A-D en fonction de l'amplitude du signal d'entrée. L'information donnant la valeur du gain introduit par le convertisseur est également codée en binaire et transmise avec la version numérisée de l'entrée analogique, de sorte que l'on puisse appliquer la quantité inverse de gain ou d'atténuation au processus de reconversion D-A en sortie, afin de rétablir le niveau du signal d'origine.

A l'aide d'une horloge, les données binaires sont soit transmises à travers un registre à décalage digital, soit à travers une mémoires à accès aléatoire (RAM) grâce à une logique de commande spéciale. La cadence à laquelle les données sont transférées, et donc l'importance du retard introduit, sont



naturellement définies par la fréquence de l'horloge.

D'après le théorème de l'échantillonnage de Nyquist, il faut que la fréquence d'échantillonnage soit au moins le double de la fréquence maximale du signal. Pour cette raison, la largeur de bande du signal d'entrée analogique est limitée par un filtre passe-bas d'entrée qui possède une pente excessivement brutale. Il faut placer un dispositif semblable à la sortie de la ligne à retard afin de supprimer les composantes à haute fréquence de l'horloge et tout signal parasite produit par l'interaction des fréquences d'horloge et du signal. Les lignes à retard digitales ont l'aventage que l'on peut les étendre pratiquement jusqu'à n'importe quelle longueur sans affecter la qualité du signal. C'est un avantage par rapport aux lignes à retard analogiques, où le dergré d'atténuation introduit sur le signal est proportionnel au temps de retard. Les registres à décalage digitaux sont donc parfaitement adaptés aux applications qui exigent des temps de retard plus longs

De plus, la possibilité d'utiliser des lignes à long retard signifie qu'il est possible d'augmenter la fréquence d'horloge et donc la bande passante maximum admissible pour le système, tout en conservant des lignes à retard raisonnables. L'inconvénient des registres à décalage digitaux est le coût relativement élevé des convertisseurs A-D et D-A. Bien que les registres à décalage soient en eux-mêmes meilleur marché que leurs équivalents analogiques la dépense supplémentaire due à la double conversion A-D-A augmente considérablement le prix. Cela est particulièrement vrai si l'on exige une ligne à retard digitale possédant plusieurs sorties différentes, chacune d'elles ayant un temps de retard particulier. Il faut dans ce cas un convertisseur D-A pour chaque sortie, alors qu'avec une ligne à retard analogiques on peut extraire le signal pratiquement en n'importe quel point. On peut diviser les lignes à retard analogiques en celles qui utilisent des

3

Source Auditeur 79056 - 3 son direct - Réflexions multiples

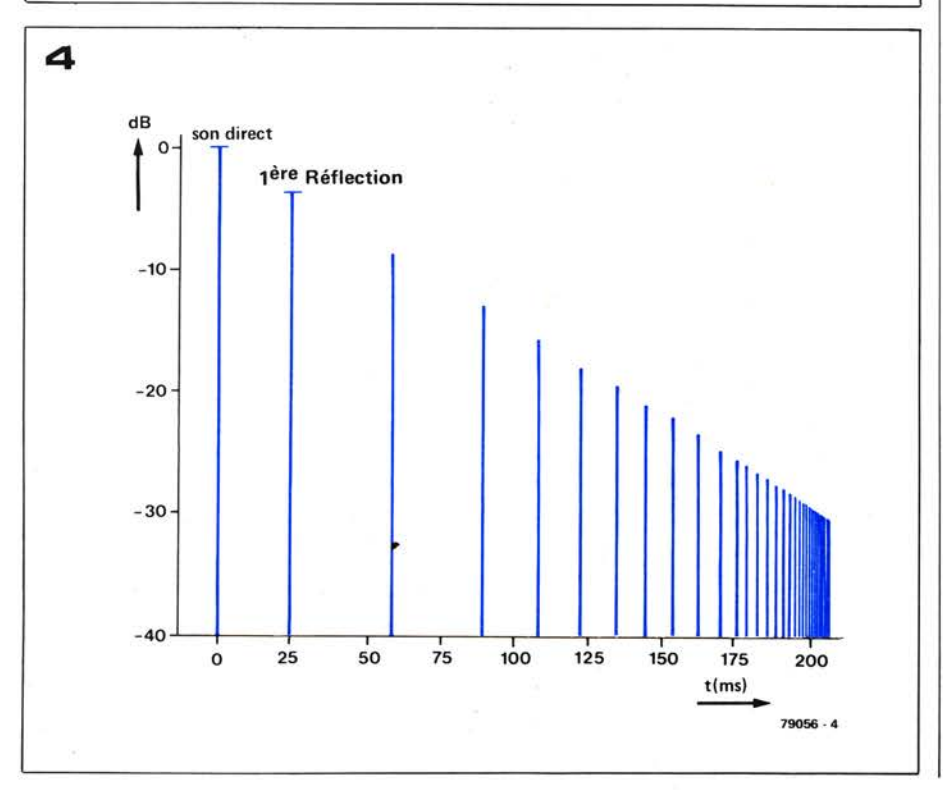


Figure 3. Illustration des divers trajets suivis par les ondes sonores allant d'une source de signal à un auditeur, à l'intérieur d'une pièce rectangulaire.

Figure 4. Graphique donnant l'amplitude en fonction du temps, illustrant les caractéristiques de densité et de décroissance des échos pendant la période de réverbération d'un unique signal sonore, aigu. L'intervalle entre deux réflexions successives et leurs amplitudes sont déterminés par la longueur du trajet de chaque onde sonore, ainsi que par les propriétés d'absorption acoustique des surfaces réfléchissantes qu'elles rencontrent. Comme on peut le voir, le signal de réverbération possède, après un temps relativement court, une densité d'échos extrêmement importante. Cette rapide augmentation du nombre des signaux venant d'une réflexion est une propriété caractéristique du phénomène acoustique appelé "réverbération".

Figure 5a. Synoptique d'un module de réverbération simplifié, composé d'une ligne à retard de temps de propagation τ , et d'une boucle de contre-réaction qui atténue le signal retardé d'un facteur g.

Figure 5b. Schéma du module de réverbération simplifié de la figure 5a. On peut faire varier de façon continue, à partir de 0 dB, l'atténuation g du signal de contre-réaction à l'aide du potentiomètre.

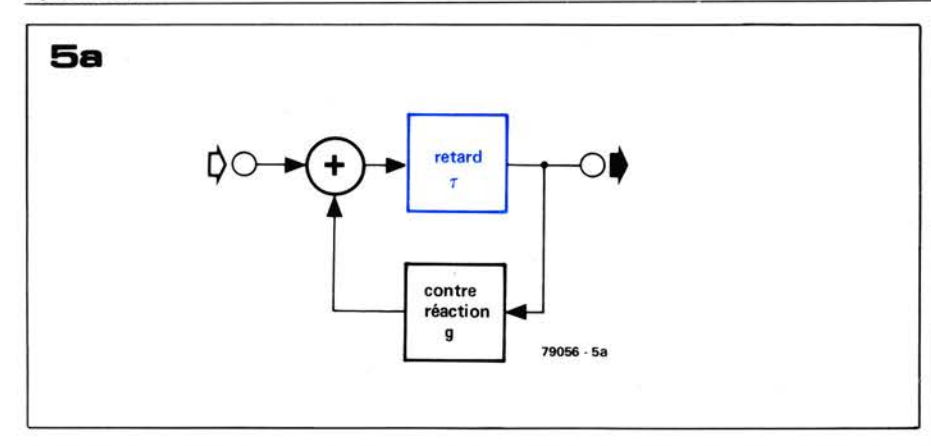
Figure 5c. Graphique donnant l'amplitude en fonction du temps du signal de sortie du circuit de réverbération simplifié, avec $\tau=20$ ms et g=-3 dB (0,7).

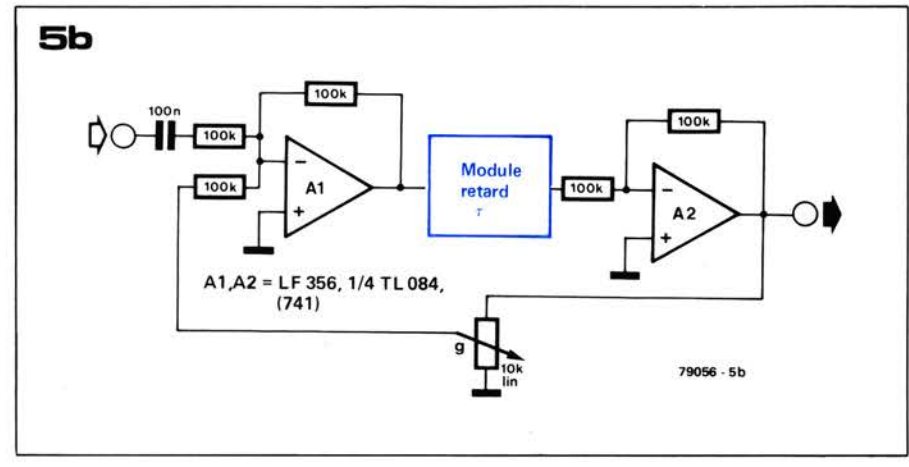
Figure 5d. La réponse en fréquence du circuit de réverbération simplifié ressemble à celle d'un filtre en peigne. Le temps de propagation, τ , détermine l'intervalle séparant deux pics -

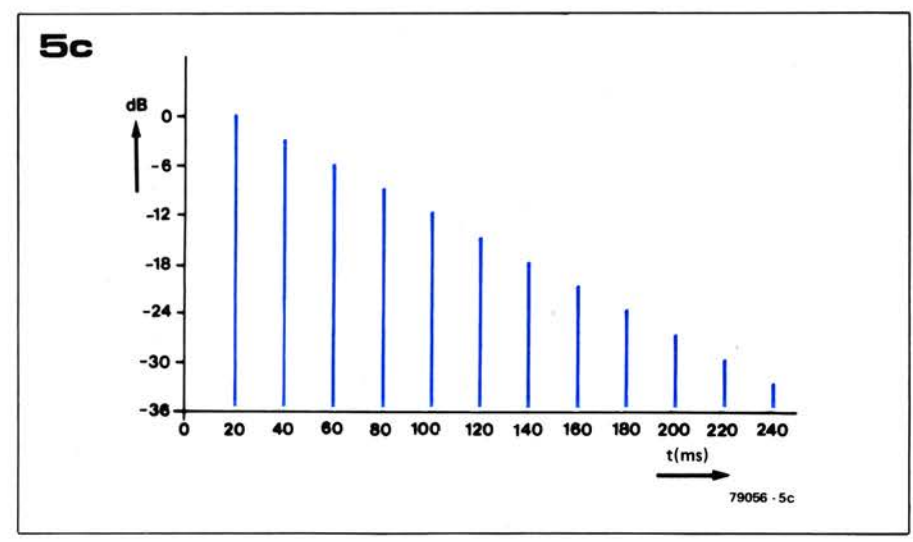
successifs de la réponse $(=\frac{1}{-})$, tandis que

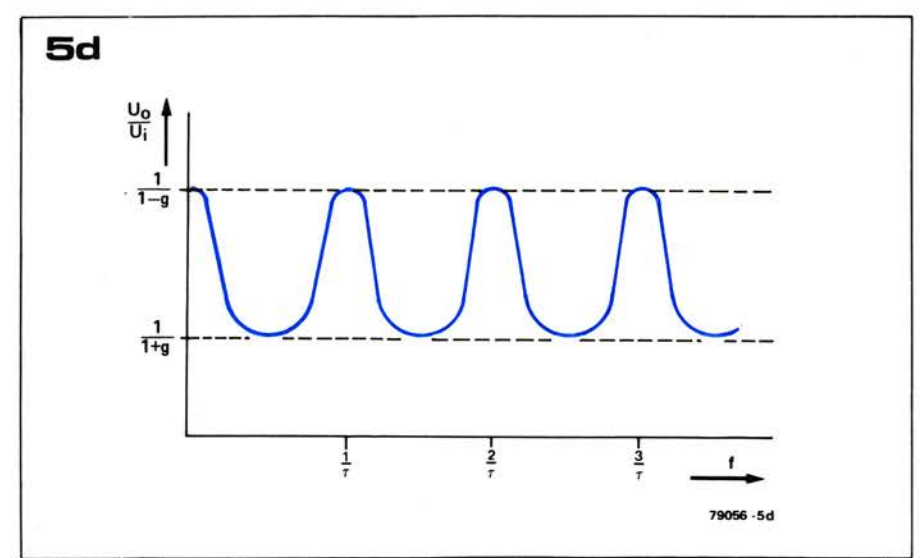
l'atténuation, g, de la boucle de contreréaction détermine l'amplitude des pics.

elektor mai 1979 - 5-25









mémoires dites "en chaînes de seaux" (bucket brigade), et en celles qui utilisent des dispositifs à transfert de charge. Le principe de base est le même dans les deux cas, la différence étant localisée au niveau de la structure de la puce pour les deux types de dispositifs. Le terme de "chaîne de seaux" vient du fait que l'on peut comparer le fonctionnement du registre à décalage à celui d'une chaîne de pompiers faisant circuler des seaux d'eau le long d'une ligne. Dans le cas de la puce, les seaux sont en fait des condensateurs, et l' "eau" représente des paquets de charges qui correspondent à la valeur instantanée de la forme d'onde analogique échantillonnée. Les paquets de charge sont transférés de condensateur en condensateur par des interrupteurs à FET qui sont commandés par une horloge biphasée.

Comme les capacités intégrées sur la puce sont loin de représenter des condensateurs parfaits, et comme leur courant de fuite est relativement élevé, les échantillons sont inévitablement atténués au cours de leur traversée du registre à décalage. Toutefois, comme chaque échantillon est atténué de la même quantité, l'enveloppe de la forme d'onde d'origine est respectée. Malheureusement, lorsque l'on exige des temps de retard plus longs, ce qui implique que le signal soit décalé d'un grand nombre d'étages, l'effet cumulé de toutes ces petites pertes s'ajoute jusqu'à produire une détérioration appréciable du rapport signal/bruit. Ce problème devient particulièrement critique lorsque l'on utilise des boucles de réaction où le signal traverse plusieurs fois le même registre à décalage. De ce point de vue, les mémoires "Bucket-Brigade" sont supérieures aux dispositifs à transfert de charge et on les préfèrera pour les travaux audio. Toutefois, les CCD offrent des densités supérieures sur la puce (une ligne à retard typique à CCD contiendra jusqu'à 64 registres à décalage séparés, chacun contenant 256 étages), et ils conviennent mieux aux applications à haute fréquence telles que le retard des signaux vidéo.

La figure 2 illustre les éléments de base d'une ligne à retard munie de mémoires "à chaînes de seaux". Là aussi il faut placer des filtres passe-bas à flanc raide à l'entrée et à la sortie, afin de limiter la bande du signal d'entrée et d'éliminer les composantes de la fréquence d'horloge.

Les applications des lignes à retard

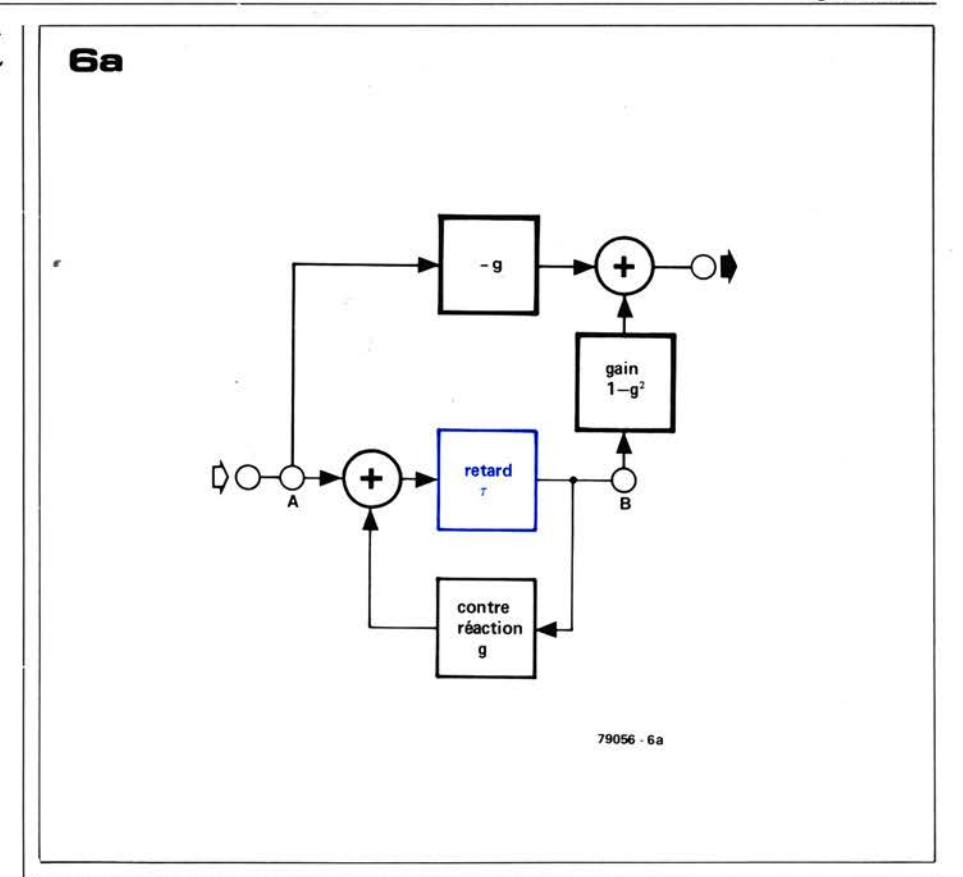
L'application de loin la plus courante, mais aussi la plus complexe des lignes à retard consiste à produire de la réverbération. La réverbération est un phénomène acoustique qui fait partie intégrante de n'importe quel environnement destiné à l'écoute, que ce soit une salle de séjour domestique ou une salle de concert. Ce n'est que dans des salles

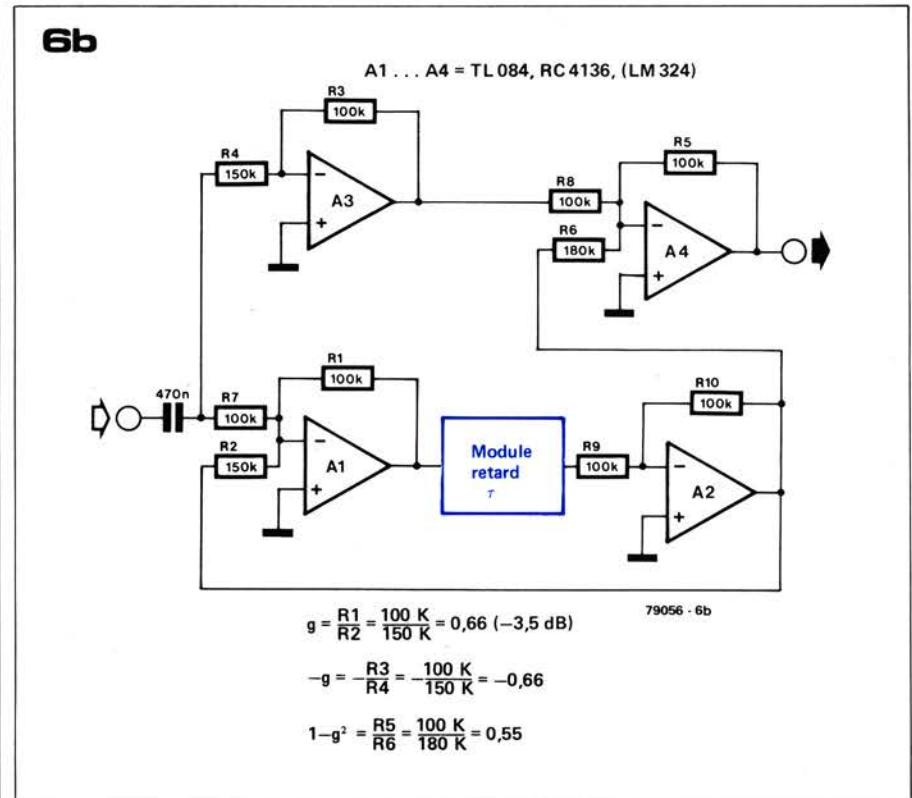
Figure 6a. Le module de réverbération "passetout", dont la réponse en fréquence est linéaire, est un perfectionnement du circuit de réverbération de base.

Figure 6b. Un circuit pratique d'unité de réverbération passe-tout, avec un facteur d'amortissement de -3,5 dB (0,66).

Figure 7. En mélangeant, dans des proportions différentes, les sorties de plusieurs lignes à retard, il est possible de simuler avec une meilleure précision l'acoustique naturelle de différents types de pièces.

Figure 8. Les unités de réverbération électroniques professionnelles typiques emploient un grand nombre de lignes à retard afin d'obtenir des caractéristiques de réverbération rigoureusement authentiques. Le circuit relativement simple représenté ici contient néanmoins quatre modules de réverbération du type indiqué sur la figure 5, connectés en parallèle, suivis de deux modules passe-tout semblables à ceux de la figure 6. Le potentiomètre g7 détermine les proportions du signal direct et du signal retardé mélangés dans l'étage de sortie.



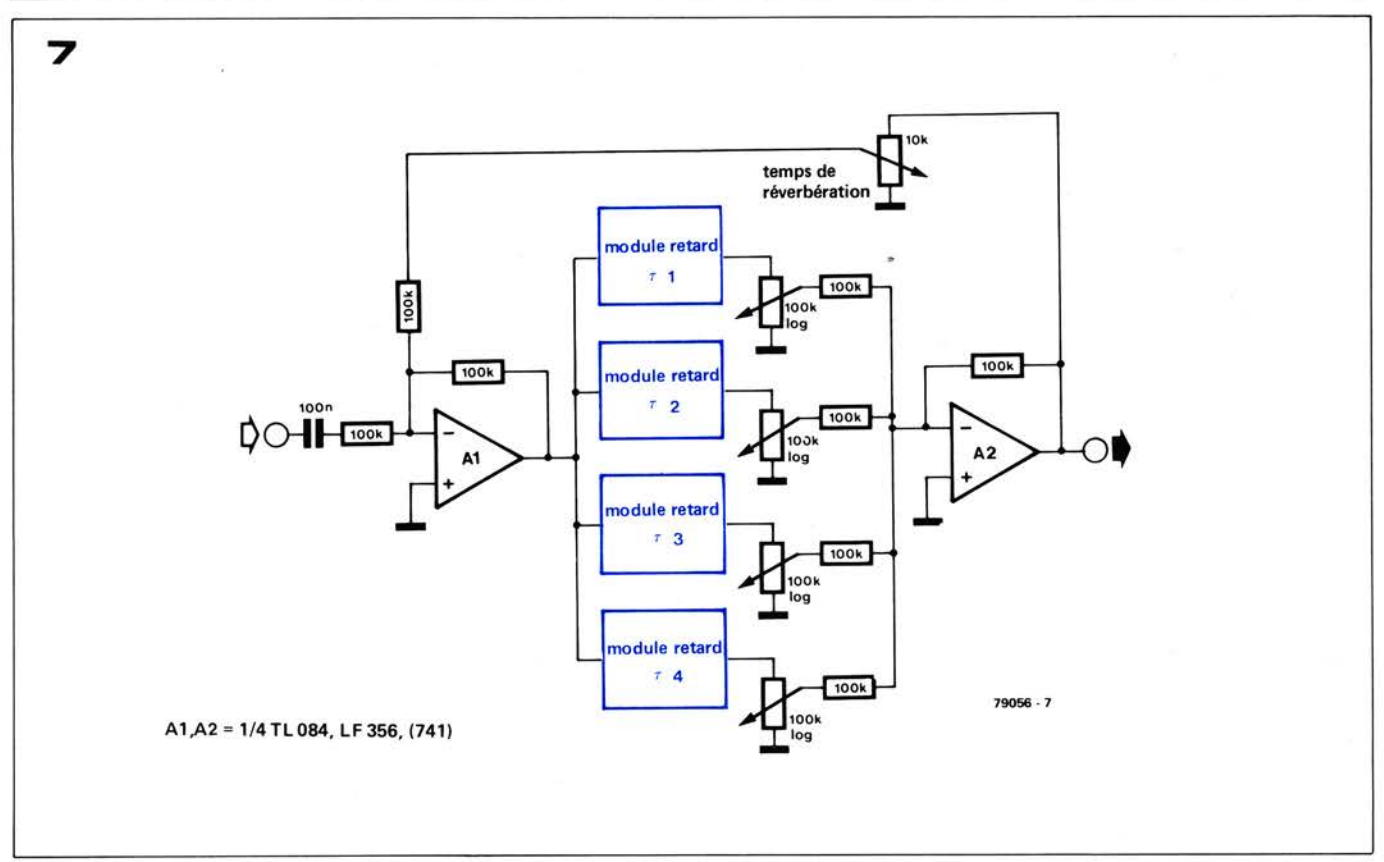


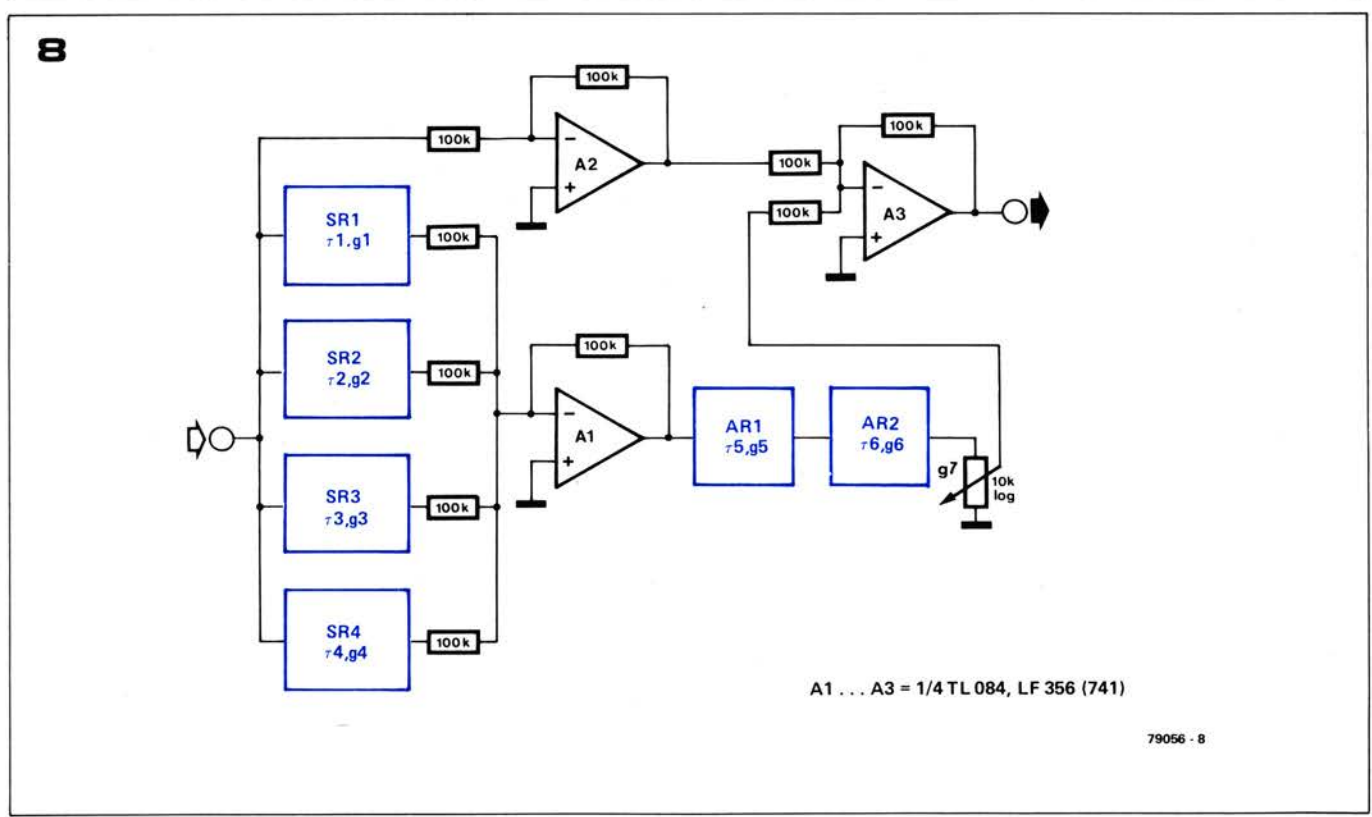
construites spécialement, dites chambres anéchoiques, que l'on peut s'affranchir de la réverbération, les murs, le sol et le plafond étant presque toujours responsables de la réflexion d'au moins une partie du son.

Dans une enceinte de grand volume, comme par exemple une cathédrale dont les surfaces réfléchissantes intérieures sont dures, un son peut mettre jusqu'à quatre ou cinq secondes à s'évanouir. Cela compose un environne-

ment accoustique merveilleux pour un orgue d'église, mais rend la parole humaine à peu près inintelligible, à moins d'être prononcée très lentement (l'acoustique des églises est problablement la principale raison pour laquelle les ministres du culte adoptent souvent des inflexions chantantes, et quelque peu sinueuses!) En plus des murs, du plafond, etc., d'une salle de concert, le nombre de personnes présentes modifie également l'acoustique. Une salle de

concert bondée aura un temps de réverbération plus court que la même salle à moitié vide, à moins bien sûr que, comme c'est le cas au Albert Hall, les fauteuils aient été étudiés de façon à avoir des caractéristiques de réverbération semblables à celles des auditeurs. Le dessin représenté sur la figure 3 illustre le diagramme de dispersion d'un signal sonore bref et aigu dans une pièce domestique de forme classique. L'auditeur entendra tout d'abord le signal





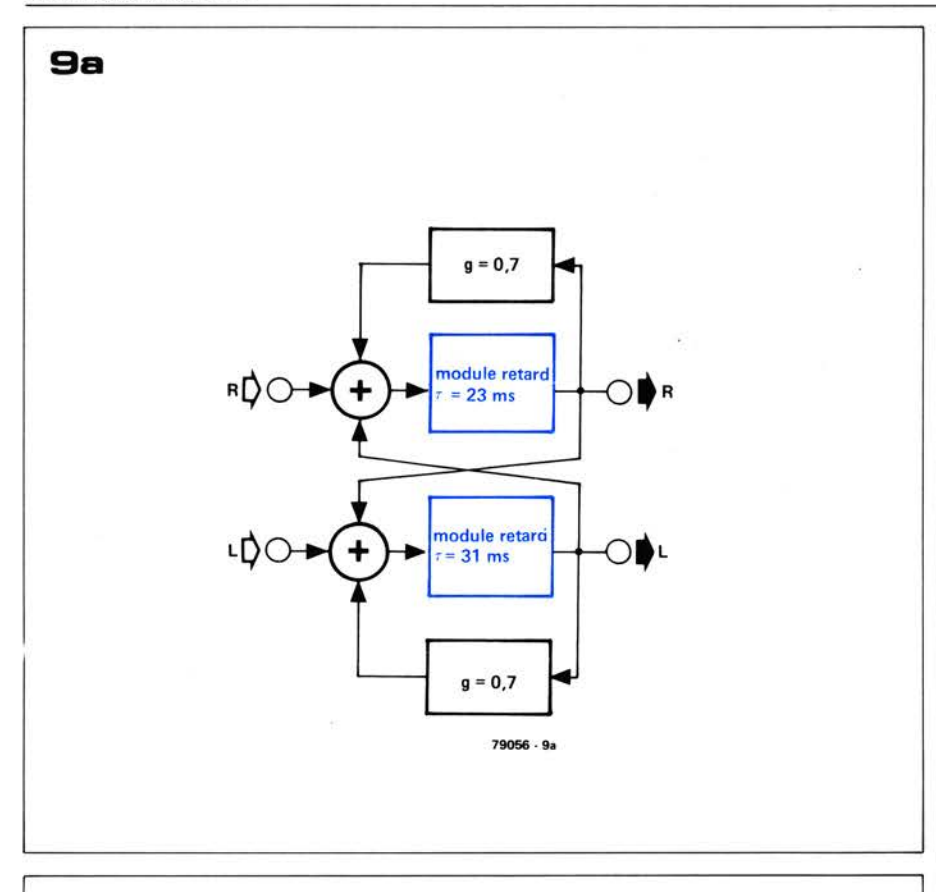
d'origine venant directement de la source sonore. Après un court intervalle, ce signal est suivi de celui venant de la première réflexion directe sur le mur le plus proche, puis de ceux venant d'autres réflexions directes sur des surfaces plus éloignées comme le plafond, le plancher ou les murs arrière, etc. Ceux-ci se fondent rapidement parmi le nombre plus important de signaux issus de réflexions indirectes ou multiples sur plus d'une surface. Comme l'énergie

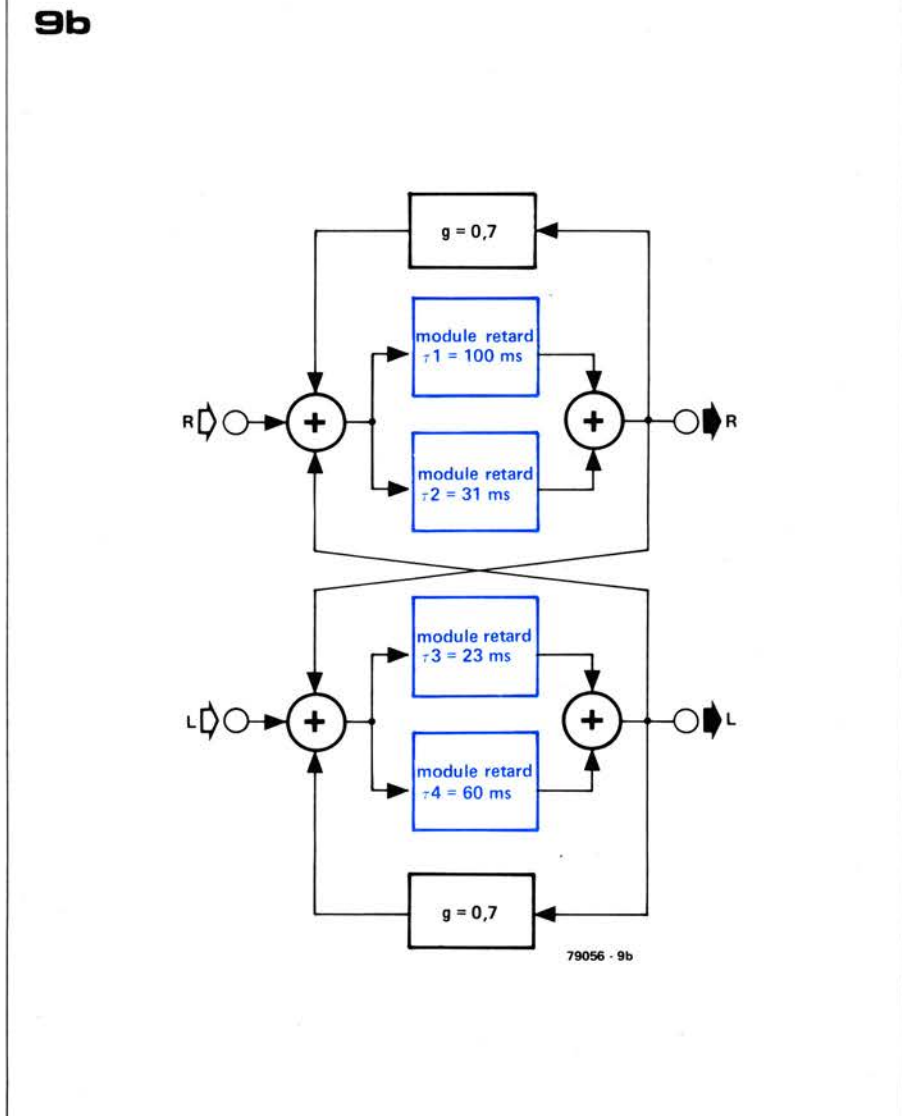
des ondes sonores est absorbée chaque fois qu'elles heurtent une surface réfléchissante, l'amplitude des "échos" diminue de façon plus ou moins exponentielle.

Une caractéristique importante et spécifique de la réverbération naturelle est la haute densité des signaux réfléchis. Lorsqu'on effectue une simulation électronique de la réverbération, il faut engendrer autour de 1000 échos par seconde si l'on veut que l'effet n'ait pas

une sonorité artificielle. De plus, il importe que l'écartement des échos ne soit pas périodique. Le graphique de la figure 4, donnant l'amplitude en fonction du temps, illustre ces points. Les figures 5a et 5b représentent la configuration des circuits de base d'une unité de réverbération. Comme on peut le voir, elle se compose simplement d'une ligne à retard et d'une boucle de réaction. La figure 5c donne le graphique amplitude en fonction du temps cor-

5-28 — elektor mai 1979 lignes à retard





respondant. En atténuant la fraction de signal retardé qui est renvoyée dans la boucle de réaction, on peut obtenir à la demande un signal de réverbération de décroissance exponentielle.

Le temps de réverbération est défini comme le temps mis par un signal pour que son amplitude ne soit plus que le 1 millionnième du niveau d'origine, c'est-à-dire que le niveau a diminué de 60 dB. Dans le cas du circuit simple de la figure 5a, on pourra calculer le nombre de tours de boucle de réaction que le signal retardé devra parcourir avant d'atteindre ce niveau en divisant 60 dB par l'atténuation, g, de la boucle de réaction. Le temps de réverbération, T, est alors égal au nombre de tours de boucle de réaction du signal multiplié par le temps de propagation, τ :

$$T = \frac{60}{g} \cdot \tau$$

Un temps de propagation de 50 ms et une atténuation de 3 dB donneront un temps de réverbération de 1 seconde. Toutefois, nous nous heurtons là au premier problème posé par l'emploi de ce dispositif simplifié. Pour réaliser des temps de réverbération suffisamment longs (1 à 2 seondes), il faut utiliser soit des temps de propagation longs, ce qui entraîne une faible densité d'échos, soit des temps de propagation courts avec une densité d'échos élevée. Dans le premier cas la réverbération résonne de facon artificielle, tandis qu'une densité d'échos élevée suppose la réduction de l'atténuation de la boucle de réaction, à un point tel que le circuit tend à devenir instable. De plus, comme le temps de propagation du registre à décalage est constant, la cadence de diffusion ou espacement des signaux de réflexion sera régulière.

Une autre limitation du circuit réside dans le fait que sa réponse est semblable à celle d'un filtre en peigne, avec des maxima et des minima périodiques (voir la figure 5d). La distance séparant deux

maxima est égale à $\frac{1}{\tau}$, de sorte que

pour un temps de propagation de $\tau = 20$ ms, comme indiqué sur la figure 5c, la réponse en fréquence de la ligne à retard présentera un maximum tous les 100 Hz. La différence d'amplitude entre les maxima et les minima est inversement proportionelle à l'atténuation, g, de la boucle de réaction. Ainsi, pour g = 0.7 (-3 dB), ce rapport vaut

$$\frac{1+g}{1-g} = \frac{1+0.7}{1-0.7} = 5.7$$
 soit 15 dB!

On peut éviter l'inconvénient que nous venons de décrire en utilisant la configuration de la figure 6a, qui est une version améliorée du circuit simple de la figure 5a, et dont la réponse en fréquence est plate.

Le signal d'entrée est atténué d'un facteur égal à l'atténuation de la boucle de réaction, inversé puis additionné au signal de sortie de la ligne à retard,

elektor mai 1979 - 5-29

qui lui même a subi une atténuation égale à $1 - g^2$. Le processus est en pratique plus simple qu'il n'y parait au premier abord. En règle générale, l'atténuation de la boucle de réaction est de -3 dB (un facteur de 0,7), de sorte que $1 - g^2 = 1 - 0.7^2 = 1 - 0.5 =$ 0,5 (-6 dB). En pratique ce facteur de 0,5 ne représente rien de plus qu'un diviseur de tension symétrique. La figure 6b représente le schéma correspondant au synoptique de la figure 6a. Grâce à un choix judicieux des valeurs de R2, R4 et R6, on obtiendra une atténuation g de 0,66 (3,5 dB). Bien que le circuit de retard de la figure 6b ait une réponse en fréquence plate, il ne permet pas de résoudre le problème de l'insuffisance de la densité d'échos, ni celui de l'écartement régulier de ces échos. On peut augmenter la densité d'échos jusqu'à un niveau acceptable en connectant en cascade, comme le montre la figure 6b, plusieurs circuits de réverbération "passe-tout" et en s'arrangeant pour que le premier élément retardateur ait le temps de retard le plus long, et que chaque temps de retard successif soit un tiers du précédent. Pour éviter que les échos ne se produisent à des intervalles réguliers, on choisira des temps de retard tels qu'ils n'aient pas de dénominateur commun. On pourra simuler alors avec une assez bonne précision les caractéristiques de réverbération d'une pièce normale (amplitude, diagramme de diffusion et densité des échos) en utilisant six modules retardateurs du type de la figure 6b, avec des temps de retard respectifs de 100, 68, 60, 19, 7 et 5,85 ms.

La figure 7 indique une autre méthode permettant de réaliser une réverbération électronique naturelle. Les différents trajets de réflexion d'un signal reproduit dans une pièce sont simulés en connectant en cascade plusieurs modules retardateurs. On peut réaliser des temps de réverbération de longueurs différentes au moyen de potentiomètres de niveau situés à la sortie de chaque registre à décalage. Les signaux retardés séparément, représentant chacun le trajet d'une réflexion différente, sont ajoutés, et le temps de réverbération global est déterminé par la commande générale du niveau de réaction. Là encore on devra choisir des temps de retard sans dénominateur commun.

Au moment de choisir les divers temps de retard, il est bon d'avoir présent à l'esprit la longueur correspondant au trajet que le signal aurait parcouru pendant cette période. Ainsi par exemple, un retard de 10 ms correspondrait à une longueur de trajet de 3,3 m (aller et retour), et permettrait donc de simuler l'effet d'une surface réfléchissante située à 1,65 m de la source sonore. Au contraire, un retard de 100 ms correspondrait à une longueur de trajet de 33 m, c'est-à-dire qu'il simulerait l'effet d'une petite pièce. En règle générale on évitera les temps de retard

Figure 9a. Circuit de réverbération simplifié utilisant deux modules retardateurs croisés pour obtenir une réverbération stéréophonique.

Figure 9b. Une version perfectionnée de l'unité de réverbération stéréo, qui fournit une densité d'échos plus importante. On peut obtenir des temps de réverbération convenables en choisissant pour τ 1 un temps de retard voisin de 100 ms.

Photo 2. L'Acoustic Dimension Compiler (ADC-2) de WEGA, qui utilise une ligne à retard "en chaîne de seaux", est un exemple d'unité de réverbération étudiée pour fonctionner avec des installations domestiques de Hi-Fi.

2



inférieurs à 10 ms, et les temps de retard longs (supérieurs à 100 ms) ne seront utilisés que si l'on recherche un effet particulier d' "espace" ou d' "écho".

Le nombre de lignes à retard dépend de chaque application, mais en général on peut dire que plus le nombre d'échos est grand, plus la sonorité du système semblera naturelle. En tout état de cause, un minimum de quatre lignes à retard est une nécessité absolue.

La réverbération

La figure 8 représente le diagramme de base d'une unité de réverbération répondant même aux spécifications des professionnels, à condition que la qualité des modules retardateurs soit suffisamment élevée.

Le circuit se compose de la connexion en parallèle de quatre modules de réverbération élémentaires, SR1 . . . SR4, du type représenté sur la figure 5b. Ces modules sont suivis de deux modules retardateurs passe-tout du type représenté sur la figure 6b. Les valeurs des temps de retard τ 1 . . . τ 4 sont choisies dans la gamme de 30 à 45 ms de telle sorte qu'elles n'aient pas de dénominateur commun.

Les facteurs d'amortissement g1...g4 devront tous être inférieurs à 0.85 sinon la réponse en peigne des lignes à retard se remarquerait trop. Le temps de retard le plus court des quatre premiers modules définit le retard entre le signal direct et la première réflexion. Les deux modules de réverbération passe-tout, ARI et AR2, permettent d'obtenir une densité d'échos convenable; les bonnes valeurs de $\tau 5$ et $\tau 6$ seront respectivement voisines de 5 ms et 1.7 ms, tandis que la valeur con-

venable de g sera située autour de 0,7. Si l'on désire que le temps de réverbération dépende de la fréquence, on pourra obtenir ce résultat de façon très simple, en insérant une cellule RC de fréquence de coupure appropriée dans la boucle de réaction.

Souvent, les chambres de réverbération électroniques professionnelles utilisées pour le travail en studio, etc. comprennent un nombre de lignes à retard bien plus important. Citons par exemple l'EMT250, une unité de réverbération digitale programmable (voir la photo no. 1) qui possède quatre sorties, chacune d'elles pouvant être réglée sur des caractéristiques de retard spécifiques. 19 lignes à retard séparées permettent d'obtenir des temps de réverbération compris entre 0,4 et 4,5 secondes en 16 pas commutables. Certaines des lignes à retard sont munies de contreréaction, et l'opérateur peut faire varier indépendamment dans chaque cas le taux de contreréaction.

Outre ces unités de réverbération professionnelles, il est apparu récemment sur le marché de nombreux instruments destinés à améliorer ou à compenser les caractéristiques de réverbération des salles d'écoute situées dans un environnement domestique. L'une de ces unités est l'Audio Pulse Model One, de Digital Delay Systems, qui utilise des registres à décalage digitaux et des convertisseurs A-D et D-A à modulateurs delta. Cette unité fournit un signal de réverbération stéréo qui est reproduit par deux haut-parleurs supplémentaires situés de chaque côté de l'auditeur. Comme on peut le voir sur le synoptique de la figure 9a, les lignes à retard sont disposées dans une configuration croisée. Cette méthode fournit une densité d'échos élevée, et là encore le choix de temps de retard sans dénominateur commun permet d'éliminer les échos périodiques. Normalement, les temps de retard courts nécessaires pour obtenir une haute densité d'échos devraient limiter les temps de réverbération disponibles à des valeurs trop courtes pour être acceptables. Ce problème a été malgré tout résolu par l'emploi de quatre lignes à retard (voir la figure 9b) dont l'une fournit un retard d'environ 100 ms. Ce long retard assure un temps de réverbération suffisant, tandis que les trois autres lignes à retard, considérablement plus courtes, sont responsables des transitions rapides et de la haute densité des échos.

Construit par WEGA, l' "Acoustic Dimension Compiler" ADC-2 (voir la photo no. 2) a été étudié dans un but semblable, à savoir la reproduction d'un signal de réverbération par deux hautparleurs auxiliaires situés dans la salle de séjour. La commande "space" fait varier le temps de retard, tandis que la commande "reflection" détermine le degré de réaction le long des lignes à retard. Le commutateur "characteristic" fait varier la réponse de l'unité aux fréquences élevées.

L'écho

Par opposition à la réverbération, l'écho se caractérise par des temps de retard relativement plus longs, et surtout par la répétition régulière des signaux de réflexion individuels. Dans l'exemple le plus simple de l'écho, disons la réflexion d'un cri par une falaise ou la face d'une montagne, le signal n'est renvoyé qu'une seule fois vers l'auditeur, et il l'atteint après un temps t qui est défini par la distance le séparant de la surface réfléchissante. L'équivalent électronique serait une simple ligne à retard dont le signal de sortie serait atténué puis mélangé au signal direct d'origine (voir la figure 10).

Si l'on complique légèrement le modèle pour inclure la face d'une seconde falaise, située à une certaine distance de la première, le signal sonore sera réfléchi lentement entre les deux surfaces, le résultat étant que l'on pourra distinguer clairement les signaux de deux échos successifs. Cet effet est très simple à simuler électroniquement: il suffit d'employer un simple circuit de réverbération tel que celui déjà décrit à la figure 5; il faut essentiellement utiliser des temps de retard plus longs et réduire l'atténuation de la boucle de réaction. On pourra obtenir des effets d'écho extrêmement variés, suivant la durée du retard et le degré de la réaction. Avec des temps de retard inférieurs à environ 20 ms, la réponse en peigne du module donne au signal résultant une sonorité métallique, tandis que des retards compris entre 50 et 70 ms produisent encore un effet strident ou rude. Ce n'est qu'avec des retards plus longs que la réponse en fréquence globale devient moins irrégulière et que l'on peut discerner des signaux d'écho séparés. On peut obtenir des effets particulièrement intéressant en faisant coincider le temps de retard (intervalle séparant deux échos) avec le rythme d'un morceau de musique.

Les effets d'espace. "Super écho"

Les effets d' "espace" se caractérisent par des temps de réverbération extrêmement longs (environ 10 secondes), produisant une sorte de "super-écho" sans équivalent dans la vie réelle (des temps de réverbération de cette durée ne peuvent pas exister naturellement, à cause des propriétés d'absorption du son de l'air). Cet effet a été baptisé pour cette raison "effet d'espace", et il est très populaire dans les applications de science-fiction. On l'obtiendra simplement en utilisant des temps de retard très longs et en faisant circuler une proportion importante du signal retardé autour de la boucle de réaction.

Le retard de la première réflexion

Dans le cas d'unités de réverbération électro-acoustiques telles que lignes à ressort et plaques de réverbération, ou dans celui des chambres d'écho dont les dimensions sont souvent très petites, le retard initial entre le signal d'origine et la première réflexion ou écho est fréquemment trop court pour que la réverbération ait une sonorité naturelle. On peut résoudre ce problème en employant une ligne à retard électronique pour engendrer un intervalle suffisant entre le signal direct et celui venant de l'unité de réverbération électro-acoustique. Des retards compris entre 20 et 100 ms sont courants pour ce type d'application; toutefois, lors de l'enregistrement de disques de musique pop, on augmente souvent la durée du retard initial au-delà de 100 ms afin d'obtenir des effets spéciaux. Beaucoup d'unités de réverbération électroniques comprennent un module spécial à retard variable afin de disposer d'une commande indépendante du retard de la "première réflexion".

Les "fans" de musique enthousiasmés par l'électronique trouveront un intérêt particulier à l'utilisation de lignes à retard pour obtenir des effets spéciaux comme le phasing, le flanging, le vibrato, le choeur, l'ensemble et l'ensemble à cordes. On obtiendra tous ces effets, et d'autres effets voisins, en faisant varier la fréquence à laquelle le signal retardé traverse le registre à décalage, par opposition à l'écho et à la réverbération, où la fréquence d'horloge de la ligne à retard est constante.

Il existe plusieurs phénomènes psychoacoustique liés au retard des signaux audio; on peut exploiter ces effets pour "améliorer" l'acoustique d'une salle ou les enregistrements en studio, ainsi que dans les domaines très spécialisés du traitement de la parole et de la correction de hauteur. Ces phénomènes sortent du cadre de cet article, mais ils feront l'objet d'un autre article le mois prochain.

Photographies:

Photo 1: EMT-FRANZ Gmbh. 7630

Lahr. Photo 2: WEGA

Bibliographie

Schroeder, M.R. et Logan, B.F. "Colorless Artificial Reverberation", J. Audio Eng. Soc., vol. 9 no 3, pages 192 à 197, Juillet 1961.

Schroeder, M.R. "Natural sounding Artificial Reverberation", J. Audio Eng. Soc., vol. 10 no 3, pages 219 à 223, Juillet 1962.

EMT "Elektronisches Nachhallgerät EMT250", EMT-Kurier n° 26, pages 3 à 8, Février 1976.

EMT "Digitales Tonsignal-Verzögerungsgerät EMT 444", 1^{er} paragraphe, "Warum verzögern?", EMT-Kurier n° 30, pages 3 à 6, Juillet 1978.

Reticon Corp. "Acoustic Applications of Serial Analog Delay Devices Reticon SAD 1024 Serial Analog Delay", Note d'application n° 104, Mitchell, P.W. et DeFreitas, R.E.

"A New Digital Time-Delay and Reverberation System, Part II: Psycho-acoustics vs. Practical Electronics". AES Preprint N° 1191 (L-6) présenté à la 55^e convention AES, Octobre 1976. Elektor "Unité de réverbération digitale", Elektor n° 4, pages 11-48 à 11-56, novembre/décembre 1978. Elektor "Unité de réverbération analogique", Elektor n° 5/6, pages 12-56 à 12-62, Edition Spéciale 78/79.

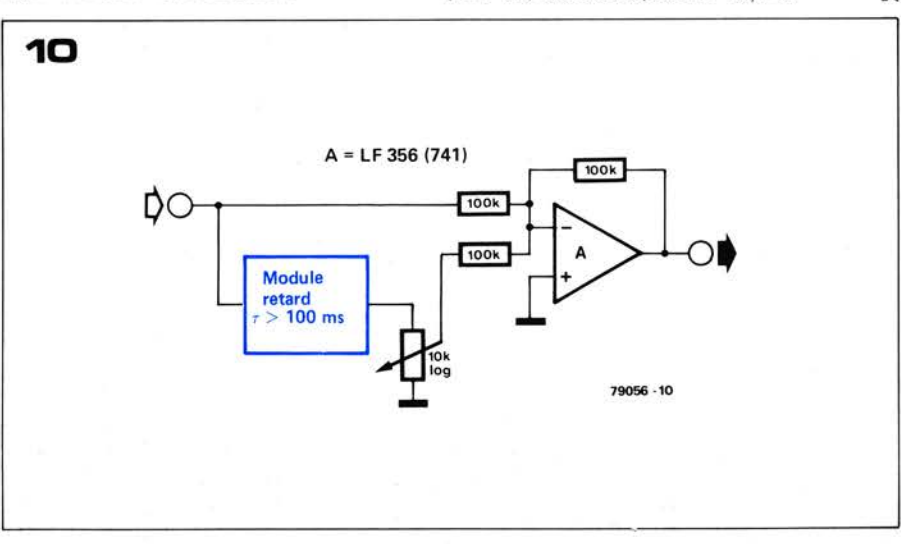


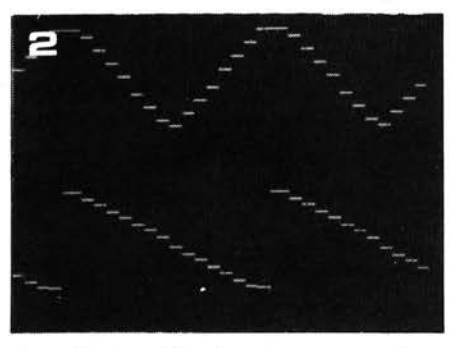
Figure 10. Circuit produisant un effet d'écho simple.

convertisseur digital-analogique pour microprocesseurs

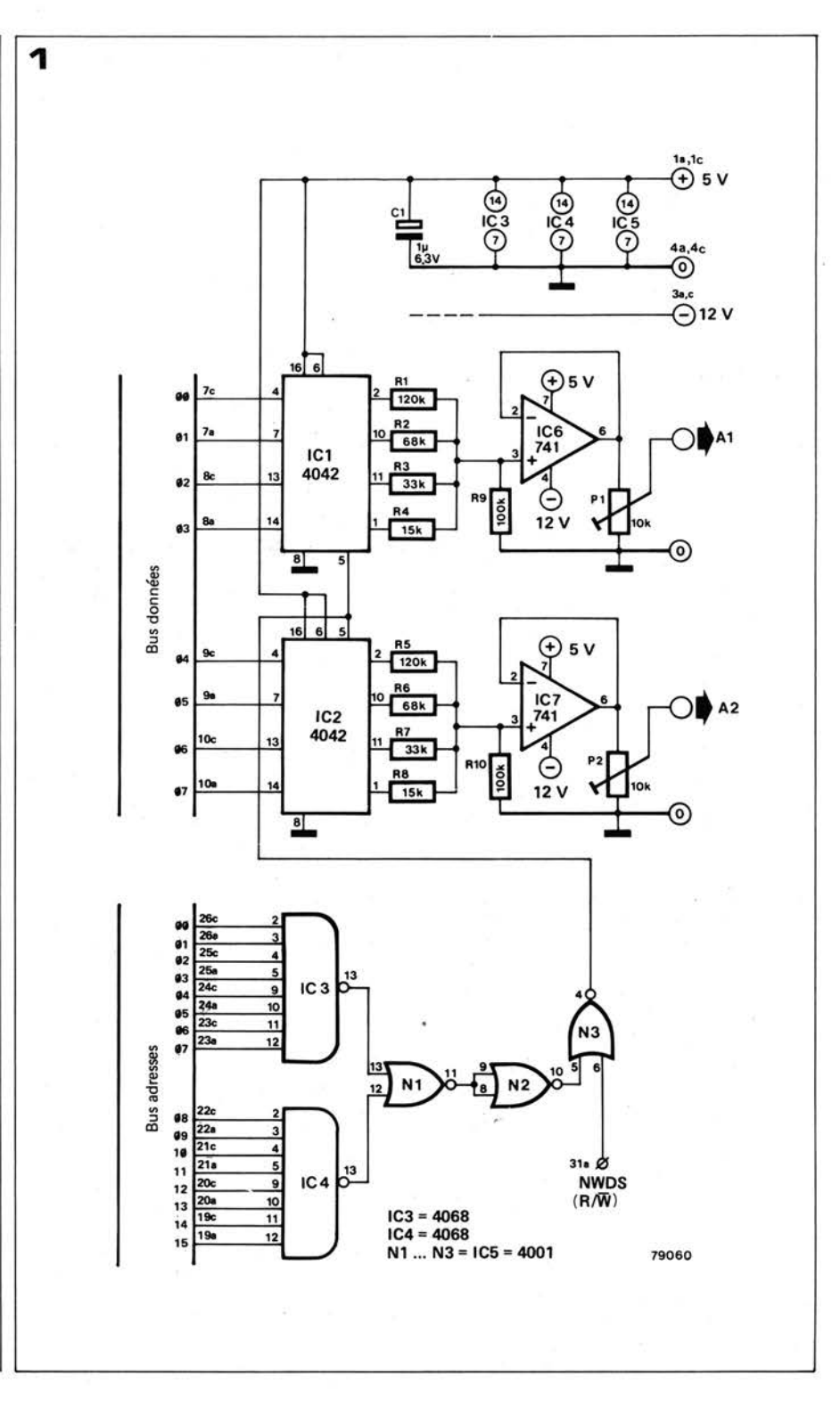
D'après une idée de T. Basien et de P. Haberoetzer

Comment générer des signaux analogiques uniquement par software? Rien de plus simple: il suffit de réaliser ce convertisseur digital-analogique qui offre l'avantage d'être simple et d'un prix de revient bas puisqu'il ne met en oeuvre que quelques circuits intégrés CMOS bon marché.

Table	1				
øcøø		C4FF	LDIFF	TAB: ØFØØ	ØF
ØC02		31	XPAL1		2E
ØC@3		C4FF	LDIFF		4D
ØCØ5		35	XPAH1		6C
ØCØ6		C40F	LDIØF		8B
ØCØ8		36	XPAH2		AA
ØCØ9	\$1	C400	LD100		C9
ØCØB		32	XPAL2		E8
ØCØC		C410	LDI10		D7
ØCØE		C8ØB	ST COUNT		B6
ØC10	\$2	C601	LD@ 1(1)		95
ØC12					74
ØC14		B8Ø5	DLD COUNT		53
ØC16		98F1	JZ \$ 1		32
ØC18		90F6	JMP\$2		11
ØC1A		00	COUNT		00



Un utilisateur de microprocesseur se trouve toujours confronté au problème suivant: celui de la réalisation d'une interface qui permette le dialogue entre son système et le 'monde extérieur'. Le circuit suivant, qui est celui d'un convertisseur digital-analogique, a le mérite d'être simple. Il devrait se révéler utile en permettant au système Elektor SC/MP, ou à d'autres, d'être employé dans de nombreuses applications possibles.



La figure 1 représente le schéma d'un tel convertisseur. Quatre résistances branchées aux sorties d'un quadruple latch (IC1) constituant un réseau diviseur de tension, tel est le coeur du principe mis en oeuvre dans ce convertisseur. Les entrées du latch sont, quant à elles, connectées au bus données du SC/MP. Ainsi, pour inscrire des données dans le latch, il suffit simplement de les placer sur le bus données pendant que l'on place l'adresse appropriée du convertisseur sur le bus adresses. Les seize bits qui constituent une adresse sont décodés par le décodeur adresse qui est construit autour des circuits IC3, IC4, et N1 . . . N3. D'autre part on peut utiliser simultanément deux quadruples latches puisque la largeur du bus données est de huit bits. L'adresse du convertisseur ci-dessus est FFFF. Des niveaux logiques '1' ou des niveaux logiques '0' apparaîtront en sortie du latch sur les résistances correspondantes. Tout dépendra du contenu du mot qui se trouvera à l'entrée du latch. Il faut d'autre part savoir que dans le cas d'un circuit intégré CMOS un niveau logique '1' correspond à une tension de +5 V, alors qu'un niveau logique '0' correspond à une tension nulle, soit 0 V. On verra donc ainsi apparaître au point commun de R1 . . . R4 et à celui de R5 . . . R8 une tension qui peut varier entre 0 et 4,6 V. La valeur de cette tension est fonction du nombre de '1' logiques présents en sortie du latch. La valeur des résistances est choisie de telle façon que la gamme de tension en sortie (qui varie entre 0 V et presque +5 V) soit divisée en marches pratiquement égales. La tension la plus basse est représentée par le nombre X'O alors que X'F représente la tension la plus élevée. Les amplificateurs de sortie A1 et A2 sont simplement montés en suiveurs de tension, et les potentiomètres P1 et P2 permettent d'ajuster les niveaux des tensions de sortie aux valeurs souhaitées. Dans le circuit intégré IC5, une porte reste inutilisée; on peut l'employer pour inverser un des bits qui constituent l'adresse du convertisseur. Il est donc possible de modifier très simplement l'adresse de ce convertisseur

Génération de courbes par programme

Le Tableau 1 nous donne juste un échantillon des nombreux programmes qu'il est possible d'écrire pour générer, uniquement par software, un signal de sortie analogique. Les seize mots d'une table (débutant à l'adresse ØFØØ) sont lus les uns après les autres et placés à l'entrée des latches. Une fois qu'ils ont été lus tous les seize, le processus se répète indéfiniment (en revenant à l'adresse ØFØØ). On obtient ainsi la génération d'un signal périodique. La photographie de la figure 2 est celle du type de signal que l'on obtient en utilisant le programme donné au Tableau 1.

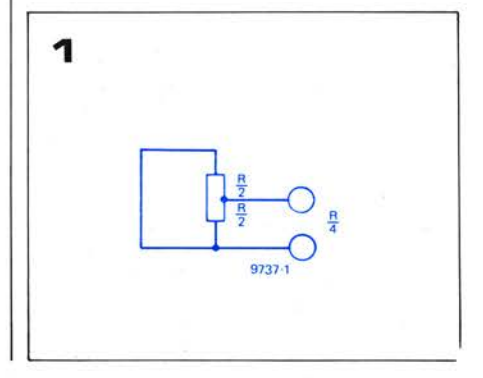
charges purement résistives

Quand on mesure et qu'on compare les puissances de sortie d'amplificateurs audio (plus particulièrement vers le haut du spectre audio), il est utile de pouvoir disposer de charges résistives réelles, c'est à dire purement résistives, sans composantes inductive ou capacitive. Les résistances à couche de carbone ont une autoinductance faible, mais malheureusement on n'en trouve pas facilement qui puissent dissiper les puissances élevées mises en jeu lors d'essais d'amplificateurs. La plus forte dissipation normalement disponible pour les résistances à couche de carbone est 2 W, ce qui oblige, pour essayer un amplificateur de 100 W, à recourir à un groupement série/parallèle de 50 de ces résistances! On trouve des résistances bobinées qui dissipent des puissances élevées, mais malheureusement ces résistances ne sont que rarement bobinées d'une façon permettant de réduire l'autoinductance. Typiquement, une résistance bobinée de puissance est constituée d'un fil résistant enroulé hélicoïdalement en une seule couche sur un tube de céramique. Ce type de résistance a une autoinductance assez élevée, mais ceci n'est pas important, l'utilisation habituelle des résistances bobinées de puissance élevée étant le continu ou l'alternatif basse fréquence. Pour une utilisation comme résistance

de charge d'amplificateur, il faut trouver des moyens de réduire l'inductance des résistances bobinées. On peut y arriver si on dispose d'une résistance à prise médiane, montée suivant le schéma de la figure 1. Les courants dans les deux moitiés de la résistance circulent en sens inverses, ce qui tend à annuler mutuellement les inductions magnétiques (et par suite les autoinductances) produites dans chaque moitié. Avec une résistance de valeur nominale R, la résistance équivalente pour le résistance équivalente pour le branchement indiqué est R/4, correspondant à la mise en parallèle des deux parties de valeur R/2. Les résistances conçues avec prise

Les résistances conçues avec prise médiane, comme par exemple les résistances chutrices pour la HT des téléviseurs, conviennent à notre utilisation.

On peut aussi utiliser des résistances ajustables. Elles sont constituées d'un fil résistant nu enroulé sur un mandrin céramique, et sont munies de colliers de contact qui peuvent être fixés en n'importe quel point de la longueur du composant. On peut aussi utiliser des résistances chauffantes de 1 kW pour radiateurs électriques (dont la résistance est environ 60 Ω). Pour obtenir une résistance de charge ayant la valeur voulue et dissipant la puissance désirée, on peut utiliser plusieurs résistances bobinées connectées en un groupement série/parallèle, chaque résistance étant au préalable montée comme sur la figure pour réduire son inductance.



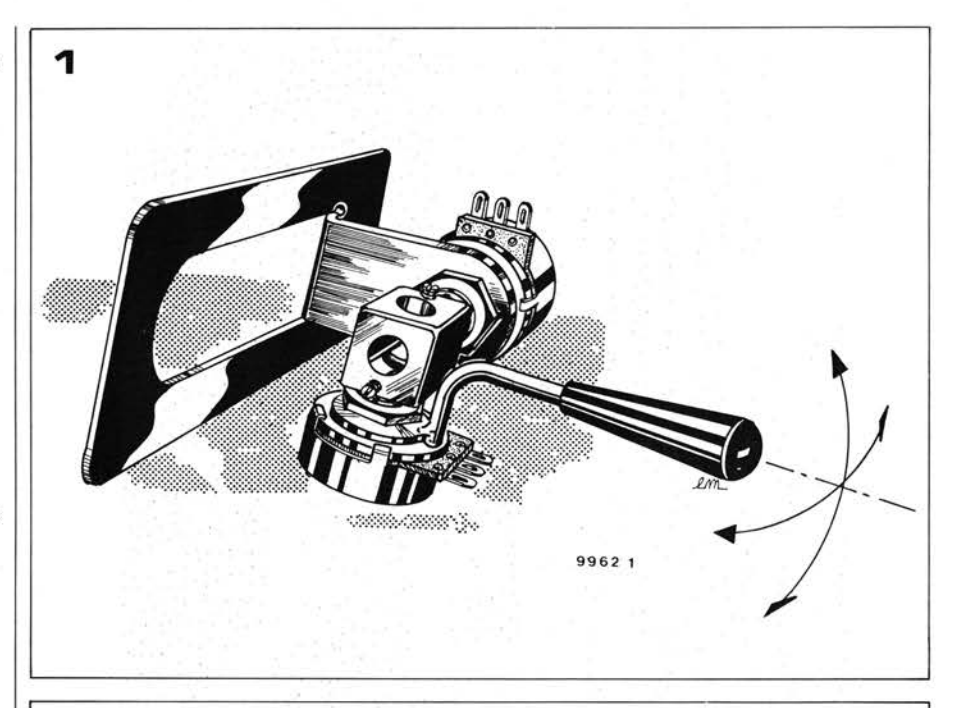
manches de commande

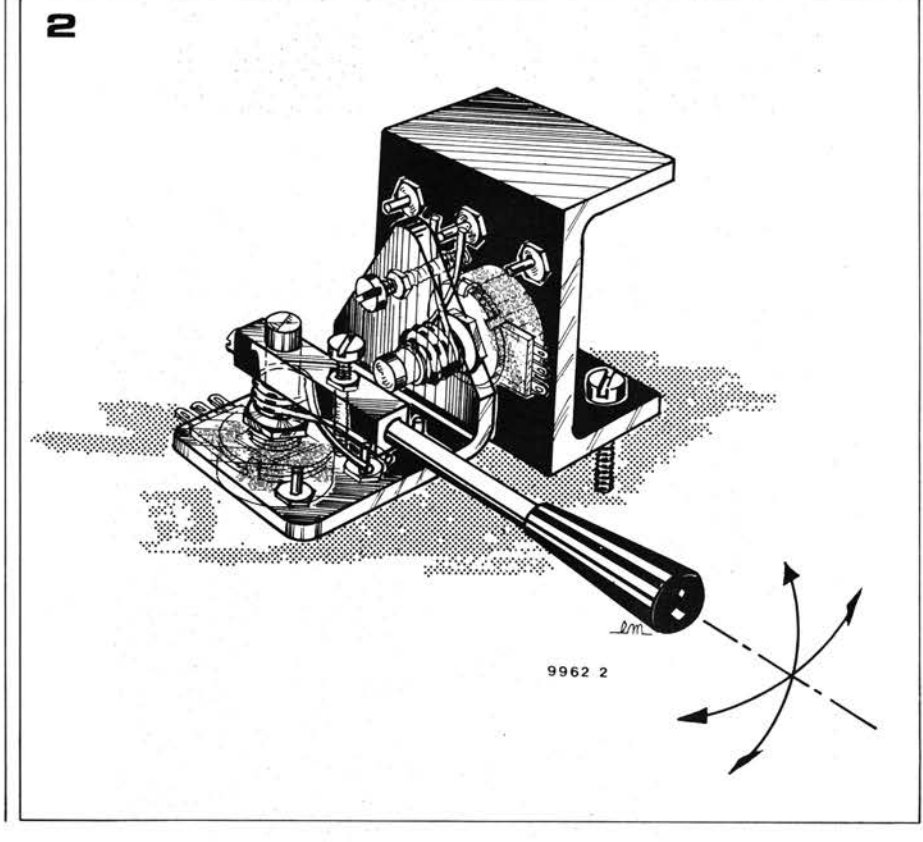
Les manches de commande du type 'manche à balai' sont en train de devenir aussi populaires dans le domaine des jeux électroniques (TV) qu'ils l'ont toujours été dans celui de la télécommande des modèles réduits d'avions ou de bateaux. Cependant, l'un des principaux inconvénients de ce type de commande est son prix, qui est souvent bien supérieur à celui de deux potentiomètres ordinaires. Pourvu que la présentation n'ait pas une importance capitale, on peut parfaitement aborder la construction d'un manche de commande tout à fait convenable pour la plupart des applications. Les deux dessins illustrent la construction d'un manche simple, et d'une version plus perfectionnée. Dans la version simplifiée (figure 1), les axes des deux potentiomètres sont reliés à angle droit. Il y a, bien entendu, plusieurs façons de réaliser cette liaison; celle qui est indiquée, utilisant un bloc de laiton ou de matière plastique convenablement percé, est probablement aussi bonne qu'une autre. L'un des potentiomètres est monté sur un support; l'autre est fixé à un levier de commande. La version plus perfectionnée, représentée sur la figure 2, fonctionne suivant le

La version plus perfectionnée, représentée sur la figure 2, fonctionne suivant le même principe: deux potentiomètres normaux reliés à angle droit. Mais, dans ce cas, il a été prévu deux ressorts complémentaires pour assurer le retour au neutre du levier de commande. Il en résulte donc une construction un peu

plus complexe.

L'un des potentiomètres est monté sur une plaque support. Un coude métallique (ou en matière plastique) à angle droit est monté sur son axe. Un ressort est enroulé autour de l'axe du potentiomètre, et ses extrémités s'appuient contre une vis. Une vis plus longue, montée sur le coude, s'engage entre les extrémités du ressort, de telle sorte que ce dernier tende à rappeler le coude au centre - et le potentiomètre avec lui. Deux vis supplémentaires, montées sur la plaque support, servent de butées (le sommet du raffinement!). Le second potentiomètre est monté sur l'autre côté du coude. Le levier de commande est monté sur son axe, avec le même dispositif à ressort et à vis pour le rappeler au centre.





alimentation de laboratoire robuste

Un élément essentiel de tout laboratoire pour amateur d'électronique est une alimentation stabilisée continue sur laquelle on puisse compter. On demande fondamentalement à cet appareil de délivrer une tension bien stabilisée, continuement réglable, et d'être totalement protégé contre d'éventuelles erreurs comme le court-circuitage de ses sorties. Le circuit décrit ici répond à toutes ces conditions, est à la fois simple et bon marché, et devrait fournir des années de service sans ennuis.

Jusqu'à il y a peu d'années, les alimentations stabilisées n'utilisaient presque toutes que des circuits régulateurs à composants discrets. Puis, avec la venue des circuits intégrés régulateurs de tension de précision universels bon marché, il est devenu possible pour l'amateur de construire une alimentation offrant les caractéristiques qui étaient jusque là le privilège d'appareils professionnels coûteux.

La fonction d'un régulateur de tension est fondamentalement double. Premièrement, de maintenir une tension de sortie constante malgré les variations possibles de la tension d'entrée (c'est à dire du secteur). On parle dans ce cas de 'régulation secteur' et les constructeurs donnent habituellement le pourcentage de variation de la tension régulée pour une variation de 10% de la tension secteur. On peut aussi chiffrer la régulation secteur par la proportion de la variation de la tension secteur qui se retrouve sur la tension de sortie. Ainsi, pour une régulation secteur indiquée de 0,1% - comme c'est le cas pour le circuit décrit ici - une variation de 10 V de la tension secteur produira une variation de la tension de sortie régulée inférieure ou égale à 0,1% de 10 V, soit 0,01 V. La deuxième fonction du régulateur est de maintenir la tension de sortie constante malgré les variations du courant absorbé par la charge. Il s'agit alors de la 'régulation en charge' qui s'exprime par le taux de variation de la tension de sortie correspondant à une variation donnée du courant de sortie (généralement pour toute la plage du courant de sortie). Ainsi, pour le circuit décrit ici, la tension de sortie ne variera pas de plus de 1% quand le courant débité passera de 0 à 0,5 A.

Double régulation

Comme on peut le voir sur le schéma synoptique de l'alimentation stabilisée (voir figure 1), la conception du circuit est un peu inhabituelle en ce qu'elle fait appel à un étage de prérégulation entre la tension non régulée et le régulateur de sortie proprement dit. Il y a plusieurs raisons à celà. D'abord, l'étage de stabilisation proprement dit n'a pas à subir de variations importantes de sa tension d'entrée, et, d'autre part, et il

s'agit là d'une considération importante, la dissipation thermique du circuit est répartie sur les deux étages de stabilisation. Enfin, la prérégulation limite la tension d'entrée sur le circuit intégré stabilisateur utilisé dans notre montage. Mis à part le prérégulateur, la conception de l'alimentation stabilisée est très classique: un transformateur abaisseur, un pont redresseur, un condensateur de filtrage, les deux étages de régulation en cascade, et, pour terminer, un galvanomètre qui mesure à la sortie, soit la tension, soit le courant. Le premier étage de régulation comporte un limiteur de courant, tandis que le second est protégé contre les courts-circuits et les surcharges thermiques. Du fait que, comme nous allons le voir, notre alimentation est aussi protégée contre les inversions de polarité et les transitoires de grande amplitude, elle est virtuellement à l'abri des fausses manœuvres et mérite tout à fait le qualificatif de 'robuste'.

Le circuit

Le schéma de principe complet de l'alimentation stabilisée est représenté figure 2. Deux versions du circuit sont proposées: l'une conçu pour un débit maximal de 5 A, et une version simplifiée qui débite 2,5 A. Dans les deux cas, on peut faire varier la tension de sortie entre 5 et 20 V au moyen du potentiomètre P1. Les différences entre les deux circuits sont détaillées dans le tableau 1.

Un caractère propre aux régulateurs de tension peut paraître plutôt bizarre, à première vue, c'est que la dissipation thermique est d'autant plus importante que la tension de sortie est plus faible. La raison n'en est toutefois pas difficile à exposer: à tension d'entrée constante, moins on en trouve aux bornes de la charge, plus le circuit régulateur doit en chuter, et la puissance correspondante doit être évacuée sous forme de chaleur. Il est alors évident qu'il convient de limiter la tension d'entrée du circuit à chaque fois qu'on n'a besoin que d'une faible tension de sortie. Dans ce but, le transformateur est pourvu au secondaire de sorties 12 V et 24 V que l'on peut commuter par S2. Du fait qu'elle débite un courant plus faible, la version 2,5 A



Caractéristiques

tension de sortie

5 à 20 V (continuement règlable)

courant de sortie

reglable)
e 2,5 ou 5 A

limitation du courant (indiquée) par LED (suivant la version) à une valeur fixée à la construction; protection contre les courts-circuits à 5 A U ou l par commutation

appareil de mesure régulation en charge

régulation en charge < 1%
régulation secteur < 0,1% de la variation du secteur en
sortie

niveau de bruit ronflement (à 1000 Hz) < 75 μV < 500 μV Figure 1. Schéma synoptique de l'alimentation stabilisée de laboratoire.

Figure 2. Schéma de principe complet. Il existe deux versions du circuit: l'une délivre un courant maximal de 5 A, et l'autre, plus simple, ne délivre que 2,5 A.

de l'alimentation pose moins de problèmes de dissipation, et on peut en toute sécurité laisser le transformateur sortir 24 V dans tous les cas.

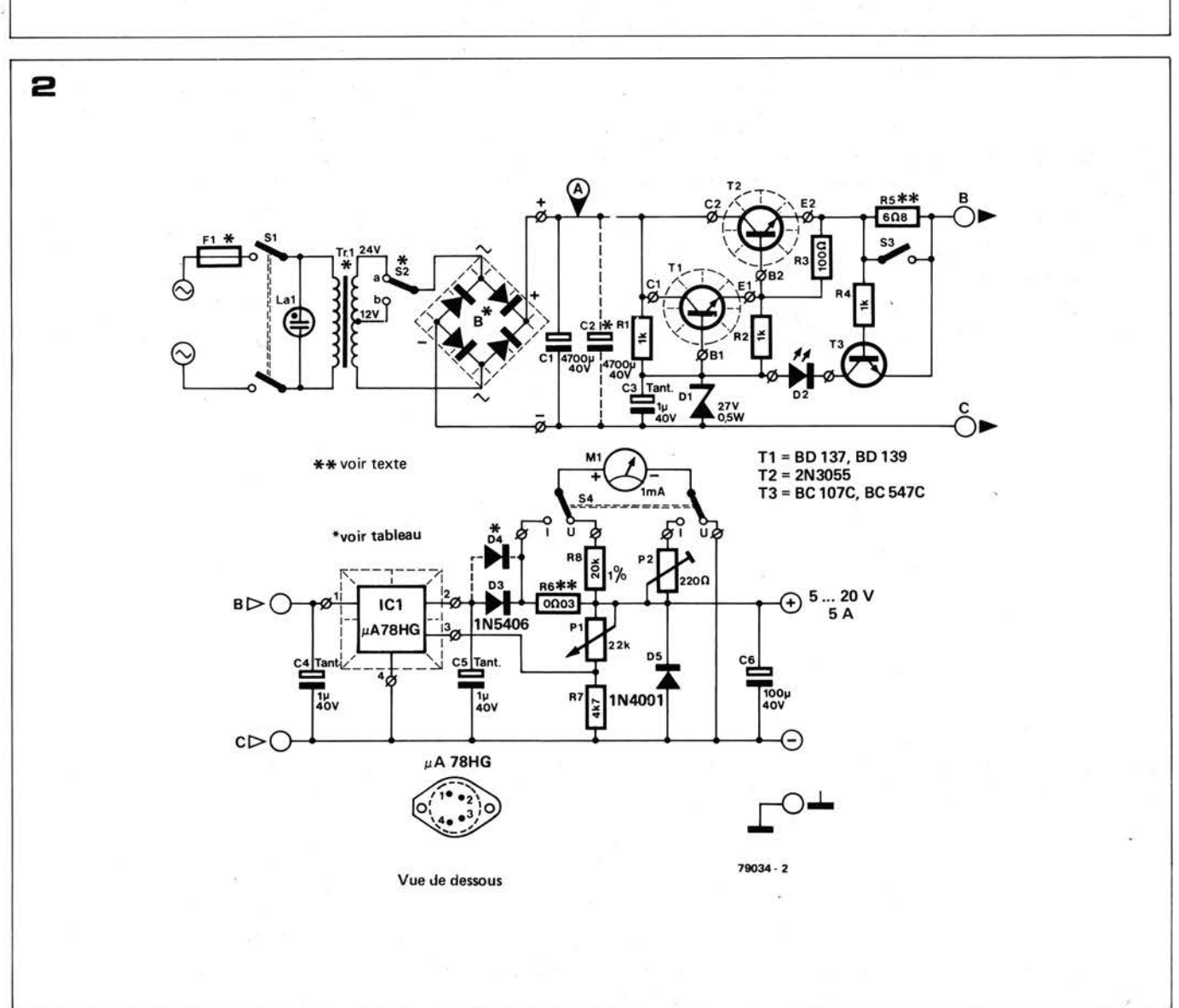
Les étages de redressement et de filtrage de l'alimentation sont tout à fait classique. De la présence ou de l'absence du deuxième condensateur de filtrage, C2, dépend l'amplitude de la tension de ronflement à la sortie. On peut se passer de C2 dans la version 2,5 A de l'alimentation, mais les caractéristiques annoncées ci-contre nécessitent qu'il soit en place dans la version 5 A.

Le prérégulateur est constitué par T1 et T2, qui sont connectés en régulateur série classique. La tension de référence

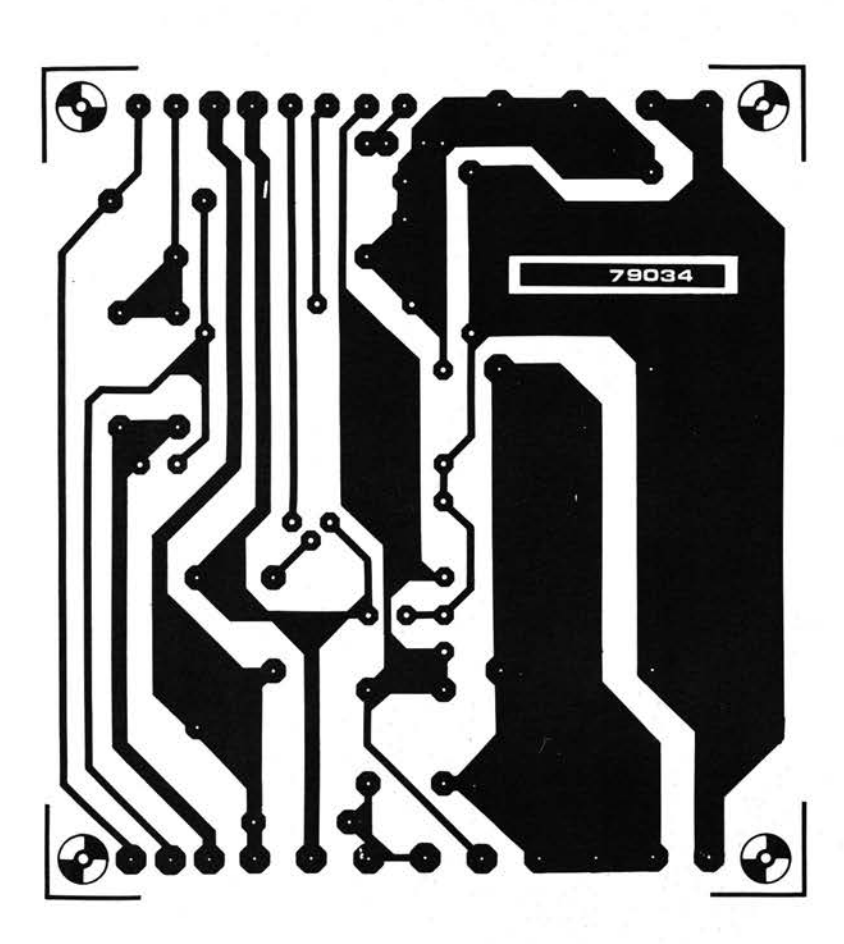
1

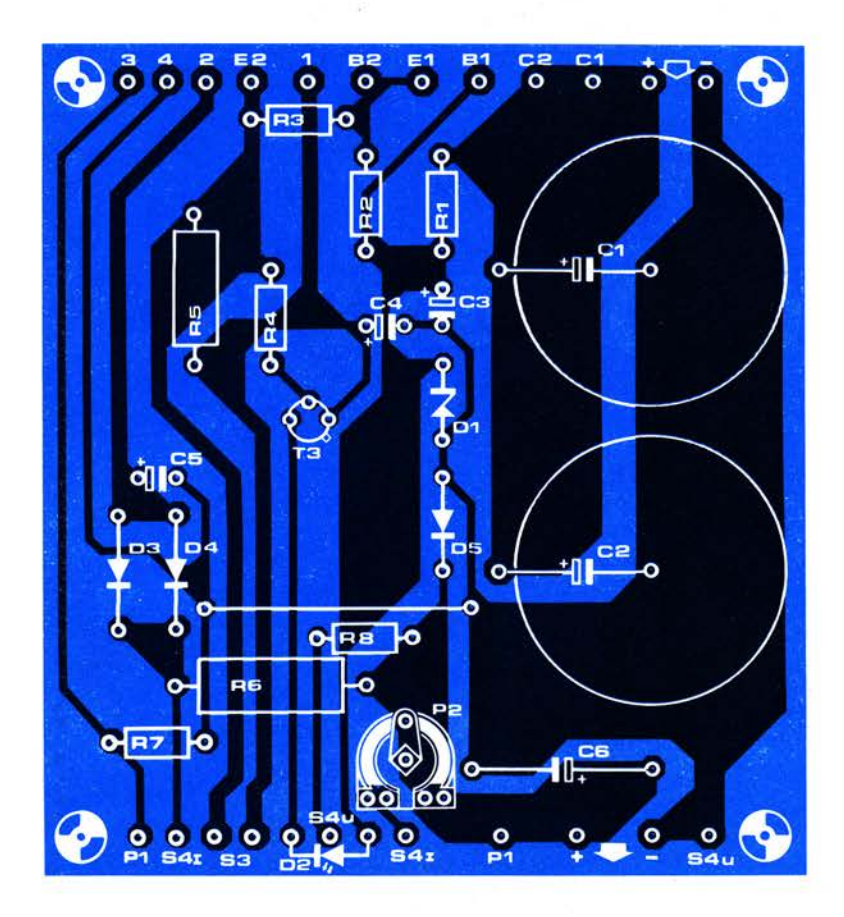
~

\$\frac{1}{2} \big| \frac{1}{2} \big| \frac



3





Liste des composants

Résistances

R1,R2,R4 = 1 k

 $R3 = 100 \Omega$

 $R5 = 6\Omega8$ (voir texte)

 $R6 = 0.03 \Omega$ (voir texte)

R7 = 4k7

R8 = 20 k, 1%

P1 = potentiométre 22 k

(25 k)

P2 = ajustable 220 Ω (250 Ω)

Condensateurs

 $C1 = 4700 \,\mu/40 \,V$

 $C2 = 4700 \,\mu/40 \,V$ (voir texte)

C3,C4,C5 = $1 \mu/40 \text{ V}$ tantale

 $C6 = 100 \mu/40 V$

Semiconducteurs

B1 voir tableau 1

D1 = diode zener 27 V/

500 mW

D2 = LED

D3 = 1N5406

D4 voir tableau 1

D5 = 1N4001

T1 = BD 137, BD 139

T2 = 2N3055

T3 = BC 107C, BC 547C ou

équ.

IC1 = μ A 78 HG (Fairchild)

Divers

F1 = fusible, voir tableau 1

Tr1 = transformateur secteur, voir tableau 1

S1 = interrupteur bipolaire

S2 = inverseur unipolaire, voir tableau 1

S3 = interrupteur unipolaire 5 A

S4 = inverseur bipolaire

La1 = lampe néon avec résistance de limitation incorporée

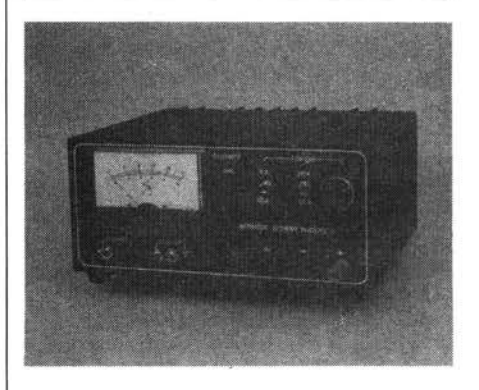


Figure 3. Plaquette du circuit imprimé et implantation des composants (EPS 79034). Un nombre relativement important de composants devant être refroidis, la plaquette ne reçoit pas la totalité du circuit.

Figure 4. Face avant proposé pour l'alimentation stabilisée (EPS 79034-F).

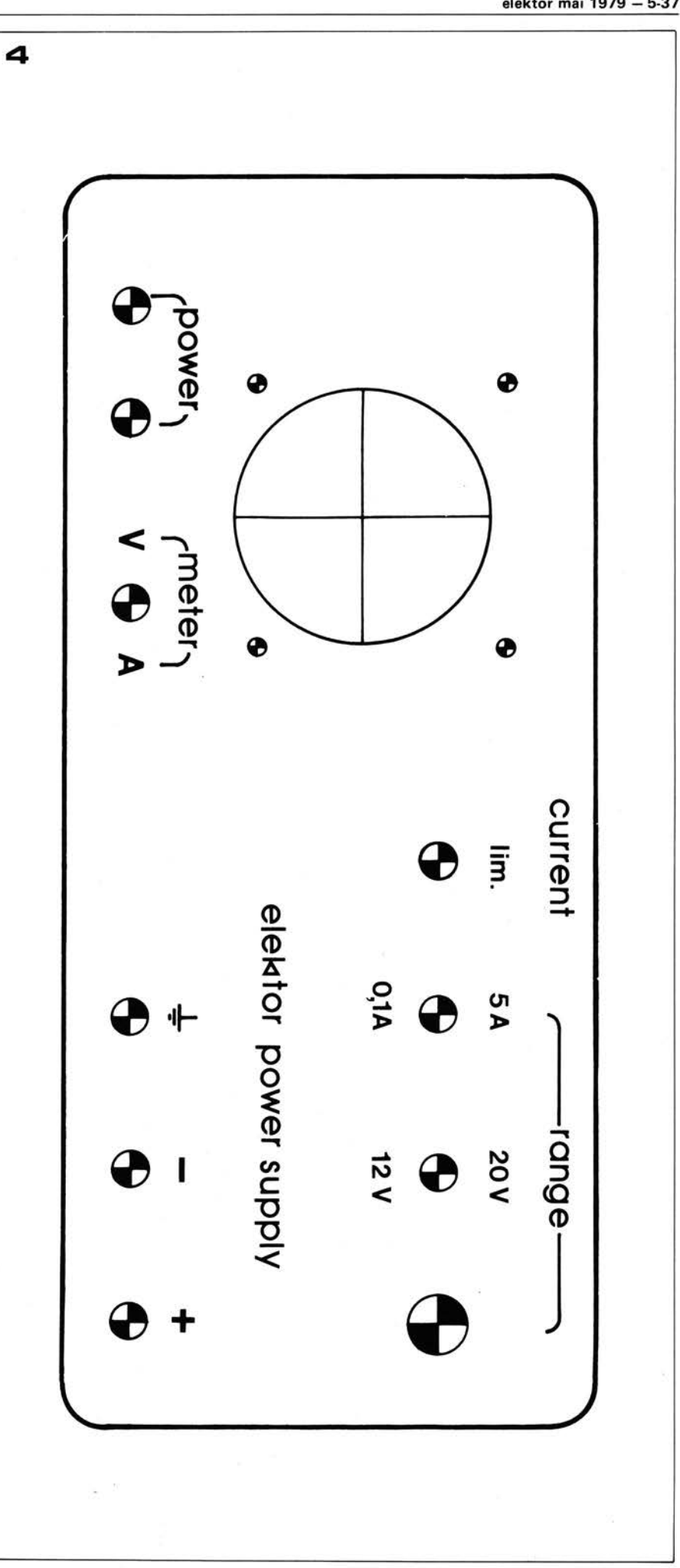
provient de la diode zener D1. Le circuit n'a un rôle régulateur que quand S2 est en position 'a'. En effet, il n'y a que dans ce cas qu'il soit nécessaire de limiter la tension appliquée à l'entrée du régulateur de sortie et de répartir la dissipation thermique de l'alimentation entre entre les deux étages. Quand S2 est en position 'a', la tension au point B est comprise entre 25 et 26 V (approximativement).

La limitation en courant est assurée grâce à T3 et R5. Quand la tension aux bornes de R5 dépasse environ 0,7 V, T3 devient conducteur, ce qui bloque T1 et T2, et provoque l'allumage de la diode électroluminescente D2. Avec les valeurs indiquées pour les composants, la limitation de courant intervient à environ 100 mA, et on peut faire varier ce seuil en modifiant la valeur de la résistance captrice R5. Il faut conserver à l'esprit que la dissipation dans cette résistance sera au maximum de 0,7 fois la valeur, en ampères, du courant maximal. Le courant maximal ne devra pas dépasser 2 A, si la sortie vient à être court-circuitée, car à ce moment le transistor T2 dissipe déjà près de 60 W. La possibilité de limitation en courant peut être supprimée en fermant S3, et le circuit sera alors protégé seulement contre les courts-circuits. La limitation en courant sera alors portée à 5 A. Le régulateur de tension de sortie est constitué du circuit intégré µA 78 HG de Fairchild. Ce circuit délivre une tension de sortie stabilisée qu'on peut ajuster continuement entre 5 V et 24 V. Il est virtuellement impossible de l'endommager dans les conditions normales de fonctionnement, ce circuit intégré possédant des protections contre les courts-circuits et les surcharges thermiques. Les principales caractéristiques du μA 78 HG sont indiquées dans le tableau 2, et son brochage est représenté figure 2 (il s'agit d'un boîtier TO3 à quatre broches).

On règle la tension de sortie au moyen du potentiomètre P1, qui, avec R7, forme un diviseur de tension variable. Le circuit intégré régule la tension de sortie de façon que la tension qu'il reçoit à l'entrée 'commande' (broche 3), tension provenant de la tension de sortie à travers le diviseur potentiomètrique, soit toujours égale à 5 V. Les diodes D3 et D4 servent à protéger le circuit intégré contre les tensions qui pourraient être appliquées sur la sortie et dépasseraient sa tension d'entrée, situation qui peut se produire, par exemple, si on utilise l'alimentation stabilisée pour charger une batterie. Dans la version 2,5 A, on peut se passer de l'une de ces diodes.

La diode D5 protège le circuit contre toute tension transistoire négative qui pourrait se trouver injectée sur la sortie de l'alimentation.

Notre alimentation stabilisée n'emploie qu'un seul galvanomètre pour indiquer la tension et le courant, et le commutateur S4 permet de choisir la fonction



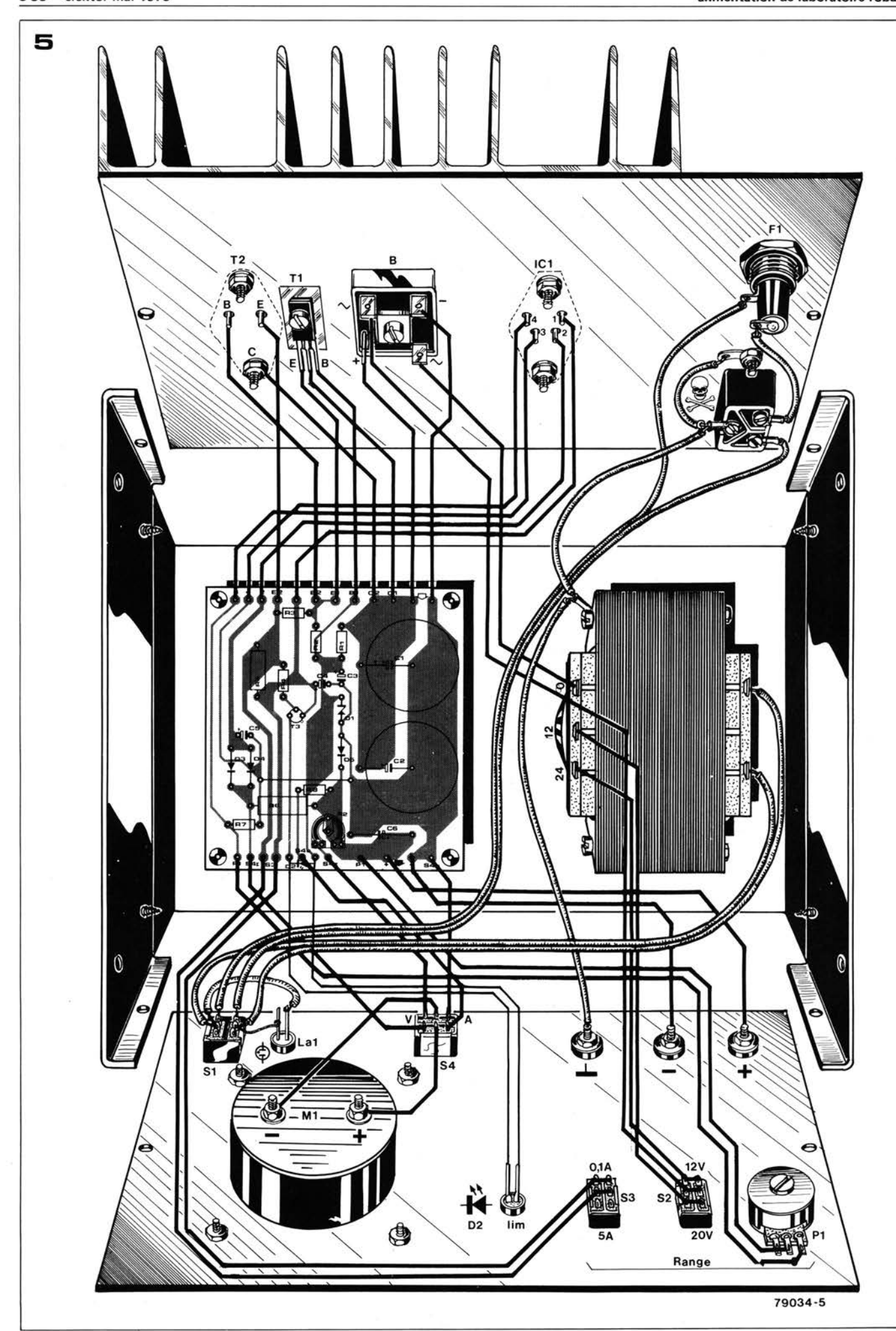


Tableau 1 Différences entre les versions 2,5 et 5 A de l'alimentation stabilisée

	2,5 A	5 A
F1	250 mA	500 mA
Tr1	2 x 12 V/3,5 A	2 x 12 V/7 A
S2	non	unipolaire 7 A
B1	KBPC 005	KBPC 6005
	ou B40C2500	ou B40C5000
D4	non	1N5406
	F .	

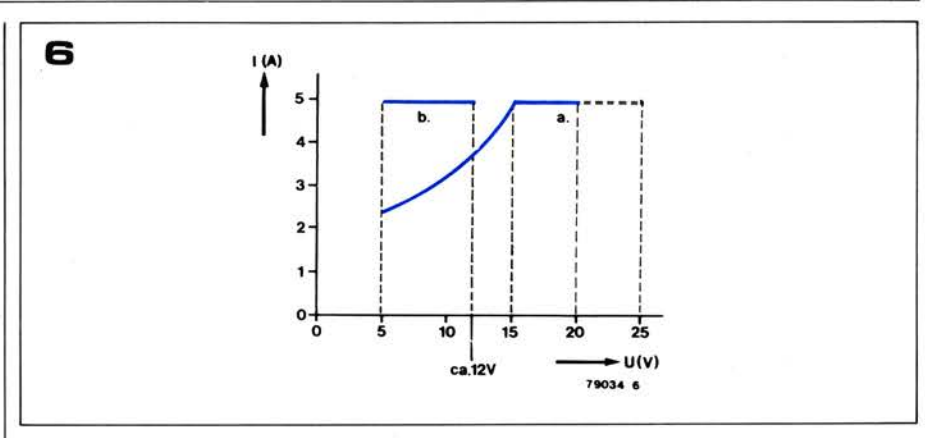
Tableau 2

caractéristiques du µA 78 HG

dissipation max (à 25° C)	50 W
tension d'entrée max	40 V
chute de tension entrée-	
sortie max	25 V
courant de sortie max	7 A
tension de commande	4,8 à 5,2 V
régulation en charge	≤ 1%
régulation secteur	≤ 1%
consommation au repos	≤ 10 mA
affaiblissement du ronfle-	
ment	≥ 60 dB
niveau de bruit	75 µV

Figure 5. Schéma de câblage proposé pour l'alimentation stabilisée.

Figure 6. Ce graphique illustre la relation entre le courant et la tension de sortie pour les deux positions de S2.



retenue. R6 est une résistance qui sert de shunt lors de la mesure du courant, et P2 sert au calibrage du galvanomètre. La calibration pour la tension n'est pas nécessaire. On peut utiliser, à la place d'un appareil à cadre mobile, le voltmètre numérique universel décrit dans le numéro 8 de février 1979. Il faut alors modifier la valeur de quelques composants. Les résistances R7 et R8 du voltmètre numérique devront avoir respectivement comme valeur 0 (courtcircuit) et 1 kΩ (1%), et la résistance R8 de l'alimentation stabilisée devra être de 19 k Ω (18 k Ω et 1 k Ω en série, toutes deux à 1%). On peut alimenter le voltmètre numérique directement par le point A du circuit de l'alimentation stabilisée.

Réalisation

Afin d'assurer à l'alimentation stabilisée une durée de vie importante et sans soucis, il est conseillé d'apporter toute l'attention souhaitable aux détails de sa construction.

Le circuit imprimé correspondant à ce projet est représenté figure 3. Un nombre relativement important de composants nécessite un refroidissement. et ces composants ne sont pas montés sur le circuit imprimé. Il faudra porter une attention particulière à la façon dont le pont redresseur B1, les transistors T1 et T2, et le régulateur de tension IC1 sont refroidis. Dans le cas du circuit intégré, on doit compter sur une dissipation de l'ordre de 50 W, et un radiateur de bonne taille est nécessaire.

De la même façon, toutes les précautions devront être prises avec T2, car il pourra dissiper jusqu'à 60 W. Le pont redresseur et T1 ne posent pas un tel problème, et il seront suffisamment refroidis si on se contente de les fixer sur le boîtier de l'alimentation stabilisée. De plus, il ne faut pas oublier d'isoler électriquement les composants refroidis (plaquettes de mica et graisse aux silicones), à l'exception de IC1, qui peut être monté sans isolation. Il faudra bobiner soi-même la résistance shunt R6. La méthode la plus simple est de prendre 36 cm de fil de cuivre émaillé de 0,6 mm de diamètre (24 swg dans les pays utilisant les mesures anglosaxonnes) et de le bobiner sur une résis-

tance de 1 W (par exemple une résistance

de 10 kΩ). On peut négliger

l'inductance d'une résistance ainsi bobinée dans ce type d'alimentation. Il faut s'assurer que le fil de connection a un diamètre suffisant pour passer les 5 A que l'alimentation pourra avoir à débiter. La figure 5 montre les détails du câblage. On notera que, contrairement à l'habitude, le 'zéro' du circuit n'est pas relié au boîtier; cette liaison se fera, pour chaque cas d'utilisation de l'alimentation, au moyen d'une borne séparée. De cette façon, on pourra avoir, au choix, une tension positive ou négative par rapport à la masse. Le seul composant du circuit nécessitant un prérèglage est P2, qui est utilisé pour le calibrage de l'indicateur dans sa fonction ampèremètre. La façon la plus simple de procéder à ce prérèglage est de demander à l'alimentation, disons, 10 V, et de la faire débiter dans une ampoule de phare de voiture de 45 W, avec un ampèremètre en série (calibre minimal 4 A). S4 étant en position 'I', la valeur affichée par l'indicateur sera ajustée pour être égale à celle de l'ampèremètre au moyen de P2. Si on ne dispose pas d'un ampèremètre, une méthode un peu moins précise consiste, après avoir supprimé la limitation en courant du premier étage régulateur (S3 fermé), à court-circuiter la sortie et à ajuster P2 pour que l'indicateur donne sa valeur de pleine échelle (5 A).

Utilisation

Se servir de l'alimentation stabilsée est pratiquement évident, le seul problème qui puisse se poser étant celui de l'utilisation de S2 (qui, bien sûr, ne se posera que pour la version 5 A de l'alimentation). Comme on l'a déjà dit, ce commutateur doit être en position 'b' pour les utilisations nécessitant un courant de sortie élevé sous une tension faible. Si on laisse ce commutateur en position 'a' lors de telles utilisations, on arrivera rapidement aux conditions qui mettent en jeu la protection thermique interne du circuit intégré, celui-ci ayant à dissiper plus des 50 W permis. On réduit alors la dissipation à une valeur plus acceptable en changeant la position du commutateur, ce qui a pour effet de limiter la tension de sortie à environ 12 V. Le graphique de la figure 6 illustre la relation entre la tension et le courant de sortie pour les deux positions de S2.

5-40 — elektor mai 1979

assistentor

une aide pour le Stentor

Dans ce numéro d'Elektor, toute notre attention s'oriente vers le bruit et le vacarme. Les techniques d'audiofréquence seront, pour une fois, considérées sous un autre angle; ce n'est pas tant la qualité d'une sonorité fidèle qui nous intéresse aujourd'hui, mais plutôt la quantité! Ailleurs, dans ce numéro on trouve la description du Stentor; une grande puissance disponible à partir d'une alimentation basse tension, avec les garanties de low-fi. En joignant au Stentor son valet, l'Assistentor, toutes les conditions pour des reproductions optimales du son sont réunies . . .

Dans certaines circonstances on souhaite être bien entendu. Pensons par exemple aux encouragements lancés au club de foot, annonces en plein air, démonstrations, avis de toutes sortes dans une ambiance bruyante, etc.

Le technicien du son, confronté à ces problèmes, a d'autres soucis que l'homme de la "hard-core hifi". Le but recherché ne sera pas tant une courbe de reponse bien droite, ou peu de distorsion, que l'intelligibilité qui est bien plus importante. Le son à reproduire n'a pas à être nécessairement fidèle, mais plutôt facile à reconnaître et surtout fort et nénétrant

fort et pénétrant. Comment peut-on obtenir une reproduction compréhensible de la parole? D'abord, en la reproduisant le plus fort possible. Mais ce n'est pas la seule mesure à prendre. En reproduisant la parole très fort, les passages les plus hauts passeront sans problèmes, mais les passages moins forts se trouveront encore noyés dans le bruit de fond. Il est donc nécessaire d'amplifier davantage les passages faibles par rapport aux forts. Il faut diminuer les différences entre signaux forts et signaux faibles. Autrement dit: il faudra compresser la dynamique de la parole. Le procédé à utiliser s'appelle donc réduction de dynamique ou compression de modulation, il consiste à amplifier les signaux de faible amplitude au dessus d'un seuil correspondant aux bruits environnant et à laisser inchangés les signaux d'amplitude élevée (voir figure 1). La figure 1 nous le montre et l'appareil s'appelle de façon peu originale, compresseur de modulation. Quand il est exclusivement développé afin d'assister le Stentor il s'appellera Assistentor. Toutefois, Assistentor ne limite pas sa fonction à la simple compression de modulation. En effet, il s'avère que la compréhension de la parole s'améliore encore en utilisant un filtrage qui atténuerait les hautes et les basses fréquences, suivant les caractéristiques de la figure 2. Cette correction de fréquence est effectuée

par l'Assistentor. Le fonctionnement

de l'Assistentor est basé sur l'aspect non-linéaire de la caractéristique d'une

diode. A la figure 3 nous voyons

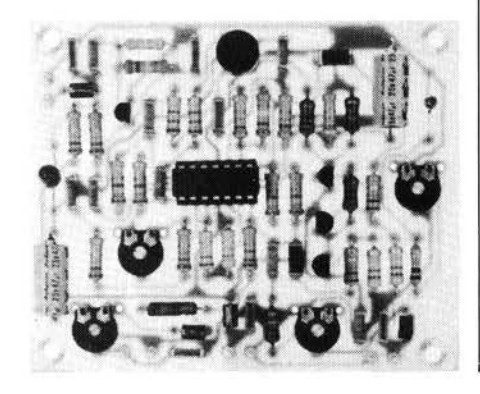
comment cette caractéristique nonlinéaire est utilisé pour obtenir une fonction de compression. Il s'agit d'envoyer à travers la diode, un signal composé de courant continu d'une part, et d'autre part une partie relativement faible de courant alternatif. Il résulte du comportement non-linéaire de la diode que la résistance dynamique pour la partie courant alternatif dépend de l'importance de la composante en courant continu. En d'autres mots: nous pouvons considérer la diode comme une résistance variable pour de petits signaux alternatifs, en fonction du courant continu.

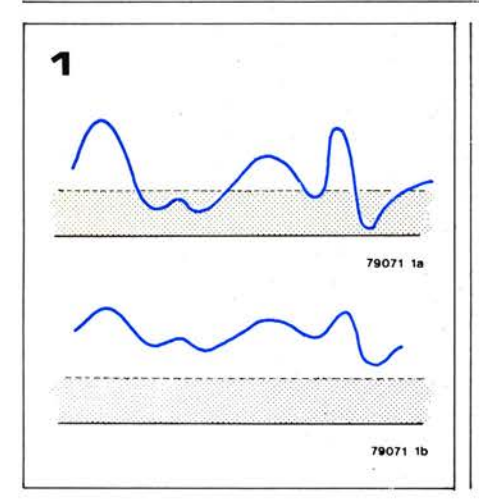
assistentor

Voyons maintenant le schéma synoptique de la figure 4. En passant par un étage amplificateur, le signal d'entrée, ainsi que le courant régulateur Ic, arrive sur le circuit à diode. La partie tension alternative, qui se trouve ainsi aux bornes de la diode, sera ensuite amplifiée par le deuxième étage amplificateur; puis fournira le signal de sortie du circuit. Après redressement, c'est ce signal qui fournira aussi le courant régulateur de la diode. On vient de créer un circuit régulateur; quand la tension d'entrée diminue, la tension régulatrice de la diode diminue également, et il en résulte que la résistance pour le courant alternatif de la diode augmente. Le signal d'entrée se trouve alors amplifié à la sortie de l'Assistentor. Les différences de dynamique, pouvant atteindre facilement 35 dB dans des conditions ordinaires, seront de cette façon ramenées à un maximum de 6 dB. Donc, les faibles passages dans la parole seront reproduits avec 30 dB en plus, sans pour cela modifier les passages les plus forts.

Le circuit

Le schéma de la figure 5 montre le détail du circuit. A première vue nous pouvons déjà constater que la résistance, régulée par le courant, ne comporte pas qu'une seule diode, mais qu'elle se compose de quatre diodes identiques en pont. De cette façon, le circuit atténuateur est devenu symétrique, réduisant dans de fortes proportions la distorsion. Pour obtenir une symétrie parfaite de 4 diodes, la solution la plus





simple sera d'utiliser une cellule monolytique en pont, comme dans les alimentations classiques.

Le signal, avant d'attaquer ce circuit atténuateur sera d'abord considérablement amplifié par T1 et A1. Cette amplification est ajustable par P1. A2 sert de déphaseur, afin que le signal puisse être présenté au circuit atténuateur sous forme symétrique. Après l'atténuateur à diode, on retrouve le même genre de circuit: A3 amplifie le signal comprimé pendant que A4 fonctionne en déphaseur. De cette façon, le signal comprimé est également disponible sous forme symétrique. Ceci permet un redressement double alternance pour obtenir le courant

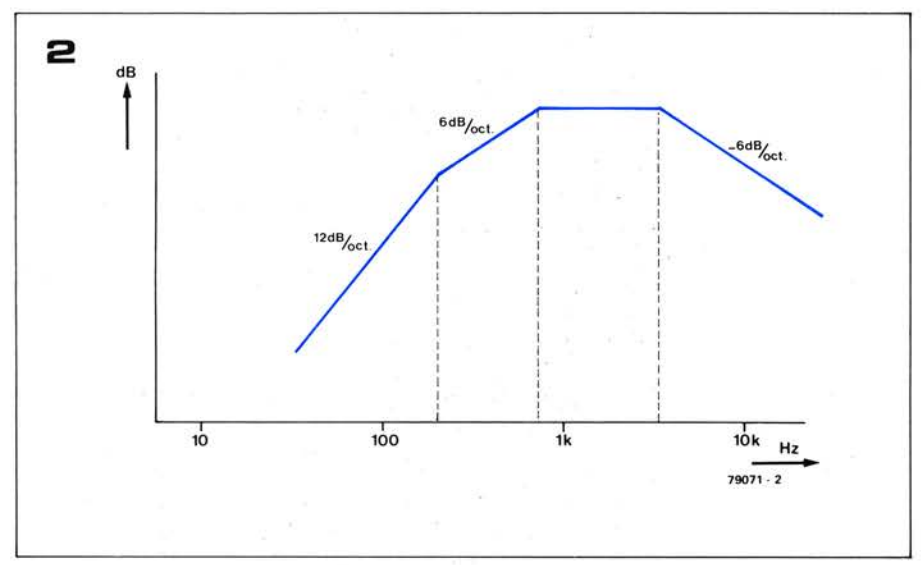
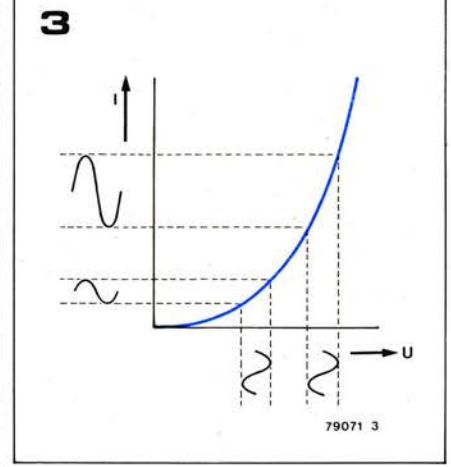


Figure 1. Dans une ambiance bruyante les passages faibles de la parole ne surmonteront pas le bruit, et ne seront donc pas perçus. La figure 1a illustre cela avec la courbe du signal de la parole et le bruit d'ambiance en grisé. La figure 1b montre l'effet de la compression de modulation: le niveau de tous les passages de la parole se situent maintenant au dessus du bruit de fond sans que les passages les plus forts aient été amplifiés.

Figure 2. La compréhension de la parole sera encore améliorée, en atténuant certaines fréquences en plus de la compression de modulation. D'après des essais il s'est avéré qu'une courbe de réponse comme celle-ci, donnait des résultats optimums.

Figure 3. La compression de modulation peut se réaliser en utilisant la caractéristique de transfert non linéaire d'une diode. L'atténuation du signal dépend de la tension continue aux bornes de la diode.

Figure 4. Schéma synoptique de l'Assistentor.

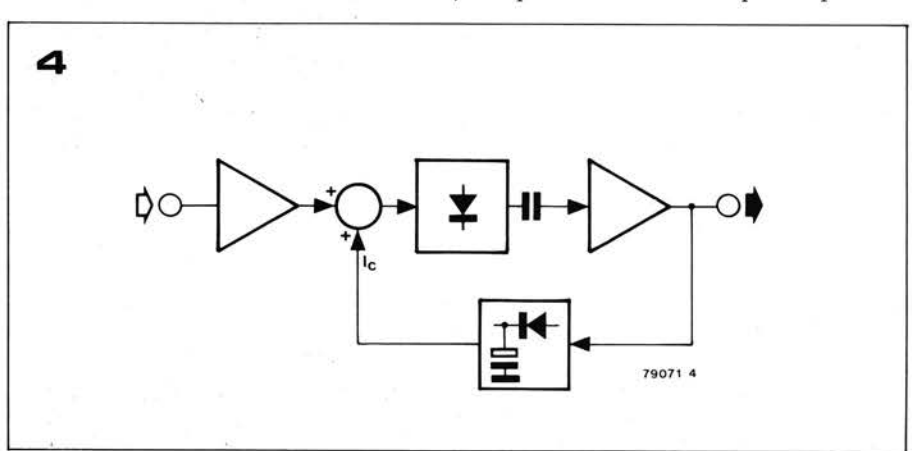


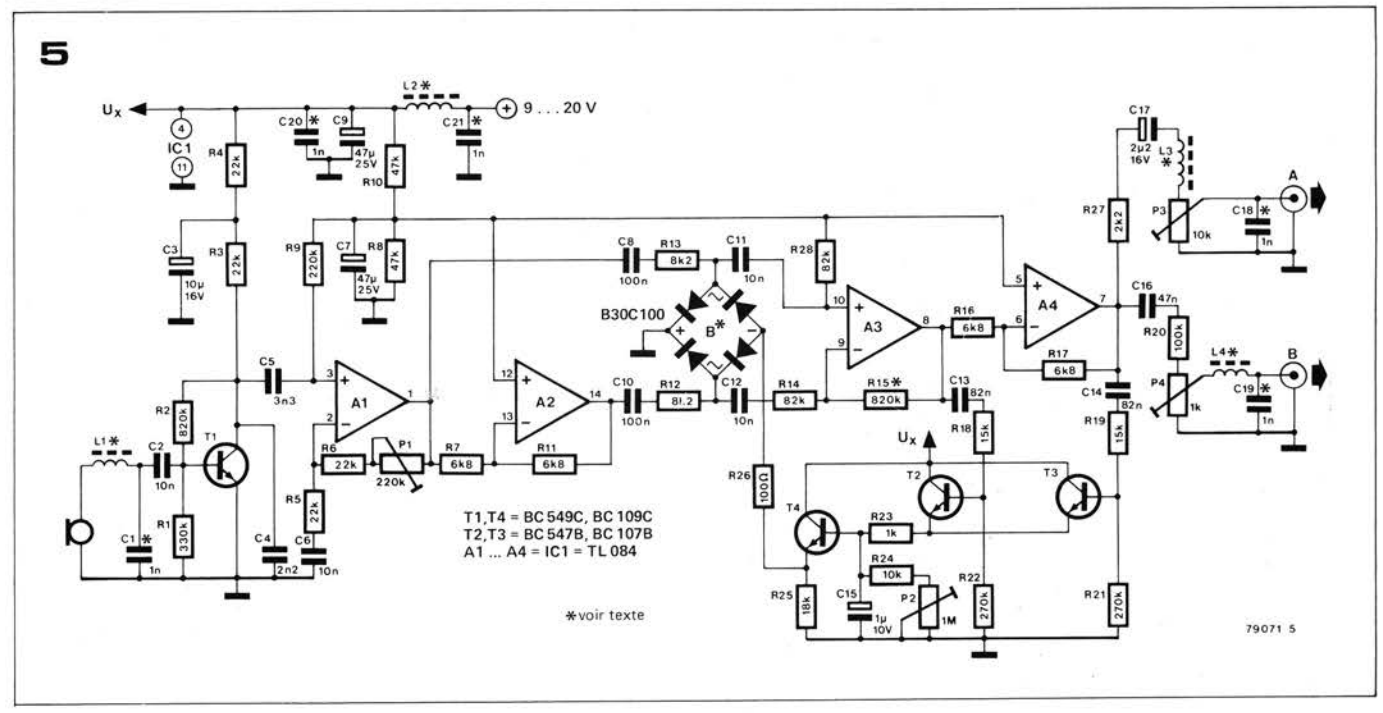
régulateur. Ce redressement se fait avec les transistors T2 et T3 et le filtrage est obtenu avec le condensateur C15. Le signal régulateur pour l'atténuateur à diode est disponible sur l'émetteur de T4. Avec le potentiomètre P2 on règle la constante de temps; cette constante détermine la vitesse avec laquelle la compression agit. Assistentor est muni de deux sorties de niveaux différents. En A on trouve une tension plus élevée qu'en B. La sortie A est destinée à être raccordé à Stentor ou à un autre amplificateur alors qu'on trouve en B un signal adapté à une entrée microphone. Ce signal est destiné à être raccordé sur l'entrée microphone d'un walkie talkie, ou interphone par exemple. Les deux signaux de sortie sont réglables à l'aide des potentiomètres P3, resp. P4. A cause d'une amplification assez importante (jusqu'à environ 86 dB) le circuit est relativement sensible à toute forme de rayonnement haute fréquence (réception radio). C'est pour éviter cela que l'entrée, les sorties et la ligne d'alimentation ont été découplées à l'aide des perles de ferrite (self de choc) L1 à L4 et de quelques condensateurs de 1n (C1, C18 à C21). Ce découplage est surtout important si le circuit doit être utilisé aux environs d'un appareillage haute fréquence (émetteurs ou récep-

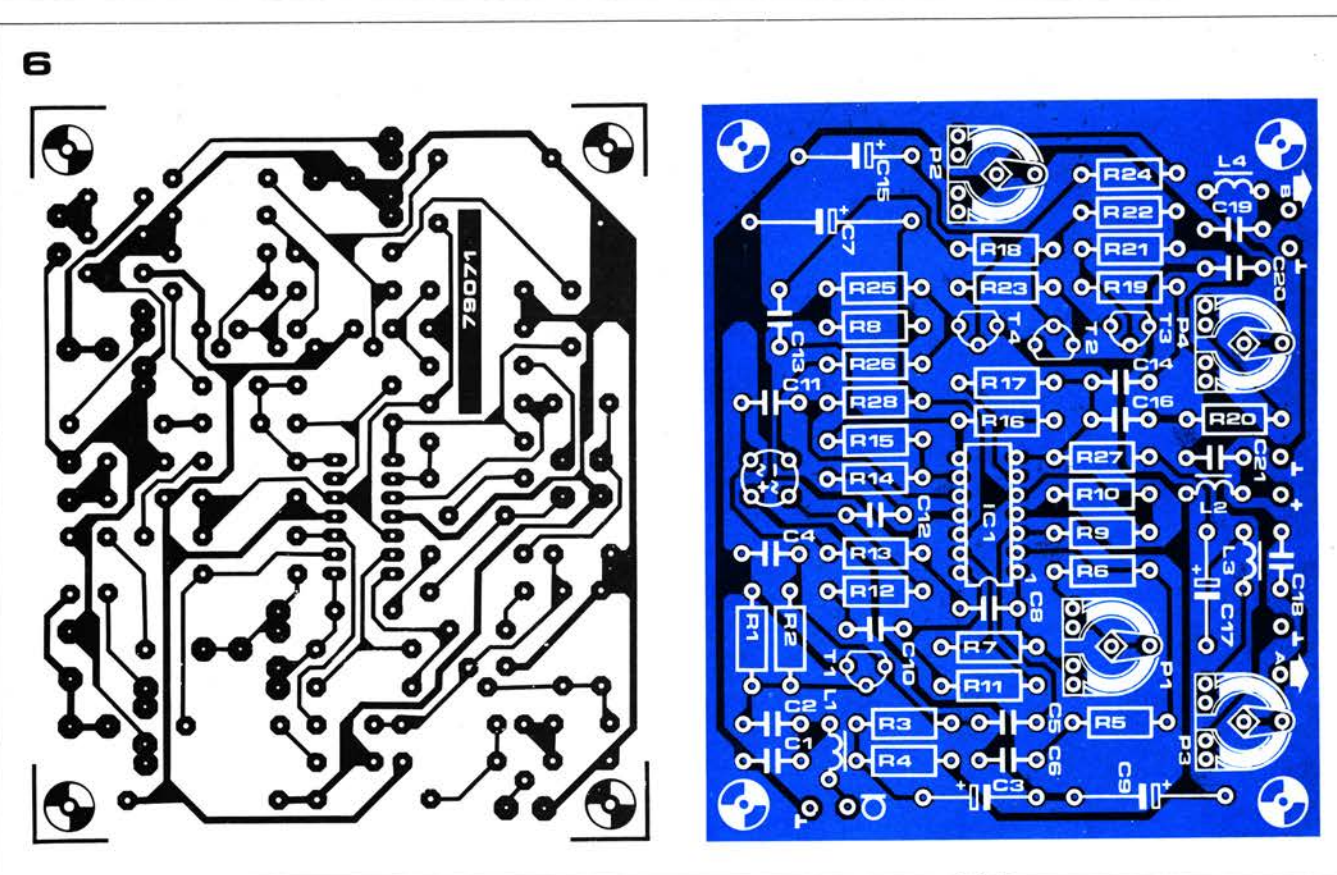
Dans des cas exceptionnels, où il n'y a vraiment pas de problème de rayonnement haute fréquence à prévoir, ces découplages peuvent éventuellement être supprimés. Quand on veut par contre utiliser Assistentor + Stentor en tant que crieur public mobile, le mieux sera de prévoir d'emblée les selfs de choc et les condensateurs.

Construction et utilisation

La figure 6, présente le circuit imprimé. En ce qui concerne l'application des composants relatifs au découplage en haute fréquence veuillez vous rapporter aux remarques faites ci-dessus. Les selfs de choc L1 à L4 sont indiquées sur la plaquette comme des selfs. L'auto-induction de ces éléments sera obtenue en passant un fil isolé deux ou trois fois, par le trou de la perle afin de former une petite self de trois à quatre spires.



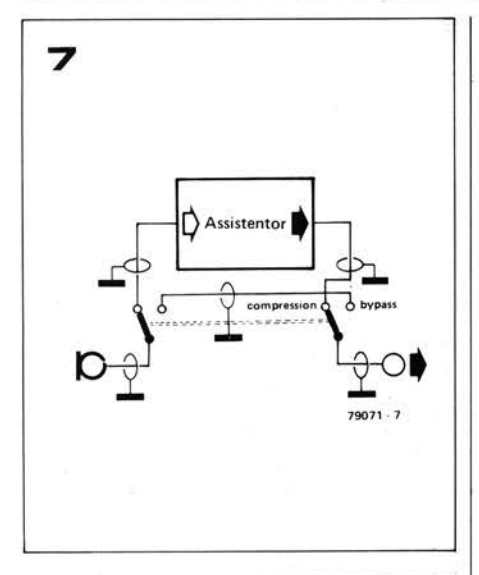




Pour le redresseur en pont, en principe, n'importe quel type peut convenir. Nous conseillons seulement de ne pas prendre un modèle trop fort, de préférence un type de 100 mA, plutôt qu'un modèle de plusieurs Ampères. C'est pour cela qu'on trouve dans la nomenclature le type B30C100, mais ceci n'est à considerer qu'en tant que valeur indicative.

La sensibilité du circuit s'ajuste à l'aide du potentiomètre P1. Si l'on souhaite une sensibilité en dehors de la plage du potentiomètre, un réglage supplémentaire est possible en changeant la résistance R15. Une valeur plus élevée de cette résistance entraîne une plus grande sensibilité (et des signaux de sortie plus importants en même temps). La constante de temps (disons: vitesse) est réglable par P2. L'utilisation de l'Assistentor ne se limite pas à une collaboration avec le Stentor ou avec un autre amplificateur du genre "beaucoup de volume, peu de hifi", afin de pouvoir se faire entendre par un maximum de personnes. En réalité, Assistentor servira partout où un niveau, sans cesse changeant, du signal d'entrée doit être transformé en signaux électriques

moins modulés (sans pour autant trop exiger de la qualité sonore). Des applications se présentant immédiatement à nous se trouvent au niveau de l'émission, de l'interphone et du "public address". Une autre application peu banale de cet appareil: Elektor France a utilisé l'Assistentor pour la réalisation des flash publicitaires sur Europe 1 en décembre 1978! Mais l'Assistentor trouvera également sa place dans une installation de radio amateur, qui aura de cette façon, pour la même puissance d'émission, un rayon d'action plus important.



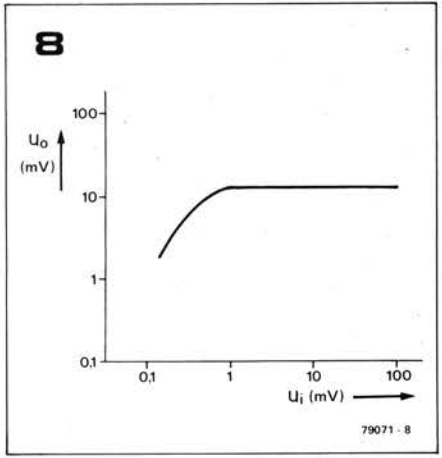


Figure 5. Schéma détaillé. L'atténuation à diode ne comporte pas seulement une seule diode, mais est constitué de quatre diodes en pont. De cette façon la distorsion sera fortement réduite.

Figure 6. Circuit imprimé côté cuivre et côté composants. Il faudra prendre des précautions spéciales pour éviter les conséquences d'un rayonnement haute fréquence (voir texte).

Figure 7. Dans certaines applications il est pratique de munir le dispositif d'un commutateur "bypass". Cette figure indique comment brancher ce commutateur.

Figure 8. En B la tension de sortie U_0 , en fonction de la tension d'entrée U_i . On constate que la compression de modulation a déjà lieu pour une tension d'entrée de 1 mV.

Liste des composants

Résistances:

R1 = 330 k R2 = 820 k R3 ... R6 = 22 k R7,R11,R16,R17 = 6k8 R8,R10 = 47 k R9 = 220 k R12,R13 = 8k2 R14,R28 = 82 k R15 = 820 k (voir texte) R18,R19 = 15 k R20 = 100 k R21,R22 = 270 k R23 = 1 k R24 = 10 k

R25 = 18 k R26 = 100 Ω R27 = 2k2 P1 = 220 k ajust. P2 = 1 M ajust. P3 = 10 k ajust.

P4 = 1 k ajust.

Condensateurs:

C1,C18...C21 = 1 n (voir texte) C2,C6,C11,C12 = 10 n C3 = 10 μ /16 V C4 = 2n2 C5 = 3n3 C7,C9 = 47 μ /25 V C8,C10 = 100 n C13,C14 = 82 n C15 = 1 μ /10 V C16 = 47 n

Semiconducteurs:

 $C17 = 2\mu 2/16 \text{ V}$

T1,T4 = BC 549C, BC 109C T2,T3 = BC 547B, BC 107B IC1 = TL 084 B1 = pont redresseur B30C100 (voir texte)

Divers:

L1 . . . L4 = perle de ferrite (self de choc) (voir texte)

Comme dernière possibilité d'application nous pensons ici à un régulateur de niveau pour dictaphone. La figure 7 montre la façon de monter un inverseur qui sera nécessaire surtout lors de l'utilisation avec un émetteur.

Enfin la figure 8 donne la courbe de transfert de l'Assistentor lorsque P1 est positionné pour la sensibilité maximale. Nous voyons la tension sur la sortie B (U_O) pour différentes tensions d'entrée (U_I). La sensibilité du dispositif est excellente car la compression totale a déjà lieu pour une tension d'entrée de 1 mV.

le tort d'Elektor

Modifications
Additions
Améliorations
Corrections
de schémas publiés dans Elektor

Générateur de notes universel

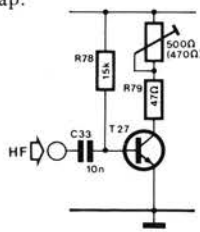
Elektor n° 3, septembre/octobre 1978, p. 9-33. Dans la liste des composants, les circuits intégrés IC14 à IC16 devraient être des 4049 comme indiqué sur la figure 1.

Piano électronique

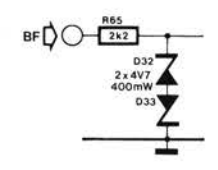
Elektor n° 3, septembre/octobre 1978, p. 9-39. Dans le module une octave présenté figure 7, il est recommandé, pour des raisons de sécurité de fonctionnement, d'inclure une résistance $27~\Omega/1~W$ et un fusible 400~mA rapide en série entre $-U_2$ et les contacts de touche fermés au repos.

Fréquencemètre 1/4 GHz

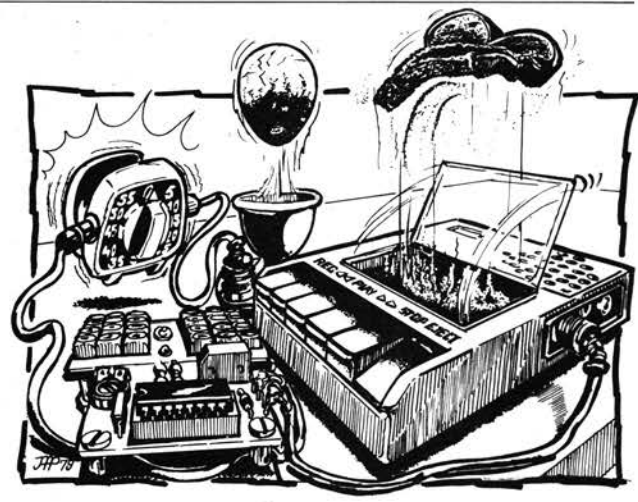
Elektor n° 5/6, Edition Spéciale 78/79, p. 12-69. La sensibilité de l'amplificateur HF pourra être améliorée en remplaçant R79 par une résistance de 47 Ω montée en série avec un ajustable de 500 Ω (470 Ω), en abaissant R78 à 15K et en remplaçement R84 par un strap.



Bien que le circuit fonctionne dans la plupart des cas avec la disposition des diodes D32 et D33 montrée en figure 11, l'écrêtage pourra être limité en montant ces deux diodes zéner tête-bêche.



l'ICU, un 'mini' microprocesseur



Mettre en oeuvre un microprocesseur demande de la part de son utilisateur une somme de connaissances approfondies qu'il lui faut parfaitement maîtriser s'il désire mener à bien son projet. Par ailleurs, et ceci est un problème supplémentaire, dans un certain nombre d'applications il est inutile d'employer un circuit aussi sophistiqué.

En sortant tout dernièrement un nouveau circuit intégré, Motorola semble avoir réussi à faire d'une pierre deux coups. Il s'agit de l'ICU (de Industrial Control Unit signifiant Unité de Commande Industrielle) qui porte la référence MC 14500B. Ce circuit, qui est en fait un processeur 1 bit, a été tout spécialement développé pour être utilisé dans des applications de commande industrielle simples; de plus, sa programmation est extrèmement aisée.

Cet article, qui traite de ce 'mini' microprocesseur devrait particulièrement intéresser les lecteurs qui ont eu des déboires en s'attaquant à ses 'grands frères', et les réconcilier avec ce genre de circuit.

Caractéristiques principales de l'ICU

- exécute 16 fonctions logiques
- ligne de données bidirectionnelle 1 bit
- mémoire 1 bit
- quatre flags de sortie
- conforme aux spécifications Jedec B concernant les circuits CMOS
- tension d'alimentation comprise entre 3 et 18 V
- fréquence d'horloge du continu à 1 MHz
- destiné à l'origine aux systèmes de commande industriels

cesseur dans des applications nécessitant la commande d'appareillages. Cette utilisation croissante s'explique par le fait qu'il est possible, en modifiant simplement le programme, d'adapter le microprocesseur à tel ou tel problème. Ceci provient de la souplesse inhérente au concept du programme mémorisé. Nous pouvons citer le cas, dans le domaine grand-public, d'un certain nombre d'appareils qui renferment un microprocesseur: tel est le cas de certaines machines à laver, machines à coudre ou fours. Par contre sur un plan industriel, les microprocesseurs sont apparus sur le marché dans une multitude d'appareillages effectuant des commandes de processus évolutifs. Cependant dans le cas de certaines applications de contrôle impliquant des tâches orientées vers une décision (citons par exemple: les détecteurs d'intrus, la commande de feux de signalisation, de modèles réduits, de trains, les projecteurs de diapositives, les programmateurs de PROM, pour ne citer que quelques cas susceptibles d'intéresser un amateur enthousiaste), il serait aussi inopportun d'utiliser un microprocesseur pour résoudre un problème aussi simple, que d'employer un marteau-pilon pour casser une noisette. C'est pour cette raison qu'un nouveau type de circuit a été développé par Motorola. Il s'agit du MC 14500B, qui est un ICU ou processeur 1 bit, qui présente l'avantage d'une programmation simple sans avoir l'inconvénient de la complexité, inutile ici, d'un microprocesseur.

De plus en plus on utilise le micropro-

Nous pouvons considérer l'ICU comme étant une sorte de microprocesseur simplifié, capable d'effectuer des opérations logiques sur des données de 1 bit et de transférer le résultat à un dispositif de sortie.

Le principal avantage de l'ICU réside dans le fait qu'il s'agit d'un circuit simple et facile à programmer. Un utilisateur inexpérimenté peut très rapidement se familiariser avec le système de base et voir de quelle façon il peut l'adapter à ses besoins particuliers. L'ICU représente ainsi une excellente introduction aux systèmes utilisant des microprocesseurs.

Cet article est bâti de la façon suivante: tout d'abord nous trouverons une description fondamentale de l'ICU (MC 14500B), puis, à l'aide de quelques exemples, nous verrons comment il est possible de le programmer pour lui faire effectuer diverses fonctions logiques. Pour les lecteurs qui sont particulièrement intéressés par le MC 14500B, nous les invitons vivement à se reporter au manuel réalisé par Motorola; ils y trouveront une description plus détaillée, qu'il n'est pas possible (pour des questions de place) de reproduire ici.

Caractéristiques générales

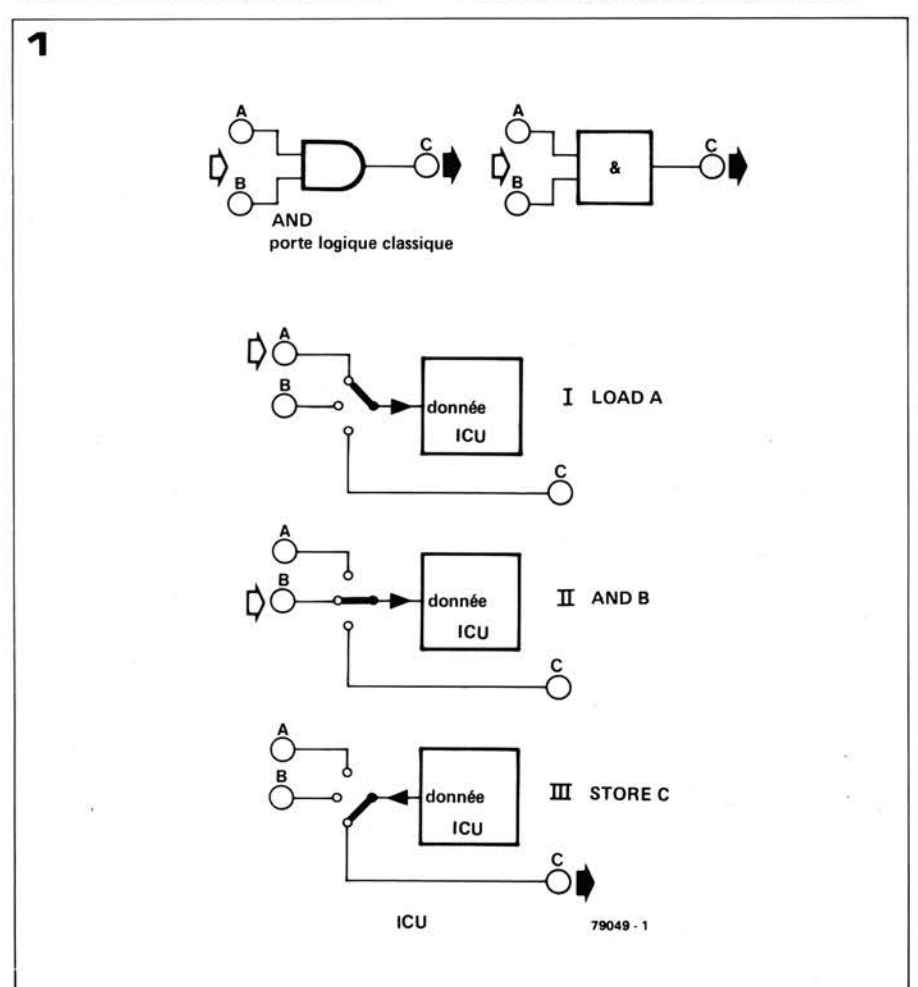
Le MC 14500B, fabriqué par Motorola, est un processeur statique 1 bit, intégré sur un seul circuit, et réalisé en technologie CMOS. Il est logé dans un boîtier DIL (Dual In Line) de 16 broches. Ce circuit intégré qui est commandé par un oscillateur d'horloge interne à une seule phase, exécute une instruction par période d'horloge. La fréquence de cet oscillateur peut atteindre 1 MHz. D'autre part le signal d'horloge peut être piloté par un oscillateur externe. Les caractéristiques électriques de l'ICU sont conformes aux spécifications Jedec B concernant les circuits CMOS de la série B. La tension d'alimentation de l'ICU peut varier entre 3 et 18 V (pratiquement on peut choisir, à condition que le circuit ne soit pas employé dans un milieu parasité, une tension d'alimentation de 5 V, ce qui permet d'utiliser l'ICU conjointement avec de la TTL). Il faut aussi noter que l'ICU peut attaquer au moins un circuit intégré TTL Low Power et que les sorties Data et Write peuvent, elles, commander deux entrées TTL classiques. L'énorme avantage de l'ICU par rapport aux autres circuits intégrés logiques conventionnels est qu'il est programmable, c'est-à-dire qu'il peut réaliser diverses sortes d'opérations logiques. Le tableau 1 représente le jeu d'instructions de l'ICU, soit 16 instructions de 4 bits. L'ICU est un processeur 1 bit; celà signifie que les données, qui sont manipulées bit par bit, vont vers l'ICU et proviennent de l'ICU en empruntant un bus de données bidirectionnel de 1 bit. Quand on souhaite réaliser une

opération logique portant sur plus d'un bit de données (par exemple une fonction AND) on utilise un registre interne qui est appelé Registre Résultat (RR). Pour réaliser cette fonction logique (AND), on charge le premier bit de données dans le Registre Résultat au moyen de l'instruction LOAD. On indique ensuite à l'ICU qu'il doit exécuter une instruction AND et que le second bit de données se trouve sur le bus bidirectionnel de données. L'instruction AND est réalisée sur la donnée présente dans le Registre Résultat et sur celle qui se situe sur le bus de données. Le résultat de cette opération constitue le nouveau contenu du Registre Résultat (ce registre est

celui dans lequel se trouve le résultat de n'importe quelle opération logique effectuée par l'ICU, d'où son nom). Puisqu'il est nécessaire d'utiliser une troisième instruction (STORE) pour transférer le résultat obtenu vers un dispositif de sortie, nous constatons qu'il nous faut réaliser trois opérations distinctes pour simuler une porte AND à deux entrées (voir figure 1). L'ICU est bâti, de même qu'un microprocesseur classique, sur le concept d'un programme mémorisé. Les instructions que doit exécuter l'ICU sont mémorisées dans la mémoire du système sous une forme séquentielle. Toutefois, en plus des codes opérations de l'ICU, la mémoire doit contenir l'adresse des

données qui doivent être chargées dans le Registre Résultat, de même que l'adresse du latch de sortie qui doit contenir les données du Registre Résultat. Les adresses sont décodées par des sélecteurs d'entrée et de sortie, comme le montre le schéma synoptique de la figure 2.

Reprenons une fois de plus l'exemple d'une fonction logique AND, qui doit porter sur deux signaux d'entrée A et B, et qui sont respectivement présents sur les entrées 1 et 5 du sélecteur d'entrée. Supposons que l'on veuille mémoriser le résultat de cette opération à la sortie 9 du latch de sortie. Quand on envoie une adresse donnée au sélecteur d'entrée ou de sortie, l'entrée ou la sortie correspon-



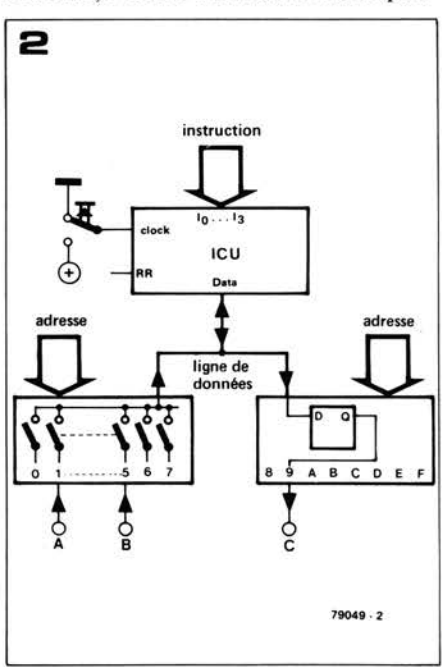


Figure 1. Cette figure illustre bien la différence existant entre logique câblée et logique programmée. La porte logique n'effectue qu'une seule opération pour réaliser la fonction demandée, alors que l'ICU exécute trois opérations distinctes pour faire la même chose.

Figure 2. Schéma synoptique d'un système bâti autour d'un ICU. Les impulsions d'horloge sont ici générées manuellement.

Tableau 1. Jeu d'instructions de l'ICU.

Т	a	b	ı	ea	u	1

	code opération	mémonique	Action
#0	0000	NOPO	aucun changement dans les registres. R →. FLGO ← JTL
#1	0001	LD	charger le registre résultat. Data → RR
#2	0010	LDC	charger le complément Data → RR
#3	0011	AND	AND logique, RR · D → RR
#4	0100	ANDC	AND logique compl. RR · D → RR
#5	0101	OR	OR logique. RR + D → RR
#6	0110	ORC	OR logique compl. RR + D → RR
#7	0111	XNOR	NOR exclusif. If RR = D, RR ← 1
#8	1000	STO	mémoriser. RR → Data Pin, Write ← 1
#9	1001	STOC	mémoriser le complément. RR → Data Pin, Write ← 1
#A	1010	IEN	valider l'entrée. D → IEN Reg.
#B	1011	OEN	valider la sortie, D → OEN Reg.
#C	1100	JMP	sauter, JMP Flag ← _¬
#D	1101	RTN	retourner. RTN flag ← JT, passer à l'instruction suivante
#E	1110	SKZ	passer à l'instruction suivante si RR = 0
#F	1111	NOPF	aucun changement dans les registres RR → RR, FLGF ←

dante est placée sur la ligne de données de l'ICU. L'opération AND s'effectue alors de la façon suivante:

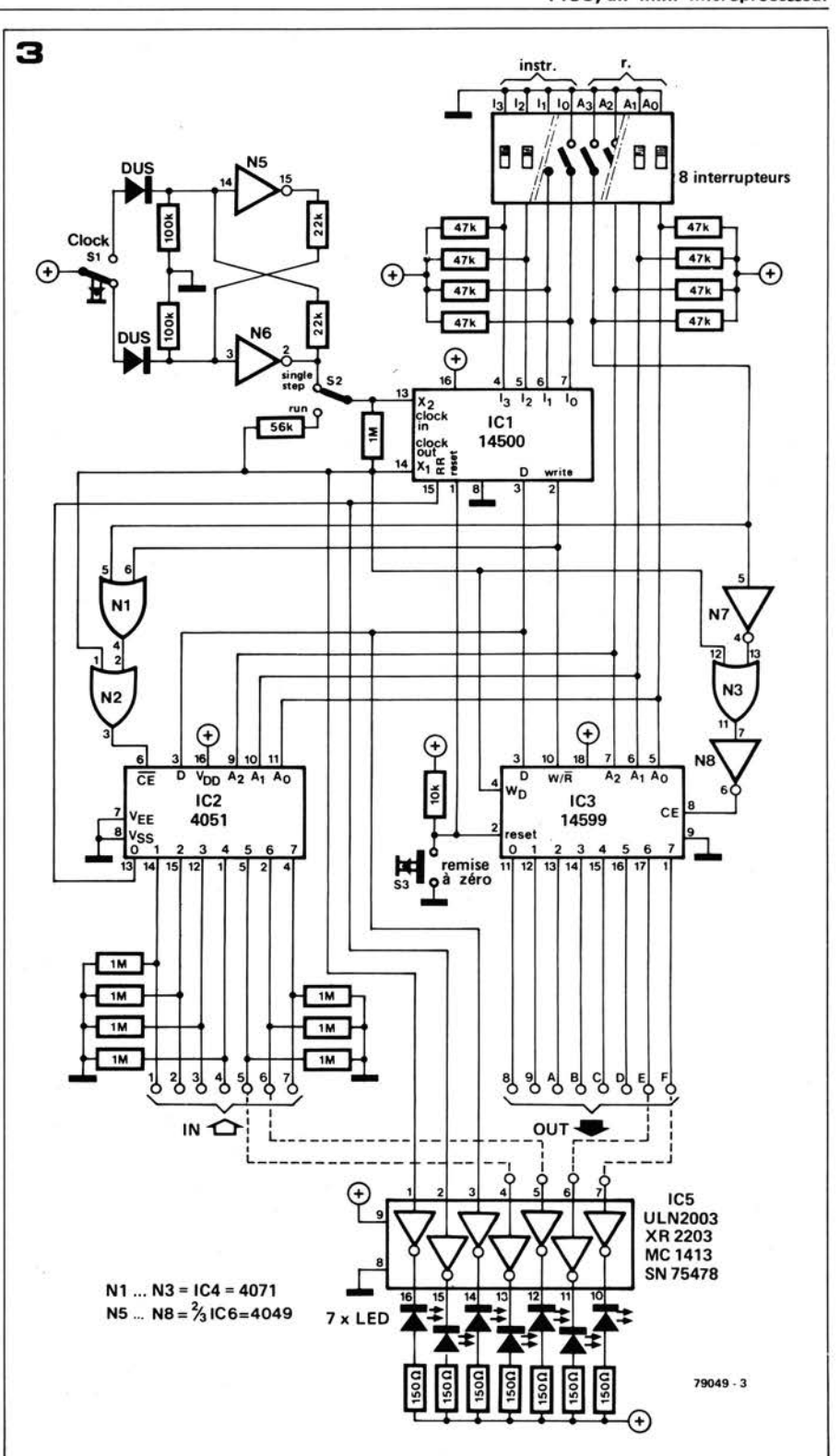
- 1) La mémoire du système indique à l'ICU qu'il doit réaliser une instruction LOAD (LD) et donne au sélecteur d'entrée l'adresse de la donnée d'entrée. La valeur logique de cette entrée est ensuite transférée (via le bus de données 1 bit de l'ICU) vers le Registre Résultat.
- 2) La mémoire fournit maintenant à l'ICU l'instruction suivante (ici l'instruction AND) pendant que le sélecteur d'entrée reçoit l'adresse de l'entrée 5. La fonction logique AND s'effectue alors entre la donnée présente sur la ligne de données de l'ICU et celle qui se trouve dans le Registre Résultat (le contenu initial du Registre Résultat est perdu).
- 3) Enfin l'instruction STORE (STO) informe l'ICU qu'il doit transférer le contenu du Registre Résultat (via la ligne de données bidirectionnelle) vers le latch de sortie 9, dont le sélecteur de sortie avait l'adresse.

Mémoire programme et compteur programme

Un autre des gros avantages que présente un système construit autour de l'ICU est la possibilité d'augmenter à l'infini le nombre d'entrées et de sorties, à condition que la mémoire soit suffisamment vaste pour adresser les différentes entrées/sorties. Le compteur programme (PC) fournit à la mémoire du système l'adresse de l'instruction qui doit être exécutée. Le compteur programme comptera normalement jusqu'à sa valeur la plus élevée avant de repasser à zéro, puis recommencer. Aussi est-il possible de 'reboucler' un programme en exécutant de façon répétitive la séquence des instructions.

Description d'un système minimum construit autour de **I'ICU**

Nous trouvons, en figure 3, le schéma d'un système minimum, réalisé sur la base du schéma synoptique de la figure 2. Le système dispose de 8 entrées et de 8 latches de sortie. Le circuit intégré IC3 est un circuit multiplexeurdémultiplexeur, qui, de même que l'ICU possède une ligne de données bidirectionnelle. Aussi est-il possible à l'ICU, non seulement d'inscrire des données dans un latch de sortie, mais encore de les extraire. L'instruction que l'on veut voir réaliser, ainsi que l'adresse de la donnée sur laquelle porte cette instruction, sont données au moven d'un interrupteur Dual In Line. Dans ces conditions il est nécessaire de générer manuellement les signaux d'horloge, en agissant sur le bouton poussoir S1. Il faut évidemment s'assurer que l'on envoie bien une seule impulsion d'horloge à la fois, sinon l'ICU exécuterait une instruction particulière



LEDs l'état du Registre Résultat, de la ligne de données . . . Ces LEDs sont branchées (via des buffers) aux points les plus importants du circuit. Si l'on sent que tout part de travers, on a

Il est possible de visualiser, au moyen de

plusieurs fois d'affilée.

toujours la ressource, en agissant sur S2 (ce qui a pour effet de mettre à l'état haut la patte de remise à zéro de l'ICU) d'effacer le contenu de tous les registres et de mettre à zéro les sorties FLAG. En employant un mot adresse de 4 bits, il est possible de choisir entre 16 positions: nous avons pris, dans le cas présent, 8 entrées et 8 sorties. Le bit adresse de

poids le plus élevé, A3, est utilisé pour commander les entrées Chip Enable (CE) des circuits IC2 et IC3, ce qui permet donc de commander les lignes d'entrée et de sortie. L'emploi de A3 conjointement à celui du signal Write de l'ICU permet d'affirmer que l'un seulement des circuits IC2, IC3 ou ICU a effectivement accès, à n'importe quel moment, à la ligne de données. La conception de base du système représenté à la figure 3, est calquée de façon frappante sur celle des systèmes plus gros construits autour de microprocesseurs, et qui emploient également un bus de données et un bus d'adresses

LD A			entree 5	entrée 1	кк	Ligne de données	Horloge (X 1)	DIL	CODE	INSTRUCTION	
1 X 1 X X X AND B 0011 0101 1 X 1 X X X 0 1 1 X 1 X AND avec B		X	X	X	×	×	1	0001	0001	LD A	
1 X 1 X X X AND B 0011 0101 1 X 1 X X X 0 1 1 X 1 X AND avec B	charger A	X	×	1	×	1	0				
0 1 1 X 1 X AND avec B		X	×	×	1	×	1				
0 1 1 X 1 X AND avec B		X	×	×	1	×	1	0101	0011	AND B	
1	AND avec B		1	×	1	1	0				
		X	×	×	1	×	1				
1 X 1 X X X X STOC 1000 1001 1 X 1 X X X		X	×	×	1	×	1	1001	1000	STO C	
0 1 1 X X 1 mémoriser le	mémoriser le	1	×	×	1	1	0				
1 1 1 X X 1 résultat dans	résultat dans	1	×	×	1	1	1				

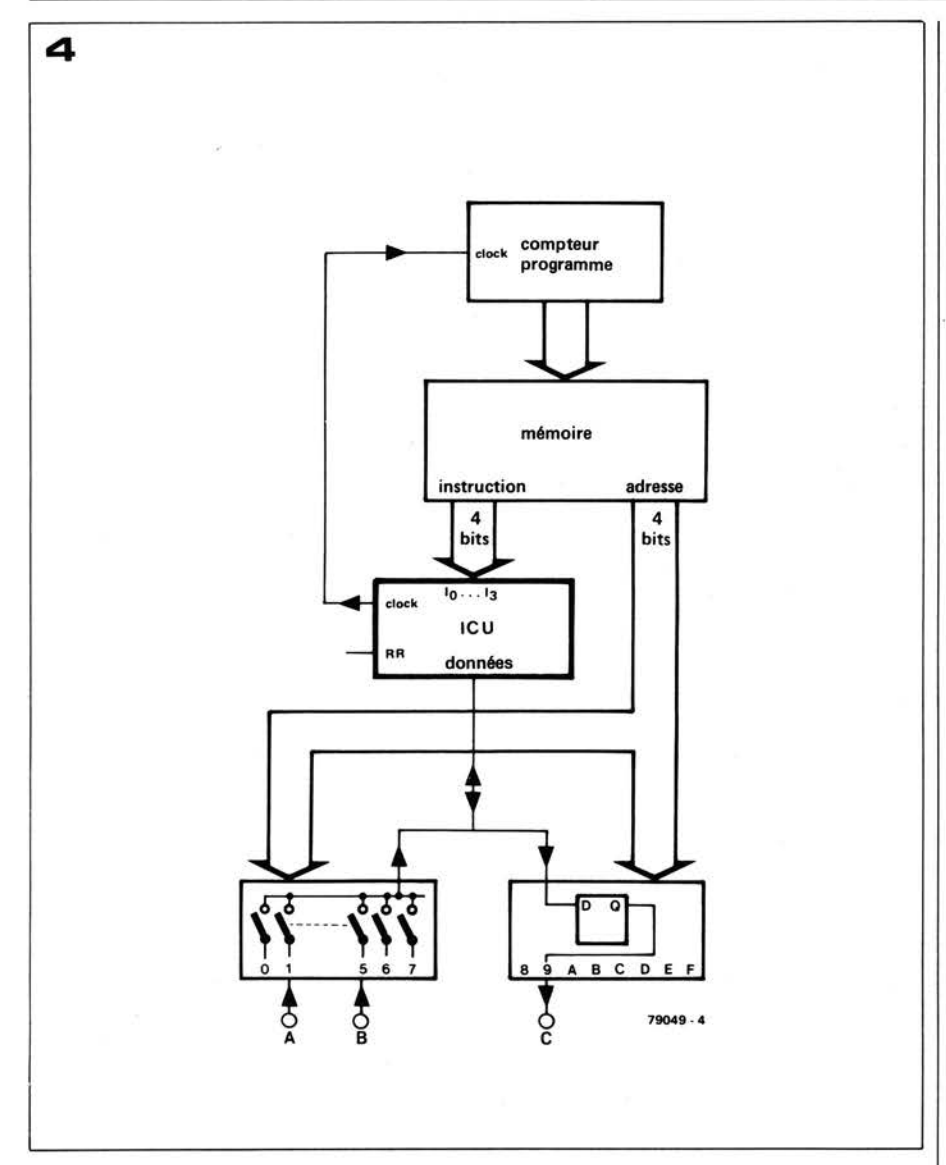


Figure 3. Schéma d'un petit système utilisant un ICU. Les impulsions d'horloge sont générées manuellement. On envoie au moyen d'interrupteurs les instructions qui doivent être exécutées ainsi que les adresses des données. Le circuit possède sept entrées (la huitième étant connectée au Registre Résultat de l'ICU) et huit latches de sortie. Une série de LEDs permet de visualiser l'état de la ligne de données, du Registre Résultat, du signal d'horloge, des entrées et des sorties sélectionnées. On peut augmenter le nombre d'entrées/ sorties en accroissant le nombre de bits adresses sur le bus adresse. Avec 8 bits adresses, on peut aller jusqu'à 256 entrées/ sorties.

Figure 4. Schéma synoptique d'un système (il s'agit même du plus petit) construit autour de l'ICU. Voyons à quoi correspondent les 'pavés' qui constituent un tel ensemble.

- L'ICU: il commande le transit des données dans le système et il exécute sur les données des opérations logiques dans son 'Registre Résultat'. Ces données se trouvent sur une ligne de données 1 bit bidirectionnelle.
- La mémoire programme: elle mémorise les instructions que doit exécuter l'ICU.
- Le compteur programme: il présente séquentiellement à l'ICU les instructions dans l'ordre où elles se succèdent.
- Les sélecteurs d'entrée et de sortie: ils décodent les adresses des opérandes qui sont en mémoire. Ils déterminent par où doivent entrer ou sortir les données.

Tableau 2. Ce tableau indique dans quel état se trouvent les LED indicatrices, à chaque étape du programme AND. Pour clarifier encore les choses et obtenir une meilleure analyse, nous avons indiqué ce que l'on obtient à chaque niveau d'horloge (haut et bas).

commun à de nombreux circuits intégrés.

Voyons maintenant, comment il est possible à tout un chacun, d'exécuter réellement, au moyen du montage pratique de la figure 3, le programme correspondant à la fonction logique AND. Ce programme, comme nous l'avons déjà vu peut s'écrire:

- 1. LOAD A
- 2. AND B
- 3. STORE C

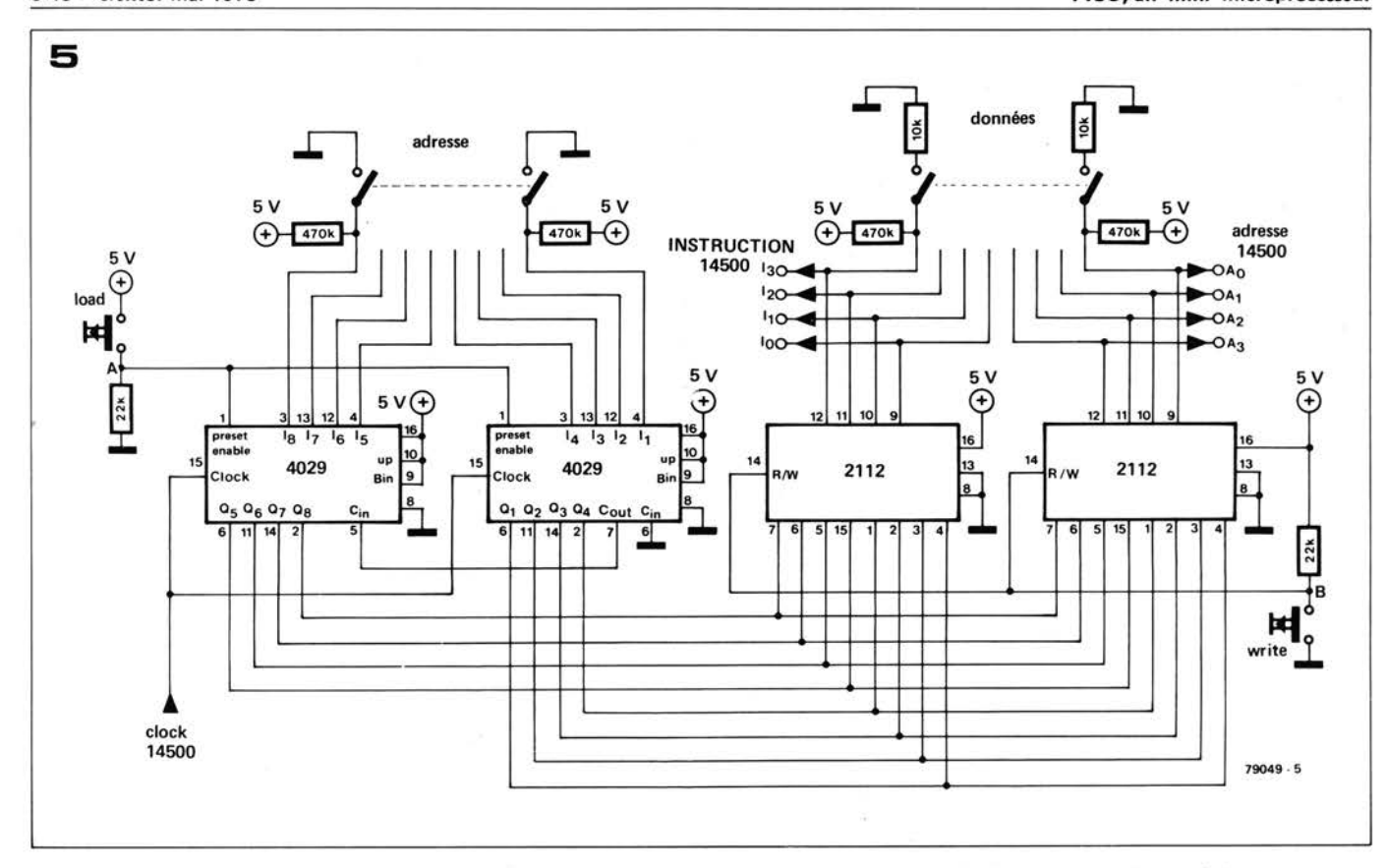
On peut trouver, en consultant dans le tableau 1 le jeu d'instructions de l'ICU, le code opération de ces instructions. Nous devons tout d'abord nous assurer que les données A et B sont bien respectivement présentes aux entrées 1 et 5 et que C doit bien être mémorisé en sortie 9. Dans ce cas les adresses de ces emplacements sont, tout simplement, les équivalents binaires de 1, 5 et 9, c'est-à-dire \$\phi\phi1\$, \$\phi1\phi1\$, \$\phi1\phi1\$, \$\phi1\$ et 1\$\phi\phi1\$. L'interrupteur DIL doit alors être positionné comme suit:

- \$\phi\phi\phi\phi\phi\$ 1 \$\phi\phi\phi\phi\$ 1 après quoi on applique une impulsion d'horloge (le contenu A est alors transféré dans RR)
- 2) \$\phi 01 01 01 après quoi on applique une impulsion d'horloge (A \cdot B = C)

 1000 1001 après quoi on applique une impulsion d'horloge (C est transféré en sortie 9)

Voyons, pas à pas, comment celà se passe:

Les quatre interrupteurs DIL de droite sont positionnés sur l'adresse binaire \$\partial 0 1; ce qui fait qu'à la prochaine impulsion d'horloge, l'entrée 1 de IC2 sera reliée à la ligne de données de l'ICU. Portons, par exemple au moyen d'un fil, cette entrée au niveau logique '1'. Ensuite les quatre interrupteurs DIL de gauche sont positionnés sur le code instruction \$\partial 0 1 (LOAD), puis on agit sur le bouton poussoir \$1, ce qui a pour conséquence de faire passer à



l'état bas le signal d'horloge qui rentre sur la patte 14 de l'ICU, et d'éteindre la LED indicatrice de l'état du signal d'horloge. Sur le flanc descendant du signal d'horloge (qui était précédemment à l'état haut) l'ICU mémorise dans son Registre Instruction l'instruction LOAD: une fois que S1 a été relaché (ce qui fait passer le signal d'horloge à l'état haut), la donnée qui est présente sur la ligne de données est inscrite dans le Registre Résultat. Puisque la ligne de données est à l'état haut, c'est un '1' qui se place dans le Registre Résultat; la LED correspondante s'allume.

- On peut maintenant programmer sur l'interrupteur DIL la seconde instruction ($\emptyset\emptyset11 = AND$) et l'adresse de la seconde donnée. Supposons que l'on mette également l'entrée 5 à un niveau haut. Dès que le signal d'horloge passe à l'état bas, l'entrée 5 est connectée à la ligne de données et l'ICU portera l'instruction AND dans son Registre Instruction. La LED visualisant l'état de la ligne de données doit alors s'allumer. Dès qu'on relâche le bouton poussoir S1 (le signal d'horloge repasse à l'état haut), l'ICU exécute l'instruction logique, et puisque 1·1=1 le Registre Résultat contiendra un '1'
- La troisième instruction diffère légèrement des deux premières. Une fois que le code opération de l'instruction (1000 = STO) et l'adresse désirée ont été programmées sur l'interrupteur DIL et que S1 a été pressé, l'ICU exécute immédiatement l'instruction. Les seules instructions que l'ICU exécute sur les flancs de

descente du signal d'horloge sont les instructions STORE et Flag. Les instructions Flag (JMP, RTN, FLGO, FLGF) sont utilisées pour générer des signaux de contrôle externes disponibles sur les pattes 9 à 12 de l'ICU. Ces flags de sortie restent actifs durant toute une période d'horloge après le flanc de descente du signal d'horloge.

Dans le cas où l'ICU lit dans son Registre Instruction une instruction STORE, le contenu du Register Résultat est placé sur la ligne de données et la ligne Write (broche 2) est validée (elle passe à l'état haut). Dans ces conditions le bit présent sur la ligne de données est mémorisé sur la sortie appropriée (FF9). Puis, sur le flanc de montée de l'impulsion d'horloge, la ligne Write repasse à l'état haut.

Nous pouvons voir dans le tableau 2 l'état des diverses LED indicatrices, au cours des principales étapes du programme ci-dessus.

Le programme que nous venons d'étudier est un exemple simple montrant de quelle façon on programme l'ICU pour simuler une porte logique conventionnelle. Nous trouverons en figure 8 d'autres exemples de programmes simulant diverses fonctions logiques (porte AND à 4 entrées, NAND, OR, EXOR...).

Comme nous l'avons vu précédemment, l'ICU doit effectuer plusieurs opérations pour faire ce que fait très simplement une porte logique classique (à titre indicatif il faut 10 pas de programme pour réaliser la fonction exécutée par une bascule D).

C'est pourquoi l'ICU sera plus lent pour exécuter une fonction donnée. Si l'on prend, par exemple une fréquence d'horloge égale à 330 kHz, le programme ci-dessus qui simule une porte AND à deux entrées prendra approximativement 10 µs. Il faut cependant voir que, si l'ICU est effectivement plus lent qu'une porte classique, il est aussi beaucoup plus souple puisque, par simple programmation, il peut réaliser un grand nombre de fonctions distinctes.

La possibilité d'exécuter le programme, instruction par instruction, est d'un intérêt primordial pour le débutant qui veut se familiariser avec la programmation des microprocesseurs. Une telle façon de procéder prend évidemment du temps. En particulier, il est beaucoup plus intéressant (dès que l'on aborde des programmes plus longs) de mettre en mémoire les instructions du programme et d'utiliser un compteur programme qui assurera la lecture séquentielle des instructions et des données: c'est ce que représente le schéma synoptique de la figure 4. Les impulsions d'horloge peuvent provenir de l'oscillateur interne de l'ICU, la fréquence pouvant atteindre 1 MHz (c'est-à-dire une instruction par

Le schéma d'un tel système est donné à la figure 5. Les instructions et les adresses sont rentrées manuellement dans deux RAM (du type 2112) de 256 mots de 4 bits. Le compteur programme, formé de deux 4029 (compteurs prépositionnables) compte de \$\phi\phi\phi\ jusqu'à 256 avant de repartir de \$\phi\phi\phi\. Ce compteur est incrémenté de un à chaque impulsion d'horloge; son rôle est de fournir à l'ICU le contenu de l'emplacement mémoire correspondant. Ainsi les instructions du programme

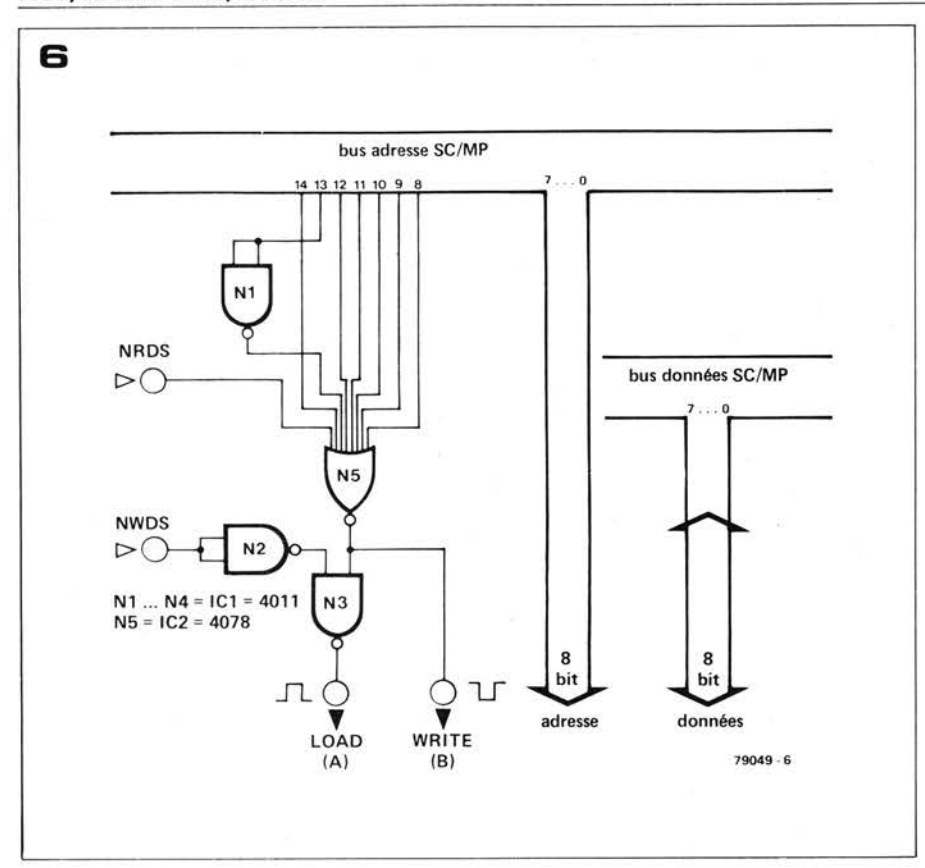


Figure 5. Un tel système peut tourner tout seul dès lors qu'on lui connecte une mémoire et un compteur programme. Les programmes sont exécutés au rythme de l'oscillateur d'horloge interne à l'ICU. Dans le cas du montage de la figure 3, cette fréquence avoisine les 300 kHz (on peut donc utiliser n'importe quelle version de 2112).

Figure 6. Il est simple de réaliser une interface entre l'ICU et le SC/MP. En étant soigneux, on peut se servir des supports de circuits intégrés sur lesquels viennent se mettre les interrupteurs DIL, en guise de connecteurs. L'adresse de la mémoire du système ICU va de 2000 à 20FF: ceci est dû à la présence de l'inverseur dans la ligne adresse 13.

sont exécutées dans un ordre correct. Voici comment on mémorise les instructions composant le programme: le contenu de la mémoire est tout d'abord effacé en fermant l'interrupteur DATA, en plaçant sur la position 'run' l'interrupteur S2 de la figure 3 et en appuyant sur l'interrupteur 'write'. On inscrit donc dans tous les emplacements mémoire un 'Ø' logique. Dans ce cas là, toute la mémoire est effacée en, approximativement, 1 ms puisque la fréquence d'horloge (déterminée par la résistance externe de 56 k) est de 330 kHz.

On arrête ensuite l'oscillateur d'horloge en plaçant l'interrupteur S2 de la figure 3 en position 'single step' (c'est-àdire 'pas à pas'). La première instruction du programme, accompagnée de l'adresse de l'opérande est maintenant placée sur les lignes de données des mémoires 2112, puis mémorisée en pressant simplement l'interrupteur 'write'. Une impulsion d'horloge est alors générée manuellement, incrémentant par là même le compteur programme en prévision de la prochaine instruction.

Une fois que toutes les instructions ont été mémorisées, on peut lancer le programme en mettant l'interrupteur S2 en position 'run'. On peut également générer manuellement les impulsions d'horloge, exécutant ainsi le programme instruction par instruction, ce qui permet de vérifier l'état des diverses LED. C'est pour simplifier cette façon de procéder qu'il a été inclus un second interrupteur DIL et un bouton nommé 'load'.

On sait maintenant que quand on rentre un programme, le compteur programme est incrémenté de un à chaque instruction; ainsi à un programme contenant par exemple 5 instructions, correspondra un contenu du compteur programme égal à \$\partial 05. Si l'on veut exécuter manuellement le programme, il faudra générer 256 - 5 = 251 impulsions d'horloge avant que le compteur programme se repositionne au début du programme. Tout celà devient facultatif dès lors que l'on se sert de l'interrupteur DIL et du bouton 'load'. Il suffit maintenant d'afficher sur l'interrupteur DIL l'adresse de la première instruction (par exemple 0000 0001), puis de presser le bouton 'load'. Le compteur programme est alors positionné à cette

Il est possible de visualiser à tout instant le contenu du compteur programme et celui de la mémoire en rajoutant des LED supplémentaires accompagnées de leurs buffers (ULN 2003). On peut également, si on le souhaite, utiliser des afficheurs sept segments - ou mieux encore connecter tout l'ensemble à un système à microprocesseur existant: on voit à la figure 6 le schéma d'une interface simple qui permet d'associer l'ICU au SC/MP. On se sert alors des afficheurs et du clavier du SC/MP pour lire et écrire les données transitant dans l'ICU. Dans ces conditions il est également possible, en utilisant le programme de chargement cassette du SC/MP, de mettre un programme de l'ICU sur bande magnétique. L'ICU est une extension utile du SC/MP, puisqu'il peut accomplir certaines tâches de commande simples, libérant ainsi le microprocesseur pour d'autres opérations plus complexes.

Instructions de validation. IEN et OEN.

Avant de procéder à l'étude d'un exemple de programme qui peut 'tourner' sur le système décrit ci-dessus, il est tout d'abord nécessaire de jeter un coup d'oeil à deux instructions de l'ICU qui sont d'une importance capitale: il s'agit des instructions IEN et OEN. Il est possible, dans tout système à microprocesseur d'effectuer des sauts conditionnels; c'est-à-dire qu'en fonction du résultat d'un test, le processeur peut sauter un certain nombre d'instructions. Le microprocesseur est alors apte à prendre des décisions logiques. Par exemple: si le signal A est à l'état haut, la lampe rouge doit s'allumer, sinon c'est la lampe verte qui doit l'être. Une façon habituelle de résoudre ce problème est de tester dans quel état logique se trouve le signal A; suivant le résultat du test, le processeur continuera normalement à dérouler ces instructions (à savoir que le compteur programme, qui est incrémenté de un, charge l'adresse de l'instruction qui suit immédiatement la précédente), ou alors le processeur réalisera un saut jusqu'à une autre partie du programme (dans ce cas le compteur programme n'est pas incrémenté de un, mais par exemple de 10, 100 ou toute autre valeur). La partie du programme qui a été sautée contient l'instruction 'allumer la lampe rouge et éteindre la lampe verte' alors que la partie du programme que va exécuter le processeur contient l'instruction 'éteindre la lampe rouge et allumer la lampe verte'.

Un microprocesseur, qui exécute un tel saut, a une conception de circuit

Tableau 3

Ligne	Instr.		hex	binaire	е	
no.						
01	ORC	RR	60	0110	0000	forcer '1' dans RR
02	IEN	RR	AØ	1010	0000	entrées validées
03	OEN	RR	BØ	1011	0000	sorties validées
04	LD	C1	11	0001	0001	charger '1'
05	XNOR	B1	7E	Ø111	1110	EXNOR avec le premier bit du compteur
06	STOC	B1	9E	1001	1110	mémoriser le résultat dans le premier bit du compteur
07	AND	C1	31	0011	0001	générer la retenue
08	STO	C2	8F	1000	1111	mémoriser la retenue dans la mémoire bloc-notes
09	XNOR	B2	7D	0111	1101	EXNOR de la retenue précédente avec le second bit du compteur
10	STOC	B2	9D	1001	1101	mé:noriser le résultat dans le second bit du compteur
11	AND	C1	3F	0011	1111	générer la nouvelle retenue
12	STO	C2	8F	1000	1111	mémoriser la nouvelle retenue dans la mémoire bloc-notes
13	XNOR	B3	7C	Ø111	1100	
14	STOC	B3	9C	1001	1100	
15	AND	C2	3F	0011	1111	
16	STO	C3	8F	1000	1111	
17	XNOR	B4	7B	Ø111	1011	
18	STOC	B4	9B	1001	1011	
19	AND	C3	3F	0011	1111	
20	STO	C4	8F	1000	1111	Α
21	XNOR	B5	7A	0111	1010	
22	STOC	B5	9A	1001	1010	
23	AND	C4	3F	0011	1111	
24	STO	C5	8F	1000	1111	
25	XNOR	B6	79	0111	1001	
26	STOC	B6	99	1001	1001	
27	AND	C5	3F	0011	1111	
28	STO	C6	8F	1000	1111	
30	XNOR		78	0111	1000	
31	STOC	B7	98	1001	1000	NOTIFICATION OF THE PROPERTY O
32	ANDC	RR	40	0100	0000	forcer '0' dans RR
33	IEN	RR	AØ	1010	0000	déconnecter les entrées
34	OEN	RR	BØ	1011	0000	déconnecter les sorties

beaucoup plus compliquée que celle de l'ICU, aussi est-il nécessaire d'aborder le problème d'une autre façon. La solution retenue est la suivante: l'ICU va exécuter séquentiellement son programme, et suivant le résultat du test, on l'empêchera ou non d'exécuter un bloc d'instructions. Tel est le rôle des instructions IEN et OEN qui agissent sur les données entrant dans l'ICU ou allant de l'ICU vers un dispositif de sortie. Elles valident ou non les données en entrée ou en sortie.

IEN

Cette instruction donne l'ordre à l'ICU de mémoriser la donnée qui se situe sur la ligne de données dans son 'registre de validation d'entrée'. Si ce registre est chargé avec un 'Ø' logique, toutes les données qui vont se présenter à l'entrée de l'ICU seront interprétées comme étant des 'Ø' logiques, et ceci jusqu'à ce que le registre IEN soit chargé avec un '1' logique (par une instruction ultérieure IEN). Il faut noter qu'une instruction LDC ou ORC aura comme effet de charger le Registre Résultat avec un '1' logique et ceci sans tenir compte de l'état des entrées. Il est donc recommandé de faire attention à ce que l'on fait lorsqu'on manipule l'instruction IEN.

OEN.

Cette instruction est semblable à l'instruction IEN. L'ICU place la donnée qui se trouve sur la ligne de données

dans son 'registre de validation de sortie'. Si ce registre est chargé avec un 'Ø' logique, le signal 'write' provenant de l'ICU est inhibé, mettant ainsi hors service le dispositif de sortie.

Une fois que ce registre OEN a été chargé avec un 'Ø' logique, les sorties du système ne se modifieront pas jusqu'à ce qu'apparaisse une instruction OEN qui charge un '1' logique dans le registre OEN. C'est ainsi que l'ICU peut effectivement sauter des blocs entiers d'instructions.

La figure 7a donne l'exemple d'un

programme avec saut conditionnel, qui utilise une instruction OEN. La donnée A est tout d'abord chargée dans le Registre Résultat, et le complément de A est chargé dans une mémoire de type bloc-notes. L'instruction OEN réalise le test 'A = '\varphi'. Si A est effectivement égal à '0', l'instruction OEN fait que les instructions 4 et 5 sont inhibées et par conséquent sautées. La seconde instruction OEN porte sur le complément de A (qui est dans ce cas égal à un '1' logique); le signal 'write' est alors validé et les instructions 7 et 8 sont exécutées. Si A n'était pas égal à un 'Ø' logique mais à un '1' logique, les instructions 4 et 5 auraient été exécutées, alors que les instructions 7 et 8 auraient été ignorées. Quand on place à l'état logique haut la

Quand on place à l'état logique haut la patte de remise à zéro générale (RST), tous les registres, y compris les registres IEN et OEN sont effacés (ils contiennent Ø). Par conséquent, il est nécessaire, au début de tout programme, de charger les registres IEN et OEN avec un '1' logique. Celà peut être un problème puisque nous ne sommes pas certains de la présence à l'une des entrées d'un '1' logique. Il est cependant possible en utilisant l'instruction ORC et le Registre Résultat de forcer un '1' logique dans le Registre Résultat (puisque la donnée qui est inversée et combinée dans un OR avec le contenu du Registre Résultat est celle que contenait initialement le Registre Résultat; l'un ou l'autre signal est obligatoirement égal à un 'l' logique, RR ou RR = 1). Le registre IEN peut alors être chargé au moyen de l'instruction IEN RR.

Tout programme doit donc commencer par les trois instructions suivantes:

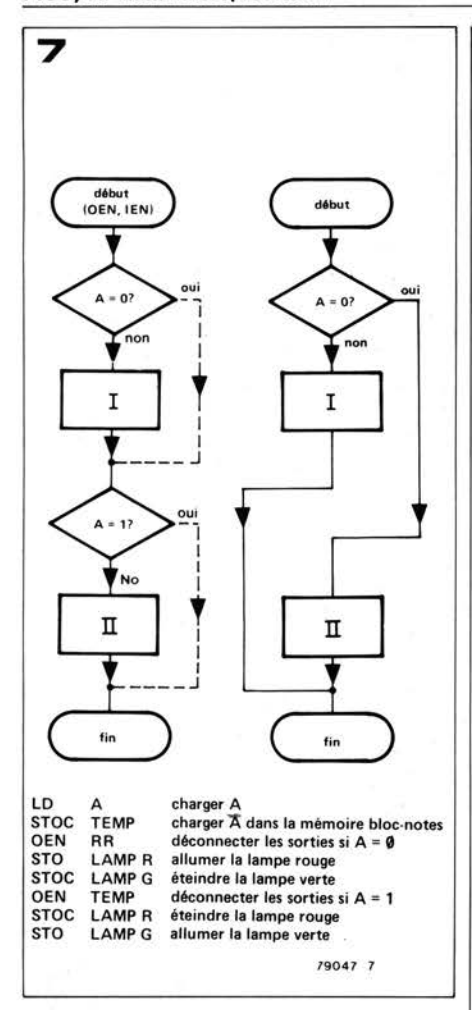
ORC RR

IEN RR

OEN RR

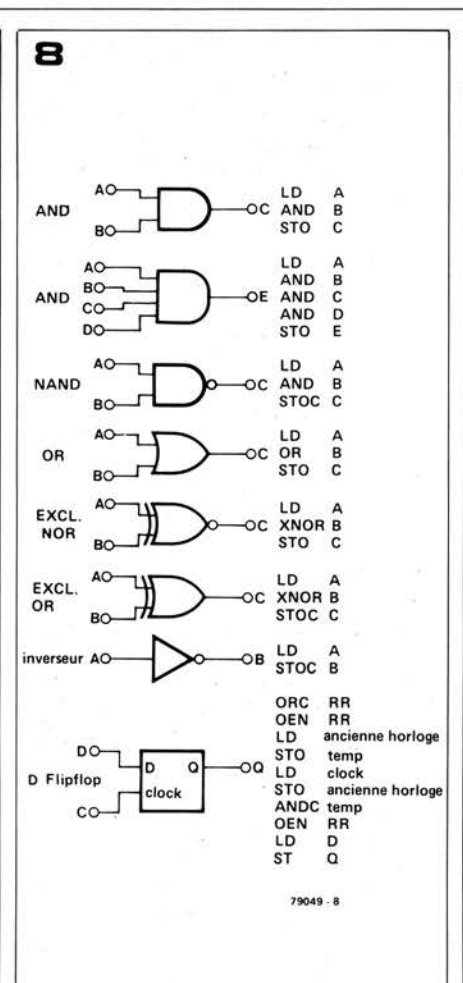
(dans le système minimum que nous avons décrit, le Registre Résultat est connecté à l'entrée 0, c'est-à-dire à l'adresse 0000).

Il est aussi plus prudent de terminer chaque programme en chargeant un 'Ø' logique dans les registres IEN et OEN. Celà évite en effet que l'ICU exécute des instructions qui seraient placées en mémoire à la suite du programme que l'on veut exécuter. Le sous-programme approprié est ANDC RR (qui a pour effet de charger 'Ø' dans le Registre Résultat); cette instruction doit être suivie par OEN RR et IEN RR.



Exemple de programme qui tourne sur l'ICU

Le tableau 3 donne le listing d'un exemple de programme qui peut tourner sur le système de base qui a été décrit précédemment. Le circuit intégré IC3 est utilisé comme un compteur. Chaque fois que le programme, qui comprend 34 pas, est exécuté le contenu du compteur est incrémenté de un. Le compteur comprend huit étages; cependant un bit est utilisé comme mémoire bloc-notes destinée à mémoriser le bit de retenue, de sorte que la capacité maximale de comptage n'est que de $2^7 = 128$. Si l'on considère que la fréquence d'horloge est grossièrement égale à 300 kHz et que le compteur programme va jusqu'à 256 avant de repartir de 000, le programme exécutera alors une boucle complète (le compteur sera donc incrémenté de un) approximativement toutes les 0,9 ms $(256 \times 3.3 \mu s)$. La LED 8 visualise le contenu du bit 8 du compteur; elle clignotera donc toutes les $128 \times 0.9 \text{ ms} = 109 \text{ ms}, \text{ ce qui}$ correspond à une fréquence qui est légèrement inférieure à 10 Hz. Le compteur est incrémenté de la façon suivante: quand on additionne deux bits, on ne peut avoir que quatre possibilités: $\emptyset + \emptyset = \emptyset$, $1 + \emptyset = 1$, $\emptyset + 1 = 1$, $1 + 1 = \emptyset$ avec dans ce dernier cas la génération d'une retenue. La fonction logique représentée par la table de vérité ci-dessus peut être simulée au



moyen d'une instruction XNOR, qui ne génère un '1' en sortie que si et seulement si les deux entrées sont identiques. Il faut faire suivre l'instruction XNOR par l'instruction STOC qui a pour effet d'inverser le résultat. La retenue est générée en utilisant une instruction AND, puisqu'il n'y a retenue que si le résultat de la fonction XNOR est égal à un '1' logique et si l'une des deux entrées est aussi égale à un '1' logique. L'addition est effectuée avec un bit du compteur qui est combiné avec la retenue venant de l'addition précédente. Au début du comptage, il n'y a aucune retenue provenant du bit précédent, de telle sorte qu'il faut qu'un '1' logique soit présent à l'entrée 1. S'il y avait un 'Ø' logique à cette entrée, le circuit ne ferait qu'additionner des zéros; la sortie du compteur n'évoluerait jamais! L'opération exécutée par le programme peut être traduite par les équations suivantes:

$$S_n = B_n + C_n$$
 et $C_{n+1} = \overline{S_n} \cdot B_n$

(où S représente la somme, B le bit, C la retenue et où n peut varier de 1 à 7). Alors

Bit 1 '1'
$$\frac{+\text{Retenue 1}}{\text{Somme 1}} = 0$$

Retenue 2 =
$$\frac{\overline{\text{Somme 1}} \cdot \text{Bit 1}}{= '\emptyset' \cdot 1}$$

= '1' \cdot '1'

Figure 7. Ces deux organigrammes illustrent bien par quel procédé l'ICU réalise des sauts conditionnels. Supposons que le dit programme contienne deux blocs d'instructions numérotés I et II. Un microprocesseur classique sauterait tout simplement un bloc d'instructions en forçant dans son compteur programme l'adresse où il doit se rendre. L'ICU, lui, déroule toutes les instructions de son programme, mais en ne tenant pas compte du bloc d'instructions qu'il doit sauter.

Figure 8. L'ICU a été spécialement développé pour exécuter un grand nombre de fonctions logiques. Toutes les portes logiques représentées ici peuvent être simulées par programme. Il est même possible, comme le montre l'exemple de la bascule D de réaliser des opérations logiques relativement complexes.

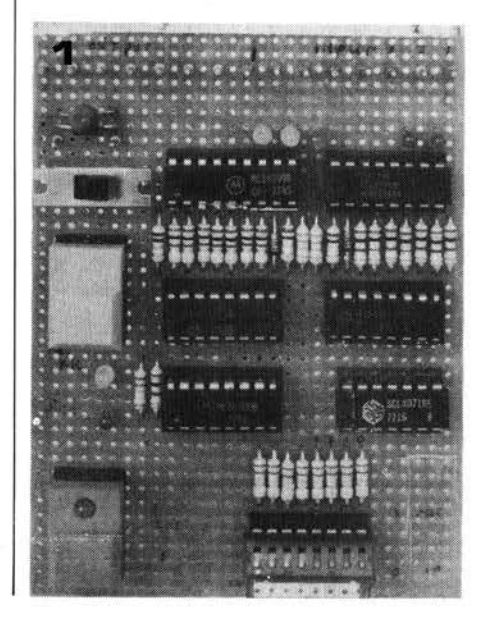
Photo 1. Prototype du système minimum qui a été construit autour de l'ICU.

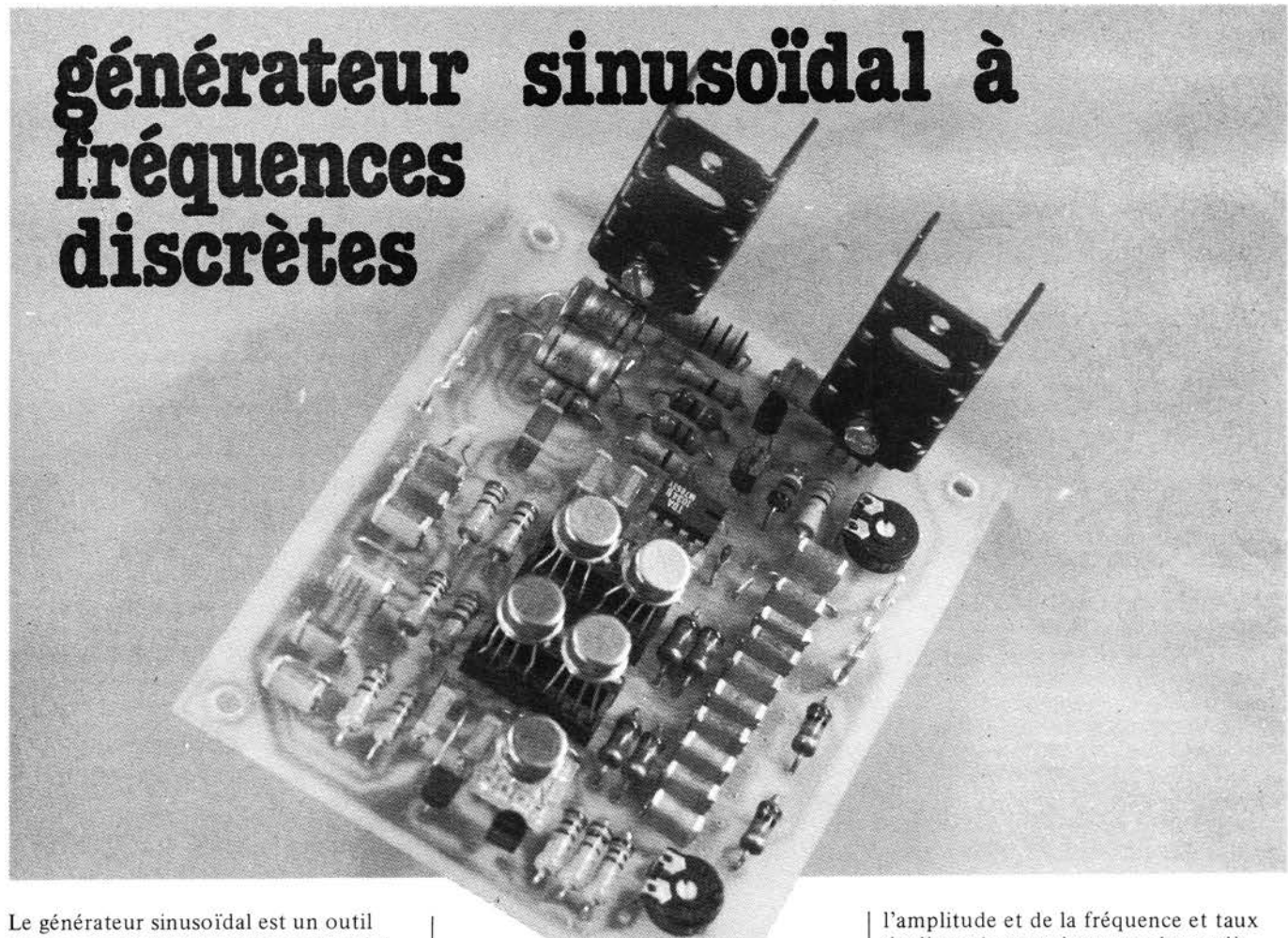
Tableau 3. Listing d'un exemple de programme qui utilise IC3 comme compteur. Le but du programme est de faire clignoter une LED.

Nous donnons en figure 8 une illustration supplémentaire de quelques courts programmes qui permettent de simuler quelques fonctions logiques classiques.

Bibliographie:

Motorola Industrial Unit Handbook. (Disponible auprès des distributeurs Motorola)





pratiquement indispensable pour celui qui entreprend de s'occuper de tests et de mesures sur des appareils électroniques. On l'utilise couramment pour relever la courbe de réponse ou mesurer le taux de distorsion d'un appareil audiofréquence. En particulier, la distorsion harmonique est considérée comme l'un des paramètres importants en ce qui concerne les performances des amplifacateurs audiofréquences, et, pour mesurer celle-ci avec une bonne précision, il est évidemment impératif que le signal appliqué à l'entrée pour faire ce relevé soit lui-même aussi peu distordu que possible. En fait, le taux de distorsion du signal sinusoïdal d'entrée doit être d'au moins un ordre de grandeur inférieur à celui qui est apporté par l'amplificateur. De plus, il est important que la fréquence de cette sinusoïde soit extrèmement stable, si on veut éviter d'être constamment obligé d'ajuster le règlage du filtre réjecteur du distorsiomètre. La stabilité de l'amplitude de la sinusoïde est d'importance secondaire dans les mesures de distorsion, mais c'est souvent un facteur fondamental dans nombre d'autres mesures qu'on peut être conduit à effectuer.

Variation continue ou fréquences discrètes?

S'il faut satisfaire simultanément les trois caractéristiques mentionnées ci-dessus, à savoir stabilité de Nombre de mesures nécessitent d'injecter un signal alternatif qui soit le plus proche possible d'une sinusoïde parfaite. Non seulement l'amplitude du signal doit être absolument stable, mais il faut aussi que le ronflement, le bruit et la distorsion harmonique soient réduits le plus possible. Le générateur sinusoïdal à fréquence unique décrit ici délivre une tension sinusoïdale dont la distorsion harmonique est inférieure à 0,0025% et dont l'amplitude est stable à moins de 0,1% près.

de distorsion extrèmement bas, celà conduit malheureusement à exclure l'utilisation d'un générateur sinusoïdal à fréquence continuement variable. Il est vrai que de tels appareils existent, mais ils sont excessivement complexes et chers, et les générateurs sinusoïdaux à variation continue de la fréquence, de haute qualité, qu'on peut trouver dans le commerce peuvent se compter sur les doigts d'une main.

Le défaut principal des générateurs sinusoïdaux à variation continue de la fréquence est l'instabilité de l'amplitude. Dans à peu près tous les cas, c'est un circuit oscillateur* qui produit la sinusoïde qu'on trouve à la sortie. Un oscillateur est essentiellement un amplificateur muni d'une réaction positive, la boucle de réaction comportant des condensateurs et des résistances câblés de façon à constituer des circuits sélectifs convenables. Dans l'exemple de l'oscillateur à pont de Wien représenté

* Afin de dissiper tout malentendu, précisons qu'un générateur sinusoïdal ne comporte pas nécessairement un oscillateur. On peut obtenir un signal sinusoïdal, par exemple, en filtrant convenablement un signal en créneau fourni par un oscillateur extérieur. Cependant, comme on va le voir, si le signal en créneau est obtenu à partir de la sortie sinusoïdale du générateur, celui-ci doit évidemment comporter un oscillateur.

Caractéristiques

Distorsion harmonique:

< 0.005%

pour: f = 40 Hz à 10 kHz

U_{sortie} ≤ 6 V cc

Charge \geq 600 Ω (sortie I)

Charge \geq 47 Ω (sortie II) valeur typique: 0,0025%, augmentant

linéairement avec l'amplitude

Stabilité de la fréquence: $\frac{a_{100}}{f_{000}}$

 $\triangle f_{osc} \leq 0.01\%$

Stabilité de l'amplitude: $\frac{\Delta A}{\Delta}$

≤0,1%

Figure 1. Principe de l'oscillateur à pont de Wien.

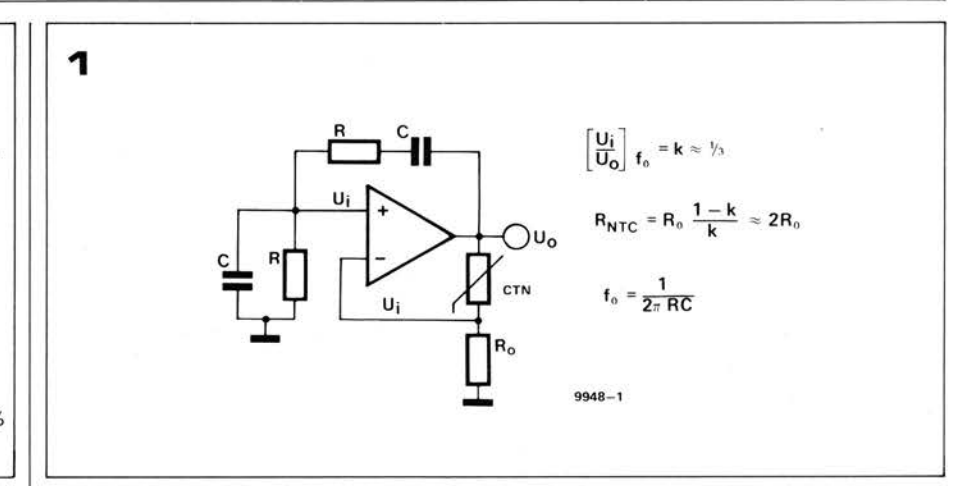
Figure 2. Schéma synoptique fondamental de l'oscillateur utilisé dans le générateur sinusoïdal à fréquence unique.

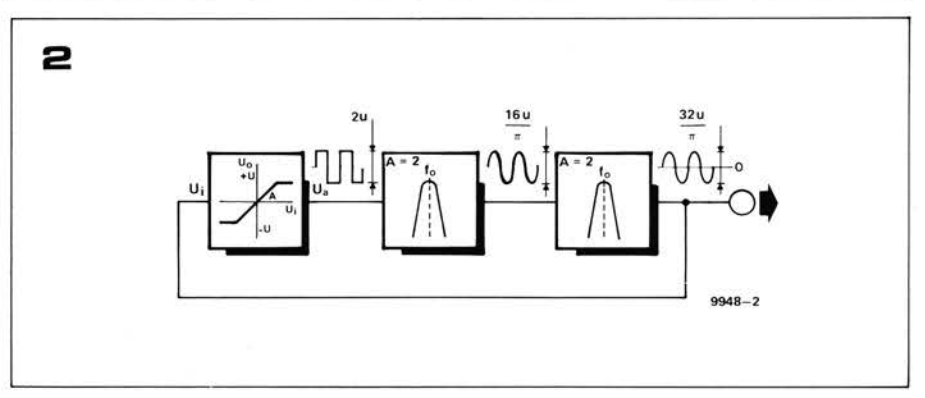
Figure 3. Courbe de réponse en fréquence pour l'amplitude (a) et la phase (b) du type de filtre passe bande utilisé dans le générateur sinusoidal à fréquence unique. Les courbes '1' correspondent à un coefficient Q faible, et les courbes '2' à un coefficient Q élevé. La réponse d'un ensemble de deux tels filtres branchés en cascade s'obtient en ajoutant point par point les réponses individuelles des deux filtres.

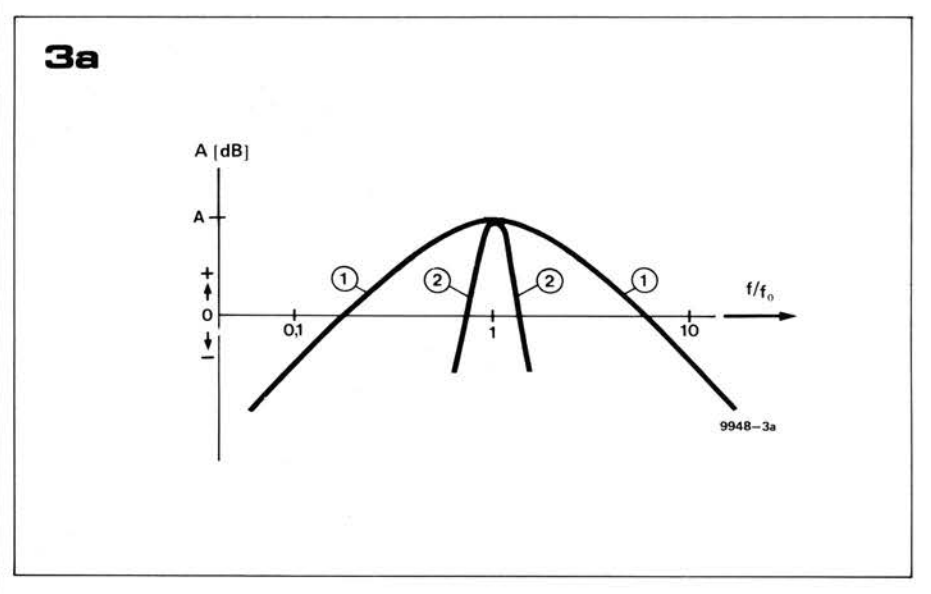
figure 1, la réaction positive est appliquée à l'entrée non inverseuse de l'ampli op par l'intermédiaire du circuit RC, alors qu'une contre-réaction est appliquée à l'entrée inverseuse, par l'intermédiaire du diviseur de tension formé par Ro et la résistance à coefficient de température négatif (thermistance CTN).

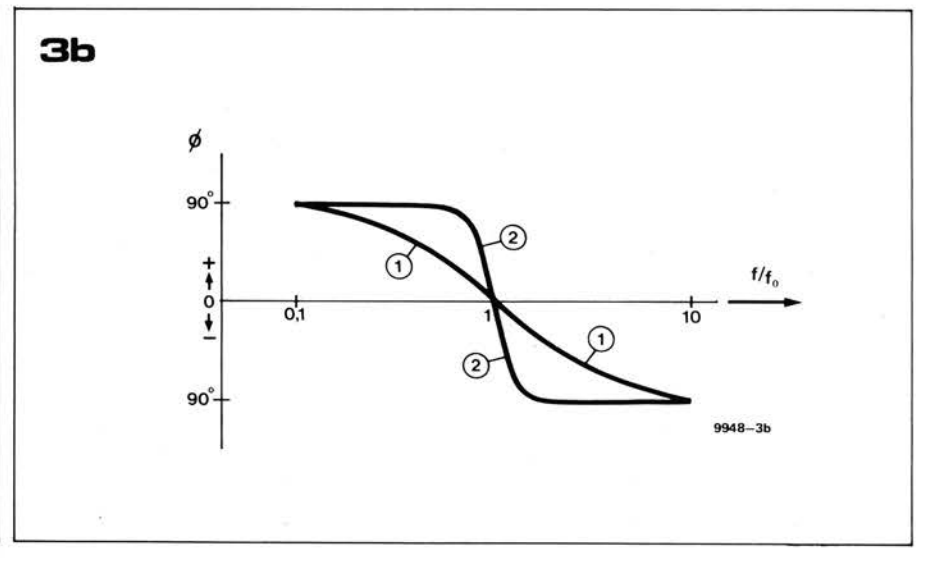
Si la contre-réaction a un taux supérieur à celui de la réaction positive, les oscillations ne seront pas entretenues, et la tension à la sortie de l'amplificateur va voir son amplitude chuter; si, par contre, c'est la réaction positive qui l'emporte, la tension à la sortie de l'amplificateur va voir son amplitude croître jusqu'à la saturation. On empêche le système de se trouver dans l'un ou l'autre de ces cas grâce à la thermistance. Celle-ci stabilise l'amplitude de la tension de sortie de la manière suivante: quand l'amplitude de la tension de sortie augmente, le courant traversant la thermistance augmente, ce qui fait augmenter sa température, et il s'ensuit une diminution de sa résistance. Ceci conduit à une augmentation du taux de contre-réaction qui entraîne automatiquement une diminution du gain de l'amplificateur. Le mécanisme inverse se produit si l'amplitude de la tension de sortie tend à diminuer; la thermistance dissipant moins de chaleur, sa résistance augmente, réduisant ainsi le taux de contre-réaction.

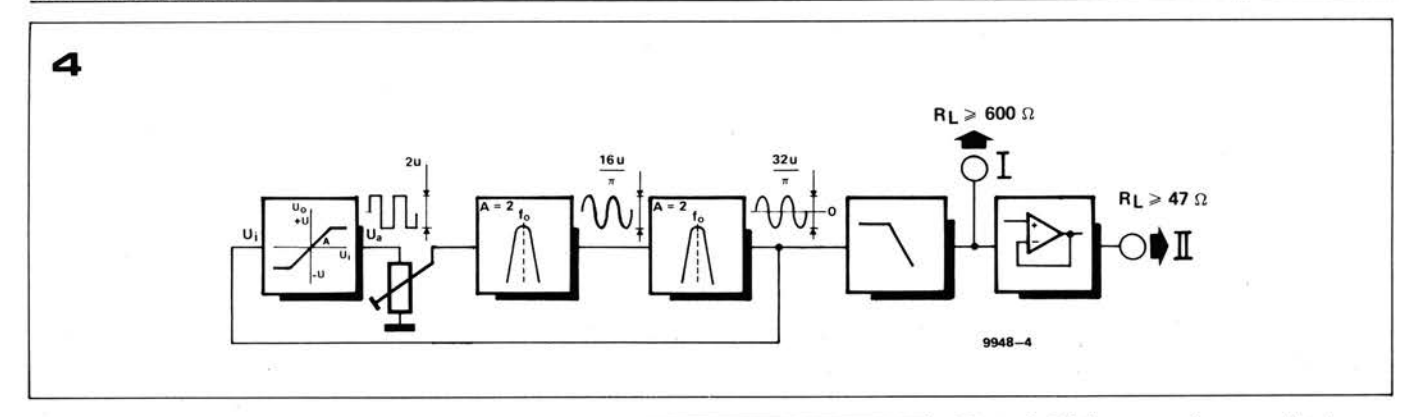
On donne aux résistances et aux condensateurs des deux bras du pont











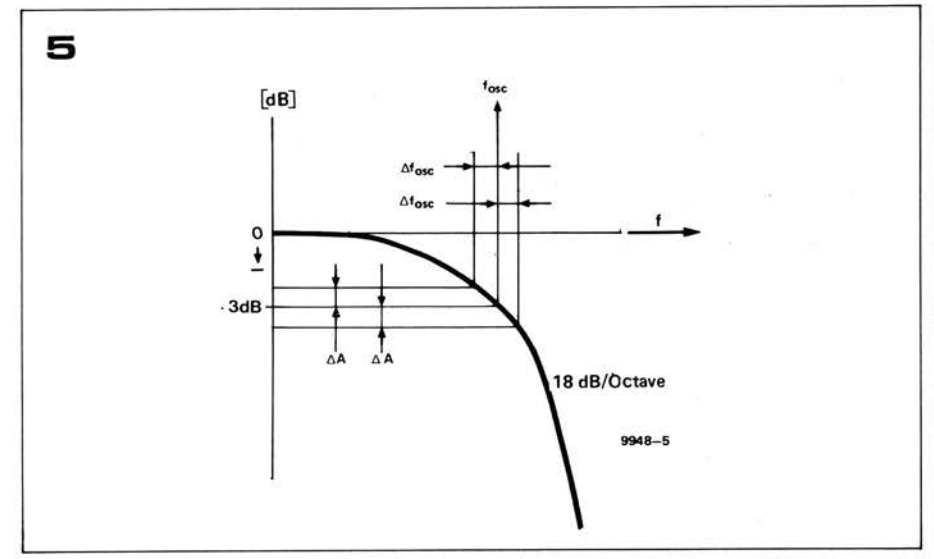


Figure 4. Schéma synoptique complet du générateur sinusoidal à fréquence unique.

Figure 5. Effets d'une variation de fréquence sur la stabilité en amplitude du générateur, compte tenu de la pente du filtre passe bas de sortie.

Figure 6. Schéma de principe complet du générateur sinusoïdal à fréquence unique.

des valeurs identiques; de cette façon, à la fréquence de résonance, fo du circuit, l'amplitude de la tension réinjectée par la boucle de réaction positive est de 1/3 de celle de la tension de sortie. Celle-ci se fixe à un niveau qui donne à la thermistance CTN une valeur double de celle de Ro. On pourrait évidemment faire varier de facon continue la fréquence de l'oscillateur, en faisant varier les constantes de temps RC des deux bras du pont, en utilisant un potentiomètre double ou un condensateur variable à deux cages. Mais il est pratiquement impossible de trouver des potentiomètres doubles ou des condensateurs variables dont les deux parties soient parfaitement apariées. Toute différence entre les valeurs des résistances et des condensateurs des deux bras du pont a pour effet de modifier le taux de réaction positive, k, ce qui a pour effet de modifier la valeur de la thermistance CTN (figure 1). Dans ces conditions, si on fait varier la fréquence de l'oscillateur, on fait aussi varier l'amplitude de la tension de sortie. Autrement dit, l'amplitude du signal de sortie pour la nouvelle fréquence (après que l'équilibre soit atteint entre la réaction positive et la contre-réaction) est différente de celle qu'on avait obtenue avant de changer de fréquence. L'ampli op n'est pas la seule source de distorsion de la sinusoïde de sortie (on peut d'ailleurs remédier à celà avec un

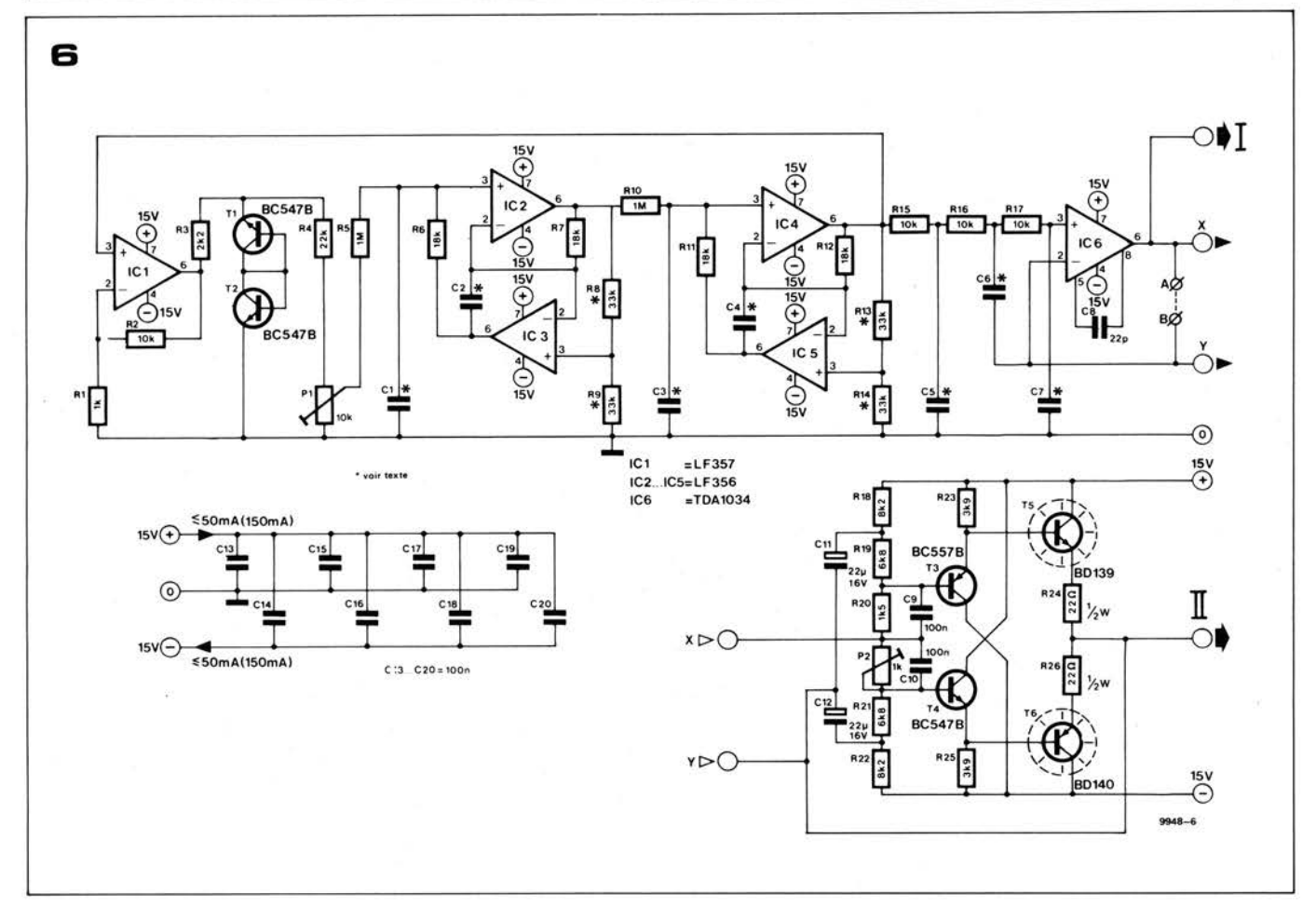
gain en boucle ouverte important); un

autre facteur contributif est le fait que la caractéristique tension/courant de la thermistance ne soit pas tout à fait linéaire. On peut d'ailleurs aussi utiliser d'autres composants pour stabiliser l'amplitude, comme par exemple une ampoule à incandescence, un réseau de diodes et de résistances, ou un transistor à effet de champ régulé en tension, mais aucun n'est parfait. Dans un grand nombre d'utilisations, les défauts mentionnés ci-dessus ne sont pas particulièrement critiques; cependant, dans les cas où la précision est nécessaire, ils sont une source d'erreurs inacceptable. Pour cette raison, la solution la plus communément adoptée est de se passer de la facilité, dont on connait l'attraction, offerte par une variation continue de la fréquence, et, à la place, d'utiliser un oscillateur ne possédant que quelques fréquences, parmi lesquelles le choix se fait par commutation. Ceci revient fondamentalement à avoir une série d'oscillateurs individuels, chacun étant accordé de façon optimale sur une seule fréquence. C'est une manière élégante de résoudre le problème de la stabilité de l'amplitude qui s'attache diaboliquement aux oscillateurs à variation continue de la fréquence. Si on considère qu'un générateur sinusoïdal à variation continue de la fréquence de haute qualité coûte aux environs de 5000 à 6000 F, alors que, par contre, un oscillateur sinusoïdal à fréquence unique peut être construit pour moins de 100 F, et que, de plus,

on n'utilise habituellement que quatre ou cinq fréquences pour les mesures de distorsion harmonique, il est évident qu'un générateur à fréquences discrètes représente une approche très rentable.

Générateur sinusoïdal à fréquence unique

Le fonctionnement du circuit est illustré par le schéma synoptique de la figure 2. Un créneau symétrique est envoyé sur des circuits sélectifs branchés en cascade (dans la figure 2, on a une cascade de deux filtres). Ces filtres éliminent les harmoniques contenues dans le signal en créneau, ne laissant que le signal fondamental sinusoïdal à peu près pur. On utilise ensuite ce signal sinusoïdal pour déclencher le générateur du créneau dont il dérive. On limite l'amplitude de la sinusoïde à la valeur ± u avant de la réinjecter à l'entrée du générateur de créneau, de façon à entretenir les oscillations. En fait, pour que ceci se produise, deux conditions doivent être remplies: d'abord, les signaux d'entrée et de sortie doivent être en phase; ceci signifie que le déphasage introduit par les filtres doit être 0°, 360°, ou un multiple de 360° (on néglige le déphasage apporté par le circuit limiteur). Deuxièmement, le gain en boucle du système à la fréquence d'accord, fosc, doit être supérieur à 1. Ce gain est le produit de ceux du circuit limiteur, des filtres, et de l'amortissement apporté par



l'atténuateur qu'on peut être conduit à inclure dans le système. Dans le schéma de la figure 2, les fréquences centrales des deux circuits sélectifs sont identiques, et par suite fosc = fo. Le signal de sortie du circuit limiteur n'est pas un signal carré parfait, le circuit n'ayant pas un gain infini. A strictement parler, le signal de sortie est une sinusoïde écrêtée, qui ressemble plus à un trapèze symétrique qu'à un carré. Ceci n'est pas grave, cependant, car ce type d'onde a moins d'harmoniques à éliminer qu'un signal carré parfait. La figure 3a montre la courbe de réponse amplitude/fréquence du type de filtre utilisé dans le circuit, tandis que la courbe de la figure 3b est la réponse phase/fréquence de ce filtre. La courbe de réponse globale de plusieurs filtres connectés en cascade peut être obtenue en ajoutant point par point les réponses individuelles de chaque filtre. La fréquence de résonance du système est celle pour laquelle la courbe de réponse phase/fréquence globale coupe l'axe des fréquences. Si les deux circuits sélectifs ont des fréquences centrales légèrement décalées, fo1 et fo2, la fréquence de résonance fosc de l'ensemble est égale à √f₀₁ • f₀₂. Les valeurs d'amplitudes indiquées figure 2 supposent que le signal de sortie du limiteur est un signal carré parfait et que le gain des circuits sélectifs à la résonance est égal à 2. La suppression des harmoniques par les filtres est expliquée dans l'appendice 2 à la fin de cet article.

Le circuit

La figure 4 montre le schéma synoptique du générateur sinusoïdal à fréquence unique complet, et la figure 6 montre le schéma du circuit correspondant. En plus des éléments de la figure 2, le schéma synoptique de la figure 4 comporte un atténuateur variable (sous la forme d'un potentiomètre), un filtre passe bas et un étage tampon en sortie.

En plus de son rôle dans la variation de l'amplitude de la tension de sortie, le potentiomètre remplit une deuxième fonction. S'il n'y avait pas à ce point du système un organe de réglage du niveau du signal, on courrait le risque de saturer les filtres par un signal d'entrée trop intense, ce qui leur ferait écrêter le signal de sortie.

L'étage tampon de sortie assure au générateur, même dans des conditions de charge sévères, un signal de sortie peu distordu. C'est une démarche évidente que de combiner l'étage tampon de sortie et un filtre passe bas dont la pente est de 18 dB/octave, ce dernier ne nécessitant que trois résistances supplémentaires et autant de condensateurs. Si la fréquence de coupure de ce filtre est calculée pour coïncider à peu près avec la fréquence de l'oscillateur, on obtient une suppression encore meilleure des harmoniques sans trop perdre en niveau de tension et sans trop affecter la stabilité de l'amplitude du signal de sortie. Ce dernier point peut nécessiter

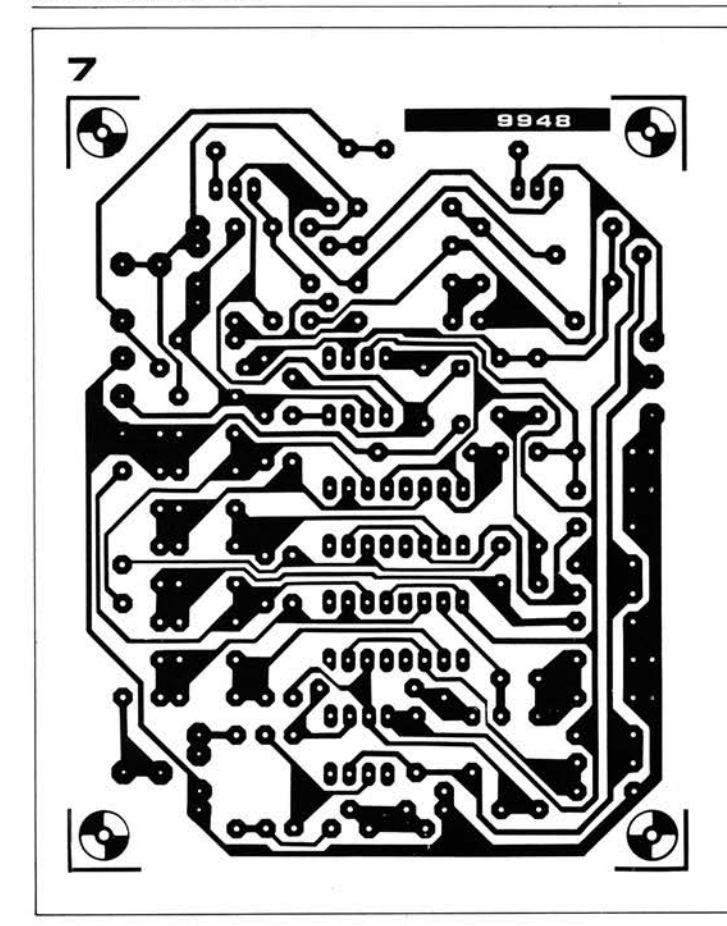
quelques explications complémentaires, s'appuyant sur la figure 5. Si on suppose que la fréquence de l'oscillateur peut varier de $\pm \Delta f_{OSC}$ (la stabilité en

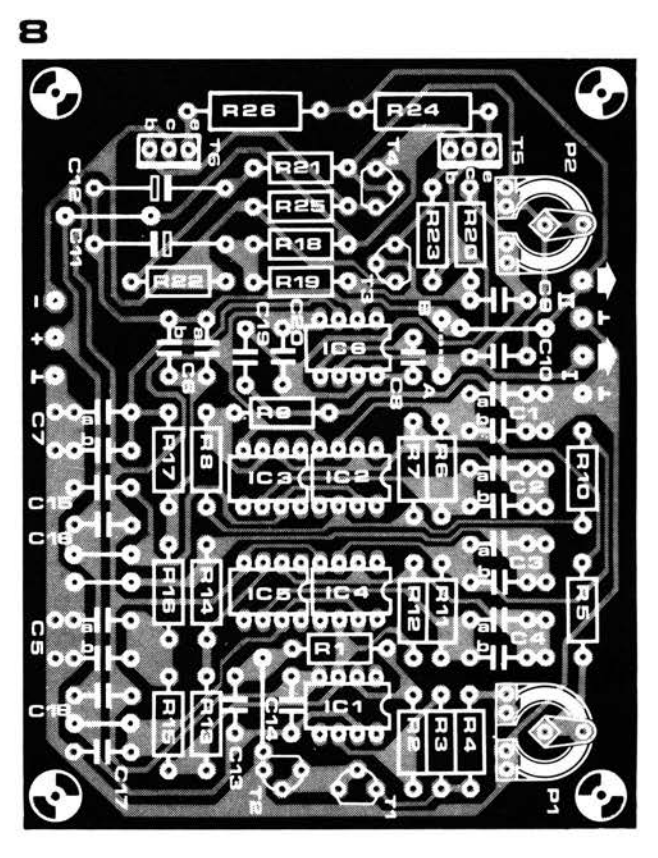
fréquence est alors $\frac{\Delta f_{OSC}}{f_{OSC}}$ x 100%),

l'amplitude du signal à la sortie du filtre passe bas varie alors de \pm ΔA ; aux variations d'amplitude dues à l'oscillateur lui-même, s'ajoutent ainsi, pour la tension de sortie du générateur, les variations d'amplitude dues au glissement de fréquence. Heureusement, compte tenu de l'extrème stabilité de l'oscillateur, et de la variation relativement graduelle de la pente du filtre au point -3 dB, cet effet est en pratique peu important. Le schéma du circuit du générateur sinusoidal à fréquence unique est représenté figure 6.

Le circuit limiteur comporte IC1, qui a un gain de 11, R3 et l'ensemble (T1, T2) connecté comme deux diodes zener symétriques. La tension trapézoïdale développée à la jonction de R3 et R4 est atténuée par le pont (R4, P1), et est envoyée sur le premier circuit sélectif, constitué de IC2, IC3, R5 à R9, C1 et C2. Le deuxième filtre passe bande (IC4, IC5, R10 à R14, C3 et C4) est identique au premier; une description plus détaillée de ces filtres est donnée dans l'appendice 1, à la fin de cet article.

Les composants qui déterminent la fréquence centrale du filtre passe bas sont R15, R16, R17, C5, C6 et C7, et





IC6 est l'ampli à émetteur suiveur associé, qui sert d'étage tampon. Si on le désire, on peut brancher à la sortie de IC6 un ampli à émetteurs suiveurs symétrique (T3 à T6, et composants associés), ce qui permet au générateur de débiter dans des impédances de charge aussi faibles que 47 Ω . Si on ne prévoit pas d'avoir à attaquer des charges d'impédance si faible, on peut se passer de l'ampli à émetteurs suiveurs symétrique et de ses composants associés, on relie les points A et B du circuit, et les sorties I et II peuvent attaquer des charges d'impédance supérieure ou égale à 600Ω .

La fréquence de l'oscillateur est déterminée par les valeurs des

$$C1 = C2 = C3 = C4 = \frac{8,842}{f_{OSC}};$$

composants C1 à C7:
C1 = C2 = C3 = C4 =
$$\frac{8,842}{f_{OSC}}$$
;
C5 = $\frac{22}{f_{OSC}}$; C6 = $\frac{56}{f_{OSC}}$ et C7 = $\frac{3,9}{f_{OSC}}$.

Les capacités sont données en nanofarads si les fréquences sont exprimées en kHz.

Réalisation

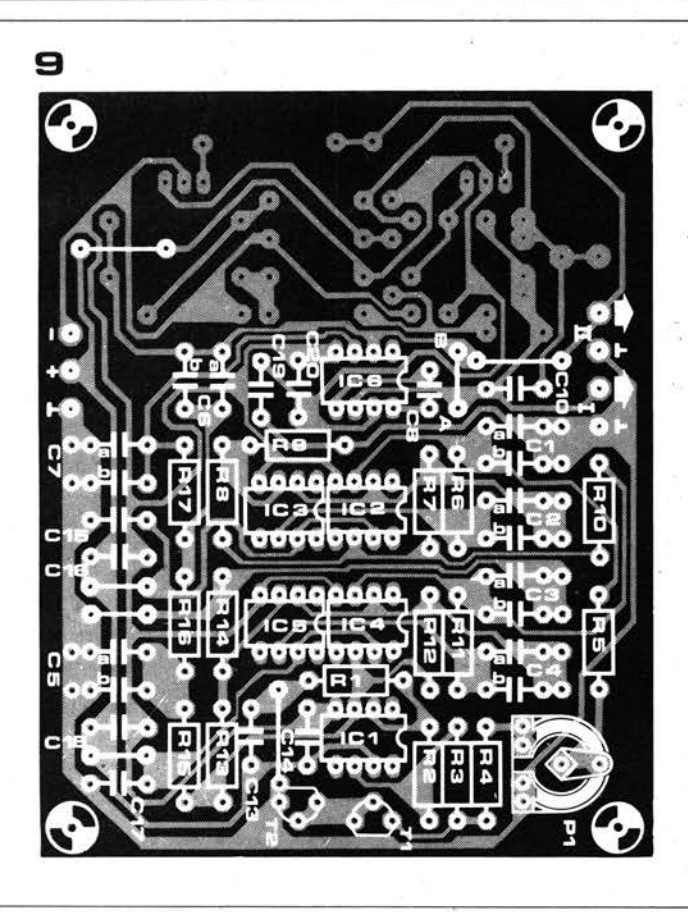
Les figures 7 et 8 montrent respectivement le dessin du circuit imprimé et l'implantation des composants sur la plaquette, pour la version 47 Ω du générateur sinusoïdal à fréquence unique. La figure 9 montre l'implantation des composants pour la version qui ne comporte pas en sortie d'étage tampon à émetteurs suiveurs symétrique (impédance de charge supérieure ou égale à 600 Ω).

En ce qui concerne le choix des valeurs des composants, celles-ci sont nominalement, pour R8, R9, R13 et R14, de 33 k Ω ; le chapitre suivant, décrivant le processus de réglage, indique les modifications possibles de ces valeurs. Les valeurs de R6, R7, R11 et R12 devront être aussi proches que possible les unes des autres. Le meilleur moyen est de mesurer leur résistance, mais il suffit en pratique de prendre quatre résistances successives sur la 'bande' du conditionnement. Bien que souhaitable, l'emploi de résistances à couche d'oxyde métallique à 1 ou 2% n'est pas absolument nécessaire. Les valeurs des condensateurs C1 à C7 sont déduites des formules données plus haut. De la place a été ménagée sur la plaquette de circuit imprimé pour pouvoir réaliser les valeurs calculées par la mise en parallèle de deux condensateurs. Les condensateurs C1 à C4 doivent avoir des valeurs aussi proches que possible les unes des autres. Une dispersion dans les valeurs des condensateurs C1 à C4 ou des résistances R6, R7, R11 et R12 peut affecter légèrement la qualité du signal de sortie. On peut toutefois rattrapper ce défaut au cours des réglages, décrits ci-après.

Réglages

Un réglage correct du générateur sinusoïdal ne peut se faire sans oscilloscope. Après les vérifications d'usage, relier le générateur à l'entrée de l'oscilloscope et procéder à la mise sous tension. Déplacer le

curseur de P1 à fond vers l'extrémité reliée à R4, ce qui, espérons le, devrait faire apparaître une sinusoïde sur l'écran. Si rien ne se passe, c'est que le circuit ne veut pas osciller; ceci est sûrement dû au fait que les fréquences centrales des deux circuits sélectifs sont trop éloignées l'une de l'autre, ce décalage donnant à la boucle, pour la fréquence de résonance, un gain inférieur à 1. La seule chose à faire, dans ce cas, est d'accorder les fréquences de ces filtres. La figure 10a montre les courbes de réponse de plusieurs circuits sélectifs accordés sur des fréquences différentes, et la figure 10b montre trois courbes de réponse obtenues en branchant deux de ces filtres en cascade: ① quand ils ont tous les deux une courbe de réponse telle que la courbe nº 1 de la figure 10a (les deux filtres ont la même fréquence centrale); @ quand les deux filtres ont leurs fréquences centrales légèrement décalées, comme c'est le cas des courbes nº 2 de la figure 10a; et 3 quand leurs fréquences centrales sont franchement décalées (courbes no 3 de la figure 10a). Les coefficients Q et les gains à la résonance A des différents filtres individuels dont les courbes de réponse sont représentées figure 10a sont identiques. Il apparait donc que plus la différence entre les fréquences centrales des deux filtres est grande, plus le gain à la fréquence de résonance globale est faible (il peut même se produire que le gain de la boucle du système soit inférieur à 1; voir aussi appendice 3), et moins les



fréquences élevées, c'est à dire les harmoniques, sont éliminées. On devra donc s'assurer autant que faire se peut que les fréquences centrales des deux filtres passe bande soient les plus proches possible. suffisamment au moins pour permettre à l'oscillateur de démarrer. Si, au cours des réglages, l'oscillateur refuse de démarrer, on peut augmenter temporairement le gain de la boucle en shuntant R1 par une résistance de quelques centaines d'ohms. Dès que l'oscillateur fonctionne, visualiser à l'oscilloscope les signaux à la sortie des deux filtres passe bande. Les signaux sur les broches 6 de IC2 et IC4 présenteront sûrement un important déphasage (si le déphasage avait été faible, l'oscillation aurait commencé dès le début des opérations). Ce déphasage est une mesure du décalage entre les fréquences centrales des deux circuits sélectifs. En conséquence, ajuster la fréquence centrale de l'un des filtres (ou des deux) jusqu'à ce que les deux signaux soient le plus près possible d'être en phase; on doit constater simultanément une augmentation de l'amplitude de la tension de sortie (sinusoïdale) de IC4. Réaliser les ajustements nécessaires en modifiant la valeur d'une ou plusieurs des résistances R8, R9, R13 et R14 (voir appendice 1). Chacune de ces résistances peut avoir une valeur comprise entre 22 k Ω et 68 k Ω . Bien sûr, il est aussi possible de modifier la valeur d'autres composants servant à déterminer la fréquence d'accord (voir également l'appendice 1). Une fois

que les fréquences d'accord des circuits sélectifs ont été alignées aussi précisément que possible, on peut enlever le shunt sur R1. Comme on l'a dit plus haut, plus l'accord des deux filtres sera précis, plus le gain du système à la résonance sera élevé; s'il en résulte un écrêtage de la tension de sortie d'un des filtres, ajuster P1 pour donner à la boucle un gain correct. Les règlages sont alors terminés.

Conclusion

Le générateur sinusoïdal à fréquence unique requiert une alimentation stabilisée symétrique de ± 15 V. Chaque oscillateur consomme au maximum 50 mA en version 600 Ω et 150 mA en version 47 Ω . Le courant de repos de l'étage de sortie basse impédance doit être ajusté à 100 mA en agissant sur P2. Plus le signal de sortie a une amplitude faible, plus faible est le taux de distorsion. On peut régler l'amplitude du signal de sortie à la valeur désirée au moyen de P1. L'utilisation de P1 comme organe de réglage du niveau est cependant limitée par deux conditions: vers le haut, il faut éviter d'arriver à la saturation, et, vers le bas, il faut s'arrêter avant que l'oscillateur ne cesse de fonctionner. On peut d'ailleurs se passer de P1. Pour celà, réunir R4 et R5, et, entre cette connection et la masse, insérer une résistance de valeur convenable. Dans neuf cas sur dix, la valeur d'une simple résistance au carbone s'avèrera plus stable que celle obtenue avec un potentiomètre; la démarche décrite ci-dessus peut ainsi

Figure 7 et 8. Dessin du circuit imprimé et implantation des composants sur la plaquette pour le schéma de la figure 6 (EPS 9948).

Figure 9. Implantation des composants pour la version 600 Ω seule.

Liste des composants

Résistances:

R1 = 1 k R2,R15,R16,R17 = 10 k R3 = 2k2 R4 = 22 k R5,R10 = 1 M R6,R7,R11,R12 = 18 k R8¹,R9¹,R13¹,R14¹ = 33 k R18²,R22² = 8k2 R19²,R21² = 6k8 R20² = 1k5 R23²,R25² = 3k9 R24²,R26² = 22 \Omega \frac{1}{2} \text{W} P1 = 10 k ajustable P2² = 1 k ajustable

Condensateurs:

C1,C2,C3,C4,C5,C6, C7 = voir texte ³ C8 = 22 p C9²,C10²,C13,C14,C15,C16,C17, C18,C19,C20 = 100 n C11²,C12² = 22 µ/16 V

 $T1,T2,T4^2 = BC 107B, BC 547B$

Semiconducteurs:

ou équivalent

T3² = BC 177B, BC 557B ou équivalent T5² = BD 139 T6² = BD 140 IC1 = LF 357 (National Semiconductors ou seconde source) IC2,IC3,IC4,IC5,IC6 = LF 356 (National Semiconductors ou seconde source) IC7 = TDA 1034 (Philips), NE 5534 (Signetics).

Notes:

- 1. valeurs nominales; voir texte.
- 2. ces composants ne sont utilisés que pour la version 50 Ω (sortie II, liaison AB non réalisée).
- les capacités C1 à C7 sont réalisées en branchant en parallèle deux condensateurs distincts repérés par a et b.

N.B. Le dessin d'implantation des composants représenté figure 9 n'est valable que pour la version normale (sortie $600~\Omega$) du circuit; l'implantation représentée figure 8 s'applique à la version normale et à la version optionnelle (sortie $50~\Omega$). Si on ne désire réaliser que la version normale, on peut omettre la mise en place de plusieurs composants (en particulier T3 à T6 et P2).

améliorer la stabilité globale de l'amplitude du générateur. Si on a besoin de plusieurs fréquences, et si on veut maintenir le faible coût du système, il serait logique d'utiliser un commutateur à neuf circuits (pour C1 à C7 et P1) et autant de positions que de fréquences nécessaires. Si cette solution est la plus élégante, il n'est pas sûr que ce soit la moins coûteuse. Les générateurs à fréquences discrètes sont évidemment utilisés de façon courante en audiofréquences, mais le modèle décrit ici peut également être utilisé à des fréquences plus élevées. C'est d'ailleurs dans cet esprit qu'a été conçue la version 50 Ω . A moins de posséder un générateur bi-fréquence accordable, la mesure de la distorsion d'intermodulation dans les amplificateurs HF peut se révéler une affaire délicate. En envoyant la sortie du générateur sinusoïdal à fréquence unique sur un mélangeur double symétrique (voir figure 11), on obtient deux signaux de sortie dont les fréquences diffèrent de deux fois la fréquence du signal d'entrée. Les harmoniques impaires sont d'un intérêt particulier, leurs fréquences se trouvant dans la région des signaux désirés. La distorsion d'intermodulation du générateur bi-fréquence lui-même doit être de moins de -60 dB si ont veut des mesures fiables - caractéristique à laquelle satisfait fort bien le générateur sinusoïdal à fréquence unique.

Bibliographie:

- Spot frequency sinewave generator, Elektor (édition anglaise), nº 27/28, Juillet/août 1977.
- 2. Klein et Zaalbert van Zelst, A nonlinear low output impedance AF oscillator with extremely low distorsion, Philips Technical Journal, 25.20.1963.

Appendice

1. On montre que la fréquence d'accord, f_O, le gain à la résonance A, et le coefficient de qualité, Q, du circuit sélectif construit sur IC2 et IC3 (figure 2) sont donnés par les relations:

$$f_{O} = \frac{1}{2 \pi \sqrt{\frac{R9}{R8} \cdot R6 \cdot R7 \cdot C1 \cdot C2}}$$

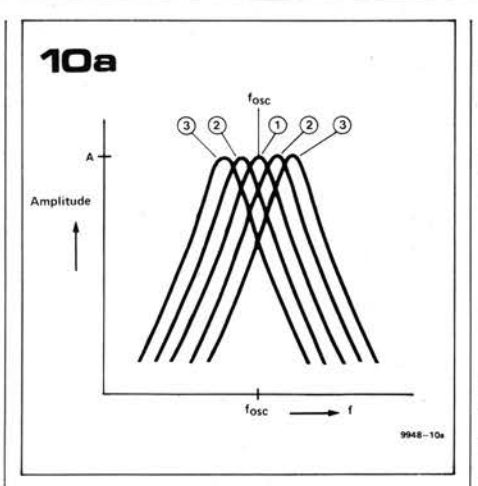
$$A = \frac{R8 + R9}{R9}$$

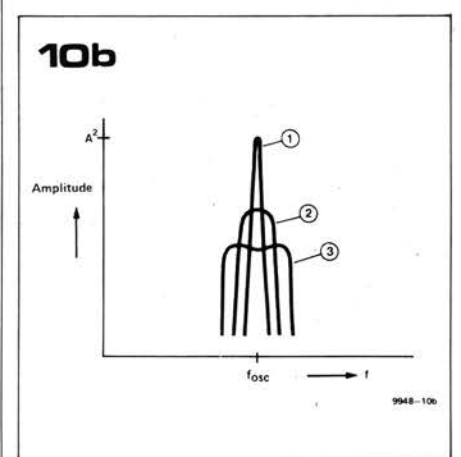
$$Q = R5 \sqrt{\frac{R8 \cdot C1}{R9} \cdot \frac{1}{R9 \cdot R3}}$$

Si on peut poser C1 = C2 = C, R8 = R9, R5 = RQ, R6 = R7 = R, on a alors les relations simplifiées

$$f_0 = \frac{1}{2\pi RC}$$
, $A = 2$ et $Q = \frac{RQ}{R}$.

Ces relations sont également valables pour le deuxième filtre (construit sur IC4 et IC5). D'après l'expression de f₀, on constate qu'on peut obtenir de (faibles) variations de la fréquence





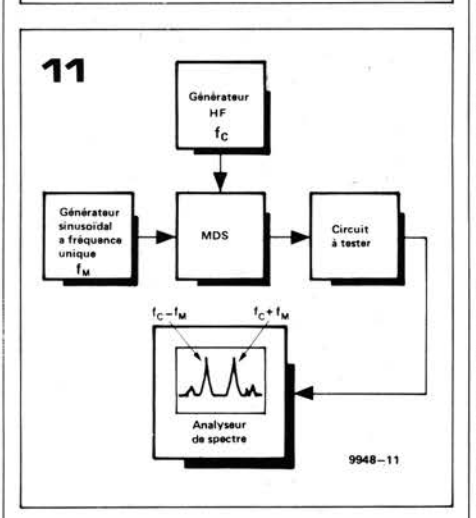


Figure 10a et 10b. Effet d'un écart entre les fréquences centrales des deux filtres sur la réponse amplitude/fréquence de l'ensemble.

Figure 11. Façon d'utiliser le générateur sinusoïdal à fréquence unique pour mesurer la distorsion d'intermodulation dans les amplificateurs HF.

centrale des deux filtres en modifiant la valeur d'une ou de quelques unes des résistances R8, R9, R13 et R14. 2. Si on ne se préoccupe que des amplitudes des signaux transmis par les circuits sélectifs utilisés, on montre que

$$\frac{u_s^2}{u_e^2} A^2 = \frac{\frac{n^2}{Q^2}}{(n^2 - 1)^2 + \frac{n^2}{Q^2}}$$

où u_e et u_s sont les amplitudes des tensions à l'entrée et à la sortie du filtre et $n = \frac{f}{f_0}$.

Si le coefficient Q du filtre est suffisamment grand, l'expression se simplifie en

$$\frac{u_s}{u_e} = \frac{nA}{(n^2 - 1) Q} \quad \text{pour } n > 1$$

Un créneau symétrique ne comporte que des harmoniques impaires (qui s'ajoutent à la fondamentale, dont

l'amplitude est $\frac{4}{\pi}$ fois celle du créneau), c'est à dire n = 3, 5, 7, etc. L'amplitude de la nième harmonique est $\frac{1}{n}$ fois celle

de la fondamentale. La troisième harmonique a donc une amplitude qui ne vaut que 33 1/3 % de celle la fondamentale, la cinquième 20%, la septième environ 14%, et ainsi de suite. Le coefficient Q des filtres représentés figure 2 est d'environ 55. Si les fréquences centrales, fo1 et fo2, des deux filtres sont identiques (et donc égales à <u>la fréque</u>nce de résonance $f_{OSC} = \sqrt{f_{01} \cdot f_{02}}$, chaque filtre divisera l'amplitude de la troisième harmonique par 147, celle de la cinquième par 264, et ainsi de suite. En connectant deux filtres en cascade, ces rapports sont élevés au carré. En fait, on envoie sur ces filtres non pas un signal carré parfait, mais une onde en trapèze, dont les harmoniques sont moins prononcées que celles du signal carré.

3. Dans le cas de deux filtres branchés en cascade, dont les fréquences de résonance sont f_{01} et f_{02} ($f_{02} > f_{01}$, par exemple), mais qui ont le même gain à la résonance et le même coefficient de qualité Q, on montre que la fréquence de résonance de l'ensemble est $\sqrt{f_{01} \cdot f_{02}}$, et que le gain à la résonance est divisé par

$$1 + (Q \frac{1 - x^2}{x})^2$$
 où $x = \sqrt{\frac{f_{02}}{f_{01}}}$.

Si, du fait des tolérances sur les composants, f_{01} et f_{02} sont différentes de plus de 10% (ce qui donne $x^2 = 1,1$ et $x \simeq 1,05$), et pour un coefficient Q de 55, le gain de l'ensemble des deux filtres à la fréquence d'oscillation est divisé par 28,4. Pour cette raison, il est important de veiller à ce que les composants utilisés dans les deux filtres soient apariés au mieux.

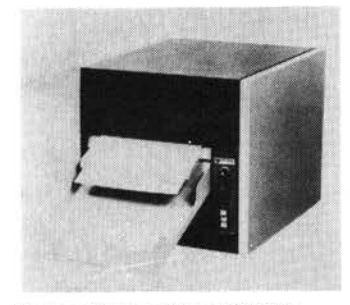
MilitiE

Traceurs électrostatiques

Réprésenté en FRANCE par Tekelec Airtronic, VERSATEC commercialise les traceurs électrostatiques montage rack de la série 3000 et 7000.

La série 3000 présente les caractéristiques suivantes:

- version civile:
- 4 ou 8 points/mm;
- 28 cm de large;
- travaille en traceur, imprimante
 132 colonnes et en Hard Copy
 de console graphique;
- coupe papier automatique ou télécommandé;
- présentation en rack ou coffret;
- inclinaison autorisée en fonctionnement 15° par rapport à l'horizontale;
- vitesse de tracé 2,54 cm/s.
 La série 7000 est une version militaire de la série 3000. Elle répond à toutes les spécifications militaires (normes US), température, vibration, choc, tempête, etc...



Un premier modèle a déjà été vendu en France pour effectuer des tests et essais de contrôle. Ces différents traceurs peuvent se connecter à tous les calculateurs existants sur le marché.

Tekelec Airtronic B.P. 2 92310 Sèvres

(1099 M)

Thermomètres de poche à cristaux liquides

Cette nouvelle génération à réponse rapide et à mise en oeuvre simple marque un tournant dans le domaine des mesures de température. Une simple pile de 9 V assure, en effet, six mois d'utilisation en usage courant. De plus, l'appareil prévient une heure avant la fin d'autonomie de la pile. L'affichage, un cristal liquide en mode réflectif de 12 mm de haut, permet une utilisation en plein soleil. Tous les composants sont montés dans un boitier en ABS moulé, très résistant. La technique employée est la C MOS et permet ainsi:



- la linéarisation
- la compensation automatique de soudure froide
- le zéro automatique
- l'indication automatique de polarité
- le test de la pile
- la détection de coupure
 Un autre point très important: la résolution commutable de 0,1° C à 1° C ce qui permet des types de mesures très différents suivant les applications, sans changement d'appareil ou de sonde.
 Deux modèles sont disponibles:
- le modèle ALPHA K pour thermocouple NICR NIAL. Gammes de -65 à 1150°C et

précision de 0,2% de la lecture.

- 2 résolutions 0,1°C et 1°C

 le modèle ALPHA Pt pour sonde platine 100 Ohms à 0°C. Gammes de -150 à 750°C et précision ± 0,2% de la lecture.
- 9 types de sondes du type thermocouple K sont disponibles, soit pour les mesures dans les liquides, soit pour des mesures de surface
- 4 types de sondes platine sont disponibles, soit pour des mesures dans les liquides ou dans l'air, soit pour des insertions dans les conduites de liquides ou gaz, soit pour des mesures de surface.

 TEKELEC-AIRTRONIC S.A., Cité des Bruyères, Rue Carle Vernet B.P. N° 2, 92 310 SEVRES

(1168 M)

Micromat, un microordinateur de jeux

La société Stellar créée en Octobre 1977 et spécialisée dans la recherche et la réalisation électronique vient de mettre au point un microordinateur universel, le Micromat MGCS-1, dont la vocation principale est le jeu. Présenté sous la forme d'un seul boitier compact et complet, il a

été conçu et construit autour du microprocesseur Z80. Il se caractérise par la présence de

plusieurs jeux résidents, tant stratégiques ou tactiques (Morpion, Dames, Bridg'it . . .) que dynamiques (atterrissage lunaire, guerre des étoiles en temps réel . . .). Il peut en outre accepter: des cartouches comportant des programmes de jeux très élaborés (Echecs, Go . . .) ainsi que des programmes sur bandes magnétiques (cassettes standards), ou disques 45 tours. Le Micromat est fourni déjà équipé d'une importante mémoire vive. 3 supports internes et le logiciel adéquat permettent de pouvoir quadrupler cette capacité. Il possède également la faculté de pouvoir mémoriser les différentes

variables occurant lors du déroule-

ment d'une partie, et d'enregistrer

magnéto cassettes. Par exemple, le

ultérieurement celles-ci sur

déroulement entier d'une partie d'échec peut être reporté sur bande magnétique, permettant par là, ou de la reprendre ultérieurement, ou de la communiquer à un éventuel partenaire.

La communication avec l'utilisateur s'effectue à l'aide d'un clavier simple et fonctionnel de 18 touches et d'un afficheur 8 digits 14 segments. Toutes les possibilités de cet affichage sont utilisées au maximum, le transformant en un écran lumineux capable de formuler un grand nombre de commentaires (en bon français!), de visualiser, de faire défiler et clignoter les graphismes les plus divers, en les animant d'une façon réaliste. Aussi tous ces commentaires, le Micromat les accompagnera d'une petite musique de son choix, triste, ironique ou triomphante, en fonction des circonstances.

Caractéristiques techniques:

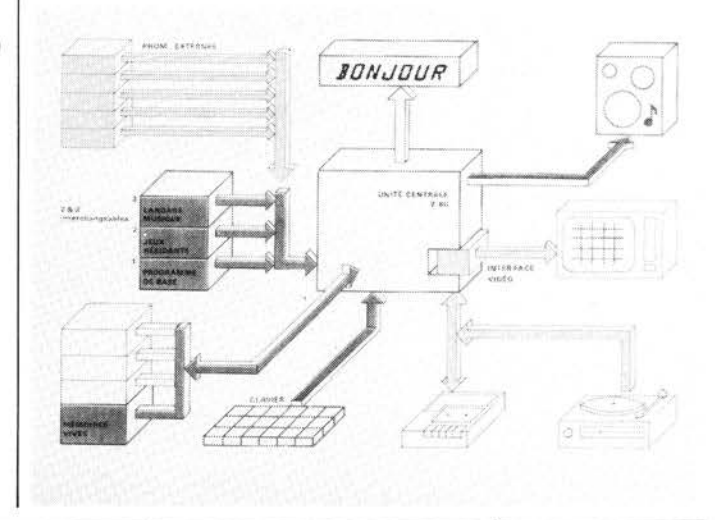
- unité centrale: microprocesseur Zilog Z80
- clavier hexadécimal
- affichage 8 digits, 14 segments
 + point décimal
- PROM résidente: programme de base: 1 Koctet jeux résidents: 1 Koctet messages et musiques résidents: 1 Koctet
- RAM fournie: 1 Kmots de 8 bits
- interface d'entrée magnéto cassettes ou disques
- interface sortie magnéto cassettes

Possibilités d'extensions:

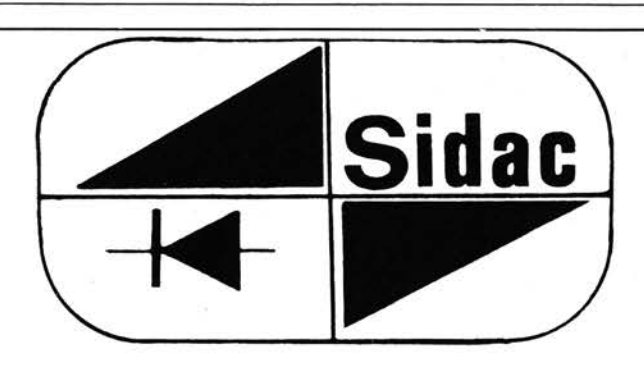
- entrée de programmes compatibles pré-enregistrés sur cassette ou disque.
- 1 à 5 Koctets sur PROM programmée, disponibles sous forme de cartouches enfichables sur l'appareil
- 1 à 3 Koctets de RAM enfichables sur les supports prévus à l'intérieur de l'appareil
- carte de visualisation couleur permettant d'entrer sur tout poste du commerce
- convertisseurs analogique/ digital permettant de contrôler le déplacement d'objets sur l'écran TV

Stellar, Z.I. du Carré, Route de la Marigarde, 06130 Grasse

(1167M)







transformateurs APPLING CE TIEL CA TIONS

SOCIETE INDUSTRIELLE DES APPLICATIONS ELECTRONIQUES



21, rue Blatin - Grand-Passage 63000 CLERMONT-FERRAND tél.: (73) 93-79-28















DIVISION OF CARLO GAVAZZI

Pour tous ceux qui désirent faire plus ample connaissance avec Elektor, nous offrons au prix exceptionnel de 20 F un

abonnement d'essai

comprenant les 4 numéros doubles de Elektor 1978. Pour bénéficier de cette offre il suffit d'envoyer un chèque postal ou bancaire à

Elektor sarl, B.P. 59, 59940 Estaires, en indiquant sur l'enveloppe la mention A.E.

compte bancaire: 6660.70030X au Crédit Lyonnais CCP Lille 7.163.54R.

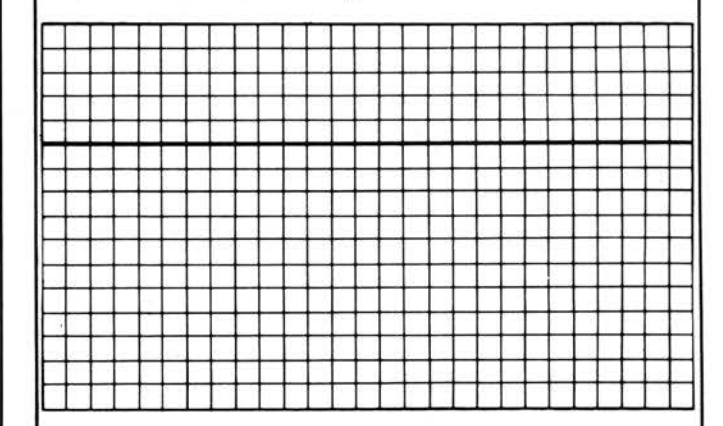
Petites Annonces

Cette rubrique d'offre et de demande est destinée à usage privé et commercial.

Pour l'usage privé, le prix par ligne de 27 positions est de FF 7,50 TTC.

Pour l'usage commercial, le prix par ligne de 27 positions est de FF 20,00 HT pour un minimum de 5 lignes.

Ecrivez votre texte dans la grille ci-dessous:



Découpez ou copiez votre texte et envoyez-le en mentionnant votre nom et adresse complète à: Elektor sàrl, B.P. 59, 59940 ESTAIRES (France).

L'insertion se fera après réception du règlement correspondant.

Nous ne pratiquons pas le système d'annonce domiciliée.

systems 🛼

I.C. systems S.A.

est très heureux de vous informer de la création d'une nouvelle division

MICROSHOP

IC Systems S.A. Rue du commerce 22 1040 BRUXELLES Tel. 02/513.88.90

Ouverture: de 10 à 18 heures, samdi compris **ENTREE LIBRE**

Ouverture officielle le mercredi 2 mai 1979 à 15.00h.

Grâce à notre longue expérience nous pouvons vous aider pour toutes les applications dans le domaine des microprocesseurs.



PET COMMODORE 2001-8K

Microordinateur complet autour du microprocesseur 6502 Terminal vidéo, clavier et lecteur/enregistreur de cassette incorporé. Extension: interface pour un deuxième magnétophone, inter-

face IEEE-488 (HP-IB), interface RS232, 8 lignes d'entrée/sortie programmables. Maintenant aussi floppy disk et imprimante Nouvelle prix pour le PET-2001-8 BFRS 43450,— 24K bytes extension de mémoire BFRS 33713,-

. BFRS 12093,-RS 232/V24 interface . Imprimante professionelle BFRS 64728,— Pet interface BFRS 6975,-



COMPUCOLOR

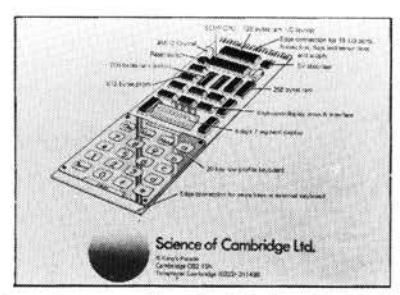
Le premier vrai microordinateur personal avec floppy disk incorporé, moniteur à couleurs et haute résolution graphique. Memoire RAM 16K, processeur 8080A, clavier professionnel. Compucolor II model 4-16K BFRS 87875,-



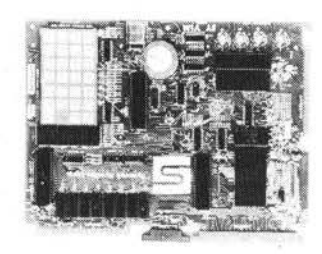
APPLE, avec floppy disk et imprimante. Un système complet et prête. Le Apple vient standard avec 8K basic et moniteur in ROM, graphiques en coleurs, max. 48K RAM, interface cassette, connecteur pour jeu I/O ASCII clavier.

NASCOM computer kit. Kit avec le Z80, avec 2K RAM, monitor en ROM, interface cassette, TTY, video et UHF interface. Une grande quantité d'extension est déja disponible. NASCOM I KIT

. BFRS 15488,—

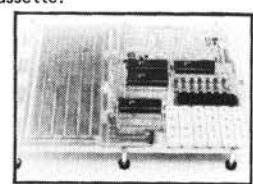


MK 14 microcomputer kit. Le kit le plus intéressant pour l'initiation au point de vu du prix et possibilités kit avec le SC/MP, Hex clavier et LED display.

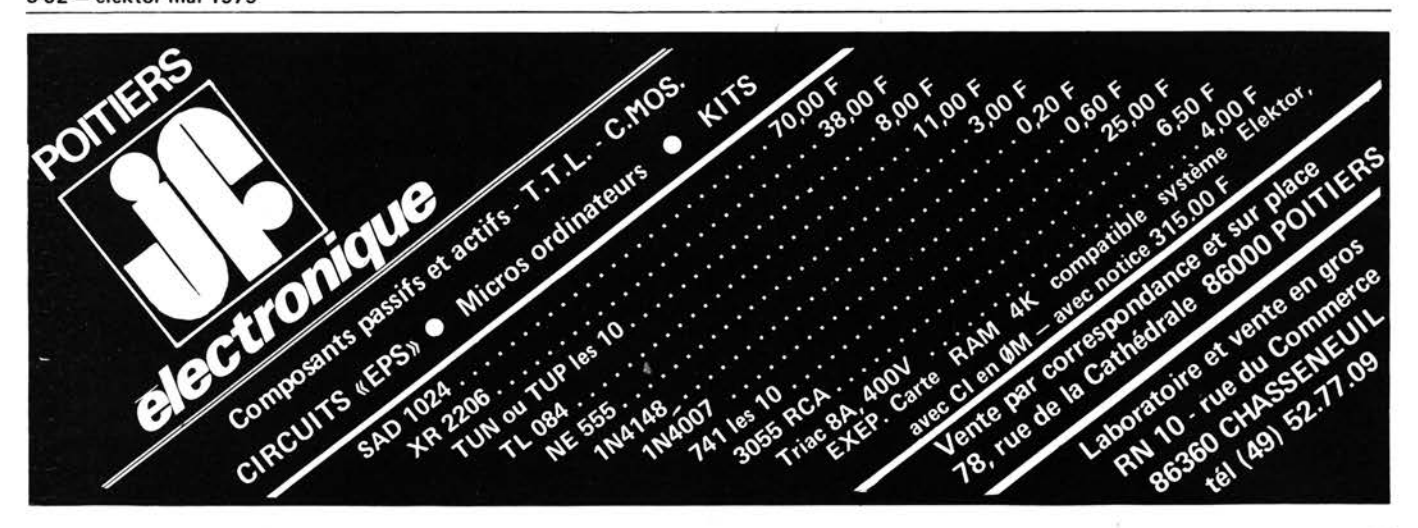


SYM I + KTM2 + BAS I microordinateur complet en modules. Le SYM I est un système avance, aussi appelé le SUPER-KIM Extensions pour le SYM board computer sont le KTM2 video interface et terminal clavier, pour affichage de 24 lignes de 40 caractères sur televiseur ordinaire. Le BAS I vous donne en plus tous les possibilités du langue Basic.

Rockwell AIM 65 Microordinateur complet pour étude, dévelopment de programmes applications professionelles où pour votre joie. Le système contient un clavier de V54 boutons, display alphanumérique, 20 colonnes imprimante technique interface, TTY cassette.



SDK 85 Kit développement pour le microprocesseur Intel 8085. SDK 86 Kit de développement pour le microprocesseur 8086 le premier kit 16 bits! En plus: une serie de livres et d'hebdomadaires sur les microprocesseurs, leurs applications et leur programmation.



dates limites remise annonces

no.	édition	date
12	iuin 79	02-04-79
13/14	juillet/août	10-05-79
15	septembre 79	10-07-79
16	octobre 79	09-08-79
17	novembre	07-09-79
18	décembre 79	17-10-79
19	janvier 80	12-11-79

Petites Annonces

CA 3162E 65F SOUSSI 15 Parc de Béarn 92210 St Cloud



halelectronics

Acaciastraat 10 - 1520 Lembeek-Halle (Belgique) Tél: 02-356.03.90 (après 18 h) Banque: KB 427-0099771-12

Depuis plus de deux ans nous nous spécialisons dans la vente de composants pour montages Elektor.

Voici un extrait de notre programme de kits, élaborés d'après des réalisations publiés dans Elektor:

7-7-1-1000-1-10-1000-1-1-1-1-1-1-1-1-1-1	
orloge digitale multifonctions no 9500 avec transfo, relais et displays	1750 FB
réampli HF 9413	240 FB
réampli HF 9413	675 FB
henillard à leds no 9203	
er à souder à température regulée 9952	950 FB
fini récepteur ondes courtes 9920	1075 FB
iofeedback no 9825-1-2	1200 FB
dapteur pour millivoltmètre alternatif 79035	400 FB
reco (préampli) 9398	610 FB
reco (ampli régulateur) 9399	595 FB
able de mixage stéréo 5 entrées 9444	2150 FB
quin ampli 35 Watt 8 ohm (2N3055RCA) 9401	970 FB
oltmètre de crète 9860	270 FB
ffichage à leds avec uaa 180 no 9817	730 FB
hambre de réverbération digitale no 9913-1	4300 FB
ircuit d'extension 9913-2	
hambre de réverbération analogique 9973	2790 FB
U mêtre luminant avec leds plates 9949	
énérateur de fonctions 9453	750 FB
fini fréquencemètre avec displays et transfo no 9927	
réquencemètre 1/4 GHz complet avec transfo 9887	7000 FB
Minuterie longue durée no 9902	
In sablier qui caquette 9985	645 FB
onsonant 9945	
reconsonant 9954	
V scope version de base no 9968	
V scope version améliorée (9968 + 9969)	5550 FB
tentor 79070	
	x à l'étude
Alimentation de Laboratoire 79034	

Demandez liste gratuite de nos kits élaborés d'après des réalisations publiées dans Elektor!

Heures d'ouverture: mercredi à partir de 18 h, samedi de 9 à 13 h. Nous nous trouvons dans le lotissement 'Kriekenveld' à côté de l'ancienne route Halle-Enghien.

Commandes par courrier: Paiement d'avance par chêque à notre ordre, majoré de 70 FB frais expédition.

LISTE DES POINTS DE VENTE EPS + ESS

02000	LAON	LAON TELE 1, rue de la Herse
13009	MARSEILLE	Europ Electronique 2, rue Chat. Redon
16000	ANGOULEME	ELECTRONIC LABO 84, route de Royan
25000	BESANCON	REBOUL 34-36, rue d'Arsènes
26500		ECA ELECTRONIQUE 22, quai Thannaron
30000		Le Point Electronique 14, rue Roussy
30000	NIMES	SO, NI, FO, 14, rue Auguste
34000	MONTPELLIER	SON et LUMIERE 5, rue d'Alsace
44000	NANTES	KIT 44 65, quai de la Fosse
45000		L'ELECTRON 37, Faubourg St Vincent
45000	ORLEANS	R.L.C. ELECTRONIQUE 152, rue Bourgogne
49300	CHOLET	B.G.M. ELECTRONIQUE 16, rue St Martin
54400	LONGWY	COMELEC 66, rue de Metz
57000	METZ	C.S.E. 15, rue Clovis
58000		CORATEL 12, rue du Banlay
59000	LILLE	DECOCK ELECTRONIQUE 4, rue Colbert
59000	LILLE	SELECTRONIC 14, boulevard Carnot
59600	MAUBEUGE	ELECTRONIQUE 2000 5, rue de la Liberté
	CALAIS	V.F. Electr. Comp., 21 rue Monseigneur Piedfort
	CLERMONT FERRAND	ELECTRON SHOP 20, rue de la République
	CLERMONT FERRAND	SIDAC Grand Passage 21, rue Blatin
	BAYONNE	ELECTRONIQUE et LOISIRS 3, rue Tour de Sault
	STRASBOURG	BRIC ELECTRONIQUE 39, Faubourg National
67000		DAHMS ELECTRONIQUE 32, rue Oberlin
68000	MULHOUSE	ELECTRONIQUE CENTER, 18 rue Ernest Mening
68170	RIXHEM	R.I.D. Parc d'Entremont 6, rue Oeillets
72000	LE MANS	ELECTRO SOLD 21, rue St Martin
75000	PARIS	ELEKTRONIK LADEN 135 bis, Bd de Montparnass
75011	PARIS	MAGNETIC FRANCE 11, Place de la Nation
	PARIS	RADIO BEAUGRENELLE 6, rue Beaugrenelle
75341		Au Pigeon Voyageur 252, Bld St Germain
80000		EUREKA ELECTRONIQUE 6, rue Allart
86360		J.F. ELECTRONIQUE Rue du Commerce RN 10
89100		SENS ELECTRONIQUE Galerie marchande GEM
90000		ELECTRON BELFORT 10, rue d'Evette
90000		ELECTRONIC CENTER 1, rue Christophe Keller
92000		FANATRONIC 2, bd Sud-Est
92240		B.E.R.I.C. 43, bd Victor Hugo B.P. 4
	REIMS	Séphora Music: 45 rue de Thillois
69008	LYON	Speed-Elec; 67 rue Bataille
17000	LA ROCHELLE	SMR Tamisier SA: 20-22 rue du Palais
	The second second second	5

BELGIQUE

1000	BRUXELLES	COBELEC 87, Ave Stalingrad
1000	BRUXELLES	VADELEC 24-26, Ave de l'Héliport
1030	BRUXELLES	CAPITANI 78-80, rue du Corbeau
1000	BRUXELLES	G.M. ELECTRONICS 213, bd Lemonnier
1000	BRUXELLES	VADELEC 35-37, rue de la Roue
1300	WAVRE	ELECTROSON-WAVRE 9, rue du Chemin de Fer
1400	NIVELLES	TEVELABO 149, rue de Namur
1520	LEMBEEK-HALLE	Halélectronics, Acaciastraat 10
1800	VILVOORDE	Fa Pitteroff, Leuvensestraat 162
2000	ANTWERPEN	Fa. Arton, St. Katelijnevest 31, 35, 37, 39
2000	ANTWERPEN	E.D.C., Minderbroedersrui 40-42
2060	MERKSEM	M.E.C., Laaglandlaan 1A
2140	WESTMALLE	Fa Gerardi, Antwerpsesteenweg 154
2180	KALMTHOUT	AUDIOTRONICS, Kapellensteenweg 389
2200	BORGERHOUT	TELESOUND, Bacchuslaan 78
2500	LIER	STEREORAMA, Berlarij 51-53
3000	LEUVEN	LOVAN ELECTRONICS, Dietsestraat 177
4220	JEMEPPE	SPECTRASOUND 16, rye du Pont
4800	VERVIERS	LONGTAIN S.A. 10, rue David
5200	HUY	Centre Electronique Hutois S.C. 15, rue du Coq
5700	AUVELAIS	PIERRE ANDRE 25, rue du Dr. Romedeene
6000	CHARLEROI	LABORA 7-14, rue Turenne
7000	MONS	COMELEC 26, rue des Juifs
7000	MONS	MULTIKITS 41, rue des Fripiens
7000	MONS	BEST ELECTRONIC 49, Rue David
8500	KORTRIJK	International Electronics, Grote Kring 11A

SUISSE:

1217 MEYRIN 2922 COURCHAVON Loffet Electronique 6, rue de la Golette LEHMANN J. Jacques (radio T.V.)

ESPAGNE:

BILBAO

KEYTRON ELECTRONICA Hurtado de Amézaga, 20

TEVELABO

149 Rue de Namur 1400 Nivelles Belgium

TEL. 067/224642 **TELEX 57736**

Kit 1 50 BC 107(8)(9)			
Kit 1 50 BC 107(8)(9)	Socquets C.I.	Condens. Tantale 35 V	Interrupteur horaire 780
50 BC 177(8)(9) 600	10 6 PIN 100	0.1 UF	Character diament halland 275
Kit 2 50 BC 547(8)(9) 50 BC 557(8)(9) 350	10 8 100 10 14 120	0.22	Chargeur d'accus 4xUm3 375 Piles rechargeables Um3 100
Kit 3 10 BY 126	10 16 120	0.47 10	Titto Teomageaute ony to
10 BY 127	5 18 180	1 10	Assortiment fusibles 5x20
10 1N 4002 5 BY 164	2 24 70 2 28 70	1.5	240 pièces 500 idem 6x32 600
5 BY 179	1 40 100	3.3	Idem 0x32 000
1 Pont 5A 200V 500	1 50 130	4.7 12	Interrupteur 6A
Kit 4 10 2N3055	Andrew Company	10 17	Simple plastic 23
10 Triacs 8A 500V 800 Kit 5 10 BD 115	Plugs et jacks BNC49	Cond. Tantale 25V 3.3 UF	Simple métal
10 BF 338	BNC CHASSIS 45	10	Inverseur bipolaire 91
10 Diodes 1A5 1200V.500	BNC TE 136	Cond. Tantale 16V	Inverseur miniature 3A
Kit 6 100 " 1A5 1200V800	N 110	2.2 UF 9	Inverseur simple 47
Kit 7 10 2N 1613 10 2N 1711	N chassis 100 UHF 30	10 12 22 16	Inverseur double 57
10 2N 2222	reduction rg58 10	Cond. Tantale 10V	Micro processeur
10 2N 4036500	rg59 10	6.8 UF 10	8080 600
Kit 8 10 Diodes6A 100V	UHF chassis 29	Cond. Tantale 6V3	2101 225
10 " 1A5 200V400	Cannon 3 poles male 122 fem 160	4.7 UF	2102 150 8212 175
Pont 1A5 200V 25	chassis 127	47 16	8224 350
1A5 600V 30		100 20	8228 400
5A 200V54	Boutons axe 4mm	1000	8251 580
5A 600V	10mm 15 15mm 18	DISPLAY LED ;m/m et 3m/m	8255
6A 600V	22mm	Rouge - Vert - Jaune 10	Quartz 18432 MHZ 200
10A 200V136	Boutons axe 6mm	Par 50 pièces 8	Kit MBLE
10A 600V195	10mm 15	Par 100 pièces 6	Allumage élect 1230
25A 200V180 25A 600V230	15mm	LD 57 CA 20 CQY84 60	AMPLI 2W5 BEC 120 350
2)A 00012)0	22mm 22	HA1141R 100	BEO 122 250 BEO 130 673
5 Kit isolement T03 50	Potentiometres axe 6mm	HA1143R 100	BEO 131 600
5 " " T066 50	_toutes valeurs log et lin		BEO 132 600
5 " " T0220 50	1 piéce	Relais SIEMENS V 23154-2 inv 160	BEO 133 410
50 1N4148100	10 melangé 20 10 meme type 17	4 inv 190	BEO 134 600 BEO 135 846
15 DIodes 1A5 200V 75	25 melangés 16	6-12-14-48V	BEO 136 630
15 " 1A5 600V 110	en w ^e i se oo dee	Socquet cablage ou CI 35	BEO 137 734
VOLTAGE REGULATORS	Potentiometre 3 watts . 95	Clips pour dito 5 Relais ZETTLER	BEO 145 920
78. T0220 44	Fiches bananes de luxe	Az 530 - 1 inv. 2A5 103	BEO 148
79 50	a souder 4mm 8	Az 531 - 2 inv. 2A5 150	BEO 150 625
78 TO3 58	a vis 4mm 9	Az 691 - 1 inv 6A 95	BEO 152 808
79 75 78L T092 25	A souder 10 X 6 couleurs 6 a vis 10 X 6 " 7	Az 731 - 2 inv. 5A 115 6-12-24V DC	BEO 153 90 AMPLI 2x40W BEO 161 . 261
78M TO220 (500ma) 35	a vis 10 x 6	Relais 4 inv. 3A	BEO 162 88
79M 40	Douilles 4mm 7	6-12-24V DC190	B B D 866/A 5120
MANAGE SANTALIAN AND	10 X 6 couleurs 6	24-220V AC 240	B B O 873 5525
		Socquet cablage ou C.I. 50	BEK 023 176
IC.8	100 même couleur 5,50		DDV 026 240
XR 2206 CP 290		Relais miniature 1A5	BEK 036 317
	Filtre antiparasites 6A (EX.modulateurs) 395		BEK 036 317 BEK 022 353
XR 2206 CP	Filtre antiparasites 6A	Relais miniature 1A5 15x10x10m/m 120	BEK 036 317
XR 2206 CP	Filtre antiparasites 6A (EX.modulateurs) 395 Transformateurs	Relais miniature 1A5 15x10x10m/m	BEK 036 317' BEK 022 353' BEK 024 886
XR 2206 CP. 290 UAA 170. 130 UAA180. 130 Résistances carbone 0. \(\mathbb{F}W. \) 2	Filtre antiparasites 6A (EX.modulateurs) 395 Transformateurs 2+6 120ma 116	Relais miniature 1A5 15x10x10m/m	BEK 036 317. BEK 022 353. BEK 024 880 SC/MP 9857 70
XR 2206 CP	Filtre antiparasites 6A (EX.modulateurs) 395 Transformateurs 2+6 120ma 116 12+12 120ma 116	Relais miniature 1A5 15x1Ox10m/m	BEK 036 317. BEK 022 353. BEK 024 886 SC/MP 9857 70 Pickmetre 9860 25
XR 2206 CP. 290 UAA 170. 130 UAA180. 130 Résistances carbone 0. \(\mathbb{F}W. \) 2	Filtre antiparasites 6A (EX.modulateurs) 395 Transformateurs 2+6 120ma 116	Relais miniature 1A5 15x10x10m/m	BEK 036 317' BEK 022 353' BEK 024 886 SC/MP 9857 70 Pickmetre 9860 25' SC/MP 9863 325
XR 2206 CP	Filtre antiparasites 6A (EX.modulateurs) 395 Transformateurs 2+6 120ma 116 12+12 120ma 116 6+6+2 300ma 145 12+12+1 150ma 145 6+6+2 600ma 157	Relais miniature 1A5 15x10x10m/m	BEK 036 317. BEK 022 353. BEK 024 886 SC/MP 9857 70 Pickmetre 9860 25. SC/MP 9863 325. Amplil00 w 9874 115. SC/MP 9885 580
XR 2206 CP	Filtre antiparasites 6A (EX.modulateurs) 395 Transformateurs 116 12+12 120ma 116 6+6+2 300ma 145 12+12+4 150ma 145 6+6+2 600ma 157 12+12+4 300ma 157	Relais miniature 1A5 15x10x10m/m	BEK 036 317. BEK 022 353. BEK 024 88. SC/MP 9857 70 Pickmetre 9860 25. SC/MP 9863 325. Ampli100 W 9874 115. SC/MP 9885 580. 9893 450
XR 2206 CP	Filtre antiparasites 6A (EX.modulateurs) 395 Transformateurs 116 12+12 120ma 116 6+6+2 300ma 145 12+12+4 150ma 145 6+6+2 600ma 157 6+6+2 142 191	Relais miniature 1A5 15x10x10m/m	BEK 036 317.* BEK 022 353.* BEK 024 886 SC/MP 9857 70 Pickmetre 9860 25 SC/MP 9863 325 Amplil00 w 9874 115 SC/MP 9885 580 9893 450 9905 115
XR 2206 CP	Filtre antiparasites 6A (EX.modulateurs) 395 Transformateurs 2+6 120ma 116 12+12 120ma 116 6+6+2 300ma 145 12+12+4 150ma 145 6+6+2 600ma 157 6+6+2 1A2 191 12+12+4 600ma 191 6+6+2 1A2 226	Relais miniature 1A5 15x10x10m/m 120 Relais Reed DIP 120 Boites complétes ELECTOR(uur) Ampli 4 W 7710/1 250 15 W 7710/2 400 Preampli 9191 750 Digisplay 9376 940 Compte tour 9392/1+2 avec face avant 900 Kit UAA170 9392/3+4 430 Preampli 9398 600 Ampli correcteur 9399 525	BEK 036 317. BEK 022 353. BEK 024 88. SC/MP 9857 70 Pickmetre 9860 25. SC/MP 9863 325. Ampli100 W 9874 115. SC/MP 9885 580. 9893 450
XR 2206 CP. 290 UAA 170. 130 UAA180	Filtre antiparasites 6A (EX.modulateurs) 395 Transformateurs 116 12+12 120ma 116 12+12 120ma 145 12+12+4 150ma 145 6+6+2 600ma 157 12+12+4 300ma 157 6+6+2 1A2 191 12+12+4 600ma 191 6+6+2 1A8 226 12+12+4 1A 226	Relais miniature 1A5 15x10x10m/m	BEK 036 317. BEK 022 353. BEK 024 886 SC/MP 9857 70 Pickmetre 9860 25. SC/MP 9863 325. Ampli100 W 9874 115. SC/MP 9885 580 9893 450 9905 115. 9911 110 Tables de mixages
XR 2206 CP. 290 UAA 170 130 UAA180 130 Résistances carbone 0. FW. 2 par 50 pièces du meme type 1.5 par 100 pièces . 1 Ajustables droits ou couchés 10 Ajustables 10 Tours 50 Potentiomètre 10 tours 300 Résistances Métalfilm 0.5W 3 2.5W 7 0.5W 1% 10	Filtre antiparasites 6A (EX.modulateurs) 395 Transformateurs 116 12+12 120ma 116 12+12 120ma 145 12+12+14 150ma 145 6+6+2 600ma 157 12+12+4 300ma 157 12+12+4 00ma 157 6+6+2 1A2 191 12+12+4 600ma 191 6+6+2 1A8 226 12+12+4 1A 226 12+15+4+4 650ma 226	Relais miniature 1A5 15x10x10m/m	BEK 036 317. BEK 022 353. BEK 024 88. SC/MP 9857 70. Pickmetre 9860 25. SC/MP 9863 325. Ampli100 W 9874 115. SC/MP 9885 580. 9893 450. 9905 115. 9911 110. Tables de mixages T.T.I. 501 226
XR 2206 CP. 290 UAA 170. 130 UAA180 . 130 Résistances carbone 0. FW. 2 par 50 pièces du meme type 1,5 par 100 pièces	Filtre antiparasites 6A (EX.modulateurs) 395 Transformateurs 2+6 120ma 116 12+12 120ma 116 6+6+2 300ma 145 12+12+4 150ma 145 6+6+2 600ma 157 12+12+4 300ma 157 6+6+2 1A2 191 12+12+4 600ma 191 6+6+2 1A8 226 12+12+4 1A 226 15+16+4+4 650ma 226 16+16+4+4 1A2 371	Relais miniature 1A5 15x10x10m/m 120 Relais Reed DIP 120 Boites complétes ELECTOR(uur) Ampli 4 W 7710/1 250	BEK 036 317.* BEK 022 353.* BEK 024 886 SC/MP 9857 70 Pickmetre 9860 25 SC/MP 9863 325 Amplil00 k 9874 115 SC/MP 9885 580 9893 450 9905 115 9911 110 Tables de mixages T.T.I. 501 226 1050b 325
XR 2206 CP. 290 UAA 170 130 UAA180 130 Résistances carbone 0. FW. 2 par 50 pièces du meme type 1.5 par 100 pièces . 1 Ajustables droits ou couchés 10 Ajustables 10 Tours 50 Potentiomètre 10 tours 300 Résistances Métalfilm 0.5W 3 2.5W 7 0.5W 1% 10	Filtre antiparasites 6A (EX.modulateurs) 395 Transformateurs 2+6 120ma 116 12+12 120ma 116 6+6+2 300ma 145 12+12+1 150ma 145 6+6+2 600ma 157 6+6+2 1A2 191 12+12+4 600ma 191 12+12+4 1A2 191 12+12+4 1A 226 12+12+4 1A 226 12+12+4 1A 226 15+16+4+4 650ma 226 15+16+4+4 1A2 371 28+28+7+7 0.9A 429 28+28+7+7 1A5 510	Relais miniature 1A5 15x10x10m/m 120 Relais Reed DIP 120 Boites complétes ELECTOR(uur) Ampli 4 W 7710/1 250	BEK 036 317. BEK 022 353. BEK 024 88. SC/MP 9857 70. Pickmetre 9860 25. SC/MP 9863 325. Ampli100 W 9874 115. SC/MP 9885 580. 9893 450. 9905 115. 9911 110. Tables de mixages T.T.I. 501 226. 1050b 325. 1050b 325.
XR 2206 CP. 290 UAA 170. 130 UAA180 130 Résistances carbone 0.#W. 2 par 50 pièces du meme type 1,5 par 100 pièces . 1 Ajustables droits ou couchés 10 Ajustables 10 Tours 50 Potentiomètre 10 tours 300 Résistances Métalfilm 0.5W 3 2.5W 7 0.5W 1% 10 Sirène de police 1550 Commutateurs rotatifs 1 circ. 12 pos. 45	Filtre antiparasites 6A (EX.modulateurs) 395 Transformateurs 2+6 120ma 116 12+12 120ma 146 6+6+2 300ma 145 12+12+4 150ma 145 6+6+2 600ma 157 12+12+4 300ma 157 6+6+2 1A2 191 12+12+4 600ma 191 6+6+2 1A8 226 12+12+4 1A 226 15+16+4+4 650ma 226 15+16+4+4 1A2 371 28+28+7+7 1A5 510 28+28+7+7 1A5 510 28+28+7+7 1A8 789	Relais miniature IA5 15x10x10m/m 120 Relais Reed DIP 120 Boites complétes ELECTOR(uur) Ampli 4 w 7710/1 250 15 w 7710/2 400 Preampli 9191 750 Digisplay 9376 940 Compte tour 9392/1+2 avec face avant 900 Kit UAA170 9392/3+4 430 Preampli 9398 600 Ampli correcteur 9399 525 LED audio 9419/1 800 LED audio 9419/2 1280 Alimentation+TF 9448/1 340 TIME BASE 9448 1050 GEN BF XR2206 9453 1595 ALIM LM317 9465 937	BEK 036 317.* BEK 022 353.* BEK 024 886 SC/MP 9857 70 P1ckmetre 9860 25.* SC/MP 9863 325.* Ampli100 w 9874 115.* SC/MP 9885 580 9893 450 9995 115.* 9911 110 Tables de mixages T.T.I. 501 226 1050b 325,* 1060A 392 PREVOX MX 660 279,* MX 777 344
XR 2206 CP	Filtre antiparasites 6A (EX.modulateurs) 395 Transformateurs 2+6 120ma 116 12+12 120ma 116 6+6+2 300ma 145 12+12+4 150ma 145 12+12+4 200ma 157 6+6+2 640ma 157 6+6+2 1A2 191 12+12+4 600ma 191 6+6+2 1A2 191 12+12+4 1A 226 12+12+4 1A 226 15+16+14+4 650ma 226 15+16+14+1 450ma 226 15+16+14+1 1A2 371 28+28+7+7 0.9A 429 28+28+7+7 1A5 510 28+28+7+7 1A5 510 28+28+7+7 2A8 789 Transformateurs audio	Relais miniature 1A5 15x10x10m/m 120 Relais Reed DIP 120 Boites complétes ELECTOR(uur) Ampli 4 W 7710/1 250 15 W 7710/2 400 Preampli 9191 750 Digisplay 9376 940 Compte tour 9392/1+2 avec face avant 900 Kit UAA170 9392/3+4 430 Preampli 9398 600 Ampli correcteur 9399 525 LED audio 9419/1 800 LED audio 9419/1 800 LED audio 9419/2 1280 Alimentation+TF 9448/1 340 TIME BASE 9448 1050 GEN BF XR2206 9453 1595 ALIM LM317 9465 937 Mire CCIR 9800/1 2000	BEK 036 317.* BEK 022 353.* BEK 024 886 SC/MP 9857 70 Pickmetre 9860 25 SC/MP 9863 325 Ampli100 w 9874 115 SC/MP 9885 580 9893 450 9905 115 9911 110 Tables de mixages T.T.I. 501 226 1050b 325.* 1060A 392.* PREVOX MX 660 279
XR 2206 CP. 290 UAA 170. 130 UAA180 130 Résistances carbone 0.FW. 2 par 50 pièces du meme type 1,5 par 100 pièces . 1 Ajustables droits ou couchés 10 Ajustables 10 Tours 50 Potentiomètre 10 tours 300 Résistances Métalfilm 0.5W 3 2.5W 7 0.5W 15 10 Sirène de police 1550 Commutateurs rotatifs 1 circ. 12 pos 45 2 circ. 6 pos 45 3 circ. 4 pos 45	Filtre antiparasites 6A (EX.modulateurs) 395 Transformateurs 2+6 120ma 116 12+12 120ma 116 6+6+2 300ma 145 6+6+2 600ma 157 12+12+4 150ma 157 6+6+2 42 191 12+12+4 600ma 157 6+6+2 1A2 191 12+12+4 600ma 191 6+6+2 1A8 226 12+12+4 1A 226 12+12+4 1A 226 15+16+4+4 650ma 226 15+16+4+4 1A2 371 28+28+7+7 0.9A 429 28+28+7+7 1A5 510 28+28+7+7 2A8 789 Transformateurs audio 3000-5000-7000//3-5 174	Relais miniature IA5 15x10x10m/m 120 Relais Reed DIP 120 Boites complétes ELECTOR(uur) Ampli 4 w 7710/1 250	BEK 036 317.* BEK 022 353.* BEK 024 886 SC/MP 9857 70 Pickmetre 9860 25. SC/MP 9863 325. Ampli100 W 9874 115. SC/MP 9885 580 9893 450 9905 115. 9911 110 Tables de mixages T.T.I. 501 226 1050b 325. 1060A 392.* PREVOX MX 660 279. MX 777 344 MX 888 495.*
XR 2206 CP. 290 UAA 170. 130 UAA180 . 130 Résistances carbone 0. W	Filtre antiparasites 6A (EX.modulateurs) 395 Transformateurs 2+6 120ma 116 12+12 120ma 116 6+6+2 300ma 145 12+12+4 150ma 145 12+12+4 200ma 157 6+6+2 640ma 157 6+6+2 1A2 191 12+12+4 600ma 191 6+6+2 1A2 191 12+12+4 1A 226 12+12+4 1A 226 15+16+14+4 650ma 226 15+16+14+1 450ma 226 15+16+14+1 1A2 371 28+28+7+7 0.9A 429 28+28+7+7 1A5 510 28+28+7+7 1A5 510 28+28+7+7 2A8 789 Transformateurs audio	Relais miniature 1A5 15x10x10m/m 120 Relais Reed DIP 120 Boites complétes ELECTOR(uur) Ampli 4 W 7710/1 250	BEK 036
XR 2206 CP. 290 UAA 170. 130 Résistances carbone 0. #W. 2 par 50 pièces du meme type 1.5 par 100 pièces . 1 Ajustables droits ou couchés 10 Ajustables 10 Tours 50 Potentiomètre 10 tours 300 Résistances Métalfilm 0.5W 3 2.5W 7 0.5W 15 10 Sirène de police . 1550 Commutateurs rotatifs 1 circ. 12 pos 45 2 circ. 6 pos 45 3 circ. 4 pos 45 4 circ. 3 pos 45 Avec ergot de positionnement	Filtre antiparasites 6A (EX.modulateurs) 395 Transformateurs 395 Transformateurs 116 12+12 120ma 116 6+6+2 300ma 145 12+12+4 150ma 145 6+6+2 600ma 157 12+12+4 300ma 157 6+6+2 1A2 191 12+12+4 500ma 191 6+6+2 1A8 226 12+12+4 1A 226 15+16+4+4 650ma 226 15+16+4+4 1A2 371 28+28+7+7 1A5 510 28+28+7+7 1A5 510 28+28+7+7 2A8 789 Transformateurs audio 3000-5000-7000/3-5 174 universel 244 800//2.5-5 168 62.5-125-250-500//5-7-15.249	Relais miniature IA5 15x10x10m/m	BEK 036
XR 2206 CP	Filtre antiparasites 6A (EX.modulateurs) 395 Transformateurs 2+6 120ma 116 12+12 120ma 116 6+6+2 300ma 145 12+12+1 150ma 145 6+6+2 600ma 157 12+12+4 300ma 157 6+6+2 1A2 191 12+12+4 600ma 191 12+12+4 1A 226 12+12+4 1A 226 12+12+4 1A 226 13+16+4+4 650ma 226 16+16+4+4 1A2 371 28+28+7+7 1A5 510 28+28+7+7 1A5 510 28+28+7+7 1A5 510 28+28+7+7 2A8 789 Transformateurs audio 3000-5000-7000//3-5 174 universel 244 800//2.5-5 168 62.5-125-250-500//5-7-15.249 Transfo de separation	Relais miniature 1A5 15x10x10m/m 120 Relais Reed DIP 120 Boites complétes ELECTOR(uur) Ampli 4 W 7710/1 250 15 W 7710/2 400 Preampli 9191 750 Digisplay 9176 940 Compte tour 9192/1+2 avec face avant 900 Kit UAA170 9192/3+4 430 Preampli 9398 600 Ampli correcteur 9399 525 LED audio 9419/1 800 LED audio 9419/1 800 LED audio 9419/2 1280 Alimentation+TF 9448/1 340 TIME BASE 9448 1050 GEN BF XR2206 9453 1595 ALIM LM317 9465 937 Mire CCIR 9800/1 2000 9800/2 535 9800/3 860 LED UAA170 9817/1+2 620 Magnetiseur 9827 395 SC/MP 9846/1 1550	BEK 036 317. BEK 022 353. BEK 024 886 SC/MP 9857 70 Pickmetre 9860 25 SC/MP 9863 325 Amplil00 w 9874 115 SC/MP 9885 580 9893 450 9995 115 9911 110 Tables de mixages T.T.I. 501 226 1050b 325: 1060A 392: 1060A 392: MX 777 344 MX 788 495: Plaques C.I. Bakelite 200 x 150 36 290 x 200 55 400 x 280 50
XR 2206 CP. 290 UAA 170. 130 UAA180 . 130 Résistances carbone 0.#W. 2 par 50 pièces du meme type 1,5 par 100 pièces . 1 Ajustables droits ou couchés 10 Ajustables 10 Tours 50 Potentiomètre 10 tours 300 Résistances Métalfilm 0.5W 3 2.5W 7 0.5W 15 10 Sirène de police 1550 Commutateurs rotatifs 1 circ. 12 pos 45 2 circ. 6 pos 45 3 circ. 4 pos 45 4 circ. 3 pos 45 4 circ. 3 pos 45 Avec ergot de positionnement Oscillo Tektronix D 61A (2x 10 MHZ) 17900	Filtre antiparasites 6A (EX.modulateurs) 395 Transformateurs 2+6 120ma 116 12+12 120ma 116 6+6+2 300ma 145 12+12+1 150ma 145 6+6+2 600ma 157 12+12+4 300ma 157 6+6+2 1A2 191 12+12+4 400ma 191 6+6+2 1A8 226 12+12+4 1A 226 12+12+4 1A 226 15+16+4+4 650ma 226 16+16+4+4 1A2 371 28+28+7+7 0.9A 429 28+28+7+7 1A5 510 28+28+7+7 2A8 789 Transformateurs audio 3000-5000-7000/000/5-5 174 universel 244 800//2.5-5 168 62.5-125-250-500//5-7-15.249 Transfo de separation 100 VA 528	Relais miniature 1A5 15x10x10m/m 120 Relais Reed DIP 120 Boites complétes ELECTOR(uur) Ampli 4 w 7710/1 250 15 W 7710/2 400 Preampli 9191 750 Digisplay 9376 940 Compte tour 9392/1+2 avec face avant 900 Kit UAA170 9392/3+4 430 Preampli 9398 600 Ampli correcteur 9399 525 LED audio 9419/1 800 LED audio 9419/2 1280 Alimentation+TF 9448/1 340 TIME BASE 9448 1050 GEN BF XR2206 9453 1595 ALIM LM317 9465 937 Mire CCIR 9800/1 2000 9800/2 535 9800/3 860 LED UAA170 9817/1+2 620 Magnetiseur 9827 395 SC/MP 9846/1 1550 9846/1 1550 9846/1 1550	BEK 036 317.* BEK 022 353.* BEK 024 886 SC/MP 9857 70 Pickmetre 9860 25. SC/MP 9863 325. Ampli100 W 9874 115. SC/MP 9885 580 9893 450 9905 115. 9911 110 Tables de mixages T.T.I. 501 226 1050b 325. 1060A 392.* PREVOX MX 660 279.* MX 777 344 MX 888 495.* Plaques C.I. Bakelite 200 x 150 3290 290 55. 400 x 280 5. 400 x 280 100 290 x 200 590xy 156
XR 2206 CP. 290 UAA 170. 130 UAA180 130 Résistances carbone 0.FW. 2 par 50 pièces du meme type 1.5 par 100 pièces . 1 Ajustables droits ou couchés 10 Ajustables 10 Tours 50 Potentiomètre 10 tours 300 Résistances Métalfilm 0.5W 3 2.5W 7 0.5W 15 10 Sirène de police 1550 Commutateurs rotatifs 1 circ. 12 pos. 45 2 circ. 6 pos. 45 3 circ. 4 pos. 45 4 circ. 3 pos. 45 4 circ. 3 pos. 45 4 cere got de positionnement 0scillo Tektronix D 61A (2x 10 MHZ) 17900 S 61 (1x5 MHZ) 13000	Filtre antiparasites 6A (EX.modulateurs) 395 Transformateurs 2+6	Relais miniature IA5 15x10x10m/m 120 Relais Reed DIP 120 Boites complétes ELECTOR(uur) Ampli 4 W 7710/1 250	BEK 036 317. BEK 022 353. BEK 024 886 SC/MP 9857 70 Pickmetre 9860 25. SC/MP 9863 325. Ampli100 W 9874 115. SC/MP 9885 580 9893 450 9905 115. 9911 110 Tables de mixages T.T.I. 501 226 1050b 325. 1050b 325. 1060A 392. PREVOX MX 660 279. MX 777 344 MX 888 495. Plaques C.I. Bakelite 200 x 150 3290 x 200 50400 x 280 100 290 x 200 50400 x 280 100 290 x 200 Epoxy 154 400 x 280 286
XR 2206 CP	Filtre antiparasites 6A (EX.modulateurs) 395 Transformateurs 2+6 120ma 116 12+12 120ma 116 6+6+2 300ma 145 6+6+2 600ma 157 12+12+4 150ma 157 6+6+2 142 191 12+12+4 300ma 157 6+6+2 1A8 226 12+12+4 1A 226 15+16+4+4 650ma 226 15+16+4+4 1A2 371 28+28+7+7 1A5 510 28+28+7+7 1A5 510 28+28+7+7 2A8 789 Transformateurs audio 3000-5000-7000//3-5 174 universel 244 800//2.5-5 686 62.5-125-250-500//5-7-15.249 Transfo de separation 100 VA 528 250 VA 1050	Relais miniature 1A5 15x10x10m/m 120 Relais Reed DIP 120 Boites complétes ELECTOR(uur) Ampli 4 w 7710/1 250 15 w 7710/2 400 Preampli 9191 750 Digisplay 9376 940 Compte tour 9392/1+2 avec face avant 900 Kit UAA170 9392/3+4 430 Preampli 9398 600 Ampli correcteur 9399 525 LED audio 9419/1 800 LED audio 9419/2 1280 Alimentation+TF 9448/1 340 TIME BASE 9448 1050 GEN BF XR2206 9453 1595 ALIM LM317 9465 937 Mire CCIR 9800/1 2000 9800/3 860 LED UAA170 9817/1+2 620 Magnetiseur 9827 395 SC/MP 9846/1 1550 9846/2 1650 9851 3851 Foreuse pour C.I. 609	BEK 036 317. BEK 022 353. BEK 024 886 SC/MP 9857 70 Pickmetre 9860 25. SC/MP 9863 325. Ampli100 w 9874 115. SC/MP 9885 580 9893 450 9905 115. 9911 110 Tables de mixages T.T.I. 501 226 1050b 325. 1060A 392. PREVOX MX 660 279. MX 777 344 MX 888 495. Plaques C.I. Bakelite 200 x 150 30 290 x 200 5. 400 x 280 100 290 x 280 100 286 Switch mini dip
XR 2206 CP	Filtre antiparasites 6A (EX.modulateurs) 395 Transformateurs 2+6 120ma 116 12+12 120ma 116 6+6+2 300ma 145 12+12+1 150ma 145 6+6+2 600ma 157 12+12+4 300ma 157 6+6+2 1A2 191 12+12+4 600ma 191 12+12+4 1A 226 12+12+4 1A 226 13+16+4+4 1A2 371 28+28+7+7 1A5 510 28+28+7+7 1A5 510 28+28+7+7 2A8 789 Transformateurs audic 3000-5000-7000//3-5 174 universel 244 800//2.5-5 168 62.5-125-250-500//5-7-15.249 Transfo de separation 100 VA 528 250 VA 1050	Relais miniature 1A5 15x10x10m/m 120 Relais Reed DIP 120 Boites complétes ELECTOR(uur) Ampli 4 w 7710/1 250 15 w 7710/2 400 Preampli 9191 750 Digisplay 9176 940 Compte tour 9192/1+2 avec face avant 900 Kit UAA170 9192/3+4 430 Preampli 9398 600 Ampli correcteur 9399 525 LED audio 9419/1 800 LED audio 9419/1 800 LED audio 9419/1 800 LED audio 9419/2 1280 Alimentation+TF 9448/1 340 TIME BASE 9448 1050 GEN BF XR2206 9453 1595 ALIM LM317 9465 937 Mire CCIR 9800/1 2000 9800/2 535 9800/3 860 LED UAA170 9817/1+2 620 Magnetiseur 9827 395 SC/MP 9816/2 1650 9851 3851 Foreuse pour C.I. 609 Fer a souder 25 w 260	BEK 036 317. BEK 022 353. BEK 024 886 SC/MP 9857 70 Pickmetre 9860 25 SC/MP 9863 325 Amplil00 k 9874 115. SC/MP 9885 580 9893 450 9995 115 9911 110 Tables de mixages T.T.I. 501 226 1050b 325 1050b 325 1050b 325 1060A 392. PREVOX MX 660 279 MX 777 344 MX 888 495. Plaques C.I. Bakelite 200 x 150 30 290 x 200 50 400 x 280 100 290 x 200 Epoxy 156 400 x 280 286 Switch mini dip 4 contacts 100
XR 2206 CP	Filtre antiparasites 6A (EX.modulateurs) 395 Transformateurs 2+6	Relais miniature 1A5 15x10x10m/m 120 Relais Reed DIP 120 Boites complétes ELECTOR(uur) Ampli 4 w 7710/1 250 15 w 7710/2 400 Preampli 9191 750 Digisplay 9176 940 Compte tour 9192/1+2 avec face avant 900 Kit UAA170 9192/3+4 430 Preampli 9398 600 Ampli correcteur 9399 525 LED audio 9419/1 800 LED audio 9419/1 800 LED audio 9419/2 .1280 Alimentation+TF 9448/1 340 TIME BASE 9448 1050 GEN BF XR2206 9453 1595 ALIM LM317 9465 937 Mire CCIR 9800/1 2000 9800/2 535 9800/3 860 LED UAA170 9817/1+2 620 Magnetiseur 9827 395 SC/MP 9846/2 1650 9846/2 1650 9851 3851 Foreuse pour C.L. 609 Fer a souder 25 w 260 40 w 300 Pinces pour spots 230	BEK 036 317. BEK 022 353. BEK 024 886 SC/MP 9857 70 Pickmetre 9860 25. SC/MP 9863 325. Ampli100 W 9874 115. SC/MP 9885 580 9893 450 9995 115. 9991 110 Tables de mixages T.T.I. 501 226 1050b 325. 1060A 392. PREVOX MX 660 279. WX 777 344 WX 888 495. Plaques C.I. Bakelite 200 x 150 3290 x 200 564 400 x 280 100 290 x 200 554 400 x 280 280 Switch mini dip 4 contacts 108
XR 2206 CP	Filtre antiparasites 6A (EX.modulateurs) 395 Transformateurs 2+6	Relais miniature IA5 15x10x10m/m 120 Relais Reed DIP 120 Boites complétes ELECTOR(uur) Ampli 4 w 7710/1 250 15 W 7710/2 400 Preampli 9191 750 Digisplay 9376 940 Compte tour 9392/1+2 avec face avant 900 Kit UAA170 9392/3+4 430 Preampli 9398 600 Ampli correcteur 9399 520 LED audio 9419/1 800 LED audio 9419/2 1280 Alimentation+TF 9448 1050 GEN BF XR2206 9453 1595 ALIM LM317 9465 937 Mire CCIR 9800/1 2000 9800/2 535 9800/3 860 LED UAA170 9817/1+2 620 Magnetiseur 9827 395 SC/MP 9846/1 1550 9851 3851 Foreuse pour C.1. 609 Fer a souder 25 w 260 Fer a souder 25 w 260	BEK 036 317. BEK 022 353. BEK 024 886 SC/MP 9857 70 Pickmetre 9860 25. SC/MP 9863 325. Ampli100 W 9874 115. SC/MP 9885 580 9893 450 9995 115. 9911 110 Tables de mixages T.T.I. 501 226 1050b 325. 1060A 392. PREVOX MX 660 279. MX 777 344 MX 888 495. Plaques C.I. Bakelite 200 x 150 30. 290 x 200 5. 400 x 280 100 290 x 200 59xy 154 400 x 280 286 Switch mini dip 4 contacts 100 5
XR 2206 CP. 290 UAA 170. 130 UAA180. 130 Résistances carbone 0. W. 2 par 50 pièces du meme type 1,5 par 100 pièces . 1 Ajustables droits ou couchés 10 Ajustables 10 Tours 50 Potentiomètre 10 tours 300 Résistances Métalfilm 0.5W 3 2.5W 7 0.5W 1% 10 Sirène de police 1550 Commutateurs rotatifs 1 circ. 12 pos. 45 3 circ. 4 pos. 45 3 circ. 4 pos. 45 3 circ. 4 pos. 45 4 circ. 3 pos. 45 6 circ. 4 pos. 45 6 circ. 4 pos. 45 7 cord. 17900 S61 (1x5 MHZ) 17900 S61 (1x5 MHZ) 13000 Appareil de tableau a cadre mobile 50ua 350 1ma 5ma 10ma 330 15A 20A 410 100V 300V 345	Filtre antiparasites 6A (EX.modulateurs) 395 Transformateurs 2+6 120ma 116 12+12 120ma 116 6+6+2 300ma 145 12+12+2 150ma 145 6+6+2 600ma 157 6+6+2 1A2 191 12+12+4 300ma 197 6+6+2 1A2 191 12+12+4 4 600ma 191 6+6+2 1A2 191 12+12+4 1A 226 12+12+4 1A 226 15+16+14+4 650ma 226 15+16+14+4 1A2 371 28+28+7+7 0.9A 429 28+28+7+7 1A5 510 28+28+7+7 1A5 510 28+28+7+7 2A8 789 Transformateurs audio 3000-5000-7000//3-5 174 universel 244 800//2.5-5 168 62.5-125-250-500//5-7-15.249 Transfo de separation 100 VA 528 250 VA 1050 42 x 18 KM 48 100ua 200ua 500ua 345 500ma 1A 5A 10A 345 10V 15V 30V 50V 345 15V 30V 300V AC 365 60 x 66 KM 66	Relais miniature 1A5 15x10x10m/m 120 Relais Reed DIP 120 Boites complétes ELECTOR(uur) Ampli 4 w 7710/1 250 15 w 7710/2 400 Preampli 9191 750 Digisplay 9376 940 Compte tour 9392/1+2 avec face avant 900 Kit UAA170 9392/3+4 430 Preampli 9398 600 Ampli correcteur 9399 525 LED audio 9419/1 800 LED audio 9419/1 800 LED audio 9419/2 1280 Alimentation+TF 9448/1 340 TIME BASE 9448 1050 GEN BF KR2206 9453 1595 ALIM LM317 9465 937 Mire CCIR 9800/1 2000 9800/2 535 9800/3 860 LED UAA170 9817/1+2 620 Magnetiseur 9827 395 SC/MP 9846/1 1550 9846/2 1650 9851 3851 Foreuse pour C.I. 609 Fer a souder 25 w 260 40 w 300 Pinces pour spots 230 Petit rouleau de soudure	BEK 036 317. BEK 022 353. BEK 024 886 SC/MP 9857 70 Pickmetre 9860 25 SC/MP 9863 325 Amplil00 w 9874 115. SC/MP 9885 580 9893 450 9905 115 9911 110 Tables de mixages T.T.I. 501 226 1050b 325. 1060A 392. 1060A 392. MX 777 344 MX 777 344 MX 888 495. Plaques C.I. Bakelite 200 x 150 290 x 200 55 400 x 280 50 290 x 200 55 400 x 280 280 Switch mini dip 4 contacts 100 5 108 8 115
XR 2206 CP. 290 UAA 170. 130 UAA180 130 Résistances carbone 0.FW. 2 par 50 pièces du meme type 1.5 par 100 pièces . 1 Ajustables droits ou couchés 10 Ajustables droits ou couchés 10 Ajustables 10 Tours 50 Potentiomètre 10 tours 300 Résistances Métalfilm 0.5W 3 2.5W 7 0.5W 15 10 Sirène de police 1550 Commutateurs rotatifs 1 circ. 12 pos 45 2 circ. 6 pos 45 3 circ. 4 pos 45 4 circ. 3 pos 45 5 circ. 4 pos 50 10 Sirène de politionnement 0 Scillo Tektronix D 61A (2x 10 MHZ) 17900 S 61 (1x5 MHZ) 13000 Appareil de tableau a cadre mobile 50ua 300 15A 20A 410 100V 300V 345 50ua 100ua 395	Filtre antiparasites 6A (EX.modulateurs) 395 Transformateurs 2+6	Relais miniature 1A5 15x10x10m/m 120 Relais Reed DIP 120 Boites complétes ELECTOR(uur) Ampli 4 W 7710/1 250	BEK 036 317. BEK 022 353. BEK 024 886 SC/MP 9857 70 Pickmetre 9860 25 SC/MP 9863 325 Ampli100 W 9874 115 SC/MP 9885 580 9893 450 9905 115 9911 110 Tables de mixages T.T.I. 501 226 1050b 325 1050b 325 1050b 325 1060A 392: MX 777 344 MX 888 495: PREVOX MX 660 279 MX 777 344 MX 888 495: Plaques C.I. Bakelite 200 x 150 3 290 x 200 5 400 x 280 100 290 x 200 5 400 x 280 280 Switch mini dip 4 contacts 108 8 115 10 140 Voltmétre Amper-1yon 48 x 48
XR 2206 CP. 290 UAA 170. 130 UAA180 130 Résistances carbone 0. FW. 2 par 50 pièces du meme type 1.5 par 100 pièces . 1 Ajustables droits ou couchés 10 Ajustables droits ou couchés 10 Ajustables 10 Tours 50 Potentiomètre 10 tours 300 Résistances Métalfilm 0.5W 3 2.5W 7 0.5W 15 10 Sirène de police 1550 Commutateurs rotatifs 1 circ. 12 pos. 45 2 circ. 6 pos. 45 3 circ. 4 pos. 45 4 circ. 3 pos. 45 4 circ. 3 pos. 45 4 circ. 3 pos. 45 Avec ergot de positionnement Oscillo Tektronix D 61A (2x 10 MHZ) 17900 S 61 (1x5 MHZ) 13000 Appareil de tableau a cadre mobile 50ua 350 1ma 5ma 10ma 330 15A 20A 110 100W 300W 345 50ua 100ua 395 100ma 500ma 1A 5A 390 10V 15V 30V 50V 100V 300 380	Filtre antiparasites 6A (EX.modulateurs) 395 Transformateurs 2+6 120ma 116 12+12 120ma 116 6+6+2 300ma 145 12+12+1 150ma 145 6+6+2 600ma 157 12+12+4 300ma 157 6+6+2 1A2 191 12+12+4 600ma 191 6+6+2 1A8 226 12+12+4 1A 226 12+12+4 1A 226 13+16+4+4 550ma 226 16+16+4+4 1A2 371 28+28+7+7 1A5 510 28+28+7+7 2A8 789 Transformateurs audic 3000-5000-7000/7-5 174 universel 244 800/2.5-5 168 62.5-125-250-500/5-7-15.249 Transfo de separation 100 VA 528 250 VA 1050 42 x 48 KM 48 100ua 200ua 500ua 345 500ma 1A 5A 10A 345 10V 15V 30V 300V AC 365 60 x 66 KM 66 100ua 200ua 1ma 10ma 375 10A 15A 20A 400 15V 30V 300V AC 410	Relais miniature 1A5 15x10x10m/m 120 Relais Reed DIP 120 Boites complétes ELECTOR(uur) Ampli 4 w 7710/1 250	BEK 036 317. BEK 022 353. BEK 024 886 SC/MP 9857 70 Pickmetre 9860 25 SC/MP 9863 325 Amplit00 w 9874 115 SC/MP 9885 580 9893 450 9905 115 9911 110 Tables de mixages T.T.I. 501 226 1050b 325 1050b 325 1050b 325 1060A 392: MX 777 344 MX 888 495 PREVOX MX 660 279 MX 777 344 MX 888 495 Plaques C.I. Bakelite 200 x 150 3290 x 200 55 400 x 280 50 290 x 200 55 400 x 280 100 290 x 200 Epoxy 150 400 x 280 280 Switch mini dip 4 contacts 100 5 108 8 115 10 140 Voltmétre Amper-lyon 48 x 48 6V 10V 15V 150 20V 30V 35V 180
XR 2206 CP	Filtre antiparasites 6A (EX.modulateurs) 395 Transformateurs 2+6 120ma 116 12+12 120ma 116 6+6+2 300ma 145 12+12+1 150ma 145 6+6+2 600ma 157 12+12+4 300ma 157 6+6+2 1A2 191 12+12+4 4 600ma 191 6+6+2 1A8 226 12+12+4 1A 226 12+12+4 1A 226 15+16+4+4 650ma 226 16+16+4+4 1A2 371 28+28+7+7 0.9A 429 28+28+7+7 1A5 510 28+28+7+7 2A8 789 Transformateurs audio 3000-5000-7000//3-5 174 universel 244 8800/2.5-5 168 62.5-125-250-500//5-7-15.249 Transfo de separation 100 VA 528 250 VA 1050 42 x 48 KM 48 100ua 200ua 500ua 345 500ma 1A 5A 10A 345 10V 15V 30V 30V AC 365 60 x 66 KM 66 100ua 200ua 1ma 10ma 375 10A 15A 20A 400 15V 30V 30V AC 410 10A 15A 20A 400 15V 30V 30V AC 410 10A 15A 20A 400 15V 30V 30V AC 410 10A 15A 20A 400	Relais miniature IA5 15x10x10m/m 120 Relais Reed DIP 120 Boites complétes ELECTOR(uur) Ampli 4 w 7710/1 250	BEK 036 317. BEK 022 353. BEK 024 886 SC/MP 9857 70 Pickmetre 9860 25 SC/MP 9863 325 Amplil00 w 9874 115 SC/MP 9885 580 9893 450 9905 115 9911 110 Tables de mixages T.T.I. 501 226 1050b 325, 1060A 392 PREVOX MX 660 279 MX 777 344 XX 888 495 Plaques C.I. Bakelite 200 x 150 32 400 x 280 50 400 x 280 100 290 x 200 Epoxy 15, 400 x 280 280 Switch mini dip 4 contacts 100 5 108 Switch mini dip 4 contacts 100 5 108 8 115 10 Voltmétre Amper-lyon 48 x 48 6V 10V 15V 150 20V 30V 35V 180 60V 150V 15V 150 20V 30V 35V 180 60V 150V 15V 150 20V 30V 35V 180 60V 1550V 150V 150 20V 35V 150V 150V 150V 20V 30V 35V 180 60V 150V 150V 150V 150V 20V 30V 35V 180 60V 150V 150V 150V 150V 150C
XR 2206 CP. 290 UAA 170. 130 UAA180 130 Résistances carbone 0. FW. 2 par 50 pièces du meme type 1.5 par 100 pièces . 1 Ajustables droits ou couchés 10 Ajustables droits ou couchés 10 Ajustables 10 Tours 50 Potentiomètre 10 tours 300 Résistances Métalfilm 0.5W 3 2.5W 7 0.5W 15 10 Sirène de police 1550 Commutateurs rotatifs 1 circ. 12 pos. 45 2 circ. 6 pos. 45 3 circ. 4 pos. 45 3 circ. 4 pos. 45 4 circ. 3 pos. 35 4 circ. 4 pos 45 50 (1x5 MHZ) 17900 Appareil de tableau a cadre mobile 50ua 350 1ma 5ma 10ma 330 15A 20A 410 100V 300V 345 50ua 100ua 395 100ma 500ma 1A 5A 390 10V 15V 30V 50V 100V 300 380 1A 5A AC 425	Filtre antiparasites 6A (EX.modulateurs) 395 Transformateurs 2+6	Relais miniature 1A5 15x10x10m/m 120 Relais Reed DIP 120 Boites complétes ELECTOR(uur) Ampli 4 w 7710/1 250 15 w 7710/2 400 Preampli 9191 750 Digisplay 9376 940 Compte tour 9392/1+2 avec face avant 900 Kit UAA170 9392/3+4 430 Preampli 9398 600 Ampli correcteur 9399 525 LED audio 9419/1 800 LED audio 9419/1 800 LED audio 9419/1 800 LED audio 9419/2 1280 Alimentation+TF 9448/1 340 TIME BASE 9448 1050 GEN BF XR2206 9453 1595 ALIM LM317 9465 937 Mire CCIR 9800/1 2000 9800/2 535 9800/3 860 LED UAA170 9817/1+2 620 Magnetiseur 9827 395 SC/MP 9846/1 1550 9846/2 1650 9851 3851 Foreuse pour C.1. 609 Fer a souder 25 w 260 40 w 300 Pinces pour spots 230 Petit rouleau de soudure 40 Appareil de mesure Multimetre 1000 ohm/v 400 50000 520 20000 ohm/v C7205 660	BEK 036 317. BEK 022 353. BEK 024 886 SC/MP 9857 70 Pickmetre 9860 25 SC/MP 9863 325 Amplil00 w 9874 115 SC/MP 9885 580 9893 450 9995 115 9911 110 Tables de mixages T.T.I. 501 26 1050b 325 1050b 325 1050b 325 1060A 392 PREVOX MX 660 279 MX 777 344 MX 888 495 Plaques C.I. Bakelite 200 x 150 36 290 x 200 55 400 x 280 100 290 x 200 Epoxy 156 400 x 280 286 Switch mini dip 4 contacts 100 5 108 8 115 10 140 Voltmétre Amper-lyon 48 x 48 6V 10V 15V 150 60V 150V 195 550V 300V 35V 180 60V 150V 195 550V 300V 195 550V 300V 35V 180 60V 150V 195 550V 300V 275
XR 2206 CP. 290 UAA 170. 130 UAA180 130 Résistances carbone 0.FW. 2 par 50 pièces du meme type 1.5 par 100 pièces . 1 Ajustables droits ou couchés 10 Ajustables 10 Tours 50 Potentiomètre 10 tours 300 Résistances Métalfilm 0.5W 3 2.5W 7 0.5W 15 10 Sirène de police 1550 Commutateurs rotatifs 1 circ. 12 pos 45 2 circ. 6 pos 45 3 circ. 4 pos 45 4 circ. 3 pos 45 5 acirc. 4 pos 5 61 (1x5 MHZ) 17900 S 61 (1x5 MHZ) 17900 S 61 (1x5 MHZ) 13000 Appareil de tableau a cadre mobile 50ua 300 Appareil de tableau a cadre mobile 50ua 300 Ima 50ma 300 Ima 50ma 300 Ima 50ma 300 Ima 500ma 100ua 395 I00ma 500ma 1A 5A 390 IOV 15V 30V 50V 100V 300 380 IA 5A AC 425	Filtre antiparasites 6A (EX.modulateurs) 395 Transformateurs 2+6	Relais miniature 1A5 15x10x10m/m 120 Relais Reed DIP 120 Boites complétes ELECTOR(uur) Ampli 4 W 7710/1 250	BEK 036 317. BEK 022 353. BEK 024 886 SC/MP 9857 70 Pickmetre 9860 25 SC/MP 9863 325 Ampli100 W 9874 115 SC/MP 9885 580 9893 450 9905 115 9911 110 Tables de mixages T.T.I. 501 226 1050b 325 1060A 392: 1060A 392: MX 777 344 MX 888 495: PREVOX MX 660 279 MX 777 344 MX 888 495: Plaques C.I. Bakelite 200 x 150 30 290 x 200 50 400 x 280 100 290 x 200 50 400 x 280 280 Switch mini dip 4 contacts 100 5 108 8 115 10 140 Voltmétre Amper-lyon 48 x 48 60 100 150 150 200 300 355 186 600 1500 355 186 600 1500 350 350 2500 3000 255 108 600 1500 355 186 600 1500 355 186 600 1500 355 186 600 1500 355 186 600 1500 350 360 2550 3000 275
XR 2206 CP. 290 UAA 170. 130 UAA180 130 Résistances carbone 0.FW. 2 par 50 pièces du meme type 1.5 par 100 pièces . 1 Ajustables droits ou couchés 10 Ajustables droits ou couchés 10 Ajustables 10 Tours 50 Potentiomètre 10 tours 300 Résistances Métalfilm 0.5W 3 2.5W 7 0.5W 15 10 Sirène de police 1550 Commutateurs rotatifs 1 circ. 12 pos 45 2 circ.6 pos 45 3 circ. 4 pos 45 4 circ. 3 pos 45 5 circ. 4 pos 5 45 5 circ. 4 pos 5 45 5 circ. 4 pos 5 45 5 circ. 5 pos 5 5 5 5 5 5 5 5 5 5 5 5 5 5 5 5 5 5 5	Filtre antiparasites 6A (EX.modulateurs) 395 Transformateurs 2+6	Relais miniature 1A5 15x10x10m/m 120 Relais Reed DIP 120 Relais Reed DIP 120 Boites complétes ELECTOR(uur) Ampli 4 w 7710/1 250	BEK 036 317. BEK 022 353. BEK 024 886 SC/MP 9857 70 Pickmetre 9860 25 SC/MP 9863 325 Ampli100 W 9874 115 SC/MP 9885 580 9893 450 9905 115 9911 110 Tables de mixages T.T.I. 501 226 1050b 325 1050b 325 1050b 325 1060A 392: MX 777 344 MX 888 495: PREVOX MX 660 279 MX 777 344 MX 888 495: Plaques C.I. Bakelite 200 x 150 32 290 x 200 5 400 x 280 100 290 x 200 55 400 x 280 288 Switch mini dip 4 contacts 100 5 108 8 115 10 140 Voltmétre Amper-lyon 48 x 48 60 10 15 1 15 20 30 35 188 60 150 35 188 60 30 30 30 30 30 30 30 30 30 30 30 30 30
XR 2206 CP. 290 UAA 170. 130 Résistances carbone 0.#W. 2 par 50 pièces du meme type 1.5 par 100 pièces . 1 Ajustables droits ou couchés 10 Ajustables 10 Tours . 50 Potentiomètre 10 tours . 300 Résistances Métalfilm 0.5W . 3 2.5W . 7 0.5W 1% . 10 Sirène de police . 1550 Commutateurs rotatifs 1 circ. 12 pos. 45 2 circ.6 pos. 45 3 circ. 4 pos. 45 4 circ. 3 pos. 45 5 circ. 4 pos. 5 4 circ. 3 pos. 45 5 circ. 4 pos. 5 5 circ.	Filtre antiparasites 6A (EX.modulateurs) 395 Transformateurs 2+6	Relais miniature 1A5 15x10x10m/m 120 Relais Reed DIP 120 Boites complétes ELECTOR(uur) Ampli 4 w 7710/1 250 15 w 7710/2 400 Preampli 9191 750 Digisplay 9376 940 Compte tour 9392/1+2 avec face avant 900 Kit UAA170 9392/3+4 430 Preampli 9398 600 Ampli correcteur 9399 525 LED audio 9419/1 800 LED audio 9419/1 800 LED audio 9419/1 800 LED audio 9419/1 800 SEMP 1882E 9448 1050 GEN BEF XR2206 9453 1595 ALIM LM317 9465 937 Mire CCIR 9800/1 2000 9800/2 535 9800/3 860 LED UAA170 9817/1+2 620 Magnetiseur 9827 395 SC/MP 9846/1 1550 9846/2 1650 9846/2 1650 9851 3851 Foreuse pour C.I. 609 Fer a souder 25 w 260 Per a souder 25 w 260 Pinces pour spots 230 Petit rouleau de soudure 40 Appareil de mesure Multimetre 1000 ohm/V 400 5000 520 20000 ohm/V C7205 660 7202 765 7201 905 7082 1420 7082 1420 7082 1420 7082 1420 7082 1420 7082 1420 7082 1420 Voyants neon rouge-vert	BEK 036 317. BEK 022 352. BEK 024 886 SC/MP 9857 70 Pickmetre 9860 25 SC/MP 9863 325 Ampli100 w 9874 115. SC/MP 9885 580 9893 450 9905 115 9911 110 Tables de mixages T.T.I. 501 226 1050b 325; 1060A 392; MX 777 344 MX 777 344 MX 888 495. Plaques C.I. Bakelite 200 x 150 36 290 x 200 55; 400 x 280 50 290 x 200 590xy 15; 400 x 280 50 Switch mini dip 4 contacts 100 5 108 Switch mini dip 4 contacts 100 5 108 Switch mini dip 4 contacts 100 5 108 60 101 157 150 207 307 357 180 607 1507 197 2507 3007 275 Acepéremetre 50ma 100ma 150ma 300ma 500ma 150ma 300ma 100ma 150ma
XR 2206 CP. 290 UAA 170. 130 UAA180 130 Résistances carbone 0.FW. 2 par 50 pièces du meme type 1.5 par 100 pièces . 1 Ajustables droits ou couchés 10 Ajustables droits ou couchés 10 Ajustables 10 Tours 50 Potentiomètre 10 tours 300 Résistances Métalfilm 0.5W 3 2.5W 7 0.5W 15 10 Sirène de police 1550 Commutateurs rotatifs 1 circ. 12 pos 45 2 circ.6 pos 45 3 circ. 4 pos 45 4 circ. 3 pos 45 5 circ. 4 pos 5 45 5 circ. 4 pos 5 45 5 circ. 4 pos 5 45 5 circ. 5 pos 5 5 5 5 5 5 5 5 5 5 5 5 5 5 5 5 5 5 5	Filtre antiparasites 6A (EX.modulateurs) 395 Transformateurs 2+6	Relais miniature 1A5 15x10x10m/m 120 Relais Reed DIP 120 Relais Reed DIP 120 Boites complétes ELECTOR(uur) Ampli 4 w 7710/1 250	BEK 036 317. BEK 022 353. BEK 024 886 SC/MP 9857 70 Pickmetre 9860 25 SC/MP 9863 325 Ampli100 W 9874 115 SC/MP 9885 580 9893 450 9905 115 9911 110 Tables de mixages T.T.I. 501 226 1050b 325 1050b 325 1050b 325 1060A 392: MX 777 344 MX 888 495: PREVOX MX 660 279 MX 777 344 MX 888 495: Plaques C.I. Bakelite 200 x 150 32 290 x 200 5 400 x 280 100 290 x 200 55 400 x 280 288 Switch mini dip 4 contacts 100 5 108 8 115 10 140 Voltmétre Amper-lyon 48 x 48 60 10 15 1 15 20 30 35 188 60 150 35 188 60 30 30 30 30 30 30 30 30 30 30 30 30 30

Modes de paiements Versement banquaire ou ccp

Nodes de palements

Versement banquaire ou ccp compte 371.0401042.13 271.0047735.43 000.0240558.95

Chéque barré a l'ordre de tevelabo joint a votre commande

Ajouter 70 fb pour participation aux frais de port en cas de poids hors norme difference de port sera demand \acute{e}

Documentations semi-conducteur (notre specialité)

TEL. 067/224642 **TELEX** 57736



"ULTRA" LE PLUS



CO 110 E

TRANSCEIVER « DECA »

160 m à 10 m - 280 w input - tous modes : AM-SSB-CW-FSK-FAX-SSTV.

Affichage digital - 3 filtres à quartz - vox - noise blanker - marqueur - PA ventilé.

ALIMENTATION secteur et batterie ainsi que HP incorporé, livré avec cordons et micro.

8 635 Fite



VFO « UNIVERSEL » pouvant s'utiliser avec le CQ 110 E. 5 à 5,5 MHz ou tout autre standard : 8,2 à 8,7 MHz ou 8,9 à 9,4 MHz.

Affichage digital 100 Hz. Stabilité exceptionnelle.

4 686 Fitte

LINEAIRE POUR EXPORTATION UNIQUEMENT



TRANSCEIVER « FM » POUR TRAFIC RELAIS Equipé de R0 à R9 + 2 fréquences de dégagement: 3 w ou 1 w commutable.

1 753 Fitc



RÉCEPTEUR de 170kHz à 30 MHz en 6 bandes. Band spread 500 kHz + marqueur incorporé 50 et 500 kHz - noise blanker - « S » mètre bonne sélectivité 3 kHz en SSB -HP incorporé.

2 274 Fittel

DEMONSTRATION PERMANENTE DANS NOTRE SHACK

BERIC 43, RUE VICTOR HUGO 92240 MALAKOFF **2** 657 68 33

[DOCUMENTATION ET CONDITIONS DE CREDIT SUR SIMPLE DEMANDE]